

Projekt: 2024

NAVRH KROVU 2024

Model: POZARNÍ VEZ

DYSINA - SUSENÍ HADIC

Datum: 10.05.2024

Statický výpočet

PROJEKT

**Novostavba hasičárny Dýšina
- požární věž pro sušení hadic**

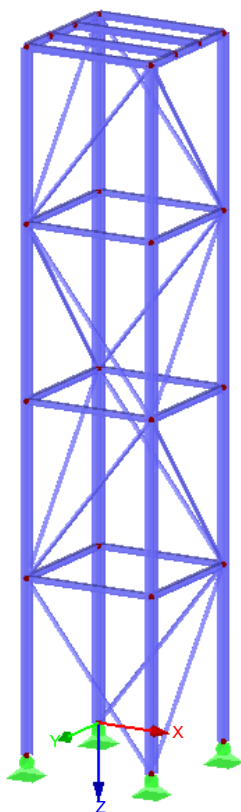
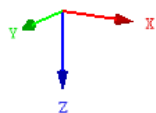
INVESTOR

**Obec Dýšina
Nám. Míru 30, 330 02 Dýšina**

ZHOTOVITEL

**Ing. František Chalupný
Jetenovice 71, 341 01 Velký Bor**

Izometrie





Projekt: 2024

Model: POZARNÍ VEZ

Datum: 10.05.2024

NAVRH KROVU 2024

DYSINA - SUSENI HADIC

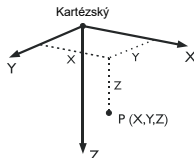
OBSAH

1	Model - základní údaje	2			
1.1	Uzly	2			
1.2	Materiály	2			
1.3	Průřezy	2			
1.3.1	Průřezy - natočení průřezu	3			
1.7	Pruty	3			
1.8	Uzlové podpory	3			
2	Zatěžovací stavy a kombinace				
2.1	Zatěžovací stavy	4			
2.1.1	Zatěžovací stavy - parametry výpočtu	4			
2.5	Kombinace zatížení	4			
2.5.2	Kombinace zatížení - parametry výpočtu	13			
2.6	Kombinace výsledků	32			
3	Zatížení				
	ZS2 - Střešní plášť - 3.2 Zatížení na prut	34			
	ZS2 - Střešní plášť - 3.5 Vygenerovaná	34			
	zatížení				
	ZS3 - Stěnový plášť - 3.5 Vygenerovaná	35			
	zatížení				
	ZS4 - Střecha - údržba - 3.5 Vygenerovaná	35			
	zatížení				
	ZS5 - Snih - 3.5 Vygenerovaná zatížení	36			
	ZS6 - Vítr ve směru osy +X - 3.5 Vygenerovaná	36			
4	Výsledky - zatěžovací stavy, kombinace zatížení				
4.0	Výsledky - souhrn	40			
4.3	Průřezy - vnitřní síly	98			
4.3	Výsledky - kombinace výsledků				
	Průřezy - vnitřní síly	99			
	STEEL EC3				
	PR1 - Posouzení ocelových prutů podle Eurokódu 3				
1.1	Základní údaje	101			
1.2	Materiály	106			
1.3	Průřezy	106			
1.5	Vzpěrné délky - pruty	106			
1.9	Údaje pro posouzení použitelnosti	107			
1.12	Parametry - pruty	107			
2.4	Posouzení po prutech	110			

MODEL - ZÁKLADNÍ ÚDAJE

Obecné	Název modelu	: POZARNÍ VEZ
	Označení modelu	: DYSINA - SUSENI HADIC
	Název projektu	: 2024
	Označení projektu	: NAVRH KROVU 2024
	Typ modelu	: 3D
	Kladný směr globální osy Z	: Dolů
	Klasifikace zatěžovacích stavů a kombinací	: Podle normy: EN 1990
		: Národní příloha: ČSN - Česká Republika
	<input checked="" type="checkbox"/> Automaticky vytvořit kombinace	: <input checked="" type="checkbox"/> Kombinace zatížení

1.1 UZLY

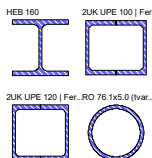


Uzel č.	Vztahný uzel	Souřadný systém	X [m]	Y [m]	Z [m]	Komentář
1	-	Kartézský	0.000	0.000	0.000	
2	-	Kartézský	2.360	0.000	0.000	
3	-	Kartézský	0.000	2.360	0.000	
4	-	Kartézský	2.360	2.360	0.000	
5	-	Kartézský	0.000	0.000	-12.000	
6	-	Kartézský	2.360	0.000	-12.000	
7	-	Kartézský	0.000	2.360	-12.000	
8	-	Kartézský	2.360	2.360	-12.000	
9	-	Kartézský	0.000	0.000	-3.000	
10	-	Kartézský	0.000	0.000	-6.000	
11	-	Kartézský	0.000	0.000	-9.000	
12	-	Kartézský	0.000	2.360	-3.000	
13	-	Kartézský	0.000	2.360	-6.000	
14	-	Kartézský	0.000	2.360	-9.000	
15	-	Kartézský	2.360	2.360	-3.000	
16	-	Kartézský	2.360	2.360	-6.000	
17	-	Kartézský	2.360	2.360	-9.000	
18	-	Kartézský	2.360	0.000	-3.000	
19	-	Kartézský	2.360	0.000	-6.000	
20	-	Kartézský	2.360	0.000	-9.000	
21	-	Kartézský	0.000	0.787	-12.000	
22	-	Kartézský	0.000	1.573	-12.000	
23	-	Kartézský	2.360	0.787	-12.000	
24	-	Kartézský	2.360	1.573	-12.000	

1.2 MATERIÁLY

Mat. č.	Modul E [MPa]	Modul G [MPa]	Objem. tíha g [kN/m³]	Souč. tepl. roz. a [1/K]	Souč. spolehlivosti g _M [-]	Materiálový model
1	Ocel S 235 EN 1993-1-1:2005-05 210000.000	80769.200	78.50	1.20E-05	1.00	Standard
2	Ocel S 355 EN 1993-1-1:2005-05 210000.000	80769.200	78.50	1.20E-05	1.00	Standard

1.3 PRŮŘEZY



Průřez č.	Mater. č.	I _T [mm⁴] A [mm²]	I _y [mm⁴] A _y [mm²]	I _z [mm⁴] A _z [mm²]	Hlavní osy a [°]	Natočení a' [°]	Celkové rozměry [mm] Šířka b Výška h	
1	HEB 160 1	312400.0 5425.0	24920000.0 3471.5	8892000.0 1081.1	0.00	90.00	160.0	160.0
2	2UK UPE 100 Ferona - DIN 1026-2 1	6073139.0 2780.0	4540000.0 1478.2	4389082.4 795.2	0.00	0.00	110.0	100.0



Projekt: 2024
NAVRH KROVU 2024

Model: POZARNÍ VEZ
DYSINA - SUSENÍ HADIC

Datum: 10.05.2024

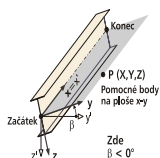
1.3 PRŮŘEZY

Průřez č.	Mater. č.	I _T [mm ⁴]		I _y [mm ⁴]		I _z [mm ⁴]		Hlavní osy		Natočení		Celkové rozměry [mm]	
		A [mm ²]		A _y [mm ²]		A _z [mm ²]		a [°]		a' [°]		Šířka b	Výška h
3	2UK UPE 120 Ferona - DIN 1026-2	9886290.0 3360.0		7840000.0 1664.6		6536374.2 1075.3		0.00		0.00		120.0	120.0
4	RO 76.1x5.0 (tvar. za tepla)	1420000.0 1120.0		709000.0 555.5		709000.0 555.5		0.00		0.00		76.1	76.1
5	2UK UPE 120 Ferona - DIN 1026-2	9886290.0 3360.0		7840000.0 1664.6		6536374.2 1075.3		0.00		0.00		120.0	120.0

1.3.1 PRŮŘEZY - NATOČENÍ PRŮŘEZU

Průřez č.	Označení	Úhela [°]	Zrcadlení	
1	HEB 160	90.00	okolo osy y	okolo osy z

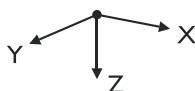
1.7 PRUTY

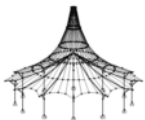


Prut č.	Typ prutu	Uzel		Natočení prutu		Průřez		Kloub č.		Exc. č.	Dělení č.	Délka L [m]	
		Počát.	Konec	typ	b [°]	Počát.	Konec	Počát.	Konec				
1	Nosník	1	9	Úhel	0.00	1	1	-	-	-	-	3.000	Z
2	Nosník	3	12	Úhel	0.00	1	1	-	-	-	-	3.000	Z
3	Nosník	4	15	Úhel	0.00	1	1	-	-	-	-	3.000	Z
4	Nosník	2	18	Úhel	0.00	1	1	-	-	-	-	3.000	Z
5	Nosník	5	21	Úhel	0.00	3	3	-	-	-	-	0.787	Y
6	Nosník	7	8	Úhel	0.00	3	3	-	-	-	-	2.360	X
7	Nosník	6	23	Úhel	0.00	3	3	-	-	-	-	0.787	Y
8	Nosník	5	6	Úhel	0.00	3	3	-	-	-	-	2.360	X
9	Nosník	9	10	Úhel	0.00	1	1	-	-	-	-	3.000	Z
10	Nosník	10	11	Úhel	0.00	1	1	-	-	-	-	3.000	Z
11	Nosník	11	5	Úhel	0.00	1	1	-	-	-	-	3.000	Z
12	Nosník	12	13	Úhel	0.00	1	1	-	-	-	-	3.000	Z
13	Nosník	13	14	Úhel	0.00	1	1	-	-	-	-	3.000	Z
14	Nosník	14	7	Úhel	0.00	1	1	-	-	-	-	3.000	Z
15	Nosník	15	16	Úhel	0.00	1	1	-	-	-	-	3.000	Z
16	Nosník	16	17	Úhel	0.00	1	1	-	-	-	-	3.000	Z
17	Nosník	17	8	Úhel	0.00	1	1	-	-	-	-	3.000	Z
18	Nosník	18	19	Úhel	0.00	1	1	-	-	-	-	3.000	Z
19	Nosník	19	20	Úhel	0.00	1	1	-	-	-	-	3.000	Z
20	Nosník	20	6	Úhel	0.00	1	1	-	-	-	-	3.000	Z
21	Nosník	11	14	Úhel	0.00	2	2	-	-	-	-	2.360	Y
22	Nosník	10	13	Úhel	0.00	2	2	-	-	-	-	2.360	Y
23	Nosník	9	12	Úhel	0.00	2	2	-	-	-	-	2.360	Y
24	Nosník	20	17	Úhel	0.00	2	2	-	-	-	-	2.360	Y
25	Nosník	19	16	Úhel	0.00	2	2	-	-	-	-	2.360	Y
26	Nosník	18	15	Úhel	0.00	2	2	-	-	-	-	2.360	Y
27	Nosník	21	22	Úhel	0.00	3	3	-	-	-	-	0.787	Y
28	Nosník	22	7	Úhel	0.00	3	3	-	-	-	-	0.787	Y
29	Nosník	23	24	Úhel	0.00	3	3	-	-	-	-	0.787	Y
30	Nosník	24	8	Úhel	0.00	3	3	-	-	-	-	0.787	Y
31	Nosník	21	23	Úhel	0.00	5	5	-	-	-	-	2.360	X
32	Nosník	22	24	Úhel	0.00	5	5	-	-	-	-	2.360	X
33	Nosník	18	9	Úhel	0.00	2	2	-	-	-	-	2.360	X
34	Nosník	19	10	Úhel	0.00	2	2	-	-	-	-	2.360	X
35	Nosník	20	11	Úhel	0.00	2	2	-	-	-	-	2.360	X
36	Nosník	15	12	Úhel	0.00	2	2	-	-	-	-	2.360	X
37	Nosník	16	13	Úhel	0.00	2	2	-	-	-	-	2.360	X
38	Nosník	17	14	Úhel	0.00	2	2	-	-	-	-	2.360	X
39	Přih. (jen N)	18	10	Úhel	0.00	4	4	-	-	-	-	3.817	XZ
40	Přih. (jen N)	10	20	Úhel	0.00	4	4	-	-	-	-	3.817	XZ
41	Přih. (jen N)	20	5	Úhel	0.00	4	4	-	-	-	-	3.817	XZ
42	Přih. (jen N)	18	1	Úhel	0.00	4	4	-	-	-	-	3.817	XZ
43	Přih. (jen N)	18	4	Úhel	0.00	4	4	-	-	-	-	3.817	YZ
44	Přih. (jen N)	18	16	Úhel	0.00	4	4	-	-	-	-	3.817	YZ
45	Přih. (jen N)	16	20	Úhel	0.00	4	4	-	-	-	-	3.817	YZ
46	Přih. (jen N)	20	8	Úhel	0.00	4	4	-	-	-	-	3.817	YZ
47	Přih. (jen N)	4	12	Úhel	0.00	4	4	-	-	-	-	3.817	XZ
48	Přih. (jen N)	12	16	Úhel	0.00	4	4	-	-	-	-	3.817	XZ
49	Přih. (jen N)	16	14	Úhel	0.00	4	4	-	-	-	-	3.817	XZ
50	Přih. (jen N)	14	8	Úhel	0.00	4	4	-	-	-	-	3.817	XZ
51	Přih. (jen N)	5	14	Úhel	0.00	4	4	-	-	-	-	3.817	YZ
52	Přih. (jen N)	14	10	Úhel	0.00	4	4	-	-	-	-	3.817	YZ
53	Přih. (jen N)	10	12	Úhel	0.00	4	4	-	-	-	-	3.817	YZ

1.8 UZLOVÉ PODPORY

Podpora č.	Uzly č.	Pořadí	Natočení [°]			Podepření resp. vetknutí					
			okolo X	okolo Y	okolo Z	u _x	u _y	u _z	j _x	j _y	j _z
1	1-4	XYZ	0.00	0.00	0.00	<input checked="" type="checkbox"/>	<input checked="" type="checkbox"/>	<input checked="" type="checkbox"/>	<input type="checkbox"/>	<input type="checkbox"/>	<input checked="" type="checkbox"/>





ZATÍŽENÍ

Projekt: 2024 Model: POZARNÍ VEZ
NAVRH KROVU 2024 DYSINA - SUSENÍ HADIC

Datum: 10.05.2024

2.1 ZATĚŽOVACÍ STAVY

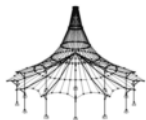
Zatěž. stav	Označení zatěž. stavu	EN 1990 ČSN Kategorie účinků	Vlastní tíha - Součinitel ve směru			
			Aktivní	X	Y	Z
ZS1	Vlastní tíha	Stálé	<input checked="" type="checkbox"/>	0.000	0.000	1.000
ZS2	Střešní plášť		<input type="checkbox"/>			
ZS3	Stěnový plášť		<input type="checkbox"/>			
ZS4	Střecha - údržba	Užitná zatížení - kategorie H: střechy nepřístupné s výjimkou běžné údržby a oprav	<input type="checkbox"/>			
ZS5	Sníh	Sníh (H ≤ 1000 m n.m.)	<input type="checkbox"/>			
ZS6	Vítr ve směru osy +X	Vítr	<input type="checkbox"/>			
ZS7	Vítr ve směru osy -X	Vítr	<input type="checkbox"/>			
ZS8	Vítr ve směru osy +Y	Vítr	<input type="checkbox"/>			
ZS9	Vítr ve směru osy -Y	Vítr	<input type="checkbox"/>			

2.1.1 ZATĚŽOVACÍ STAVY - PARAMETRY VÝPOČTU

Zatěž. stav	Označení zatěž. stavu	Parametry výpočtu	
		Způsob výpočtu	
ZS1	Vlastní tíha	Způsob výpočtu	: • Teorie I. řádu (geometrický lineární výpočet)
ZS2	Střešní plášť	Způsob výpočtu	: • Teorie I. řádu (geometrický lineární výpočet)
ZS3	Stěnový plášť	Způsob výpočtu	: • Teorie I. řádu (geometrický lineární výpočet)
ZS4	Střecha - údržba	Způsob výpočtu	: • Teorie I. řádu (geometrický lineární výpočet)
ZS5	Sníh	Způsob výpočtu	: • Teorie I. řádu (geometrický lineární výpočet)
ZS6	Vítr ve směru osy +X	Způsob výpočtu	: • Teorie I. řádu (geometrický lineární výpočet)
ZS7	Vítr ve směru osy -X	Způsob výpočtu	: • Teorie I. řádu (geometrický lineární výpočet)
ZS8	Vítr ve směru osy +Y	Způsob výpočtu	: • Teorie I. řádu (geometrický lineární výpočet)
ZS9	Vítr ve směru osy -Y	Způsob výpočtu	: • Teorie I. řádu (geometrický lineární výpočet)

2.5 KOMBINACE ZATÍŽENÍ

Kombin. zatížení	Kombinace zatížení		č.	Součinitel	Zatěžovací stav	
	NS	Označení				
KZ1	ULS	1.35*ZS1	1	1.35	ZS1	Vlastní tíha
KZ2	ULS	1.35*ZS1 + 1.35*ZS2	1	1.35	ZS1	Vlastní tíha
			2	1.35	ZS2	Střešní plášť
KZ3	ULS	1.35*ZS1 + 1.35*ZS2 + 1.35*ZS3	1	1.35	ZS1	Vlastní tíha
			2	1.35	ZS2	Střešní plášť
			3	1.35	ZS3	Stěnový plášť
KZ4	ULS	1.35*ZS1 + 1.35*ZS3	1	1.35	ZS1	Vlastní tíha
			2	1.35	ZS3	Stěnový plášť
KZ5	ULS	1.35*ZS1 + 1.5*ZS4	1	1.35	ZS1	Vlastní tíha
			2	1.50	ZS4	Střecha - údržba
KZ6	ULS	1.35*ZS1 + 1.35*ZS2 + 1.5*ZS4	1	1.35	ZS1	Vlastní tíha
			2	1.35	ZS2	Střešní plášť
			3	1.50	ZS4	Střecha - údržba
KZ7	ULS	1.35*ZS1 + 1.35*ZS2 + 1.35*ZS3 + 1.5*ZS4	1	1.35	ZS1	Vlastní tíha
			2	1.35	ZS2	Střešní plášť
			3	1.35	ZS3	Stěnový plášť
			4	1.50	ZS4	Střecha - údržba
KZ8	ULS	1.35*ZS1 + 1.35*ZS3 + 1.5*ZS4	1	1.35	ZS1	Vlastní tíha
			2	1.35	ZS3	Stěnový plášť
			3	1.50	ZS4	Střecha - údržba
KZ9	ULS	1.35*ZS1 + 1.35*ZS2 + 1.5*ZS4 + 0.75*ZS5	1	1.35	ZS1	Vlastní tíha
			2	1.35	ZS2	Střešní plášť
			3	1.50	ZS4	Střecha - údržba
			4	0.75	ZS5	Sníh
KZ10	ULS	1.35*ZS1 + 1.35*ZS2 + 1.35*ZS3 + 1.5*ZS4 + 0.75*ZS5	1	1.35	ZS1	Vlastní tíha
			2	1.35	ZS2	Střešní plášť
			3	1.35	ZS3	Stěnový plášť
			4	1.50	ZS4	Střecha - údržba
			5	0.75	ZS5	Sníh
KZ11	ULS	1.35*ZS1 + 1.35*ZS3 + 1.5*ZS4 + 0.75*ZS5	1	1.35	ZS1	Vlastní tíha
			2	1.35	ZS3	Stěnový plášť
			3	1.50	ZS4	Střecha - údržba
			4	0.75	ZS5	Sníh
KZ12	ULS	1.35*ZS1 + 1.35*ZS2 + 1.5*ZS4 + 0.75*ZS5 + 0.9*ZS6	1	1.35	ZS1	Vlastní tíha
			2	1.35	ZS2	Střešní plášť
			3	1.50	ZS4	Střecha - údržba
			4	0.75	ZS5	Sníh
			5	0.90	ZS6	Vítr ve směru osy +X
KZ13	ULS	1.35*ZS1 + 1.35*ZS2 + 1.5*ZS4 + 0.75*ZS5 + 0.9*ZS7	1	1.35	ZS1	Vlastní tíha
			2	1.35	ZS2	Střešní plášť
			3	1.50	ZS4	Střecha - údržba
			4	0.75	ZS5	Sníh
			5	0.90	ZS7	Vítr ve směru osy -X
KZ14	ULS	1.35*ZS1 + 1.35*ZS2 + 1.5*ZS4 + 0.75*ZS5 + 0.9*ZS8	1	1.35	ZS1	Vlastní tíha
			2	1.35	ZS2	Střešní plášť
			3	1.50	ZS4	Střecha - údržba



Projekt: 2024
NAVRH KROVU 2024

Model: POZARNÍ VEZ
DYSINA - SUSENÍ HADIC

Datum: 10.05.2024

2.5 KOMBINACE ZATÍŽENÍ

Kombin. zatížení	NS	Kombinace zatížení Označení	č.	Součinitel	Zatěžovací stav	
KZ15	ULS	$1.35 \cdot ZS1 + 1.35 \cdot ZS2 + 1.5 \cdot ZS4 + 0.75 \cdot ZS5 + 0.9 \cdot ZS9$	4	0.75	ZS5	Sníh
			5	0.90	ZS8	Vítr ve směru osy +Y
			1	1.35	ZS1	Vlastní tíha
			2	1.35	ZS2	Střešní plášť
			3	1.50	ZS4	Střecha - údržba
KZ16	ULS	$1.35 \cdot ZS1 + 1.35 \cdot ZS2 + 1.35 \cdot ZS3 + 1.5 \cdot ZS4 + 0.75 \cdot ZS5 + 0.9 \cdot ZS6$	4	0.75	ZS5	Sníh
			5	0.90	ZS9	Vítr ve směru osy -Y
			1	1.35	ZS1	Vlastní tíha
			2	1.35	ZS2	Střešní plášť
			3	1.35	ZS3	Stěnový plášť
KZ17	ULS	$1.35 \cdot ZS1 + 1.35 \cdot ZS2 + 1.35 \cdot ZS3 + 1.5 \cdot ZS4 + 0.75 \cdot ZS5 + 0.9 \cdot ZS7$	4	1.50	ZS4	Střecha - údržba
			5	0.75	ZS5	Sníh
			6	0.90	ZS6	Vítr ve směru osy +X
			1	1.35	ZS1	Vlastní tíha
			2	1.35	ZS2	Střešní plášť
KZ18	ULS	$1.35 \cdot ZS1 + 1.35 \cdot ZS2 + 1.35 \cdot ZS3 + 1.5 \cdot ZS4 + 0.75 \cdot ZS5 + 0.9 \cdot ZS8$	3	1.35	ZS3	Stěnový plášť
			4	1.50	ZS4	Střecha - údržba
			5	0.75	ZS5	Sníh
			6	0.90	ZS7	Vítr ve směru osy -X
			1	1.35	ZS1	Vlastní tíha
KZ19	ULS	$1.35 \cdot ZS1 + 1.35 \cdot ZS2 + 1.35 \cdot ZS3 + 1.5 \cdot ZS4 + 0.75 \cdot ZS5 + 0.9 \cdot ZS9$	2	1.35	ZS2	Střešní plášť
			3	1.35	ZS3	Stěnový plášť
			4	1.50	ZS4	Střecha - údržba
			5	0.75	ZS5	Sníh
			6	0.90	ZS8	Vítr ve směru osy +Y
KZ20	ULS	$1.35 \cdot ZS1 + 1.35 \cdot ZS3 + 1.5 \cdot ZS4 + 0.75 \cdot ZS5 + 0.9 \cdot ZS6$	1	1.35	ZS1	Vlastní tíha
			2	1.35	ZS2	Střešní plášť
			3	1.35	ZS3	Stěnový plášť
			4	1.50	ZS4	Střecha - údržba
			5	0.75	ZS5	Sníh
KZ21	ULS	$1.35 \cdot ZS1 + 1.35 \cdot ZS3 + 1.5 \cdot ZS4 + 0.75 \cdot ZS5 + 0.9 \cdot ZS7$	6	0.90	ZS9	Vítr ve směru osy -Y
			1	1.35	ZS1	Vlastní tíha
			2	1.35	ZS2	Střešní plášť
			3	1.50	ZS4	Střecha - údržba
			4	0.75	ZS5	Sníh
KZ22	ULS	$1.35 \cdot ZS1 + 1.35 \cdot ZS3 + 1.5 \cdot ZS4 + 0.75 \cdot ZS5 + 0.9 \cdot ZS8$	5	0.90	ZS7	Vítr ve směru osy -X
			1	1.35	ZS1	Vlastní tíha
			2	1.35	ZS3	Stěnový plášť
			3	1.50	ZS4	Střecha - údržba
			4	0.75	ZS5	Sníh
KZ23	ULS	$1.35 \cdot ZS1 + 1.35 \cdot ZS3 + 1.5 \cdot ZS4 + 0.75 \cdot ZS5 + 0.9 \cdot ZS9$	5	0.90	ZS7	Vítr ve směru osy -X
			1	1.35	ZS1	Vlastní tíha
			2	1.35	ZS3	Stěnový plášť
			3	1.50	ZS4	Střecha - údržba
			4	0.75	ZS5	Sníh
KZ24	ULS	$1.35 \cdot ZS1 + 1.35 \cdot ZS2 + 1.5 \cdot ZS4 + 0.9 \cdot ZS6$	5	0.90	ZS9	Vítr ve směru osy -Y
			1	1.35	ZS1	Vlastní tíha
			2	1.35	ZS2	Střešní plášť
			3	1.50	ZS4	Střecha - údržba
			4	0.90	ZS6	Vítr ve směru osy +X
KZ25	ULS	$1.35 \cdot ZS1 + 1.35 \cdot ZS2 + 1.5 \cdot ZS4 + 0.9 \cdot ZS7$	1	1.35	ZS1	Vlastní tíha
			2	1.35	ZS2	Střešní plášť
			3	1.50	ZS4	Střecha - údržba
			4	0.90	ZS7	Vítr ve směru osy -X
			1	1.35	ZS1	Vlastní tíha
KZ26	ULS	$1.35 \cdot ZS1 + 1.35 \cdot ZS2 + 1.5 \cdot ZS4 + 0.9 \cdot ZS8$	2	1.35	ZS2	Střešní plášť
			3	1.50	ZS4	Střecha - údržba
			4	0.90	ZS8	Vítr ve směru osy +Y
			1	1.35	ZS1	Vlastní tíha
			2	1.35	ZS2	Střešní plášť
KZ27	ULS	$1.35 \cdot ZS1 + 1.35 \cdot ZS2 + 1.5 \cdot ZS4 + 0.9 \cdot ZS9$	3	1.50	ZS4	Střecha - údržba
			4	0.90	ZS9	Vítr ve směru osy -Y
			1	1.35	ZS1	Vlastní tíha
			2	1.35	ZS2	Střešní plášť
			3	1.50	ZS4	Střecha - údržba
KZ28	ULS	$1.35 \cdot ZS1 + 1.35 \cdot ZS2 + 1.35 \cdot ZS3 + 1.5 \cdot ZS4 + 0.9 \cdot ZS6$	4	0.90	ZS9	Vítr ve směru osy -Y
			1	1.35	ZS1	Vlastní tíha
			2	1.35	ZS2	Střešní plášť
			3	1.35	ZS3	Stěnový plášť
			4	1.50	ZS4	Střecha - údržba
KZ29	ULS	$1.35 \cdot ZS1 + 1.35 \cdot ZS2 + 1.35 \cdot ZS3 + 1.5 \cdot ZS4 + 0.9 \cdot ZS7$	5	0.90	ZS6	Vítr ve směru osy +X
			1	1.35	ZS1	Vlastní tíha
			2	1.35	ZS2	Střešní plášť
			3	1.35	ZS3	Stěnový plášť
			4	1.50	ZS4	Střecha - údržba
KZ30	ULS	$1.35 \cdot ZS1 + 1.35 \cdot ZS2 + 1.35 \cdot ZS3 + 1.5 \cdot ZS4 + 0.9 \cdot ZS8$	5	0.90	ZS7	Vítr ve směru osy -X
			1	1.35	ZS1	Vlastní tíha
			2	1.35	ZS2	Střešní plášť
			3	1.35	ZS3	Stěnový plášť
			4	1.50	ZS4	Střecha - údržba



ZATÍŽENÍ

Projekt: 2024 Model: POZARNÍ VEZ
NAVRH KROVU 2024 DYSINA - SUSENÍ HADIC

Datum: 10.05.2024

2.5 KOMBINACE ZATÍŽENÍ

Kombin. zatížení	Kombinace zatížení		č.	Součinitel	Zatěžovací stav	
	NS	Označení				
KZ31	ULS	1.35*ZS1 + 1.35*ZS2 + 1.35*ZS3 + 1.5*ZS4 + 0.9*ZS9	3	1.35	ZS3	Stěnový plášť
			4	1.50	ZS4	Střecha - údržba
			5	0.90	ZS8	Vítr ve směru osy +Y
			1	1.35	ZS1	Vlastní tíha
KZ32	ULS	1.35*ZS1 + 1.35*ZS3 + 1.5*ZS4 + 0.9*ZS6	2	1.35	ZS2	Střešní plášť
			3	1.35	ZS3	Stěnový plášť
			4	1.50	ZS4	Střecha - údržba
			5	0.90	ZS9	Vítr ve směru osy -Y
KZ33	ULS	1.35*ZS1 + 1.35*ZS3 + 1.5*ZS4 + 0.9*ZS7	1	1.35	ZS1	Vlastní tíha
			2	1.35	ZS3	Stěnový plášť
			3	1.50	ZS4	Střecha - údržba
			4	0.90	ZS6	Vítr ve směru osy +X
KZ34	ULS	1.35*ZS1 + 1.35*ZS3 + 1.5*ZS4 + 0.9*ZS8	1	1.35	ZS1	Vlastní tíha
			2	1.35	ZS3	Stěnový plášť
			3	1.50	ZS4	Střecha - údržba
			4	0.90	ZS7	Vítr ve směru osy -X
KZ35	ULS	1.35*ZS1 + 1.35*ZS3 + 1.5*ZS4 + 0.9*ZS9	1	1.35	ZS1	Vlastní tíha
			2	1.35	ZS3	Stěnový plášť
			3	1.50	ZS4	Střecha - údržba
			4	0.90	ZS8	Vítr ve směru osy +Y
KZ36	ULS	1.35*ZS1 + 1.5*ZS4 + 0.75*ZS5	1	1.35	ZS1	Vlastní tíha
			2	1.50	ZS4	Střecha - údržba
			3	0.75	ZS5	Sníh
			1	1.35	ZS1	Vlastní tíha
KZ37	ULS	1.35*ZS1 + 1.5*ZS4 + 0.75*ZS5 + 0.9*ZS6	2	1.50	ZS4	Střecha - údržba
			3	0.75	ZS5	Sníh
			4	0.90	ZS6	Vítr ve směru osy +X
			1	1.35	ZS1	Vlastní tíha
KZ38	ULS	1.35*ZS1 + 1.5*ZS4 + 0.75*ZS5 + 0.9*ZS7	2	1.50	ZS4	Střecha - údržba
			3	0.75	ZS5	Sníh
			4	0.90	ZS7	Vítr ve směru osy -X
			1	1.35	ZS1	Vlastní tíha
KZ39	ULS	1.35*ZS1 + 1.5*ZS4 + 0.75*ZS5 + 0.9*ZS8	2	1.50	ZS4	Střecha - údržba
			3	0.75	ZS5	Sníh
			4	0.90	ZS8	Vítr ve směru osy +Y
			1	1.35	ZS1	Vlastní tíha
KZ40	ULS	1.35*ZS1 + 1.5*ZS4 + 0.75*ZS5 + 0.9*ZS9	2	1.50	ZS4	Střecha - údržba
			3	0.75	ZS5	Sníh
			4	0.90	ZS9	Vítr ve směru osy -Y
			1	1.35	ZS1	Vlastní tíha
KZ41	ULS	1.35*ZS1 + 1.5*ZS4 + 0.9*ZS6	2	1.50	ZS4	Střecha - údržba
			3	0.90	ZS6	Vítr ve směru osy +X
			1	1.35	ZS1	Vlastní tíha
			2	1.50	ZS4	Střecha - údržba
KZ42	ULS	1.35*ZS1 + 1.5*ZS4 + 0.9*ZS7	3	0.90	ZS7	Vítr ve směru osy -X
			1	1.35	ZS1	Vlastní tíha
			2	1.50	ZS4	Střecha - údržba
			3	0.90	ZS7	Vítr ve směru osy -X
KZ43	ULS	1.35*ZS1 + 1.5*ZS4 + 0.9*ZS8	1	1.35	ZS1	Vlastní tíha
			2	1.50	ZS4	Střecha - údržba
			3	0.90	ZS8	Vítr ve směru osy +Y
			1	1.35	ZS1	Vlastní tíha
KZ44	ULS	1.35*ZS1 + 1.5*ZS4 + 0.9*ZS9	2	1.50	ZS4	Střecha - údržba
			3	0.90	ZS9	Vítr ve směru osy -Y
			1	1.35	ZS1	Vlastní tíha
			2	1.50	ZS5	Sníh
KZ45	ULS	1.35*ZS1 + 1.5*ZS5	1	1.35	ZS1	Vlastní tíha
			2	1.50	ZS5	Sníh
			1	1.35	ZS1	Vlastní tíha
			2	1.35	ZS2	Střešní plášť
KZ46	ULS	1.35*ZS1 + 1.35*ZS2 + 1.5*ZS5	3	1.50	ZS5	Sníh
			1	1.35	ZS1	Vlastní tíha
			2	1.35	ZS2	Střešní plášť
			3	1.35	ZS3	Stěnový plášť
KZ47	ULS	1.35*ZS1 + 1.35*ZS2 + 1.35*ZS3 + 1.5*ZS5	4	1.50	ZS5	Sníh
			1	1.35	ZS1	Vlastní tíha
			2	1.35	ZS2	Střešní plášť
			3	1.35	ZS3	Stěnový plášť
KZ48	ULS	1.35*ZS1 + 1.35*ZS3 + 1.5*ZS5	4	1.50	ZS5	Sníh
			1	1.35	ZS1	Vlastní tíha
			2	1.35	ZS3	Stěnový plášť
			3	1.50	ZS5	Sníh
KZ49	ULS	1.35*ZS1 + 1.35*ZS2 + 1.5*ZS5 + 0.9*ZS6	1	1.35	ZS1	Vlastní tíha
			2	1.35	ZS2	Střešní plášť
			3	1.50	ZS5	Sníh
			4	0.90	ZS6	Vítr ve směru osy +X
KZ50	ULS	1.35*ZS1 + 1.35*ZS2 + 1.5*ZS5 + 0.9*ZS7	1	1.35	ZS1	Vlastní tíha
			2	1.35	ZS2	Střešní plášť
			3	1.50	ZS5	Sníh
			4	0.90	ZS7	Vítr ve směru osy -X
KZ51	ULS	1.35*ZS1 + 1.35*ZS2 + 1.5*ZS5 + 0.9*ZS8	1	1.35	ZS1	Vlastní tíha
			2	1.35	ZS2	Střešní plášť
			3	1.50	ZS5	Sníh
			4	0.90	ZS8	Vítr ve směru osy +Y
KZ52	ULS	1.35*ZS1 + 1.35*ZS2 + 1.5*ZS5 + 0.9*ZS9	1	1.35	ZS1	Vlastní tíha
			2	1.35	ZS2	Střešní plášť
			3	1.50	ZS5	Sníh
			4	0.90	ZS9	Vítr ve směru osy -Y
KZ53	ULS	1.35*ZS1 + 1.35*ZS2 + 1.35*ZS3 + 1.5*ZS5 + 0.9*ZS6	1	1.35	ZS1	Vlastní tíha
			2	1.35	ZS2	Střešní plášť
			3	1.35	ZS3	Stěnový plášť
			4	1.50	ZS5	Sníh
KZ54	ULS	1.35*ZS1 + 1.35*ZS2 + 1.35*ZS3 + 1.5*ZS5 + 0.9*ZS6	5	0.90	ZS6	Vítr ve směru osy +X
			1	1.35	ZS1	Vlastní tíha
			2	1.35	ZS2	Střešní plášť
			3	1.35	ZS3	Stěnový plášť



ZATÍŽENÍ

Projekt: 2024
NAVRH KROVU 2024

Model: POZARNÍ VEZ
DYSINA - SUSENÍ HADIC

Datum: 10.05.2024

2.5 KOMBINACE ZATÍŽENÍ

Kombin. zatížení	NS	Kombinace zatížení	č.	Součinitel	Zatěžovací stav	
		Označení				
KZ55	ULS	0.9*ZS7	2	1.35	ZS2	Střešní plášť
			3	1.35	ZS3	Stěnový plášť
			4	1.50	ZS5	Sníh
			5	0.90	ZS7	Vítr ve směru osy -X
			1	1.35	ZS1	Vlastní tíha
KZ56	ULS	1.35*ZS1 + 1.35*ZS2 + 1.35*ZS3 + 1.5*ZS5 + 0.9*ZS8	2	1.35	ZS2	Střešní plášť
			3	1.35	ZS3	Stěnový plášť
			4	1.50	ZS5	Sníh
			5	0.90	ZS8	Vítr ve směru osy +Y
			1	1.35	ZS1	Vlastní tíha
KZ57	ULS	1.35*ZS1 + 1.35*ZS2 + 1.35*ZS3 + 1.5*ZS5 + 0.9*ZS9	2	1.35	ZS2	Střešní plášť
			3	1.35	ZS3	Stěnový plášť
			4	1.50	ZS5	Sníh
			5	0.90	ZS9	Vítr ve směru osy -Y
			1	1.35	ZS1	Vlastní tíha
KZ58	ULS	1.35*ZS1 + 1.35*ZS3 + 1.5*ZS5 + 0.9*ZS6	2	1.35	ZS3	Stěnový plášť
			3	1.50	ZS5	Sníh
			4	0.90	ZS6	Vítr ve směru osy +X
			1	1.35	ZS1	Vlastní tíha
			2	1.35	ZS3	Stěnový plášť
KZ59	ULS	1.35*ZS1 + 1.35*ZS3 + 1.5*ZS5 + 0.9*ZS7	3	1.50	ZS5	Sníh
			4	0.90	ZS7	Vítr ve směru osy -X
			1	1.35	ZS1	Vlastní tíha
			2	1.35	ZS3	Stěnový plášť
			3	1.50	ZS5	Sníh
KZ60	ULS	1.35*ZS1 + 1.35*ZS3 + 1.5*ZS5 + 0.9*ZS8	4	0.90	ZS8	Vítr ve směru osy +Y
			1	1.35	ZS1	Vlastní tíha
			2	1.35	ZS3	Stěnový plášť
			3	1.50	ZS5	Sníh
			4	0.90	ZS9	Vítr ve směru osy -Y
KZ61	ULS	1.35*ZS1 + 1.35*ZS3 + 1.5*ZS5 + 0.9*ZS9	1	1.35	ZS1	Vlastní tíha
			2	1.50	ZS5	Sníh
			3	0.90	ZS6	Vítr ve směru osy +X
			1	1.35	ZS1	Vlastní tíha
			2	1.50	ZS5	Sníh
KZ62	ULS	1.35*ZS1 + 1.5*ZS5 + 0.9*ZS6	3	0.90	ZS6	Vítr ve směru osy +X
			1	1.35	ZS1	Vlastní tíha
			2	1.50	ZS5	Sníh
			3	0.90	ZS7	Vítr ve směru osy -X
			1	1.35	ZS1	Vlastní tíha
KZ63	ULS	1.35*ZS1 + 1.5*ZS5 + 0.9*ZS7	2	1.50	ZS5	Sníh
			3	0.90	ZS7	Vítr ve směru osy -X
			1	1.35	ZS1	Vlastní tíha
			2	1.50	ZS5	Sníh
			3	0.90	ZS8	Vítr ve směru osy +Y
KZ64	ULS	1.35*ZS1 + 1.5*ZS5 + 0.9*ZS8	1	1.35	ZS1	Vlastní tíha
			2	1.50	ZS5	Sníh
			3	0.90	ZS9	Vítr ve směru osy -Y
			1	1.35	ZS1	Vlastní tíha
			2	1.50	ZS5	Sníh
KZ65	ULS	1.35*ZS1 + 1.5*ZS5 + 0.9*ZS9	3	0.90	ZS9	Vítr ve směru osy -Y
			1	1.35	ZS1	Vlastní tíha
			2	1.50	ZS6	Vítr ve směru osy +X
			1	1.35	ZS1	Vlastní tíha
			2	1.50	ZS7	Vítr ve směru osy -X
KZ66	ULS	1.35*ZS1 + 1.5*ZS6	2	1.50	ZS7	Vítr ve směru osy -X
			1	1.35	ZS1	Vlastní tíha
			2	1.50	ZS6	Vítr ve směru osy +X
			1	1.35	ZS1	Vlastní tíha
			2	1.50	ZS7	Vítr ve směru osy -X
KZ67	ULS	1.35*ZS1 + 1.5*ZS7	2	1.50	ZS7	Vítr ve směru osy -X
			1	1.35	ZS1	Vlastní tíha
			2	1.50	ZS8	Vítr ve směru osy +Y
			1	1.35	ZS1	Vlastní tíha
			2	1.50	ZS9	Vítr ve směru osy -Y
KZ68	ULS	1.35*ZS1 + 1.5*ZS8	3	1.50	ZS9	Vítr ve směru osy -Y
			1	1.35	ZS1	Vlastní tíha
			2	1.35	ZS2	Střešní plášť
			3	1.50	ZS6	Vítr ve směru osy +X
			1	1.35	ZS1	Vlastní tíha
KZ69	ULS	1.35*ZS1 + 1.5*ZS9	2	1.35	ZS2	Střešní plášť
			3	1.50	ZS7	Vítr ve směru osy -X
			1	1.35	ZS1	Vlastní tíha
			2	1.35	ZS2	Střešní plášť
			3	1.50	ZS8	Vítr ve směru osy +Y
KZ70	ULS	1.35*ZS1 + 1.35*ZS2 + 1.5*ZS8	3	1.50	ZS9	Vítr ve směru osy -Y
			1	1.35	ZS1	Vlastní tíha
			2	1.35	ZS2	Střešní plášť
			3	1.50	ZS7	Vítr ve směru osy -X
			1	1.35	ZS1	Vlastní tíha
KZ71	ULS	1.35*ZS1 + 1.35*ZS2 + 1.5*ZS9	2	1.35	ZS2	Střešní plášť
			3	1.50	ZS8	Vítr ve směru osy +Y
			1	1.35	ZS1	Vlastní tíha
			2	1.35	ZS2	Střešní plášť
			3	1.50	ZS9	Vítr ve směru osy -Y
KZ72	ULS	1.35*ZS1 + 1.35*ZS2 + 1.5*ZS6	3	1.50	ZS9	Vítr ve směru osy -Y
			1	1.35	ZS1	Vlastní tíha
			2	1.35	ZS2	Střešní plášť
			3	1.50	ZS6	Vítr ve směru osy +X
			1	1.35	ZS1	Vlastní tíha
KZ73	ULS	1.35*ZS1 + 1.35*ZS2 + 1.35*ZS3 + 1.5*ZS7	2	1.35	ZS2	Střešní plášť
			3	1.35	ZS3	Stěnový plášť
			4	1.50	ZS6	Vítr ve směru osy +X
			1	1.35	ZS1	Vlastní tíha
			2	1.35	ZS2	Střešní plášť
KZ74	ULS	1.35*ZS1 + 1.35*ZS2 + 1.35*ZS3 + 1.5*ZS8	3	1.35	ZS3	Stěnový plášť
			4	1.50	ZS7	Vítr ve směru osy -X
			1	1.35	ZS1	Vlastní tíha
			2	1.35	ZS2	Střešní plášť
			3	1.35	ZS3	Stěnový plášť
KZ75	ULS	1.35*ZS1 + 1.35*ZS2 + 1.35*ZS3 + 1.5*ZS9	4	1.50	ZS8	Vítr ve směru osy +Y
			1	1.35	ZS1	Vlastní tíha
			2	1.35	ZS2	Střešní plášť
			3	1.35	ZS3	Stěnový plášť
			4	1.50	ZS9	Vítr ve směru osy -Y
KZ76	ULS	1.35*ZS1 + 1.35*ZS2 + 1.35*ZS3 + 1.5*ZS6	1	1.35	ZS1	Vlastní tíha
			2	1.35	ZS2	Střešní plášť
			3	1.35	ZS3	Stěnový plášť
			4	1.50	ZS6	Vítr ve směru osy +X
			1	1.35	ZS1	Vlastní tíha
KZ77	ULS	1.35*ZS1 + 1.35*ZS2 + 1.35*ZS3 + 1.5*ZS7	2	1.35	ZS2	Střešní plášť
			3	1.35	ZS3	Stěnový plášť
			4	1.50	ZS7	Vítr ve směru osy -X
			1	1.35	ZS1	Vlastní tíha
			2	1.35	ZS2	Střešní plášť
KZ78	ULS	1.35*ZS1 + 1.35*ZS2 + 1.35*ZS3 + 1.5*ZS8	3	1.35	ZS3	Stěnový plášť
			4	1.50	ZS8	Vítr ve směru osy +Y
			1	1.35	ZS1	Vlastní tíha
			2	1.35	ZS2	Stěnový plášť
			3	1.50	ZS9	Vítr ve směru osy -Y
KZ79	ULS	1.35*ZS1 + 1.35*ZS2 + 1.35*ZS3 + 1.5*ZS9	1	1.35	ZS1	Vlastní tíha
			2	1.35	ZS2	Stěnový plášť
			3	1.35	ZS3	Stěnový plášť
			4	1.50	ZS9	Vítr ve směru osy -Y
			1	1.35	ZS1	Vlastní tíha
KZ80	ULS	1.35*ZS1 + 1.35*ZS3 + 1.5*ZS6	2	1.35	ZS2	Střešní plášť
			3	1.35	ZS3	Stěnový plášť
			4	1.50	ZS6	Vítr ve směru osy +X
			1	1.35	ZS1	Vlastní tíha
			2	1.35	ZS3	Stěnový plášť



ZATÍŽENÍ

Projekt: 2024
NAVRH KROVU 2024

Model: POZARNÍ VEZ
DYSINA - SUSENÍ HADIC

Datum: 10.05.2024

2.5 KOMBINACE ZATÍŽENÍ

Kombin. zatížení	Kombinace zatížení		č.	Součinitel	Zatěžovací stav	
	NS	Označení				
KZ81	ULS	1.35*ZS1 + 1.35*ZS2 + 0.75*ZS5 + 1.5*ZS6	2	1.35	ZS3	Stěnový plášť
			3	1.50	ZS9	Vítr ve směru osy -Y
			1	1.35	ZS1	Vlastní tíha
			2	1.35	ZS2	Střešní plášť
KZ82	ULS	1.35*ZS1 + 1.35*ZS2 + 0.75*ZS5 + 1.5*ZS7	3	0.75	ZS5	Sníh
			4	1.50	ZS6	Vítr ve směru osy +X
			1	1.35	ZS1	Vlastní tíha
			2	1.35	ZS2	Střešní plášť
KZ83	ULS	1.35*ZS1 + 1.35*ZS2 + 0.75*ZS5 + 1.5*ZS8	3	0.75	ZS5	Sníh
			4	1.50	ZS7	Vítr ve směru osy -X
			1	1.35	ZS1	Vlastní tíha
			2	1.35	ZS2	Střešní plášť
KZ84	ULS	1.35*ZS1 + 1.35*ZS2 + 0.75*ZS5 + 1.5*ZS9	3	0.75	ZS5	Sníh
			4	1.50	ZS8	Vítr ve směru osy +Y
			1	1.35	ZS1	Vlastní tíha
			2	1.35	ZS2	Střešní plášť
KZ85	ULS	1.35*ZS1 + 1.35*ZS2 + 1.35*ZS3 + 0.75*ZS5 + 1.5*ZS6	3	0.75	ZS5	Sníh
			4	1.50	ZS9	Vítr ve směru osy -Y
			1	1.35	ZS1	Vlastní tíha
			2	1.35	ZS2	Střešní plášť
KZ86	ULS	1.35*ZS1 + 1.35*ZS2 + 1.35*ZS3 + 0.75*ZS5 + 1.5*ZS7	3	1.35	ZS3	Stěnový plášť
			4	0.75	ZS5	Sníh
			5	1.50	ZS6	Vítr ve směru osy +X
			1	1.35	ZS1	Vlastní tíha
KZ87	ULS	1.35*ZS1 + 1.35*ZS2 + 1.35*ZS3 + 0.75*ZS5 + 1.5*ZS8	2	1.35	ZS2	Střešní plášť
			3	1.35	ZS3	Stěnový plášť
			4	0.75	ZS5	Sníh
			5	1.50	ZS7	Vítr ve směru osy -X
KZ88	ULS	1.35*ZS1 + 1.35*ZS2 + 1.35*ZS3 + 0.75*ZS5 + 1.5*ZS9	1	1.35	ZS1	Vlastní tíha
			2	1.35	ZS2	Střešní plášť
			3	1.35	ZS3	Stěnový plášť
			4	0.75	ZS5	Sníh
KZ89	ULS	1.35*ZS1 + 1.35*ZS3 + 0.75*ZS5 + 1.5*ZS6	5	1.50	ZS8	Vítr ve směru osy +Y
			1	1.35	ZS1	Vlastní tíha
			2	1.35	ZS2	Střešní plášť
			3	1.35	ZS3	Stěnový plášť
KZ90	ULS	1.35*ZS1 + 1.35*ZS3 + 0.75*ZS5 + 1.5*ZS7	4	0.75	ZS5	Sníh
			5	1.50	ZS9	Vítr ve směru osy -Y
			1	1.35	ZS1	Vlastní tíha
			2	1.35	ZS2	Střešní plášť
KZ91	ULS	1.35*ZS1 + 1.35*ZS3 + 0.75*ZS5 + 1.5*ZS8	3	0.75	ZS5	Sníh
			4	1.50	ZS6	Vítr ve směru osy +X
			1	1.35	ZS1	Vlastní tíha
			2	1.35	ZS2	Střešní plášť
KZ92	ULS	1.35*ZS1 + 1.35*ZS3 + 0.75*ZS5 + 1.5*ZS9	3	0.75	ZS5	Sníh
			4	1.50	ZS8	Vítr ve směru osy +Y
			1	1.35	ZS1	Vlastní tíha
			2	1.35	ZS2	Střešní plášť
KZ93	ULS	1.35*ZS1 + 0.75*ZS5 + 1.5*ZS6	3	0.75	ZS5	Sníh
			4	1.50	ZS9	Vítr ve směru osy -Y
			1	1.35	ZS1	Vlastní tíha
			2	0.75	ZS5	Sníh
KZ94	ULS	1.35*ZS1 + 0.75*ZS5 + 1.5*ZS7	3	1.50	ZS6	Vítr ve směru osy +X
			1	1.35	ZS1	Vlastní tíha
			2	0.75	ZS5	Sníh
			3	1.50	ZS7	Vítr ve směru osy -X
KZ95	ULS	1.35*ZS1 + 0.75*ZS5 + 1.5*ZS8	1	1.35	ZS1	Vlastní tíha
			2	0.75	ZS5	Sníh
			3	1.50	ZS8	Vítr ve směru osy +Y
			1	1.35	ZS1	Vlastní tíha
KZ96	ULS	1.35*ZS1 + 0.75*ZS5 + 1.5*ZS9	2	0.75	ZS5	Sníh
			3	1.50	ZS9	Vítr ve směru osy -Y
			1	1.00	ZS1	Vlastní tíha
			2	1.00	ZS2	Střešní plášť
KZ97	S Ch	ZS1 + ZS2 + ZS3	1	1.00	ZS1	Vlastní tíha
			2	1.00	ZS2	Střešní plášť
			3	1.00	ZS3	Stěnový plášť
			1	1.00	ZS1	Vlastní tíha
KZ98	S Ch	ZS1 + ZS2 + ZS4	2	1.00	ZS2	Střešní plášť
			3	1.00	ZS3	Stěnový plášť
			1	1.00	ZS1	Vlastní tíha
			2	1.00	ZS2	Střešní plášť
KZ99	S Ch	ZS1 + ZS2 + ZS3 + ZS4	3	1.00	ZS4	Střešní plášť
			1	1.00	ZS1	Vlastní tíha
			2	1.00	ZS2	Střešní plášť
			3	1.00	ZS3	Stěnový plášť
KZ100	S Ch	ZS1 + ZS2 + ZS3 + ZS4	1	1.00	ZS1	Vlastní tíha
			2	1.00	ZS2	Střešní plášť
			3	1.00	ZS3	Stěnový plášť
			4	1.00	ZS4	Střešní plášť
KZ101	S Ch	ZS1 + ZS2 + ZS3 + ZS4	1	1.00	ZS1	Vlastní tíha
			2	1.00	ZS2	Střešní plášť
			3	1.00	ZS3	Stěnový plášť
			4	1.00	ZS4	Střešní plášť
KZ102	S Ch	ZS1 + ZS2 + ZS3 + ZS4	1	1.00	ZS1	Vlastní tíha
			2	1.00	ZS2	Střešní plášť
			3	1.00	ZS3	Stěnový plášť
			4	1.00	ZS4	Střešní plášť
KZ103	S Ch	ZS1 + ZS2 + ZS3 + ZS4	1	1.00	ZS1	Vlastní tíha
			2	1.00	ZS2	Střešní plášť
			3	1.00	ZS3	Stěnový plášť
			4	1.00	ZS4	Střešní plášť
KZ104	S Ch	ZS1 + ZS2 + ZS3 + ZS4	1	1.00	ZS1	Vlastní tíha
			2	1.00	ZS2	Střešní plášť
			3	1.00	ZS3	Stěnový plášť
			4	1.00	ZS4	Střešní plášť
KZ105	S Ch	ZS1 + ZS2 + ZS3 + ZS4 + 0.5*ZS5	1	1.00	ZS1	Vlastní tíha
			2	1.00	ZS2	Střešní plášť
			3	1.00	ZS3	Stěnový plášť
			4	1.00	ZS4	Střešní plášť



ZATÍŽENÍ

Projekt: 2024 Model: POZARNÍ VEZ
NAVRH KROVU 2024 DYSINA - SUSENÍ HADIC

Datum: 10.05.2024

2.5 KOMBINACE ZATÍŽENÍ

Kombin. zatížení	Kombinace zatížení		č.	Zatěžovací stav		
	NS	Označení		Součinitel		
KZ106	S Ch	ZS1 + ZS2 + ZS3 + ZS4 + 0.5*ZS5	2	1.00	ZS2	Střešní plášť
			3	1.00	ZS4	Střecha - údržba
			4	0.50	ZS5	Sníh
			1	1.00	ZS1	Vlastní tíha
			2	1.00	ZS2	Střešní plášť
KZ107	S Ch	ZS1 + ZS3 + ZS4 + 0.5*ZS5	3	1.00	ZS3	Stěnový plášť
			4	1.00	ZS4	Střecha - údržba
			5	0.50	ZS5	Sníh
			1	1.00	ZS1	Vlastní tíha
			2	1.00	ZS3	Stěnový plášť
KZ108	S Ch	ZS1 + ZS2 + ZS4 + 0.5*ZS5 + 0.6*ZS6	3	1.00	ZS4	Střecha - údržba
			4	0.50	ZS5	Sníh
			5	0.60	ZS6	Vítr ve směru osy +X
			1	1.00	ZS1	Vlastní tíha
			2	1.00	ZS2	Střešní plášť
KZ109	S Ch	ZS1 + ZS2 + ZS4 + 0.5*ZS5 + 0.6*ZS7	3	1.00	ZS4	Střecha - údržba
			4	0.50	ZS5	Sníh
			5	0.60	ZS7	Vítr ve směru osy -X
			1	1.00	ZS1	Vlastní tíha
			2	1.00	ZS2	Střešní plášť
KZ110	S Ch	ZS1 + ZS2 + ZS4 + 0.5*ZS5 + 0.6*ZS8	3	1.00	ZS4	Střecha - údržba
			4	0.50	ZS5	Sníh
			5	0.60	ZS8	Vítr ve směru osy +Y
			1	1.00	ZS1	Vlastní tíha
			2	1.00	ZS2	Střešní plášť
KZ111	S Ch	ZS1 + ZS2 + ZS4 + 0.5*ZS5 + 0.6*ZS9	3	1.00	ZS4	Střecha - údržba
			4	0.50	ZS5	Sníh
			5	0.60	ZS9	Vítr ve směru osy -Y
			1	1.00	ZS1	Vlastní tíha
			2	1.00	ZS2	Střešní plášť
KZ112	S Ch	ZS1 + ZS2 + ZS3 + ZS4 + 0.5*ZS5 + 0.6*ZS6	3	1.00	ZS3	Stěnový plášť
			4	1.00	ZS4	Střecha - údržba
			5	0.50	ZS5	Sníh
			6	0.60	ZS6	Vítr ve směru osy +X
			1	1.00	ZS1	Vlastní tíha
KZ113	S Ch	ZS1 + ZS2 + ZS3 + ZS4 + 0.5*ZS5 + 0.6*ZS7	2	1.00	ZS2	Střešní plášť
			3	1.00	ZS3	Stěnový plášť
			4	1.00	ZS4	Střecha - údržba
			5	0.50	ZS5	Sníh
			6	0.60	ZS7	Vítr ve směru osy -X
KZ114	S Ch	ZS1 + ZS2 + ZS3 + ZS4 + 0.5*ZS5 + 0.6*ZS8	1	1.00	ZS1	Vlastní tíha
			2	1.00	ZS2	Střešní plášť
			3	1.00	ZS3	Stěnový plášť
			4	1.00	ZS4	Střecha - údržba
			5	0.50	ZS5	Sníh
KZ115	S Ch	ZS1 + ZS2 + ZS3 + ZS4 + 0.5*ZS5 + 0.6*ZS9	6	0.60	ZS8	Vítr ve směru osy +Y
			1	1.00	ZS1	Vlastní tíha
			2	1.00	ZS2	Střešní plášť
			3	1.00	ZS3	Stěnový plášť
			4	1.00	ZS4	Střecha - údržba
KZ116	S Ch	ZS1 + ZS3 + ZS4 + 0.5*ZS5 + 0.6*ZS6	5	0.50	ZS5	Sníh
			6	0.60	ZS9	Vítr ve směru osy -Y
			1	1.00	ZS1	Vlastní tíha
			2	1.00	ZS3	Stěnový plášť
			3	1.00	ZS4	Střecha - údržba
KZ117	S Ch	ZS1 + ZS3 + ZS4 + 0.5*ZS5 + 0.6*ZS7	4	0.50	ZS5	Sníh
			5	0.60	ZS6	Vítr ve směru osy +X
			1	1.00	ZS1	Vlastní tíha
			2	1.00	ZS3	Stěnový plášť
			3	1.00	ZS4	Střecha - údržba
KZ118	S Ch	ZS1 + ZS3 + ZS4 + 0.5*ZS5 + 0.6*ZS8	4	0.50	ZS5	Sníh
			5	0.60	ZS7	Vítr ve směru osy -X
			1	1.00	ZS1	Vlastní tíha
			2	1.00	ZS3	Stěnový plášť
			3	1.00	ZS4	Střecha - údržba
KZ119	S Ch	ZS1 + ZS3 + ZS4 + 0.5*ZS5 + 0.6*ZS9	4	0.50	ZS5	Sníh
			5	0.60	ZS8	Vítr ve směru osy +Y
			1	1.00	ZS1	Vlastní tíha
			2	1.00	ZS3	Stěnový plášť
			3	1.00	ZS4	Střecha - údržba
KZ120	S Ch	ZS1 + ZS2 + ZS4 + 0.6*ZS6	4	0.50	ZS5	Sníh
			5	0.60	ZS9	Vítr ve směru osy -Y
			1	1.00	ZS1	Vlastní tíha
			2	1.00	ZS2	Střešní plášť
			3	1.00	ZS4	Střecha - údržba
KZ121	S Ch	ZS1 + ZS2 + ZS4 + 0.6*ZS7	4	0.60	ZS6	Vítr ve směru osy +X
			1	1.00	ZS1	Vlastní tíha
			2	1.00	ZS2	Střešní plášť
			3	1.00	ZS4	Střecha - údržba
			4	0.60	ZS7	Vítr ve směru osy -X
KZ122	S Ch	ZS1 + ZS2 + ZS4 + 0.6*ZS8	1	1.00	ZS1	Vlastní tíha
			2	1.00	ZS2	Střešní plášť
			3	1.00	ZS4	Střecha - údržba
			4	0.60	ZS8	Vítr ve směru osy +Y
			1	1.00	ZS1	Vlastní tíha
KZ123	S Ch	ZS1 + ZS2 + ZS4 + 0.6*ZS9	2	1.00	ZS2	Střešní plášť
			3	1.00	ZS4	Střecha - údržba
			3	1.00	ZS4	Střecha - údržba



ZATÍŽENÍ

Projekt: 2024 Model: POZARNÍ VEZ
NAVRH KROVU 2024 DYSINA - SUSENÍ HADIC

Datum: 10.05.2024

2.5 KOMBINACE ZATÍŽENÍ

Kombin. zatížení	Kombinace zatížení		č.	Součinitel	Zatěžovací stav	
	NS	Označení				
KZ124	S Ch	ZS1 + ZS2 + ZS3 + ZS4 + 0.6*ZS6	4	0.60	ZS9	Vítr ve směru osy -Y
			1	1.00	ZS1	Vlastní tíha
			2	1.00	ZS2	Střešní plášť
			3	1.00	ZS3	Stěnový plášť
			4	1.00	ZS4	Střecha - údržba
KZ125	S Ch	ZS1 + ZS2 + ZS3 + ZS4 + 0.6*ZS7	5	0.60	ZS6	Vítr ve směru osy +X
			1	1.00	ZS1	Vlastní tíha
			2	1.00	ZS2	Střešní plášť
			3	1.00	ZS3	Stěnový plášť
			4	1.00	ZS4	Střecha - údržba
KZ126	S Ch	ZS1 + ZS2 + ZS3 + ZS4 + 0.6*ZS8	5	0.60	ZS7	Vítr ve směru osy -X
			1	1.00	ZS1	Vlastní tíha
			2	1.00	ZS2	Střešní plášť
			3	1.00	ZS3	Stěnový plášť
			4	1.00	ZS4	Střecha - údržba
KZ127	S Ch	ZS1 + ZS2 + ZS3 + ZS4 + 0.6*ZS9	5	0.60	ZS8	Vítr ve směru osy +Y
			1	1.00	ZS1	Vlastní tíha
			2	1.00	ZS2	Střešní plášť
			3	1.00	ZS3	Stěnový plášť
			4	1.00	ZS4	Střecha - údržba
KZ128	S Ch	ZS1 + ZS3 + ZS4 + 0.6*ZS6	5	0.60	ZS9	Vítr ve směru osy -Y
			1	1.00	ZS1	Vlastní tíha
			2	1.00	ZS3	Stěnový plášť
			3	1.00	ZS4	Střecha - údržba
			4	0.60	ZS6	Vítr ve směru osy +X
KZ129	S Ch	ZS1 + ZS3 + ZS4 + 0.6*ZS7	4	0.60	ZS7	Vítr ve směru osy -X
			1	1.00	ZS1	Vlastní tíha
			2	1.00	ZS3	Stěnový plášť
			3	1.00	ZS4	Střecha - údržba
			4	0.60	ZS7	Vítr ve směru osy -X
KZ130	S Ch	ZS1 + ZS3 + ZS4 + 0.6*ZS8	4	0.60	ZS8	Vítr ve směru osy +Y
			1	1.00	ZS1	Vlastní tíha
			2	1.00	ZS3	Stěnový plášť
			3	1.00	ZS4	Střecha - údržba
			4	0.60	ZS8	Vítr ve směru osy +Y
KZ131	S Ch	ZS1 + ZS3 + ZS4 + 0.6*ZS9	4	0.60	ZS9	Vítr ve směru osy -Y
			1	1.00	ZS1	Vlastní tíha
			2	1.00	ZS3	Stěnový plášť
			3	1.00	ZS4	Střecha - údržba
			4	0.60	ZS9	Vítr ve směru osy -Y
KZ132	S Ch	ZS1 + ZS4 + 0.5*ZS5	1	1.00	ZS1	Vlastní tíha
			2	1.00	ZS4	Střecha - údržba
			3	0.50	ZS5	Sníh
KZ133	S Ch	ZS1 + ZS4 + 0.5*ZS5 + 0.6*ZS6	4	0.60	ZS6	Vítr ve směru osy +X
			1	1.00	ZS1	Vlastní tíha
			2	1.00	ZS4	Střecha - údržba
			3	0.50	ZS5	Sníh
			4	0.60	ZS6	Vítr ve směru osy +X
KZ134	S Ch	ZS1 + ZS4 + 0.5*ZS5 + 0.6*ZS7	4	0.60	ZS7	Vítr ve směru osy -X
			1	1.00	ZS1	Vlastní tíha
			2	1.00	ZS4	Střecha - údržba
			3	0.50	ZS5	Sníh
			4	0.60	ZS7	Vítr ve směru osy -X
KZ135	S Ch	ZS1 + ZS4 + 0.5*ZS5 + 0.6*ZS8	4	0.60	ZS8	Vítr ve směru osy +Y
			1	1.00	ZS1	Vlastní tíha
			2	1.00	ZS4	Střecha - údržba
			3	0.50	ZS5	Sníh
			4	0.60	ZS8	Vítr ve směru osy +Y
KZ136	S Ch	ZS1 + ZS4 + 0.5*ZS5 + 0.6*ZS9	4	0.60	ZS9	Vítr ve směru osy -Y
			1	1.00	ZS1	Vlastní tíha
			2	1.00	ZS4	Střecha - údržba
			3	0.50	ZS5	Sníh
			4	0.60	ZS9	Vítr ve směru osy -Y
KZ137	S Ch	ZS1 + ZS4 + 0.6*ZS6	2	1.00	ZS4	Střecha - údržba
			1	1.00	ZS1	Vlastní tíha
			3	0.60	ZS6	Vítr ve směru osy +X
KZ138	S Ch	ZS1 + ZS4 + 0.6*ZS7	3	0.60	ZS7	Vítr ve směru osy -X
			1	1.00	ZS1	Vlastní tíha
			2	1.00	ZS4	Střecha - údržba
KZ139	S Ch	ZS1 + ZS4 + 0.6*ZS8	3	0.60	ZS8	Vítr ve směru osy +Y
			1	1.00	ZS1	Vlastní tíha
			2	1.00	ZS4	Střecha - údržba
KZ140	S Ch	ZS1 + ZS4 + 0.6*ZS9	3	0.60	ZS9	Vítr ve směru osy -Y
			1	1.00	ZS1	Vlastní tíha
			2	1.00	ZS4	Střecha - údržba
KZ141	S Ch	ZS1 + ZS5	2	1.00	ZS5	Sníh
			1	1.00	ZS1	Vlastní tíha
KZ142	S Ch	ZS1 + ZS2 + ZS5	3	1.00	ZS5	Sníh
			2	1.00	ZS2	Střešní plášť
			1	1.00	ZS1	Vlastní tíha
KZ143	S Ch	ZS1 + ZS2 + ZS3 + ZS5	4	1.00	ZS5	Sníh
			3	1.00	ZS3	Stěnový plášť
			2	1.00	ZS2	Střešní plášť
			1	1.00	ZS1	Vlastní tíha
KZ144	S Ch	ZS1 + ZS3 + ZS5	3	1.00	ZS5	Sníh
			2	1.00	ZS3	Stěnový plášť
			1	1.00	ZS1	Vlastní tíha
KZ145	S Ch	ZS1 + ZS2 + ZS5 + 0.6*ZS6	4	0.60	ZS6	Vítr ve směru osy +X
			3	1.00	ZS5	Sníh
			2	1.00	ZS2	Střešní plášť
			1	1.00	ZS1	Vlastní tíha
KZ146	S Ch	ZS1 + ZS2 + ZS5 + 0.6*ZS7	4	0.60	ZS7	Vítr ve směru osy -X
			3	1.00	ZS5	Sníh
			2	1.00	ZS2	Střešní plášť
			1	1.00	ZS1	Vlastní tíha
KZ147	S Ch	ZS1 + ZS2 + ZS5 + 0.6*ZS8	3	1.00	ZS5	Sníh
			2	1.00	ZS2	Střešní plášť
			1	1.00	ZS1	Vlastní tíha



ZATÍŽENÍ

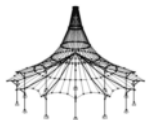
Projekt: 2024
NAVRH KROVU 2024

Model: POZARNÍ VEZ
DYSINA - SUSENÍ HADIC

Datum: 10.05.2024

2.5 KOMBINACE ZATÍŽENÍ

Kombin. zatížení	Kombinace zatížení		č.	Součinitel	Zatěžovací stav	
	NS	Označení				
KZ148	S Ch	ZS1 + ZS2 + ZS5 + 0.6*ZS9	4	0.60	ZS8	Vítr ve směru osy +Y
			1	1.00	ZS1	Vlastní tíha
			2	1.00	ZS2	Střešní plášť
			3	1.00	ZS5	Sníh
			4	0.60	ZS9	Vítr ve směru osy -Y
KZ149	S Ch	ZS1 + ZS2 + ZS3 + ZS5 + 0.6*ZS6	1	1.00	ZS1	Vlastní tíha
			2	1.00	ZS2	Střešní plášť
			3	1.00	ZS3	Stěnový plášť
			4	1.00	ZS5	Sníh
			5	0.60	ZS6	Vítr ve směru osy +X
KZ150	S Ch	ZS1 + ZS2 + ZS3 + ZS5 + 0.6*ZS7	1	1.00	ZS1	Vlastní tíha
			2	1.00	ZS2	Střešní plášť
			3	1.00	ZS3	Stěnový plášť
			4	1.00	ZS5	Sníh
			5	0.60	ZS7	Vítr ve směru osy -X
KZ151	S Ch	ZS1 + ZS2 + ZS3 + ZS5 + 0.6*ZS8	1	1.00	ZS1	Vlastní tíha
			2	1.00	ZS2	Střešní plášť
			3	1.00	ZS3	Stěnový plášť
			4	1.00	ZS5	Sníh
			5	0.60	ZS8	Vítr ve směru osy +Y
KZ152	S Ch	ZS1 + ZS2 + ZS3 + ZS5 + 0.6*ZS9	1	1.00	ZS1	Vlastní tíha
			2	1.00	ZS2	Střešní plášť
			3	1.00	ZS3	Stěnový plášť
			4	1.00	ZS5	Sníh
			5	0.60	ZS9	Vítr ve směru osy -Y
KZ153	S Ch	ZS1 + ZS3 + ZS5 + 0.6*ZS6	1	1.00	ZS1	Vlastní tíha
			2	1.00	ZS3	Stěnový plášť
			3	1.00	ZS5	Sníh
			4	0.60	ZS6	Vítr ve směru osy +X
			1	1.00	ZS1	Vlastní tíha
KZ154	S Ch	ZS1 + ZS3 + ZS5 + 0.6*ZS7	2	1.00	ZS3	Stěnový plášť
			3	1.00	ZS5	Sníh
			4	0.60	ZS7	Vítr ve směru osy -X
			1	1.00	ZS1	Vlastní tíha
			2	1.00	ZS3	Stěnový plášť
KZ155	S Ch	ZS1 + ZS3 + ZS5 + 0.6*ZS8	3	1.00	ZS5	Sníh
			4	0.60	ZS8	Vítr ve směru osy +Y
			1	1.00	ZS1	Vlastní tíha
			2	1.00	ZS3	Stěnový plášť
			3	1.00	ZS5	Sníh
KZ156	S Ch	ZS1 + ZS3 + ZS5 + 0.6*ZS9	4	0.60	ZS9	Vítr ve směru osy -Y
			1	1.00	ZS1	Vlastní tíha
			2	1.00	ZS3	Stěnový plášť
			3	1.00	ZS5	Sníh
			4	0.60	ZS9	Vítr ve směru osy -Y
KZ157	S Ch	ZS1 + ZS5 + 0.6*ZS6	1	1.00	ZS1	Vlastní tíha
			2	1.00	ZS5	Sníh
			3	0.60	ZS6	Vítr ve směru osy +X
			1	1.00	ZS1	Vlastní tíha
			2	1.00	ZS5	Sníh
KZ158	S Ch	ZS1 + ZS5 + 0.6*ZS7	3	0.60	ZS7	Vítr ve směru osy -X
			1	1.00	ZS1	Vlastní tíha
			2	1.00	ZS5	Sníh
			3	0.60	ZS7	Vítr ve směru osy -X
			1	1.00	ZS1	Vlastní tíha
KZ159	S Ch	ZS1 + ZS5 + 0.6*ZS8	2	1.00	ZS5	Sníh
			3	0.60	ZS8	Vítr ve směru osy +Y
			1	1.00	ZS1	Vlastní tíha
			2	1.00	ZS5	Sníh
			3	0.60	ZS9	Vítr ve směru osy -Y
KZ160	S Ch	ZS1 + ZS5 + 0.6*ZS9	2	1.00	ZS5	Sníh
			3	0.60	ZS9	Vítr ve směru osy -Y
			1	1.00	ZS1	Vlastní tíha
			2	1.00	ZS5	Sníh
			3	0.60	ZS9	Vítr ve směru osy -Y
KZ161	S Ch	ZS1 + ZS6	1	1.00	ZS1	Vlastní tíha
			2	1.00	ZS6	Vítr ve směru osy +X
			1	1.00	ZS1	Vlastní tíha
			2	1.00	ZS7	Vítr ve směru osy -X
			1	1.00	ZS1	Vlastní tíha
KZ162	S Ch	ZS1 + ZS7	2	1.00	ZS7	Vítr ve směru osy -X
			1	1.00	ZS1	Vlastní tíha
			2	1.00	ZS8	Vítr ve směru osy +Y
			1	1.00	ZS1	Vlastní tíha
			2	1.00	ZS8	Vítr ve směru osy +Y
KZ163	S Ch	ZS1 + ZS8	2	1.00	ZS8	Vítr ve směru osy +Y
			1	1.00	ZS1	Vlastní tíha
			2	1.00	ZS9	Vítr ve směru osy -Y
			1	1.00	ZS1	Vlastní tíha
			2	1.00	ZS2	Střešní plášť
KZ164	S Ch	ZS1 + ZS9	3	1.00	ZS6	Vítr ve směru osy +X
			1	1.00	ZS1	Vlastní tíha
			2	1.00	ZS2	Střešní plášť
			3	1.00	ZS6	Vítr ve směru osy +X
			1	1.00	ZS1	Vlastní tíha
KZ165	S Ch	ZS1 + ZS2 + ZS6	2	1.00	ZS2	Střešní plášť
			3	1.00	ZS6	Vítr ve směru osy +X
			1	1.00	ZS1	Vlastní tíha
			2	1.00	ZS2	Střešní plášť
			3	1.00	ZS8	Vítr ve směru osy +Y
KZ166	S Ch	ZS1 + ZS2 + ZS7	3	1.00	ZS7	Vítr ve směru osy -X
			1	1.00	ZS1	Vlastní tíha
			2	1.00	ZS2	Střešní plášť
			3	1.00	ZS8	Vítr ve směru osy +Y
			1	1.00	ZS1	Vlastní tíha
KZ167	S Ch	ZS1 + ZS2 + ZS8	2	1.00	ZS2	Střešní plášť
			3	1.00	ZS8	Vítr ve směru osy +Y
			1	1.00	ZS1	Vlastní tíha
			2	1.00	ZS2	Střešní plášť
			3	1.00	ZS9	Vítr ve směru osy -Y
KZ168	S Ch	ZS1 + ZS2 + ZS9	3	1.00	ZS9	Vítr ve směru osy -Y
			1	1.00	ZS1	Vlastní tíha
			2	1.00	ZS2	Střešní plášť
			3	1.00	ZS9	Vítr ve směru osy -Y
			1	1.00	ZS1	Vlastní tíha
KZ169	S Ch	ZS1 + ZS2 + ZS3 + ZS6	2	1.00	ZS2	Střešní plášť
			3	1.00	ZS3	Stěnový plášť
			4	1.00	ZS6	Vítr ve směru osy +X
			1	1.00	ZS1	Vlastní tíha
			2	1.00	ZS2	Střešní plášť
KZ170	S Ch	ZS1 + ZS2 + ZS3 + ZS7	3	1.00	ZS3	Stěnový plášť
			4	1.00	ZS7	Vítr ve směru osy -X
			1	1.00	ZS1	Vlastní tíha
			2	1.00	ZS2	Střešní plášť
			3	1.00	ZS3	Stěnový plášť
KZ171	S Ch	ZS1 + ZS2 + ZS3 + ZS8	4	1.00	ZS8	Vítr ve směru osy +Y
			1	1.00	ZS1	Vlastní tíha
			2	1.00	ZS2	Střešní plášť
			3	1.00	ZS3	Stěnový plášť
			4	1.00	ZS9	Vítr ve směru osy -Y
KZ172	S Ch	ZS1 + ZS2 + ZS3 + ZS9	1	1.00	ZS1	Vlastní tíha
			2	1.00	ZS2	Střešní plášť
			3	1.00	ZS3	Stěnový plášť
			4	1.00	ZS9	Vítr ve směru osy -Y
			1	1.00	ZS1	Vlastní tíha
KZ173	S Ch	ZS1 + ZS3 + ZS6	2	1.00	ZS3	Stěnový plášť
			1	1.00	ZS1	Vlastní tíha
			2	1.00	ZS2	Střešní plášť
			3	1.00	ZS3	Stěnový plášť
			4	1.00	ZS9	Vítr ve směru osy -Y



ZATÍŽENÍ

Projekt: 2024
NAVRH KROVU 2024

Model: POZARNÍ VEZ
DYSINA - SUSENÍ HADIC

Datum: 10.05.2024

2.5 KOMBINACE ZATÍŽENÍ

Kombin. zatížení	Kombinace zatížení		č.	Součinitel	Zatěžovací stav	
	NS	Označení				
KZ174	S Ch	ZS1 + ZS3 + ZS7	3	1.00	ZS6	Vítr ve směru osy +X
			1	1.00	ZS1	Vlastní tíha
			2	1.00	ZS3	Stěnový plášť
			3	1.00	ZS7	Vítr ve směru osy -X
KZ175	S Ch	ZS1 + ZS3 + ZS8	1	1.00	ZS1	Vlastní tíha
			2	1.00	ZS3	Stěnový plášť
			3	1.00	ZS8	Vítr ve směru osy +Y
			1	1.00	ZS1	Vlastní tíha
KZ176	S Ch	ZS1 + ZS3 + ZS9	2	1.00	ZS3	Stěnový plášť
			3	1.00	ZS9	Vítr ve směru osy -Y
			1	1.00	ZS1	Vlastní tíha
			2	1.00	ZS2	Střešní plášť
KZ177	S Ch	ZS1 + ZS2 + 0.5*ZS5 + ZS6	3	0.50	ZS5	Sníh
			4	1.00	ZS6	Vítr ve směru osy +X
			1	1.00	ZS1	Vlastní tíha
			2	1.00	ZS2	Střešní plášť
KZ178	S Ch	ZS1 + ZS2 + 0.5*ZS5 + ZS7	3	0.50	ZS5	Sníh
			4	1.00	ZS7	Vítr ve směru osy -X
			1	1.00	ZS1	Vlastní tíha
			2	1.00	ZS2	Střešní plášť
KZ179	S Ch	ZS1 + ZS2 + 0.5*ZS5 + ZS8	3	0.50	ZS5	Sníh
			4	1.00	ZS8	Vítr ve směru osy +Y
			1	1.00	ZS1	Vlastní tíha
			2	1.00	ZS2	Střešní plášť
KZ180	S Ch	ZS1 + ZS2 + 0.5*ZS5 + ZS9	3	0.50	ZS5	Sníh
			4	1.00	ZS9	Vítr ve směru osy -Y
			1	1.00	ZS1	Vlastní tíha
			2	1.00	ZS2	Střešní plášť
KZ181	S Ch	ZS1 + ZS2 + ZS3 + 0.5*ZS5 + ZS6	3	1.00	ZS3	Stěnový plášť
			4	0.50	ZS5	Sníh
			5	1.00	ZS6	Vítr ve směru osy +X
			1	1.00	ZS1	Vlastní tíha
KZ182	S Ch	ZS1 + ZS2 + ZS3 + 0.5*ZS5 + ZS7	2	1.00	ZS2	Střešní plášť
			3	1.00	ZS3	Stěnový plášť
			4	0.50	ZS5	Sníh
			5	1.00	ZS7	Vítr ve směru osy -X
KZ183	S Ch	ZS1 + ZS2 + ZS3 + 0.5*ZS5 + ZS8	1	1.00	ZS1	Vlastní tíha
			2	1.00	ZS2	Střešní plášť
			3	1.00	ZS3	Stěnový plášť
			4	0.50	ZS5	Sníh
KZ184	S Ch	ZS1 + ZS2 + ZS3 + 0.5*ZS5 + ZS9	5	1.00	ZS8	Vítr ve směru osy +Y
			1	1.00	ZS1	Vlastní tíha
			2	1.00	ZS2	Střešní plášť
			3	1.00	ZS3	Stěnový plášť
KZ185	S Ch	ZS1 + ZS3 + 0.5*ZS5 + ZS6	4	0.50	ZS5	Sníh
			5	1.00	ZS9	Vítr ve směru osy -Y
			1	1.00	ZS1	Vlastní tíha
			2	1.00	ZS3	Stěnový plášť
KZ186	S Ch	ZS1 + ZS3 + 0.5*ZS5 + ZS7	3	0.50	ZS5	Sníh
			4	1.00	ZS6	Vítr ve směru osy +X
			1	1.00	ZS1	Vlastní tíha
			2	1.00	ZS3	Stěnový plášť
KZ187	S Ch	ZS1 + ZS3 + 0.5*ZS5 + ZS8	3	0.50	ZS5	Sníh
			4	1.00	ZS8	Vítr ve směru osy +Y
			1	1.00	ZS1	Vlastní tíha
			2	1.00	ZS3	Stěnový plášť
KZ188	S Ch	ZS1 + ZS3 + 0.5*ZS5 + ZS9	3	0.50	ZS5	Sníh
			4	1.00	ZS9	Vítr ve směru osy -Y
			1	1.00	ZS1	Vlastní tíha
			2	1.00	ZS3	Stěnový plášť
KZ189	S Ch	ZS1 + 0.5*ZS5 + ZS6	3	1.00	ZS6	Vítr ve směru osy +X
			2	0.50	ZS5	Sníh
			1	1.00	ZS1	Vlastní tíha
			2	0.50	ZS5	Sníh
KZ190	S Ch	ZS1 + 0.5*ZS5 + ZS7	3	1.00	ZS7	Vítr ve směru osy -X
			1	1.00	ZS1	Vlastní tíha
			2	0.50	ZS5	Sníh
			3	1.00	ZS7	Vítr ve směru osy -X
KZ191	S Ch	ZS1 + 0.5*ZS5 + ZS8	1	1.00	ZS1	Vlastní tíha
			2	0.50	ZS5	Sníh
			3	1.00	ZS8	Vítr ve směru osy +Y
			1	1.00	ZS1	Vlastní tíha
KZ192	S Ch	ZS1 + 0.5*ZS5 + ZS9	2	0.50	ZS5	Sníh
			3	1.00	ZS9	Vítr ve směru osy -Y
			1	1.00	ZS1	Vlastní tíha
			2	1.00	ZS3	Stěnový plášť
KZ193	S Fr	ZS1	1	1.00	ZS1	Vlastní tíha
KZ194	S Fr	ZS1 + ZS2	1	1.00	ZS1	Vlastní tíha
			2	1.00	ZS2	Střešní plášť
KZ195	S Fr	ZS1 + ZS2 + ZS3	1	1.00	ZS1	Vlastní tíha
			2	1.00	ZS2	Střešní plášť
			3	1.00	ZS3	Stěnový plášť
			1	1.00	ZS1	Vlastní tíha
KZ196	S Fr	ZS1 + ZS3	2	1.00	ZS3	Stěnový plášť
			1	1.00	ZS1	Vlastní tíha
KZ197	S Fr	ZS1 + 0.2*ZS5	1	1.00	ZS1	Vlastní tíha
			2	0.20	ZS5	Sníh
KZ198	S Fr	ZS1 + ZS2 + 0.2*ZS5	1	1.00	ZS1	Vlastní tíha
			2	1.00	ZS2	Střešní plášť
			3	0.20	ZS5	Sníh
			1	1.00	ZS1	Vlastní tíha
KZ199	S Fr	ZS1 + ZS2 + ZS3 + 0.2*ZS5	2	1.00	ZS2	Střešní plášť
			3	1.00	ZS3	Stěnový plášť
			4	0.20	ZS5	Sníh
			1	1.00	ZS1	Vlastní tíha



ZATÍŽENÍ

Projekt: 2024
NAVRH KROVU 2024

Model: POZARNÍ VEZ
DYSINA - SUSENÍ HADIC

Datum: 10.05.2024

2.5 KOMBINACE ZATÍŽENÍ

Kombin. zatížení	Kombinace zatížení		č.	Součinitel	Zatěžovací stav	
	NS	Označení				
KZ200	S Fr	ZS1 + ZS3 + 0.2*ZS5	1 2 3	1.00 1.00 0.20	ZS1 ZS3 ZS5	Vlastní tíha Stěnový plášť Sníh
KZ201	S Fr	ZS1 + 0.2*ZS6	1 2	1.00 0.20	ZS1 ZS6	Vlastní tíha Vitr ve směru osy +X
KZ202	S Fr	ZS1 + 0.2*ZS7	1 2	1.00 0.20	ZS1 ZS7	Vlastní tíha Vitr ve směru osy -X
KZ203	S Fr	ZS1 + 0.2*ZS8	1 2	1.00 0.20	ZS1 ZS8	Vlastní tíha Vitr ve směru osy +Y
KZ204	S Fr	ZS1 + 0.2*ZS9	1 2	1.00 0.20	ZS1 ZS9	Vlastní tíha Vitr ve směru osy -Y
KZ205	S Fr	ZS1 + ZS2 + 0.2*ZS6	1 2 3	1.00 1.00 0.20	ZS1 ZS2 ZS6	Vlastní tíha Střešní plášť Vitr ve směru osy +X
KZ206	S Fr	ZS1 + ZS2 + 0.2*ZS7	1 2 3	1.00 1.00 0.20	ZS1 ZS2 ZS7	Vlastní tíha Střešní plášť Vitr ve směru osy -X
KZ207	S Fr	ZS1 + ZS2 + 0.2*ZS8	1 2 3	1.00 1.00 0.20	ZS1 ZS2 ZS8	Vlastní tíha Střešní plášť Vitr ve směru osy +Y
KZ208	S Fr	ZS1 + ZS2 + 0.2*ZS9	1 2 3	1.00 1.00 0.20	ZS1 ZS2 ZS9	Vlastní tíha Střešní plášť Vitr ve směru osy -Y
KZ209	S Fr	ZS1 + ZS2 + ZS3 + 0.2*ZS6	1 2 3 4	1.00 1.00 1.00 0.20	ZS1 ZS2 ZS3 ZS6	Vlastní tíha Střešní plášť Stěnový plášť Vitr ve směru osy +X
KZ210	S Fr	ZS1 + ZS2 + ZS3 + 0.2*ZS7	1 2 3 4	1.00 1.00 1.00 0.20	ZS1 ZS2 ZS3 ZS7	Vlastní tíha Střešní plášť Stěnový plášť Vitr ve směru osy -X
KZ211	S Fr	ZS1 + ZS2 + ZS3 + 0.2*ZS8	1 2 3 4	1.00 1.00 1.00 0.20	ZS1 ZS2 ZS3 ZS8	Vlastní tíha Střešní plášť Stěnový plášť Vitr ve směru osy +Y
KZ212	S Fr	ZS1 + ZS2 + ZS3 + 0.2*ZS9	1 2 3 4	1.00 1.00 1.00 0.20	ZS1 ZS2 ZS3 ZS9	Vlastní tíha Střešní plášť Stěnový plášť Vitr ve směru osy -Y
KZ213	S Fr	ZS1 + ZS3 + 0.2*ZS6	1 2 3	1.00 1.00 0.20	ZS1 ZS3 ZS6	Vlastní tíha Stěnový plášť Vitr ve směru osy +X
KZ214	S Fr	ZS1 + ZS3 + 0.2*ZS7	1 2 3	1.00 1.00 0.20	ZS1 ZS3 ZS7	Vlastní tíha Stěnový plášť Vitr ve směru osy -X
KZ215	S Fr	ZS1 + ZS3 + 0.2*ZS8	1 2 3	1.00 1.00 0.20	ZS1 ZS3 ZS8	Vlastní tíha Stěnový plášť Vitr ve směru osy +Y
KZ216	S Fr	ZS1 + ZS3 + 0.2*ZS9	1 2 3	1.00 1.00 0.20	ZS1 ZS3 ZS9	Vlastní tíha Stěnový plášť Vitr ve směru osy -Y
KZ217	S Qp	ZS1	1	1.00	ZS1	Vlastní tíha
KZ218	S Qp	ZS1 + ZS2	1 2	1.00 1.00	ZS1 ZS2	Vlastní tíha Střešní plášť
KZ219	S Qp	ZS1 + ZS2 + ZS3	1 2 3	1.00 1.00 1.00	ZS1 ZS2 ZS3	Vlastní tíha Střešní plášť Stěnový plášť
KZ220	S Qp	ZS1 + ZS3	1 2	1.00 1.00	ZS1 ZS3	Vlastní tíha Stěnový plášť

2.5.2 KOMBINACE ZATÍŽENÍ - PARAMETRY VÝPOČTU

Kombin. zatížení	Označení	Parametry výpočtu	
KZ1	1.35*ZS1	Způsob výpočtu Možnosti	<ul style="list-style-type: none">Analýza podle II. řádu (P-Delta)Zohlednit příznivé tahové účinkyVztáhnout vnitřní síly na přetvořený systém pro:<ul style="list-style-type: none">Normálové síly NSmykové síly V_y a V_zMomenty M_y, M_z a M_T
KZ2	1.35*ZS1 + 1.35*ZS2	Způsob výpočtu Možnosti	<ul style="list-style-type: none">Analýza podle II. řádu (P-Delta)Zohlednit příznivé tahové účinkyVztáhnout vnitřní síly na přetvořený systém pro:<ul style="list-style-type: none">Normálové síly NSmykové síly V_y a V_zMomenty M_y, M_z a M_T
KZ3	1.35*ZS1 + 1.35*ZS2 + 1.35*ZS3	Způsob výpočtu Možnosti	<ul style="list-style-type: none">Analýza podle II. řádu (P-Delta)Zohlednit příznivé tahové účinkyVztáhnout vnitřní síly na přetvořený systém pro:<ul style="list-style-type: none">Normálové síly NSmykové síly V_y a V_zMomenty M_y, M_z a M_T
KZ4	1.35*ZS1 + 1.35*ZS3	Způsob výpočtu Možnosti	<ul style="list-style-type: none">Analýza podle II. řádu (P-Delta)Zohlednit příznivé tahové účinkyVztáhnout vnitřní síly na přetvořený systém pro:<ul style="list-style-type: none">Normálové síly NSmykové síly V_y a V_zMomenty M_y, M_z a M_T



Projekt: 2024 Model: POZARNÍ VEZ
NAVRH KROVU 2024 DYSINA - SUSENÍ HADIC

Datum: 10.05.2024

2.5.2 KOMBINACE ZATÍŽENÍ - PARAMETRY VÝPOČTU

Kombin. zatížení	Označení	Parametry výpočtu
		systém pro: <input checked="" type="checkbox"/> Normálové síly N <input checked="" type="checkbox"/> Smykové síly V_y a V_z <input checked="" type="checkbox"/> Momenty M_y , M_z a M_T
KZ5	1.35*ZS1 + 1.5*ZS4	Způsob výpočtu : <input checked="" type="radio"/> Analýza podle II. řádu (P-Delta) Možnosti : <input checked="" type="checkbox"/> Zohlednit příznivé tahové účinky : <input checked="" type="checkbox"/> Vztáhnout vnitřní síly na přetvořený systém pro: : <input checked="" type="checkbox"/> Normálové síly N : <input checked="" type="checkbox"/> Smykové síly V_y a V_z : <input checked="" type="checkbox"/> Momenty M_y , M_z a M_T
KZ6	1.35*ZS1 + 1.35*ZS2 + 1.5*ZS4	Způsob výpočtu : <input checked="" type="radio"/> Analýza podle II. řádu (P-Delta) Možnosti : <input checked="" type="checkbox"/> Zohlednit příznivé tahové účinky : <input checked="" type="checkbox"/> Vztáhnout vnitřní síly na přetvořený systém pro: : <input checked="" type="checkbox"/> Normálové síly N : <input checked="" type="checkbox"/> Smykové síly V_y a V_z : <input checked="" type="checkbox"/> Momenty M_y , M_z a M_T
KZ7	1.35*ZS1 + 1.35*ZS2 + 1.35*ZS3 + 1.5*ZS4	Způsob výpočtu : <input checked="" type="radio"/> Analýza podle II. řádu (P-Delta) Možnosti : <input checked="" type="checkbox"/> Zohlednit příznivé tahové účinky : <input checked="" type="checkbox"/> Vztáhnout vnitřní síly na přetvořený systém pro: : <input checked="" type="checkbox"/> Normálové síly N : <input checked="" type="checkbox"/> Smykové síly V_y a V_z : <input checked="" type="checkbox"/> Momenty M_y , M_z a M_T
KZ8	1.35*ZS1 + 1.35*ZS3 + 1.5*ZS4	Způsob výpočtu : <input checked="" type="radio"/> Analýza podle II. řádu (P-Delta) Možnosti : <input checked="" type="checkbox"/> Zohlednit příznivé tahové účinky : <input checked="" type="checkbox"/> Vztáhnout vnitřní síly na přetvořený systém pro: : <input checked="" type="checkbox"/> Normálové síly N : <input checked="" type="checkbox"/> Smykové síly V_y a V_z : <input checked="" type="checkbox"/> Momenty M_y , M_z a M_T
KZ9	1.35*ZS1 + 1.35*ZS2 + 1.5*ZS4 + 0.75*ZS5	Způsob výpočtu : <input checked="" type="radio"/> Analýza podle II. řádu (P-Delta) Možnosti : <input checked="" type="checkbox"/> Zohlednit příznivé tahové účinky : <input checked="" type="checkbox"/> Vztáhnout vnitřní síly na přetvořený systém pro: : <input checked="" type="checkbox"/> Normálové síly N : <input checked="" type="checkbox"/> Smykové síly V_y a V_z : <input checked="" type="checkbox"/> Momenty M_y , M_z a M_T
KZ10	1.35*ZS1 + 1.35*ZS2 + 1.35*ZS3 + 1.5*ZS4 + 0.75*ZS5	Způsob výpočtu : <input checked="" type="radio"/> Analýza podle II. řádu (P-Delta) Možnosti : <input checked="" type="checkbox"/> Zohlednit příznivé tahové účinky : <input checked="" type="checkbox"/> Vztáhnout vnitřní síly na přetvořený systém pro: : <input checked="" type="checkbox"/> Normálové síly N : <input checked="" type="checkbox"/> Smykové síly V_y a V_z : <input checked="" type="checkbox"/> Momenty M_y , M_z a M_T
KZ11	1.35*ZS1 + 1.35*ZS3 + 1.5*ZS4 + 0.75*ZS5	Způsob výpočtu : <input checked="" type="radio"/> Analýza podle II. řádu (P-Delta) Možnosti : <input checked="" type="checkbox"/> Zohlednit příznivé tahové účinky : <input checked="" type="checkbox"/> Vztáhnout vnitřní síly na přetvořený systém pro: : <input checked="" type="checkbox"/> Normálové síly N : <input checked="" type="checkbox"/> Smykové síly V_y a V_z : <input checked="" type="checkbox"/> Momenty M_y , M_z a M_T
KZ12	1.35*ZS1 + 1.35*ZS2 + 1.5*ZS4 + 0.75*ZS5 + 0.9*ZS6	Způsob výpočtu : <input checked="" type="radio"/> Analýza podle II. řádu (P-Delta) Možnosti : <input checked="" type="checkbox"/> Zohlednit příznivé tahové účinky : <input checked="" type="checkbox"/> Vztáhnout vnitřní síly na přetvořený systém pro: : <input checked="" type="checkbox"/> Normálové síly N : <input checked="" type="checkbox"/> Smykové síly V_y a V_z : <input checked="" type="checkbox"/> Momenty M_y , M_z a M_T
KZ13	1.35*ZS1 + 1.35*ZS2 + 1.5*ZS4 + 0.75*ZS5 + 0.9*ZS7	Způsob výpočtu : <input checked="" type="radio"/> Analýza podle II. řádu (P-Delta) Možnosti : <input checked="" type="checkbox"/> Zohlednit příznivé tahové účinky : <input checked="" type="checkbox"/> Vztáhnout vnitřní síly na přetvořený systém pro: : <input checked="" type="checkbox"/> Normálové síly N : <input checked="" type="checkbox"/> Smykové síly V_y a V_z : <input checked="" type="checkbox"/> Momenty M_y , M_z a M_T
KZ14	1.35*ZS1 + 1.35*ZS2 + 1.5*ZS4 + 0.75*ZS5 + 0.9*ZS8	Způsob výpočtu : <input checked="" type="radio"/> Analýza podle II. řádu (P-Delta) Možnosti : <input checked="" type="checkbox"/> Zohlednit příznivé tahové účinky : <input checked="" type="checkbox"/> Vztáhnout vnitřní síly na přetvořený systém pro: : <input checked="" type="checkbox"/> Normálové síly N : <input checked="" type="checkbox"/> Smykové síly V_y a V_z : <input checked="" type="checkbox"/> Momenty M_y , M_z a M_T
KZ15	1.35*ZS1 + 1.35*ZS2 + 1.5*ZS4 + 0.75*ZS5 + 0.9*ZS9	Způsob výpočtu : <input checked="" type="radio"/> Analýza podle II. řádu (P-Delta) Možnosti : <input checked="" type="checkbox"/> Zohlednit příznivé tahové účinky : <input checked="" type="checkbox"/> Vztáhnout vnitřní síly na přetvořený systém pro: : <input checked="" type="checkbox"/> Normálové síly N : <input checked="" type="checkbox"/> Smykové síly V_y a V_z : <input checked="" type="checkbox"/> Momenty M_y , M_z a M_T



Projekt: 2024
NAVRH KROVU 2024

Model: POZARNÍ VEZ
DYSINA - SUSENÍ HADIC

Datum: 10.05.2024

2.5.2 KOMBINACE ZATÍŽENÍ - PARAMETRY VÝPOČTU

Kombin. zatížení	Označení	Parametry výpočtu	
KZ16	1.35*ZS1 + 1.35*ZS2 + 1.35*ZS3 + 1.5*ZS4 + 0.75*ZS5 + 0.9*ZS6	Způsob výpočtu	: <input checked="" type="radio"/> Analýza podle II. řádu (P-Delta)
		Možnosti	: <input checked="" type="checkbox"/> Zohlednit příznivé tahové účinky : <input checked="" type="checkbox"/> Vztáhnout vnitřní síly na přetvořený systém pro: : <input checked="" type="checkbox"/> Normálové síly N : <input checked="" type="checkbox"/> Smykové síly V_y a V_z : <input checked="" type="checkbox"/> Momenty M_y , M_z a M_T
KZ17	1.35*ZS1 + 1.35*ZS2 + 1.35*ZS3 + 1.5*ZS4 + 0.75*ZS5 + 0.9*ZS7	Způsob výpočtu	: <input checked="" type="radio"/> Analýza podle II. řádu (P-Delta)
		Možnosti	: <input checked="" type="checkbox"/> Zohlednit příznivé tahové účinky : <input checked="" type="checkbox"/> Vztáhnout vnitřní síly na přetvořený systém pro: : <input checked="" type="checkbox"/> Normálové síly N : <input checked="" type="checkbox"/> Smykové síly V_y a V_z : <input checked="" type="checkbox"/> Momenty M_y , M_z a M_T
KZ18	1.35*ZS1 + 1.35*ZS2 + 1.35*ZS3 + 1.5*ZS4 + 0.75*ZS5 + 0.9*ZS8	Způsob výpočtu	: <input checked="" type="radio"/> Analýza podle II. řádu (P-Delta)
		Možnosti	: <input checked="" type="checkbox"/> Zohlednit příznivé tahové účinky : <input checked="" type="checkbox"/> Vztáhnout vnitřní síly na přetvořený systém pro: : <input checked="" type="checkbox"/> Normálové síly N : <input checked="" type="checkbox"/> Smykové síly V_y a V_z : <input checked="" type="checkbox"/> Momenty M_y , M_z a M_T
KZ19	1.35*ZS1 + 1.35*ZS2 + 1.35*ZS3 + 1.5*ZS4 + 0.75*ZS5 + 0.9*ZS9	Způsob výpočtu	: <input checked="" type="radio"/> Analýza podle II. řádu (P-Delta)
		Možnosti	: <input checked="" type="checkbox"/> Zohlednit příznivé tahové účinky : <input checked="" type="checkbox"/> Vztáhnout vnitřní síly na přetvořený systém pro: : <input checked="" type="checkbox"/> Normálové síly N : <input checked="" type="checkbox"/> Smykové síly V_y a V_z : <input checked="" type="checkbox"/> Momenty M_y , M_z a M_T
KZ20	1.35*ZS1 + 1.35*ZS3 + 1.5*ZS4 + 0.75*ZS5 + 0.9*ZS6	Způsob výpočtu	: <input checked="" type="radio"/> Analýza podle II. řádu (P-Delta)
		Možnosti	: <input checked="" type="checkbox"/> Zohlednit příznivé tahové účinky : <input checked="" type="checkbox"/> Vztáhnout vnitřní síly na přetvořený systém pro: : <input checked="" type="checkbox"/> Normálové síly N : <input checked="" type="checkbox"/> Smykové síly V_y a V_z : <input checked="" type="checkbox"/> Momenty M_y , M_z a M_T
KZ21	1.35*ZS1 + 1.35*ZS3 + 1.5*ZS4 + 0.75*ZS5 + 0.9*ZS7	Způsob výpočtu	: <input checked="" type="radio"/> Analýza podle II. řádu (P-Delta)
		Možnosti	: <input checked="" type="checkbox"/> Zohlednit příznivé tahové účinky : <input checked="" type="checkbox"/> Vztáhnout vnitřní síly na přetvořený systém pro: : <input checked="" type="checkbox"/> Normálové síly N : <input checked="" type="checkbox"/> Smykové síly V_y a V_z : <input checked="" type="checkbox"/> Momenty M_y , M_z a M_T
KZ22	1.35*ZS1 + 1.35*ZS3 + 1.5*ZS4 + 0.75*ZS5 + 0.9*ZS8	Způsob výpočtu	: <input checked="" type="radio"/> Analýza podle II. řádu (P-Delta)
		Možnosti	: <input checked="" type="checkbox"/> Zohlednit příznivé tahové účinky : <input checked="" type="checkbox"/> Vztáhnout vnitřní síly na přetvořený systém pro: : <input checked="" type="checkbox"/> Normálové síly N : <input checked="" type="checkbox"/> Smykové síly V_y a V_z : <input checked="" type="checkbox"/> Momenty M_y , M_z a M_T
KZ23	1.35*ZS1 + 1.35*ZS3 + 1.5*ZS4 + 0.75*ZS5 + 0.9*ZS9	Způsob výpočtu	: <input checked="" type="radio"/> Analýza podle II. řádu (P-Delta)
		Možnosti	: <input checked="" type="checkbox"/> Zohlednit příznivé tahové účinky : <input checked="" type="checkbox"/> Vztáhnout vnitřní síly na přetvořený systém pro: : <input checked="" type="checkbox"/> Normálové síly N : <input checked="" type="checkbox"/> Smykové síly V_y a V_z : <input checked="" type="checkbox"/> Momenty M_y , M_z a M_T
KZ24	1.35*ZS1 + 1.35*ZS2 + 1.5*ZS4 + 0.9*ZS6	Způsob výpočtu	: <input checked="" type="radio"/> Analýza podle II. řádu (P-Delta)
		Možnosti	: <input checked="" type="checkbox"/> Zohlednit příznivé tahové účinky : <input checked="" type="checkbox"/> Vztáhnout vnitřní síly na přetvořený systém pro: : <input checked="" type="checkbox"/> Normálové síly N : <input checked="" type="checkbox"/> Smykové síly V_y a V_z : <input checked="" type="checkbox"/> Momenty M_y , M_z a M_T
KZ25	1.35*ZS1 + 1.35*ZS2 + 1.5*ZS4 + 0.9*ZS7	Způsob výpočtu	: <input checked="" type="radio"/> Analýza podle II. řádu (P-Delta)
		Možnosti	: <input checked="" type="checkbox"/> Zohlednit příznivé tahové účinky : <input checked="" type="checkbox"/> Vztáhnout vnitřní síly na přetvořený systém pro: : <input checked="" type="checkbox"/> Normálové síly N : <input checked="" type="checkbox"/> Smykové síly V_y a V_z : <input checked="" type="checkbox"/> Momenty M_y , M_z a M_T
KZ26	1.35*ZS1 + 1.35*ZS2 + 1.5*ZS4 + 0.9*ZS8	Způsob výpočtu	: <input checked="" type="radio"/> Analýza podle II. řádu (P-Delta)
		Možnosti	: <input checked="" type="checkbox"/> Zohlednit příznivé tahové účinky : <input checked="" type="checkbox"/> Vztáhnout vnitřní síly na přetvořený systém pro: : <input checked="" type="checkbox"/> Normálové síly N : <input checked="" type="checkbox"/> Smykové síly V_y a V_z : <input checked="" type="checkbox"/> Momenty M_y , M_z a M_T
KZ27	1.35*ZS1 + 1.35*ZS2 + 1.5*ZS4	Způsob výpočtu	: <input checked="" type="radio"/> Analýza podle II. řádu (P-Delta)

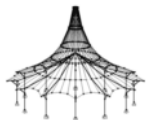


Projekt: 2024 Model: POZARNÍ VEZ
NAVRH KROVU 2024 DYSINA - SUSENÍ HADIC

Datum: 10.05.2024

2.5.2 KOMBINACE ZATÍŽENÍ - PARAMETRY VÝPOČTU

Kombin. zatížení	Označení	Parametry výpočtu	
	+ 0.9*ZS9	Možnosti	<input checked="" type="checkbox"/> Zohlednit příznivé tahové účinky <input checked="" type="checkbox"/> Vztáhnout vnitřní síly na přetvořený systém pro: <input checked="" type="checkbox"/> Normálové síly N <input checked="" type="checkbox"/> Smykové síly V_y a V_z <input checked="" type="checkbox"/> Momenty M_y , M_z a M_T
KZ28	1.35*ZS1 + 1.35*ZS2 + 1.35*ZS3 + 1.5*ZS4 + 0.9*ZS6	Způsob výpočtu	<input checked="" type="radio"/> Analýza podle II. řádu (P-Delta)
		Možnosti	<input checked="" type="checkbox"/> Zohlednit příznivé tahové účinky <input checked="" type="checkbox"/> Vztáhnout vnitřní síly na přetvořený systém pro: <input checked="" type="checkbox"/> Normálové síly N <input checked="" type="checkbox"/> Smykové síly V_y a V_z <input checked="" type="checkbox"/> Momenty M_y , M_z a M_T
KZ29	1.35*ZS1 + 1.35*ZS2 + 1.35*ZS3 + 1.5*ZS4 + 0.9*ZS7	Způsob výpočtu	<input checked="" type="radio"/> Analýza podle II. řádu (P-Delta)
		Možnosti	<input checked="" type="checkbox"/> Zohlednit příznivé tahové účinky <input checked="" type="checkbox"/> Vztáhnout vnitřní síly na přetvořený systém pro: <input checked="" type="checkbox"/> Normálové síly N <input checked="" type="checkbox"/> Smykové síly V_y a V_z <input checked="" type="checkbox"/> Momenty M_y , M_z a M_T
KZ30	1.35*ZS1 + 1.35*ZS2 + 1.35*ZS3 + 1.5*ZS4 + 0.9*ZS8	Způsob výpočtu	<input checked="" type="radio"/> Analýza podle II. řádu (P-Delta)
		Možnosti	<input checked="" type="checkbox"/> Zohlednit příznivé tahové účinky <input checked="" type="checkbox"/> Vztáhnout vnitřní síly na přetvořený systém pro: <input checked="" type="checkbox"/> Normálové síly N <input checked="" type="checkbox"/> Smykové síly V_y a V_z <input checked="" type="checkbox"/> Momenty M_y , M_z a M_T
KZ31	1.35*ZS1 + 1.35*ZS2 + 1.35*ZS3 + 1.5*ZS4 + 0.9*ZS9	Způsob výpočtu	<input checked="" type="radio"/> Analýza podle II. řádu (P-Delta)
		Možnosti	<input checked="" type="checkbox"/> Zohlednit příznivé tahové účinky <input checked="" type="checkbox"/> Vztáhnout vnitřní síly na přetvořený systém pro: <input checked="" type="checkbox"/> Normálové síly N <input checked="" type="checkbox"/> Smykové síly V_y a V_z <input checked="" type="checkbox"/> Momenty M_y , M_z a M_T
KZ32	1.35*ZS1 + 1.35*ZS3 + 1.5*ZS4 + 0.9*ZS6	Způsob výpočtu	<input checked="" type="radio"/> Analýza podle II. řádu (P-Delta)
		Možnosti	<input checked="" type="checkbox"/> Zohlednit příznivé tahové účinky <input checked="" type="checkbox"/> Vztáhnout vnitřní síly na přetvořený systém pro: <input checked="" type="checkbox"/> Normálové síly N <input checked="" type="checkbox"/> Smykové síly V_y a V_z <input checked="" type="checkbox"/> Momenty M_y , M_z a M_T
KZ33	1.35*ZS1 + 1.35*ZS3 + 1.5*ZS4 + 0.9*ZS7	Způsob výpočtu	<input checked="" type="radio"/> Analýza podle II. řádu (P-Delta)
		Možnosti	<input checked="" type="checkbox"/> Zohlednit příznivé tahové účinky <input checked="" type="checkbox"/> Vztáhnout vnitřní síly na přetvořený systém pro: <input checked="" type="checkbox"/> Normálové síly N <input checked="" type="checkbox"/> Smykové síly V_y a V_z <input checked="" type="checkbox"/> Momenty M_y , M_z a M_T
KZ34	1.35*ZS1 + 1.35*ZS3 + 1.5*ZS4 + 0.9*ZS8	Způsob výpočtu	<input checked="" type="radio"/> Analýza podle II. řádu (P-Delta)
		Možnosti	<input checked="" type="checkbox"/> Zohlednit příznivé tahové účinky <input checked="" type="checkbox"/> Vztáhnout vnitřní síly na přetvořený systém pro: <input checked="" type="checkbox"/> Normálové síly N <input checked="" type="checkbox"/> Smykové síly V_y a V_z <input checked="" type="checkbox"/> Momenty M_y , M_z a M_T
KZ35	1.35*ZS1 + 1.35*ZS3 + 1.5*ZS4 + 0.9*ZS9	Způsob výpočtu	<input checked="" type="radio"/> Analýza podle II. řádu (P-Delta)
		Možnosti	<input checked="" type="checkbox"/> Zohlednit příznivé tahové účinky <input checked="" type="checkbox"/> Vztáhnout vnitřní síly na přetvořený systém pro: <input checked="" type="checkbox"/> Normálové síly N <input checked="" type="checkbox"/> Smykové síly V_y a V_z <input checked="" type="checkbox"/> Momenty M_y , M_z a M_T
KZ36	1.35*ZS1 + 1.5*ZS4 + 0.75*ZS5	Způsob výpočtu	<input checked="" type="radio"/> Analýza podle II. řádu (P-Delta)
		Možnosti	<input checked="" type="checkbox"/> Zohlednit příznivé tahové účinky <input checked="" type="checkbox"/> Vztáhnout vnitřní síly na přetvořený systém pro: <input checked="" type="checkbox"/> Normálové síly N <input checked="" type="checkbox"/> Smykové síly V_y a V_z <input checked="" type="checkbox"/> Momenty M_y , M_z a M_T
KZ37	1.35*ZS1 + 1.5*ZS4 + 0.75*ZS5 + 0.9*ZS6	Způsob výpočtu	<input checked="" type="radio"/> Analýza podle II. řádu (P-Delta)
		Možnosti	<input checked="" type="checkbox"/> Zohlednit příznivé tahové účinky <input checked="" type="checkbox"/> Vztáhnout vnitřní síly na přetvořený systém pro: <input checked="" type="checkbox"/> Normálové síly N <input checked="" type="checkbox"/> Smykové síly V_y a V_z <input checked="" type="checkbox"/> Momenty M_y , M_z a M_T
KZ38	1.35*ZS1 + 1.5*ZS4 + 0.75*ZS5 + 0.9*ZS7	Způsob výpočtu	<input checked="" type="radio"/> Analýza podle II. řádu (P-Delta)
		Možnosti	<input checked="" type="checkbox"/> Zohlednit příznivé tahové účinky



ZATÍŽENÍ

Projekt: 2024 Model: POZARNÍ VEZ
NAVRH KROVU 2024 DYSINA - SUSENÍ HADIC

Datum: 10.05.2024

2.5.2 KOMBINACE ZATÍŽENÍ - PARAMETRY VÝPOČTU

Kombin. zatížení	Označení	Parametry výpočtu
		<input checked="" type="checkbox"/> Vztáhnout vnitřní síly na přetvořený systém pro: <input checked="" type="checkbox"/> Normálové síly N <input checked="" type="checkbox"/> Smykové síly V_y a V_z <input checked="" type="checkbox"/> Momenty M_y , M_z a M_T
KZ39	1.35*ZS1 + 1.5*ZS4 + 0.75*ZS5 + 0.9*ZS8	Způsob výpočtu: <input checked="" type="radio"/> Analýza podle II. řádu (P-Delta) Možnosti: <input checked="" type="checkbox"/> Zohlednit příznivé tahové účinky <input checked="" type="checkbox"/> Vztáhnout vnitřní síly na přetvořený systém pro: <input checked="" type="checkbox"/> Normálové síly N <input checked="" type="checkbox"/> Smykové síly V_y a V_z <input checked="" type="checkbox"/> Momenty M_y , M_z a M_T
KZ40	1.35*ZS1 + 1.5*ZS4 + 0.75*ZS5 + 0.9*ZS9	Způsob výpočtu: <input checked="" type="radio"/> Analýza podle II. řádu (P-Delta) Možnosti: <input checked="" type="checkbox"/> Zohlednit příznivé tahové účinky <input checked="" type="checkbox"/> Vztáhnout vnitřní síly na přetvořený systém pro: <input checked="" type="checkbox"/> Normálové síly N <input checked="" type="checkbox"/> Smykové síly V_y a V_z <input checked="" type="checkbox"/> Momenty M_y , M_z a M_T
KZ41	1.35*ZS1 + 1.5*ZS4 + 0.9*ZS6	Způsob výpočtu: <input checked="" type="radio"/> Analýza podle II. řádu (P-Delta) Možnosti: <input checked="" type="checkbox"/> Zohlednit příznivé tahové účinky <input checked="" type="checkbox"/> Vztáhnout vnitřní síly na přetvořený systém pro: <input checked="" type="checkbox"/> Normálové síly N <input checked="" type="checkbox"/> Smykové síly V_y a V_z <input checked="" type="checkbox"/> Momenty M_y , M_z a M_T
KZ42	1.35*ZS1 + 1.5*ZS4 + 0.9*ZS7	Způsob výpočtu: <input checked="" type="radio"/> Analýza podle II. řádu (P-Delta) Možnosti: <input checked="" type="checkbox"/> Zohlednit příznivé tahové účinky <input checked="" type="checkbox"/> Vztáhnout vnitřní síly na přetvořený systém pro: <input checked="" type="checkbox"/> Normálové síly N <input checked="" type="checkbox"/> Smykové síly V_y a V_z <input checked="" type="checkbox"/> Momenty M_y , M_z a M_T
KZ43	1.35*ZS1 + 1.5*ZS4 + 0.9*ZS8	Způsob výpočtu: <input checked="" type="radio"/> Analýza podle II. řádu (P-Delta) Možnosti: <input checked="" type="checkbox"/> Zohlednit příznivé tahové účinky <input checked="" type="checkbox"/> Vztáhnout vnitřní síly na přetvořený systém pro: <input checked="" type="checkbox"/> Normálové síly N <input checked="" type="checkbox"/> Smykové síly V_y a V_z <input checked="" type="checkbox"/> Momenty M_y , M_z a M_T
KZ44	1.35*ZS1 + 1.5*ZS4 + 0.9*ZS9	Způsob výpočtu: <input checked="" type="radio"/> Analýza podle II. řádu (P-Delta) Možnosti: <input checked="" type="checkbox"/> Zohlednit příznivé tahové účinky <input checked="" type="checkbox"/> Vztáhnout vnitřní síly na přetvořený systém pro: <input checked="" type="checkbox"/> Normálové síly N <input checked="" type="checkbox"/> Smykové síly V_y a V_z <input checked="" type="checkbox"/> Momenty M_y , M_z a M_T
KZ45	1.35*ZS1 + 1.5*ZS5	Způsob výpočtu: <input checked="" type="radio"/> Analýza podle II. řádu (P-Delta) Možnosti: <input checked="" type="checkbox"/> Zohlednit příznivé tahové účinky <input checked="" type="checkbox"/> Vztáhnout vnitřní síly na přetvořený systém pro: <input checked="" type="checkbox"/> Normálové síly N <input checked="" type="checkbox"/> Smykové síly V_y a V_z <input checked="" type="checkbox"/> Momenty M_y , M_z a M_T
KZ46	1.35*ZS1 + 1.35*ZS2 + 1.5*ZS5	Způsob výpočtu: <input checked="" type="radio"/> Analýza podle II. řádu (P-Delta) Možnosti: <input checked="" type="checkbox"/> Zohlednit příznivé tahové účinky <input checked="" type="checkbox"/> Vztáhnout vnitřní síly na přetvořený systém pro: <input checked="" type="checkbox"/> Normálové síly N <input checked="" type="checkbox"/> Smykové síly V_y a V_z <input checked="" type="checkbox"/> Momenty M_y , M_z a M_T
KZ47	1.35*ZS1 + 1.35*ZS2 + 1.35*ZS3 + 1.5*ZS5	Způsob výpočtu: <input checked="" type="radio"/> Analýza podle II. řádu (P-Delta) Možnosti: <input checked="" type="checkbox"/> Zohlednit příznivé tahové účinky <input checked="" type="checkbox"/> Vztáhnout vnitřní síly na přetvořený systém pro: <input checked="" type="checkbox"/> Normálové síly N <input checked="" type="checkbox"/> Smykové síly V_y a V_z <input checked="" type="checkbox"/> Momenty M_y , M_z a M_T
KZ48	1.35*ZS1 + 1.35*ZS3 + 1.5*ZS5	Způsob výpočtu: <input checked="" type="radio"/> Analýza podle II. řádu (P-Delta) Možnosti: <input checked="" type="checkbox"/> Zohlednit příznivé tahové účinky <input checked="" type="checkbox"/> Vztáhnout vnitřní síly na přetvořený systém pro: <input checked="" type="checkbox"/> Normálové síly N <input checked="" type="checkbox"/> Smykové síly V_y a V_z <input checked="" type="checkbox"/> Momenty M_y , M_z a M_T
KZ49	1.35*ZS1 + 1.35*ZS2 + 1.5*ZS5 + 0.9*ZS6	Způsob výpočtu: <input checked="" type="radio"/> Analýza podle II. řádu (P-Delta) Možnosti: <input checked="" type="checkbox"/> Zohlednit příznivé tahové účinky <input checked="" type="checkbox"/> Vztáhnout vnitřní síly na přetvořený systém pro: <input checked="" type="checkbox"/> Normálové síly N <input checked="" type="checkbox"/> Smykové síly V_y a V_z <input checked="" type="checkbox"/> Momenty M_y , M_z a M_T
KZ50	1.35*ZS1 + 1.35*ZS2 + 1.5*ZS5 + 0.9*ZS7	Způsob výpočtu: <input checked="" type="radio"/> Analýza podle II. řádu (P-Delta) Možnosti: <input checked="" type="checkbox"/> Zohlednit příznivé tahové účinky



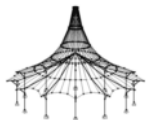
ZATÍŽENÍ

Projekt: 2024 Model: POZARNÍ VEZ
NAVRH KROVU 2024 DYSINA - SUSENÍ HADIC

Datum: 10.05.2024

2.5.2 KOMBINACE ZATÍŽENÍ - PARAMETRY VÝPOČTU

Kombin. zatížení	Označení	Parametry výpočtu
		<input checked="" type="checkbox"/> Vztáhnout vnitřní síly na přetvořený systém pro: <input checked="" type="checkbox"/> Normálové síly N <input checked="" type="checkbox"/> Smykové síly V_y a V_z <input checked="" type="checkbox"/> Momenty M_y , M_z a M_T
KZ51	1.35*ZS1 + 1.35*ZS2 + 1.5*ZS5 + 0.9*ZS8	Způsob výpočtu: <input checked="" type="radio"/> Analýza podle II. řádu (P-Delta) Možnosti: <input checked="" type="checkbox"/> Zohlednit příznivé tahové účinky <input checked="" type="checkbox"/> Vztáhnout vnitřní síly na přetvořený systém pro: <input checked="" type="checkbox"/> Normálové síly N <input checked="" type="checkbox"/> Smykové síly V_y a V_z <input checked="" type="checkbox"/> Momenty M_y , M_z a M_T
KZ52	1.35*ZS1 + 1.35*ZS2 + 1.5*ZS5 + 0.9*ZS9	Způsob výpočtu: <input checked="" type="radio"/> Analýza podle II. řádu (P-Delta) Možnosti: <input checked="" type="checkbox"/> Zohlednit příznivé tahové účinky <input checked="" type="checkbox"/> Vztáhnout vnitřní síly na přetvořený systém pro: <input checked="" type="checkbox"/> Normálové síly N <input checked="" type="checkbox"/> Smykové síly V_y a V_z <input checked="" type="checkbox"/> Momenty M_y , M_z a M_T
KZ53	1.35*ZS1 + 1.35*ZS2 + 1.35*ZS3 + 1.5*ZS5 + 0.9*ZS6	Způsob výpočtu: <input checked="" type="radio"/> Analýza podle II. řádu (P-Delta) Možnosti: <input checked="" type="checkbox"/> Zohlednit příznivé tahové účinky <input checked="" type="checkbox"/> Vztáhnout vnitřní síly na přetvořený systém pro: <input checked="" type="checkbox"/> Normálové síly N <input checked="" type="checkbox"/> Smykové síly V_y a V_z <input checked="" type="checkbox"/> Momenty M_y , M_z a M_T
KZ54	1.35*ZS1 + 1.35*ZS2 + 1.35*ZS3 + 1.5*ZS5 + 0.9*ZS7	Způsob výpočtu: <input checked="" type="radio"/> Analýza podle II. řádu (P-Delta) Možnosti: <input checked="" type="checkbox"/> Zohlednit příznivé tahové účinky <input checked="" type="checkbox"/> Vztáhnout vnitřní síly na přetvořený systém pro: <input checked="" type="checkbox"/> Normálové síly N <input checked="" type="checkbox"/> Smykové síly V_y a V_z <input checked="" type="checkbox"/> Momenty M_y , M_z a M_T
KZ55	1.35*ZS1 + 1.35*ZS2 + 1.35*ZS3 + 1.5*ZS5 + 0.9*ZS8	Způsob výpočtu: <input checked="" type="radio"/> Analýza podle II. řádu (P-Delta) Možnosti: <input checked="" type="checkbox"/> Zohlednit příznivé tahové účinky <input checked="" type="checkbox"/> Vztáhnout vnitřní síly na přetvořený systém pro: <input checked="" type="checkbox"/> Normálové síly N <input checked="" type="checkbox"/> Smykové síly V_y a V_z <input checked="" type="checkbox"/> Momenty M_y , M_z a M_T
KZ56	1.35*ZS1 + 1.35*ZS2 + 1.35*ZS3 + 1.5*ZS5 + 0.9*ZS9	Způsob výpočtu: <input checked="" type="radio"/> Analýza podle II. řádu (P-Delta) Možnosti: <input checked="" type="checkbox"/> Zohlednit příznivé tahové účinky <input checked="" type="checkbox"/> Vztáhnout vnitřní síly na přetvořený systém pro: <input checked="" type="checkbox"/> Normálové síly N <input checked="" type="checkbox"/> Smykové síly V_y a V_z <input checked="" type="checkbox"/> Momenty M_y , M_z a M_T
KZ57	1.35*ZS1 + 1.35*ZS3 + 1.5*ZS5 + 0.9*ZS6	Způsob výpočtu: <input checked="" type="radio"/> Analýza podle II. řádu (P-Delta) Možnosti: <input checked="" type="checkbox"/> Zohlednit příznivé tahové účinky <input checked="" type="checkbox"/> Vztáhnout vnitřní síly na přetvořený systém pro: <input checked="" type="checkbox"/> Normálové síly N <input checked="" type="checkbox"/> Smykové síly V_y a V_z <input checked="" type="checkbox"/> Momenty M_y , M_z a M_T
KZ58	1.35*ZS1 + 1.35*ZS3 + 1.5*ZS5 + 0.9*ZS7	Způsob výpočtu: <input checked="" type="radio"/> Analýza podle II. řádu (P-Delta) Možnosti: <input checked="" type="checkbox"/> Zohlednit příznivé tahové účinky <input checked="" type="checkbox"/> Vztáhnout vnitřní síly na přetvořený systém pro: <input checked="" type="checkbox"/> Normálové síly N <input checked="" type="checkbox"/> Smykové síly V_y a V_z <input checked="" type="checkbox"/> Momenty M_y , M_z a M_T
KZ59	1.35*ZS1 + 1.35*ZS3 + 1.5*ZS5 + 0.9*ZS8	Způsob výpočtu: <input checked="" type="radio"/> Analýza podle II. řádu (P-Delta) Možnosti: <input checked="" type="checkbox"/> Zohlednit příznivé tahové účinky <input checked="" type="checkbox"/> Vztáhnout vnitřní síly na přetvořený systém pro: <input checked="" type="checkbox"/> Normálové síly N <input checked="" type="checkbox"/> Smykové síly V_y a V_z <input checked="" type="checkbox"/> Momenty M_y , M_z a M_T
KZ60	1.35*ZS1 + 1.35*ZS3 + 1.5*ZS5 + 0.9*ZS9	Způsob výpočtu: <input checked="" type="radio"/> Analýza podle II. řádu (P-Delta) Možnosti: <input checked="" type="checkbox"/> Zohlednit příznivé tahové účinky <input checked="" type="checkbox"/> Vztáhnout vnitřní síly na přetvořený systém pro: <input checked="" type="checkbox"/> Normálové síly N <input checked="" type="checkbox"/> Smykové síly V_y a V_z <input checked="" type="checkbox"/> Momenty M_y , M_z a M_T
KZ61	1.35*ZS1 + 1.5*ZS5 + 0.9*ZS6	Způsob výpočtu: <input checked="" type="radio"/> Analýza podle II. řádu (P-Delta) Možnosti: <input checked="" type="checkbox"/> Zohlednit příznivé tahové účinky <input checked="" type="checkbox"/> Vztáhnout vnitřní síly na přetvořený systém pro:

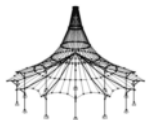


Projekt: 2024 Model: POZARNÍ VEZ
NAVRH KROVU 2024 DYSINA - SUSENÍ HADIC

Datum: 10.05.2024

2.5.2 KOMBINACE ZATÍŽENÍ - PARAMETRY VÝPOČTU

Kombin. zatížení	Označení	Parametry výpočtu
		<input checked="" type="checkbox"/> Normálové síly N <input checked="" type="checkbox"/> Smykové síly V_y a V_z <input checked="" type="checkbox"/> Momenty M_y , M_z a M_T
KZ62	1.35*ZS1 + 1.5*ZS5 + 0.9*ZS7	Způsob výpočtu : <input checked="" type="checkbox"/> Analýza podle II. řádu (P-Delta) Možnosti : <input checked="" type="checkbox"/> Zohlednit příznivé tahové účinky : <input checked="" type="checkbox"/> Vztáhnout vnitřní síly na přetvořený systém pro: : <input checked="" type="checkbox"/> Normálové síly N : <input checked="" type="checkbox"/> Smykové síly V_y a V_z : <input checked="" type="checkbox"/> Momenty M_y , M_z a M_T
KZ63	1.35*ZS1 + 1.5*ZS5 + 0.9*ZS8	Způsob výpočtu : <input checked="" type="checkbox"/> Analýza podle II. řádu (P-Delta) Možnosti : <input checked="" type="checkbox"/> Zohlednit příznivé tahové účinky : <input checked="" type="checkbox"/> Vztáhnout vnitřní síly na přetvořený systém pro: : <input checked="" type="checkbox"/> Normálové síly N : <input checked="" type="checkbox"/> Smykové síly V_y a V_z : <input checked="" type="checkbox"/> Momenty M_y , M_z a M_T
KZ64	1.35*ZS1 + 1.5*ZS5 + 0.9*ZS9	Způsob výpočtu : <input checked="" type="checkbox"/> Analýza podle II. řádu (P-Delta) Možnosti : <input checked="" type="checkbox"/> Zohlednit příznivé tahové účinky : <input checked="" type="checkbox"/> Vztáhnout vnitřní síly na přetvořený systém pro: : <input checked="" type="checkbox"/> Normálové síly N : <input checked="" type="checkbox"/> Smykové síly V_y a V_z : <input checked="" type="checkbox"/> Momenty M_y , M_z a M_T
KZ65	1.35*ZS1 + 1.5*ZS6	Způsob výpočtu : <input checked="" type="checkbox"/> Analýza podle II. řádu (P-Delta) Možnosti : <input checked="" type="checkbox"/> Zohlednit příznivé tahové účinky : <input checked="" type="checkbox"/> Vztáhnout vnitřní síly na přetvořený systém pro: : <input checked="" type="checkbox"/> Normálové síly N : <input checked="" type="checkbox"/> Smykové síly V_y a V_z : <input checked="" type="checkbox"/> Momenty M_y , M_z a M_T
KZ66	1.35*ZS1 + 1.5*ZS7	Způsob výpočtu : <input checked="" type="checkbox"/> Analýza podle II. řádu (P-Delta) Možnosti : <input checked="" type="checkbox"/> Zohlednit příznivé tahové účinky : <input checked="" type="checkbox"/> Vztáhnout vnitřní síly na přetvořený systém pro: : <input checked="" type="checkbox"/> Normálové síly N : <input checked="" type="checkbox"/> Smykové síly V_y a V_z : <input checked="" type="checkbox"/> Momenty M_y , M_z a M_T
KZ67	1.35*ZS1 + 1.5*ZS8	Způsob výpočtu : <input checked="" type="checkbox"/> Analýza podle II. řádu (P-Delta) Možnosti : <input checked="" type="checkbox"/> Zohlednit příznivé tahové účinky : <input checked="" type="checkbox"/> Vztáhnout vnitřní síly na přetvořený systém pro: : <input checked="" type="checkbox"/> Normálové síly N : <input checked="" type="checkbox"/> Smykové síly V_y a V_z : <input checked="" type="checkbox"/> Momenty M_y , M_z a M_T
KZ68	1.35*ZS1 + 1.5*ZS9	Způsob výpočtu : <input checked="" type="checkbox"/> Analýza podle II. řádu (P-Delta) Možnosti : <input checked="" type="checkbox"/> Zohlednit příznivé tahové účinky : <input checked="" type="checkbox"/> Vztáhnout vnitřní síly na přetvořený systém pro: : <input checked="" type="checkbox"/> Normálové síly N : <input checked="" type="checkbox"/> Smykové síly V_y a V_z : <input checked="" type="checkbox"/> Momenty M_y , M_z a M_T
KZ69	1.35*ZS1 + 1.35*ZS2 + 1.5*ZS6	Způsob výpočtu : <input checked="" type="checkbox"/> Analýza podle II. řádu (P-Delta) Možnosti : <input checked="" type="checkbox"/> Zohlednit příznivé tahové účinky : <input checked="" type="checkbox"/> Vztáhnout vnitřní síly na přetvořený systém pro: : <input checked="" type="checkbox"/> Normálové síly N : <input checked="" type="checkbox"/> Smykové síly V_y a V_z : <input checked="" type="checkbox"/> Momenty M_y , M_z a M_T
KZ70	1.35*ZS1 + 1.35*ZS2 + 1.5*ZS7	Způsob výpočtu : <input checked="" type="checkbox"/> Analýza podle II. řádu (P-Delta) Možnosti : <input checked="" type="checkbox"/> Zohlednit příznivé tahové účinky : <input checked="" type="checkbox"/> Vztáhnout vnitřní síly na přetvořený systém pro: : <input checked="" type="checkbox"/> Normálové síly N : <input checked="" type="checkbox"/> Smykové síly V_y a V_z : <input checked="" type="checkbox"/> Momenty M_y , M_z a M_T
KZ71	1.35*ZS1 + 1.35*ZS2 + 1.5*ZS8	Způsob výpočtu : <input checked="" type="checkbox"/> Analýza podle II. řádu (P-Delta) Možnosti : <input checked="" type="checkbox"/> Zohlednit příznivé tahové účinky : <input checked="" type="checkbox"/> Vztáhnout vnitřní síly na přetvořený systém pro: : <input checked="" type="checkbox"/> Normálové síly N : <input checked="" type="checkbox"/> Smykové síly V_y a V_z : <input checked="" type="checkbox"/> Momenty M_y , M_z a M_T
KZ72	1.35*ZS1 + 1.35*ZS2 + 1.5*ZS9	Způsob výpočtu : <input checked="" type="checkbox"/> Analýza podle II. řádu (P-Delta) Možnosti : <input checked="" type="checkbox"/> Zohlednit příznivé tahové účinky : <input checked="" type="checkbox"/> Vztáhnout vnitřní síly na přetvořený systém pro: : <input checked="" type="checkbox"/> Normálové síly N : <input checked="" type="checkbox"/> Smykové síly V_y a V_z : <input checked="" type="checkbox"/> Momenty M_y , M_z a M_T
KZ73	1.35*ZS1 + 1.35*ZS2 + 1.35*ZS3 + 1.5*ZS6	Způsob výpočtu : <input checked="" type="checkbox"/> Analýza podle II. řádu (P-Delta) Možnosti : <input checked="" type="checkbox"/> Zohlednit příznivé tahové účinky : <input checked="" type="checkbox"/> Vztáhnout vnitřní síly na přetvořený systém pro: : <input checked="" type="checkbox"/> Normálové síly N : <input checked="" type="checkbox"/> Smykové síly V_y a V_z : <input checked="" type="checkbox"/> Momenty M_y , M_z a M_T

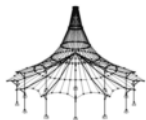


Projekt: 2024 Model: POZARNÍ VEZ
NAVRH KROVU 2024 DYSINA - SUSENÍ HADIC

Datum: 10.05.2024

2.5.2 KOMBINACE ZATÍŽENÍ - PARAMETRY VÝPOČTU

Kombin. zatížení	Označení	Parametry výpočtu	
KZ74	1.35*ZS1 + 1.35*ZS2 + 1.35*ZS3 + 1.5*ZS7	Způsob výpočtu	: <input checked="" type="radio"/> Analýza podle II. řádu (P-Delta)
		Možnosti	: <input checked="" type="checkbox"/> Zohlednit příznivé tahové účinky : <input checked="" type="checkbox"/> Vztáhnout vnitřní síly na přetvořený systém pro: : <input checked="" type="checkbox"/> Normálové síly N : <input checked="" type="checkbox"/> Smykové síly V_y a V_z : <input checked="" type="checkbox"/> Momenty M_y , M_z a M_T
KZ75	1.35*ZS1 + 1.35*ZS2 + 1.35*ZS3 + 1.5*ZS8	Způsob výpočtu	: <input checked="" type="radio"/> Analýza podle II. řádu (P-Delta)
		Možnosti	: <input checked="" type="checkbox"/> Zohlednit příznivé tahové účinky : <input checked="" type="checkbox"/> Vztáhnout vnitřní síly na přetvořený systém pro: : <input checked="" type="checkbox"/> Normálové síly N : <input checked="" type="checkbox"/> Smykové síly V_y a V_z : <input checked="" type="checkbox"/> Momenty M_y , M_z a M_T
KZ76	1.35*ZS1 + 1.35*ZS2 + 1.35*ZS3 + 1.5*ZS9	Způsob výpočtu	: <input checked="" type="radio"/> Analýza podle II. řádu (P-Delta)
		Možnosti	: <input checked="" type="checkbox"/> Zohlednit příznivé tahové účinky : <input checked="" type="checkbox"/> Vztáhnout vnitřní síly na přetvořený systém pro: : <input checked="" type="checkbox"/> Normálové síly N : <input checked="" type="checkbox"/> Smykové síly V_y a V_z : <input checked="" type="checkbox"/> Momenty M_y , M_z a M_T
KZ77	1.35*ZS1 + 1.35*ZS3 + 1.5*ZS6	Způsob výpočtu	: <input checked="" type="radio"/> Analýza podle II. řádu (P-Delta)
		Možnosti	: <input checked="" type="checkbox"/> Zohlednit příznivé tahové účinky : <input checked="" type="checkbox"/> Vztáhnout vnitřní síly na přetvořený systém pro: : <input checked="" type="checkbox"/> Normálové síly N : <input checked="" type="checkbox"/> Smykové síly V_y a V_z : <input checked="" type="checkbox"/> Momenty M_y , M_z a M_T
KZ78	1.35*ZS1 + 1.35*ZS3 + 1.5*ZS7	Způsob výpočtu	: <input checked="" type="radio"/> Analýza podle II. řádu (P-Delta)
		Možnosti	: <input checked="" type="checkbox"/> Zohlednit příznivé tahové účinky : <input checked="" type="checkbox"/> Vztáhnout vnitřní síly na přetvořený systém pro: : <input checked="" type="checkbox"/> Normálové síly N : <input checked="" type="checkbox"/> Smykové síly V_y a V_z : <input checked="" type="checkbox"/> Momenty M_y , M_z a M_T
KZ79	1.35*ZS1 + 1.35*ZS3 + 1.5*ZS8	Způsob výpočtu	: <input checked="" type="radio"/> Analýza podle II. řádu (P-Delta)
		Možnosti	: <input checked="" type="checkbox"/> Zohlednit příznivé tahové účinky : <input checked="" type="checkbox"/> Vztáhnout vnitřní síly na přetvořený systém pro: : <input checked="" type="checkbox"/> Normálové síly N : <input checked="" type="checkbox"/> Smykové síly V_y a V_z : <input checked="" type="checkbox"/> Momenty M_y , M_z a M_T
KZ80	1.35*ZS1 + 1.35*ZS3 + 1.5*ZS9	Způsob výpočtu	: <input checked="" type="radio"/> Analýza podle II. řádu (P-Delta)
		Možnosti	: <input checked="" type="checkbox"/> Zohlednit příznivé tahové účinky : <input checked="" type="checkbox"/> Vztáhnout vnitřní síly na přetvořený systém pro: : <input checked="" type="checkbox"/> Normálové síly N : <input checked="" type="checkbox"/> Smykové síly V_y a V_z : <input checked="" type="checkbox"/> Momenty M_y , M_z a M_T
KZ81	1.35*ZS1 + 1.35*ZS2 + 0.75*ZS5 + 1.5*ZS6	Způsob výpočtu	: <input checked="" type="radio"/> Analýza podle II. řádu (P-Delta)
		Možnosti	: <input checked="" type="checkbox"/> Zohlednit příznivé tahové účinky : <input checked="" type="checkbox"/> Vztáhnout vnitřní síly na přetvořený systém pro: : <input checked="" type="checkbox"/> Normálové síly N : <input checked="" type="checkbox"/> Smykové síly V_y a V_z : <input checked="" type="checkbox"/> Momenty M_y , M_z a M_T
KZ82	1.35*ZS1 + 1.35*ZS2 + 0.75*ZS5 + 1.5*ZS7	Způsob výpočtu	: <input checked="" type="radio"/> Analýza podle II. řádu (P-Delta)
		Možnosti	: <input checked="" type="checkbox"/> Zohlednit příznivé tahové účinky : <input checked="" type="checkbox"/> Vztáhnout vnitřní síly na přetvořený systém pro: : <input checked="" type="checkbox"/> Normálové síly N : <input checked="" type="checkbox"/> Smykové síly V_y a V_z : <input checked="" type="checkbox"/> Momenty M_y , M_z a M_T
KZ83	1.35*ZS1 + 1.35*ZS2 + 0.75*ZS5 + 1.5*ZS8	Způsob výpočtu	: <input checked="" type="radio"/> Analýza podle II. řádu (P-Delta)
		Možnosti	: <input checked="" type="checkbox"/> Zohlednit příznivé tahové účinky : <input checked="" type="checkbox"/> Vztáhnout vnitřní síly na přetvořený systém pro: : <input checked="" type="checkbox"/> Normálové síly N : <input checked="" type="checkbox"/> Smykové síly V_y a V_z : <input checked="" type="checkbox"/> Momenty M_y , M_z a M_T
KZ84	1.35*ZS1 + 1.35*ZS2 + 0.75*ZS5 + 1.5*ZS9	Způsob výpočtu	: <input checked="" type="radio"/> Analýza podle II. řádu (P-Delta)
		Možnosti	: <input checked="" type="checkbox"/> Zohlednit příznivé tahové účinky : <input checked="" type="checkbox"/> Vztáhnout vnitřní síly na přetvořený systém pro: : <input checked="" type="checkbox"/> Normálové síly N : <input checked="" type="checkbox"/> Smykové síly V_y a V_z : <input checked="" type="checkbox"/> Momenty M_y , M_z a M_T
KZ85	1.35*ZS1 + 1.35*ZS2 + 1.35*ZS3 + 0.75*ZS5 + 1.5*ZS6	Způsob výpočtu	: <input checked="" type="radio"/> Analýza podle II. řádu (P-Delta)
		Možnosti	: <input checked="" type="checkbox"/> Zohlednit příznivé tahové účinky : <input checked="" type="checkbox"/> Vztáhnout vnitřní síly na přetvořený systém pro:



Projekt: 2024 Model: POZARNÍ VEZ
NAVRH KROVU 2024 DYSINA - SUSENÍ HADIC

Datum: 10.05.2024

2.5.2 KOMBINACE ZATÍŽENÍ - PARAMETRY VÝPOČTU

Kombin. zatížení	Označení	Parametry výpočtu
		<input checked="" type="checkbox"/> Normálové síly N <input checked="" type="checkbox"/> Smykové síly V_y a V_z <input checked="" type="checkbox"/> Momenty M_y , M_z a M_T
KZ86	1.35*ZS1 + 1.35*ZS2 + 1.35*ZS3 + 0.75*ZS5 + 1.5*ZS7	Způsob výpočtu : <input checked="" type="radio"/> Analýza podle II. řádu (P-Delta) Možnosti : <input checked="" type="checkbox"/> Zohlednit příznivé tahové účinky : <input checked="" type="checkbox"/> Vztáhnout vnitřní síly na přetvořený systém pro: : <input checked="" type="checkbox"/> Normálové síly N : <input checked="" type="checkbox"/> Smykové síly V_y a V_z : <input checked="" type="checkbox"/> Momenty M_y , M_z a M_T
KZ87	1.35*ZS1 + 1.35*ZS2 + 1.35*ZS3 + 0.75*ZS5 + 1.5*ZS8	Způsob výpočtu : <input checked="" type="radio"/> Analýza podle II. řádu (P-Delta) Možnosti : <input checked="" type="checkbox"/> Zohlednit příznivé tahové účinky : <input checked="" type="checkbox"/> Vztáhnout vnitřní síly na přetvořený systém pro: : <input checked="" type="checkbox"/> Normálové síly N : <input checked="" type="checkbox"/> Smykové síly V_y a V_z : <input checked="" type="checkbox"/> Momenty M_y , M_z a M_T
KZ88	1.35*ZS1 + 1.35*ZS2 + 1.35*ZS3 + 0.75*ZS5 + 1.5*ZS9	Způsob výpočtu : <input checked="" type="radio"/> Analýza podle II. řádu (P-Delta) Možnosti : <input checked="" type="checkbox"/> Zohlednit příznivé tahové účinky : <input checked="" type="checkbox"/> Vztáhnout vnitřní síly na přetvořený systém pro: : <input checked="" type="checkbox"/> Normálové síly N : <input checked="" type="checkbox"/> Smykové síly V_y a V_z : <input checked="" type="checkbox"/> Momenty M_y , M_z a M_T
KZ89	1.35*ZS1 + 1.35*ZS3 + 0.75*ZS5 + 1.5*ZS6	Způsob výpočtu : <input checked="" type="radio"/> Analýza podle II. řádu (P-Delta) Možnosti : <input checked="" type="checkbox"/> Zohlednit příznivé tahové účinky : <input checked="" type="checkbox"/> Vztáhnout vnitřní síly na přetvořený systém pro: : <input checked="" type="checkbox"/> Normálové síly N : <input checked="" type="checkbox"/> Smykové síly V_y a V_z : <input checked="" type="checkbox"/> Momenty M_y , M_z a M_T
KZ90	1.35*ZS1 + 1.35*ZS3 + 0.75*ZS5 + 1.5*ZS7	Způsob výpočtu : <input checked="" type="radio"/> Analýza podle II. řádu (P-Delta) Možnosti : <input checked="" type="checkbox"/> Zohlednit příznivé tahové účinky : <input checked="" type="checkbox"/> Vztáhnout vnitřní síly na přetvořený systém pro: : <input checked="" type="checkbox"/> Normálové síly N : <input checked="" type="checkbox"/> Smykové síly V_y a V_z : <input checked="" type="checkbox"/> Momenty M_y , M_z a M_T
KZ91	1.35*ZS1 + 1.35*ZS3 + 0.75*ZS5 + 1.5*ZS8	Způsob výpočtu : <input checked="" type="radio"/> Analýza podle II. řádu (P-Delta) Možnosti : <input checked="" type="checkbox"/> Zohlednit příznivé tahové účinky : <input checked="" type="checkbox"/> Vztáhnout vnitřní síly na přetvořený systém pro: : <input checked="" type="checkbox"/> Normálové síly N : <input checked="" type="checkbox"/> Smykové síly V_y a V_z : <input checked="" type="checkbox"/> Momenty M_y , M_z a M_T
KZ92	1.35*ZS1 + 1.35*ZS3 + 0.75*ZS5 + 1.5*ZS9	Způsob výpočtu : <input checked="" type="radio"/> Analýza podle II. řádu (P-Delta) Možnosti : <input checked="" type="checkbox"/> Zohlednit příznivé tahové účinky : <input checked="" type="checkbox"/> Vztáhnout vnitřní síly na přetvořený systém pro: : <input checked="" type="checkbox"/> Normálové síly N : <input checked="" type="checkbox"/> Smykové síly V_y a V_z : <input checked="" type="checkbox"/> Momenty M_y , M_z a M_T
KZ93	1.35*ZS1 + 0.75*ZS5 + 1.5*ZS6	Způsob výpočtu : <input checked="" type="radio"/> Analýza podle II. řádu (P-Delta) Možnosti : <input checked="" type="checkbox"/> Zohlednit příznivé tahové účinky : <input checked="" type="checkbox"/> Vztáhnout vnitřní síly na přetvořený systém pro: : <input checked="" type="checkbox"/> Normálové síly N : <input checked="" type="checkbox"/> Smykové síly V_y a V_z : <input checked="" type="checkbox"/> Momenty M_y , M_z a M_T
KZ94	1.35*ZS1 + 0.75*ZS5 + 1.5*ZS7	Způsob výpočtu : <input checked="" type="radio"/> Analýza podle II. řádu (P-Delta) Možnosti : <input checked="" type="checkbox"/> Zohlednit příznivé tahové účinky : <input checked="" type="checkbox"/> Vztáhnout vnitřní síly na přetvořený systém pro: : <input checked="" type="checkbox"/> Normálové síly N : <input checked="" type="checkbox"/> Smykové síly V_y a V_z : <input checked="" type="checkbox"/> Momenty M_y , M_z a M_T
KZ95	1.35*ZS1 + 0.75*ZS5 + 1.5*ZS8	Způsob výpočtu : <input checked="" type="radio"/> Analýza podle II. řádu (P-Delta) Možnosti : <input checked="" type="checkbox"/> Zohlednit příznivé tahové účinky : <input checked="" type="checkbox"/> Vztáhnout vnitřní síly na přetvořený systém pro: : <input checked="" type="checkbox"/> Normálové síly N : <input checked="" type="checkbox"/> Smykové síly V_y a V_z : <input checked="" type="checkbox"/> Momenty M_y , M_z a M_T
KZ96	1.35*ZS1 + 0.75*ZS5 + 1.5*ZS9	Způsob výpočtu : <input checked="" type="radio"/> Analýza podle II. řádu (P-Delta) Možnosti : <input checked="" type="checkbox"/> Zohlednit příznivé tahové účinky : <input checked="" type="checkbox"/> Vztáhnout vnitřní síly na přetvořený systém pro: : <input checked="" type="checkbox"/> Normálové síly N : <input checked="" type="checkbox"/> Smykové síly V_y a V_z : <input checked="" type="checkbox"/> Momenty M_y , M_z a M_T
KZ97	ZS1	Způsob výpočtu : <input checked="" type="radio"/> Analýza podle II. řádu (P-Delta) Možnosti : <input checked="" type="checkbox"/> Zohlednit příznivé tahové účinky



ZATÍŽENÍ

Projekt: 2024 Model: POZARNÍ VEZ
NAVRH KROVU 2024 DYSINA - SUSENÍ HADIC

Datum: 10.05.2024

2.5.2 KOMBINACE ZATÍŽENÍ - PARAMETRY VÝPOČTU

Kombin. zatížení	Označení	Parametry výpočtu
		<input checked="" type="checkbox"/> Vztáhnout vnitřní síly na přetvořený systém pro: <input checked="" type="checkbox"/> Normálové síly N <input checked="" type="checkbox"/> Smykové síly V_y a V_z <input checked="" type="checkbox"/> Momenty M_y , M_z a M_T
KZ98	ZS1 + ZS2	Způsob výpočtu Možnosti <input checked="" type="checkbox"/> Analýza podle II. řádu (P-Delta) <input checked="" type="checkbox"/> Zohlednit příznivé tahové účinky <input checked="" type="checkbox"/> Vztáhnout vnitřní síly na přetvořený systém pro: <input checked="" type="checkbox"/> Normálové síly N <input checked="" type="checkbox"/> Smykové síly V_y a V_z <input checked="" type="checkbox"/> Momenty M_y , M_z a M_T
KZ99	ZS1 + ZS2 + ZS3	Způsob výpočtu Možnosti <input checked="" type="checkbox"/> Analýza podle II. řádu (P-Delta) <input checked="" type="checkbox"/> Zohlednit příznivé tahové účinky <input checked="" type="checkbox"/> Vztáhnout vnitřní síly na přetvořený systém pro: <input checked="" type="checkbox"/> Normálové síly N <input checked="" type="checkbox"/> Smykové síly V_y a V_z <input checked="" type="checkbox"/> Momenty M_y , M_z a M_T
KZ100	ZS1 + ZS3	Způsob výpočtu Možnosti <input checked="" type="checkbox"/> Analýza podle II. řádu (P-Delta) <input checked="" type="checkbox"/> Zohlednit příznivé tahové účinky <input checked="" type="checkbox"/> Vztáhnout vnitřní síly na přetvořený systém pro: <input checked="" type="checkbox"/> Normálové síly N <input checked="" type="checkbox"/> Smykové síly V_y a V_z <input checked="" type="checkbox"/> Momenty M_y , M_z a M_T
KZ101	ZS1 + ZS4	Způsob výpočtu Možnosti <input checked="" type="checkbox"/> Analýza podle II. řádu (P-Delta) <input checked="" type="checkbox"/> Zohlednit příznivé tahové účinky <input checked="" type="checkbox"/> Vztáhnout vnitřní síly na přetvořený systém pro: <input checked="" type="checkbox"/> Normálové síly N <input checked="" type="checkbox"/> Smykové síly V_y a V_z <input checked="" type="checkbox"/> Momenty M_y , M_z a M_T
KZ102	ZS1 + ZS2 + ZS4	Způsob výpočtu Možnosti <input checked="" type="checkbox"/> Analýza podle II. řádu (P-Delta) <input checked="" type="checkbox"/> Zohlednit příznivé tahové účinky <input checked="" type="checkbox"/> Vztáhnout vnitřní síly na přetvořený systém pro: <input checked="" type="checkbox"/> Normálové síly N <input checked="" type="checkbox"/> Smykové síly V_y a V_z <input checked="" type="checkbox"/> Momenty M_y , M_z a M_T
KZ103	ZS1 + ZS2 + ZS3 + ZS4	Způsob výpočtu Možnosti <input checked="" type="checkbox"/> Analýza podle II. řádu (P-Delta) <input checked="" type="checkbox"/> Zohlednit příznivé tahové účinky <input checked="" type="checkbox"/> Vztáhnout vnitřní síly na přetvořený systém pro: <input checked="" type="checkbox"/> Normálové síly N <input checked="" type="checkbox"/> Smykové síly V_y a V_z <input checked="" type="checkbox"/> Momenty M_y , M_z a M_T
KZ104	ZS1 + ZS3 + ZS4	Způsob výpočtu Možnosti <input checked="" type="checkbox"/> Analýza podle II. řádu (P-Delta) <input checked="" type="checkbox"/> Zohlednit příznivé tahové účinky <input checked="" type="checkbox"/> Vztáhnout vnitřní síly na přetvořený systém pro: <input checked="" type="checkbox"/> Normálové síly N <input checked="" type="checkbox"/> Smykové síly V_y a V_z <input checked="" type="checkbox"/> Momenty M_y , M_z a M_T
KZ105	ZS1 + ZS2 + ZS4 + 0.5*ZS5	Způsob výpočtu Možnosti <input checked="" type="checkbox"/> Analýza podle II. řádu (P-Delta) <input checked="" type="checkbox"/> Zohlednit příznivé tahové účinky <input checked="" type="checkbox"/> Vztáhnout vnitřní síly na přetvořený systém pro: <input checked="" type="checkbox"/> Normálové síly N <input checked="" type="checkbox"/> Smykové síly V_y a V_z <input checked="" type="checkbox"/> Momenty M_y , M_z a M_T
KZ106	ZS1 + ZS2 + ZS3 + ZS4 + 0.5*ZS5	Způsob výpočtu Možnosti <input checked="" type="checkbox"/> Analýza podle II. řádu (P-Delta) <input checked="" type="checkbox"/> Zohlednit příznivé tahové účinky <input checked="" type="checkbox"/> Vztáhnout vnitřní síly na přetvořený systém pro: <input checked="" type="checkbox"/> Normálové síly N <input checked="" type="checkbox"/> Smykové síly V_y a V_z <input checked="" type="checkbox"/> Momenty M_y , M_z a M_T
KZ107	ZS1 + ZS3 + ZS4 + 0.5*ZS5	Způsob výpočtu Možnosti <input checked="" type="checkbox"/> Analýza podle II. řádu (P-Delta) <input checked="" type="checkbox"/> Zohlednit příznivé tahové účinky <input checked="" type="checkbox"/> Vztáhnout vnitřní síly na přetvořený systém pro: <input checked="" type="checkbox"/> Normálové síly N <input checked="" type="checkbox"/> Smykové síly V_y a V_z <input checked="" type="checkbox"/> Momenty M_y , M_z a M_T
KZ108	ZS1 + ZS2 + ZS4 + 0.5*ZS5 + 0.6*ZS6	Způsob výpočtu Možnosti <input checked="" type="checkbox"/> Analýza podle II. řádu (P-Delta) <input checked="" type="checkbox"/> Zohlednit příznivé tahové účinky <input checked="" type="checkbox"/> Vztáhnout vnitřní síly na přetvořený systém pro: <input checked="" type="checkbox"/> Normálové síly N <input checked="" type="checkbox"/> Smykové síly V_y a V_z <input checked="" type="checkbox"/> Momenty M_y , M_z a M_T
KZ109	ZS1 + ZS2 + ZS4 + 0.5*ZS5 + 0.6*ZS7	Způsob výpočtu Možnosti <input checked="" type="checkbox"/> Analýza podle II. řádu (P-Delta) <input checked="" type="checkbox"/> Zohlednit příznivé tahové účinky <input checked="" type="checkbox"/> Vztáhnout vnitřní síly na přetvořený systém pro:



Projekt: 2024 Model: POZARNÍ VEZ
NAVRH KROVU 2024 DYSINA - SUSENÍ HADIC

Datum: 10.05.2024

2.5.2 KOMBINACE ZATÍŽENÍ - PARAMETRY VÝPOČTU

Kombin. zatížení	Označení	Parametry výpočtu
		<input checked="" type="checkbox"/> Normálové síly N <input checked="" type="checkbox"/> Smykové síly V_y a V_z <input checked="" type="checkbox"/> Momenty M_y , M_z a M_T
KZ110	zs1 + zs2 + zs4 + 0.5*zs5 + 0.6*zs8	Způsob výpočtu : <input checked="" type="radio"/> Analýza podle II. řádu (P-Delta) Možnosti : <input checked="" type="checkbox"/> Zohlednit příznivé tahové účinky : <input checked="" type="checkbox"/> Vztáhnout vnitřní síly na přetvořený systém pro: : <input checked="" type="checkbox"/> Normálové síly N : <input checked="" type="checkbox"/> Smykové síly V_y a V_z : <input checked="" type="checkbox"/> Momenty M_y , M_z a M_T
KZ111	zs1 + zs2 + zs4 + 0.5*zs5 + 0.6*zs9	Způsob výpočtu : <input checked="" type="radio"/> Analýza podle II. řádu (P-Delta) Možnosti : <input checked="" type="checkbox"/> Zohlednit příznivé tahové účinky : <input checked="" type="checkbox"/> Vztáhnout vnitřní síly na přetvořený systém pro: : <input checked="" type="checkbox"/> Normálové síly N : <input checked="" type="checkbox"/> Smykové síly V_y a V_z : <input checked="" type="checkbox"/> Momenty M_y , M_z a M_T
KZ112	zs1 + zs2 + zs3 + zs4 + 0.5*zs5 + 0.6*zs6	Způsob výpočtu : <input checked="" type="radio"/> Analýza podle II. řádu (P-Delta) Možnosti : <input checked="" type="checkbox"/> Zohlednit příznivé tahové účinky : <input checked="" type="checkbox"/> Vztáhnout vnitřní síly na přetvořený systém pro: : <input checked="" type="checkbox"/> Normálové síly N : <input checked="" type="checkbox"/> Smykové síly V_y a V_z : <input checked="" type="checkbox"/> Momenty M_y , M_z a M_T
KZ113	zs1 + zs2 + zs3 + zs4 + 0.5*zs5 + 0.6*zs7	Způsob výpočtu : <input checked="" type="radio"/> Analýza podle II. řádu (P-Delta) Možnosti : <input checked="" type="checkbox"/> Zohlednit příznivé tahové účinky : <input checked="" type="checkbox"/> Vztáhnout vnitřní síly na přetvořený systém pro: : <input checked="" type="checkbox"/> Normálové síly N : <input checked="" type="checkbox"/> Smykové síly V_y a V_z : <input checked="" type="checkbox"/> Momenty M_y , M_z a M_T
KZ114	zs1 + zs2 + zs3 + zs4 + 0.5*zs5 + 0.6*zs8	Způsob výpočtu : <input checked="" type="radio"/> Analýza podle II. řádu (P-Delta) Možnosti : <input checked="" type="checkbox"/> Zohlednit příznivé tahové účinky : <input checked="" type="checkbox"/> Vztáhnout vnitřní síly na přetvořený systém pro: : <input checked="" type="checkbox"/> Normálové síly N : <input checked="" type="checkbox"/> Smykové síly V_y a V_z : <input checked="" type="checkbox"/> Momenty M_y , M_z a M_T
KZ115	zs1 + zs2 + zs3 + zs4 + 0.5*zs5 + 0.6*zs9	Způsob výpočtu : <input checked="" type="radio"/> Analýza podle II. řádu (P-Delta) Možnosti : <input checked="" type="checkbox"/> Zohlednit příznivé tahové účinky : <input checked="" type="checkbox"/> Vztáhnout vnitřní síly na přetvořený systém pro: : <input checked="" type="checkbox"/> Normálové síly N : <input checked="" type="checkbox"/> Smykové síly V_y a V_z : <input checked="" type="checkbox"/> Momenty M_y , M_z a M_T
KZ116	zs1 + zs3 + zs4 + 0.5*zs5 + 0.6*zs6	Způsob výpočtu : <input checked="" type="radio"/> Analýza podle II. řádu (P-Delta) Možnosti : <input checked="" type="checkbox"/> Zohlednit příznivé tahové účinky : <input checked="" type="checkbox"/> Vztáhnout vnitřní síly na přetvořený systém pro: : <input checked="" type="checkbox"/> Normálové síly N : <input checked="" type="checkbox"/> Smykové síly V_y a V_z : <input checked="" type="checkbox"/> Momenty M_y , M_z a M_T
KZ117	zs1 + zs3 + zs4 + 0.5*zs5 + 0.6*zs7	Způsob výpočtu : <input checked="" type="radio"/> Analýza podle II. řádu (P-Delta) Možnosti : <input checked="" type="checkbox"/> Zohlednit příznivé tahové účinky : <input checked="" type="checkbox"/> Vztáhnout vnitřní síly na přetvořený systém pro: : <input checked="" type="checkbox"/> Normálové síly N : <input checked="" type="checkbox"/> Smykové síly V_y a V_z : <input checked="" type="checkbox"/> Momenty M_y , M_z a M_T
KZ118	zs1 + zs3 + zs4 + 0.5*zs5 + 0.6*zs8	Způsob výpočtu : <input checked="" type="radio"/> Analýza podle II. řádu (P-Delta) Možnosti : <input checked="" type="checkbox"/> Zohlednit příznivé tahové účinky : <input checked="" type="checkbox"/> Vztáhnout vnitřní síly na přetvořený systém pro: : <input checked="" type="checkbox"/> Normálové síly N : <input checked="" type="checkbox"/> Smykové síly V_y a V_z : <input checked="" type="checkbox"/> Momenty M_y , M_z a M_T
KZ119	zs1 + zs3 + zs4 + 0.5*zs5 + 0.6*zs9	Způsob výpočtu : <input checked="" type="radio"/> Analýza podle II. řádu (P-Delta) Možnosti : <input checked="" type="checkbox"/> Zohlednit příznivé tahové účinky : <input checked="" type="checkbox"/> Vztáhnout vnitřní síly na přetvořený systém pro: : <input checked="" type="checkbox"/> Normálové síly N : <input checked="" type="checkbox"/> Smykové síly V_y a V_z : <input checked="" type="checkbox"/> Momenty M_y , M_z a M_T
KZ120	zs1 + zs2 + zs4 + 0.6*zs6	Způsob výpočtu : <input checked="" type="radio"/> Analýza podle II. řádu (P-Delta) Možnosti : <input checked="" type="checkbox"/> Zohlednit příznivé tahové účinky : <input checked="" type="checkbox"/> Vztáhnout vnitřní síly na přetvořený systém pro: : <input checked="" type="checkbox"/> Normálové síly N : <input checked="" type="checkbox"/> Smykové síly V_y a V_z



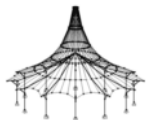
ZATÍŽENÍ

Projekt: 2024 Model: POZARNÍ VEZ
NAVRH KROVU 2024 DYSINA - SUSENÍ HADIC

Datum: 10.05.2024

2.5.2 KOMBINACE ZATÍŽENÍ - PARAMETRY VÝPOČTU

Kombin. zatížení	Označení	Parametry výpočtu	
			<input checked="" type="checkbox"/> Momenty M_y , M_z a M_T
KZ121	VS1 + VS2 + VS4 + 0.6*VS7	Způsob výpočtu Možnosti	<input checked="" type="checkbox"/> Analýza podle II. řádu (P-Delta) <input checked="" type="checkbox"/> Zohlednit příznivé tahové účinky <input checked="" type="checkbox"/> Vztáhnout vnitřní síly na přetvořený systém pro: <input checked="" type="checkbox"/> Normálové síly N <input checked="" type="checkbox"/> Smykové síly V_y a V_z <input checked="" type="checkbox"/> Momenty M_y , M_z a M_T
KZ122	VS1 + VS2 + VS4 + 0.6*VS8	Způsob výpočtu Možnosti	<input checked="" type="checkbox"/> Analýza podle II. řádu (P-Delta) <input checked="" type="checkbox"/> Zohlednit příznivé tahové účinky <input checked="" type="checkbox"/> Vztáhnout vnitřní síly na přetvořený systém pro: <input checked="" type="checkbox"/> Normálové síly N <input checked="" type="checkbox"/> Smykové síly V_y a V_z <input checked="" type="checkbox"/> Momenty M_y , M_z a M_T
KZ123	VS1 + VS2 + VS4 + 0.6*VS9	Způsob výpočtu Možnosti	<input checked="" type="checkbox"/> Analýza podle II. řádu (P-Delta) <input checked="" type="checkbox"/> Zohlednit příznivé tahové účinky <input checked="" type="checkbox"/> Vztáhnout vnitřní síly na přetvořený systém pro: <input checked="" type="checkbox"/> Normálové síly N <input checked="" type="checkbox"/> Smykové síly V_y a V_z <input checked="" type="checkbox"/> Momenty M_y , M_z a M_T
KZ124	VS1 + VS2 + VS3 + VS4 + 0.6*VS6	Způsob výpočtu Možnosti	<input checked="" type="checkbox"/> Analýza podle II. řádu (P-Delta) <input checked="" type="checkbox"/> Zohlednit příznivé tahové účinky <input checked="" type="checkbox"/> Vztáhnout vnitřní síly na přetvořený systém pro: <input checked="" type="checkbox"/> Normálové síly N <input checked="" type="checkbox"/> Smykové síly V_y a V_z <input checked="" type="checkbox"/> Momenty M_y , M_z a M_T
KZ125	VS1 + VS2 + VS3 + VS4 + 0.6*VS7	Způsob výpočtu Možnosti	<input checked="" type="checkbox"/> Analýza podle II. řádu (P-Delta) <input checked="" type="checkbox"/> Zohlednit příznivé tahové účinky <input checked="" type="checkbox"/> Vztáhnout vnitřní síly na přetvořený systém pro: <input checked="" type="checkbox"/> Normálové síly N <input checked="" type="checkbox"/> Smykové síly V_y a V_z <input checked="" type="checkbox"/> Momenty M_y , M_z a M_T
KZ126	VS1 + VS2 + VS3 + VS4 + 0.6*VS8	Způsob výpočtu Možnosti	<input checked="" type="checkbox"/> Analýza podle II. řádu (P-Delta) <input checked="" type="checkbox"/> Zohlednit příznivé tahové účinky <input checked="" type="checkbox"/> Vztáhnout vnitřní síly na přetvořený systém pro: <input checked="" type="checkbox"/> Normálové síly N <input checked="" type="checkbox"/> Smykové síly V_y a V_z <input checked="" type="checkbox"/> Momenty M_y , M_z a M_T
KZ127	VS1 + VS2 + VS3 + VS4 + 0.6*VS9	Způsob výpočtu Možnosti	<input checked="" type="checkbox"/> Analýza podle II. řádu (P-Delta) <input checked="" type="checkbox"/> Zohlednit příznivé tahové účinky <input checked="" type="checkbox"/> Vztáhnout vnitřní síly na přetvořený systém pro: <input checked="" type="checkbox"/> Normálové síly N <input checked="" type="checkbox"/> Smykové síly V_y a V_z <input checked="" type="checkbox"/> Momenty M_y , M_z a M_T
KZ128	VS1 + VS3 + VS4 + 0.6*VS6	Způsob výpočtu Možnosti	<input checked="" type="checkbox"/> Analýza podle II. řádu (P-Delta) <input checked="" type="checkbox"/> Zohlednit příznivé tahové účinky <input checked="" type="checkbox"/> Vztáhnout vnitřní síly na přetvořený systém pro: <input checked="" type="checkbox"/> Normálové síly N <input checked="" type="checkbox"/> Smykové síly V_y a V_z <input checked="" type="checkbox"/> Momenty M_y , M_z a M_T
KZ129	VS1 + VS3 + VS4 + 0.6*VS7	Způsob výpočtu Možnosti	<input checked="" type="checkbox"/> Analýza podle II. řádu (P-Delta) <input checked="" type="checkbox"/> Zohlednit příznivé tahové účinky <input checked="" type="checkbox"/> Vztáhnout vnitřní síly na přetvořený systém pro: <input checked="" type="checkbox"/> Normálové síly N <input checked="" type="checkbox"/> Smykové síly V_y a V_z <input checked="" type="checkbox"/> Momenty M_y , M_z a M_T
KZ130	VS1 + VS3 + VS4 + 0.6*VS8	Způsob výpočtu Možnosti	<input checked="" type="checkbox"/> Analýza podle II. řádu (P-Delta) <input checked="" type="checkbox"/> Zohlednit příznivé tahové účinky <input checked="" type="checkbox"/> Vztáhnout vnitřní síly na přetvořený systém pro: <input checked="" type="checkbox"/> Normálové síly N <input checked="" type="checkbox"/> Smykové síly V_y a V_z <input checked="" type="checkbox"/> Momenty M_y , M_z a M_T
KZ131	VS1 + VS3 + VS4 + 0.6*VS9	Způsob výpočtu Možnosti	<input checked="" type="checkbox"/> Analýza podle II. řádu (P-Delta) <input checked="" type="checkbox"/> Zohlednit příznivé tahové účinky <input checked="" type="checkbox"/> Vztáhnout vnitřní síly na přetvořený systém pro: <input checked="" type="checkbox"/> Normálové síly N <input checked="" type="checkbox"/> Smykové síly V_y a V_z <input checked="" type="checkbox"/> Momenty M_y , M_z a M_T
KZ132	VS1 + VS4 + 0.5*VS5	Způsob výpočtu Možnosti	<input checked="" type="checkbox"/> Analýza podle II. řádu (P-Delta) <input checked="" type="checkbox"/> Zohlednit příznivé tahové účinky <input checked="" type="checkbox"/> Vztáhnout vnitřní síly na přetvořený systém pro: <input checked="" type="checkbox"/> Normálové síly N <input checked="" type="checkbox"/> Smykové síly V_y a V_z



ZATÍŽENÍ

Projekt: 2024 Model: POZARNÍ VEZ
NAVRH KROVU 2024 DYSINA - SUSENÍ HADIC

Datum: 10.05.2024

2.5.2 KOMBINACE ZATÍŽENÍ - PARAMETRY VÝPOČTU

Kombin. zatížení	Označení	Parametry výpočtu
KZ133	ZS1 + ZS4 + 0.5*ZS5 + 0.6*ZS6	<p>Způsob výpočtu : <input checked="" type="checkbox"/> Momenty M_y, M_z a M_T</p> <p>Možnosti : <input checked="" type="checkbox"/> Analýza podle II. řádu (P-Delta) : <input checked="" type="checkbox"/> Zohlednit příznivé tahové účinky : <input checked="" type="checkbox"/> Vztáhnout vnitřní síly na přetvořený systém pro: : <input checked="" type="checkbox"/> Normálové síly N : <input checked="" type="checkbox"/> Smykové síly V_y a V_z : <input checked="" type="checkbox"/> Momenty M_y, M_z a M_T</p>
KZ134	ZS1 + ZS4 + 0.5*ZS5 + 0.6*ZS7	<p>Způsob výpočtu : <input checked="" type="checkbox"/> Analýza podle II. řádu (P-Delta)</p> <p>Možnosti : <input checked="" type="checkbox"/> Zohlednit příznivé tahové účinky : <input checked="" type="checkbox"/> Vztáhnout vnitřní síly na přetvořený systém pro: : <input checked="" type="checkbox"/> Normálové síly N : <input checked="" type="checkbox"/> Smykové síly V_y a V_z : <input checked="" type="checkbox"/> Momenty M_y, M_z a M_T</p>
KZ135	ZS1 + ZS4 + 0.5*ZS5 + 0.6*ZS8	<p>Způsob výpočtu : <input checked="" type="checkbox"/> Analýza podle II. řádu (P-Delta)</p> <p>Možnosti : <input checked="" type="checkbox"/> Zohlednit příznivé tahové účinky : <input checked="" type="checkbox"/> Vztáhnout vnitřní síly na přetvořený systém pro: : <input checked="" type="checkbox"/> Normálové síly N : <input checked="" type="checkbox"/> Smykové síly V_y a V_z : <input checked="" type="checkbox"/> Momenty M_y, M_z a M_T</p>
KZ136	ZS1 + ZS4 + 0.5*ZS5 + 0.6*ZS9	<p>Způsob výpočtu : <input checked="" type="checkbox"/> Analýza podle II. řádu (P-Delta)</p> <p>Možnosti : <input checked="" type="checkbox"/> Zohlednit příznivé tahové účinky : <input checked="" type="checkbox"/> Vztáhnout vnitřní síly na přetvořený systém pro: : <input checked="" type="checkbox"/> Normálové síly N : <input checked="" type="checkbox"/> Smykové síly V_y a V_z : <input checked="" type="checkbox"/> Momenty M_y, M_z a M_T</p>
KZ137	ZS1 + ZS4 + 0.6*ZS6	<p>Způsob výpočtu : <input checked="" type="checkbox"/> Analýza podle II. řádu (P-Delta)</p> <p>Možnosti : <input checked="" type="checkbox"/> Zohlednit příznivé tahové účinky : <input checked="" type="checkbox"/> Vztáhnout vnitřní síly na přetvořený systém pro: : <input checked="" type="checkbox"/> Normálové síly N : <input checked="" type="checkbox"/> Smykové síly V_y a V_z : <input checked="" type="checkbox"/> Momenty M_y, M_z a M_T</p>
KZ138	ZS1 + ZS4 + 0.6*ZS7	<p>Způsob výpočtu : <input checked="" type="checkbox"/> Analýza podle II. řádu (P-Delta)</p> <p>Možnosti : <input checked="" type="checkbox"/> Zohlednit příznivé tahové účinky : <input checked="" type="checkbox"/> Vztáhnout vnitřní síly na přetvořený systém pro: : <input checked="" type="checkbox"/> Normálové síly N : <input checked="" type="checkbox"/> Smykové síly V_y a V_z : <input checked="" type="checkbox"/> Momenty M_y, M_z a M_T</p>
KZ139	ZS1 + ZS4 + 0.6*ZS8	<p>Způsob výpočtu : <input checked="" type="checkbox"/> Analýza podle II. řádu (P-Delta)</p> <p>Možnosti : <input checked="" type="checkbox"/> Zohlednit příznivé tahové účinky : <input checked="" type="checkbox"/> Vztáhnout vnitřní síly na přetvořený systém pro: : <input checked="" type="checkbox"/> Normálové síly N : <input checked="" type="checkbox"/> Smykové síly V_y a V_z : <input checked="" type="checkbox"/> Momenty M_y, M_z a M_T</p>
KZ140	ZS1 + ZS4 + 0.6*ZS9	<p>Způsob výpočtu : <input checked="" type="checkbox"/> Analýza podle II. řádu (P-Delta)</p> <p>Možnosti : <input checked="" type="checkbox"/> Zohlednit příznivé tahové účinky : <input checked="" type="checkbox"/> Vztáhnout vnitřní síly na přetvořený systém pro: : <input checked="" type="checkbox"/> Normálové síly N : <input checked="" type="checkbox"/> Smykové síly V_y a V_z : <input checked="" type="checkbox"/> Momenty M_y, M_z a M_T</p>
KZ141	ZS1 + ZS5	<p>Způsob výpočtu : <input checked="" type="checkbox"/> Analýza podle II. řádu (P-Delta)</p> <p>Možnosti : <input checked="" type="checkbox"/> Zohlednit příznivé tahové účinky : <input checked="" type="checkbox"/> Vztáhnout vnitřní síly na přetvořený systém pro: : <input checked="" type="checkbox"/> Normálové síly N : <input checked="" type="checkbox"/> Smykové síly V_y a V_z : <input checked="" type="checkbox"/> Momenty M_y, M_z a M_T</p>
KZ142	ZS1 + ZS2 + ZS5	<p>Způsob výpočtu : <input checked="" type="checkbox"/> Analýza podle II. řádu (P-Delta)</p> <p>Možnosti : <input checked="" type="checkbox"/> Zohlednit příznivé tahové účinky : <input checked="" type="checkbox"/> Vztáhnout vnitřní síly na přetvořený systém pro: : <input checked="" type="checkbox"/> Normálové síly N : <input checked="" type="checkbox"/> Smykové síly V_y a V_z : <input checked="" type="checkbox"/> Momenty M_y, M_z a M_T</p>
KZ143	ZS1 + ZS2 + ZS3 + ZS5	<p>Způsob výpočtu : <input checked="" type="checkbox"/> Analýza podle II. řádu (P-Delta)</p> <p>Možnosti : <input checked="" type="checkbox"/> Zohlednit příznivé tahové účinky : <input checked="" type="checkbox"/> Vztáhnout vnitřní síly na přetvořený systém pro: : <input checked="" type="checkbox"/> Normálové síly N : <input checked="" type="checkbox"/> Smykové síly V_y a V_z : <input checked="" type="checkbox"/> Momenty M_y, M_z a M_T</p>
KZ144	ZS1 + ZS3 + ZS5	<p>Způsob výpočtu : <input checked="" type="checkbox"/> Analýza podle II. řádu (P-Delta)</p> <p>Možnosti : <input checked="" type="checkbox"/> Zohlednit příznivé tahové účinky : <input checked="" type="checkbox"/> Vztáhnout vnitřní síly na přetvořený systém pro: : <input checked="" type="checkbox"/> Normálové síly N : <input checked="" type="checkbox"/> Smykové síly V_y a V_z : <input checked="" type="checkbox"/> Momenty M_y, M_z a M_T</p>
KZ145	ZS1 + ZS2 + ZS5 + 0.6*ZS6	<p>Způsob výpočtu : <input checked="" type="checkbox"/> Analýza podle II. řádu (P-Delta)</p> <p>Možnosti : <input checked="" type="checkbox"/> Zohlednit příznivé tahové účinky : <input checked="" type="checkbox"/> Vztáhnout vnitřní síly na přetvořený systém pro:</p>



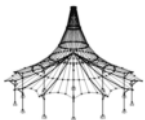
ZATÍŽENÍ

Projekt: 2024 Model: POZARNÍ VEZ
NAVRH KROVU 2024 DYSINA - SUSENÍ HADIC

Datum: 10.05.2024

2.5.2 KOMBINACE ZATÍŽENÍ - PARAMETRY VÝPOČTU

Kombin. zatížení	Označení	Parametry výpočtu
		<input checked="" type="checkbox"/> Normálové síly N <input checked="" type="checkbox"/> Smykové síly V_y a V_z <input checked="" type="checkbox"/> Momenty M_y , M_z a M_T
KZ146	ZS1 + ZS2 + ZS5 + 0.6*ZS7	Způsob výpočtu : <input checked="" type="radio"/> Analýza podle II. řádu (P-Delta) Možnosti : <input checked="" type="checkbox"/> Zohlednit příznivé tahové účinky : <input checked="" type="checkbox"/> Vztáhnout vnitřní síly na přetvořený systém pro: : <input checked="" type="checkbox"/> Normálové síly N : <input checked="" type="checkbox"/> Smykové síly V_y a V_z : <input checked="" type="checkbox"/> Momenty M_y , M_z a M_T
KZ147	ZS1 + ZS2 + ZS5 + 0.6*ZS8	Způsob výpočtu : <input checked="" type="radio"/> Analýza podle II. řádu (P-Delta) Možnosti : <input checked="" type="checkbox"/> Zohlednit příznivé tahové účinky : <input checked="" type="checkbox"/> Vztáhnout vnitřní síly na přetvořený systém pro: : <input checked="" type="checkbox"/> Normálové síly N : <input checked="" type="checkbox"/> Smykové síly V_y a V_z : <input checked="" type="checkbox"/> Momenty M_y , M_z a M_T
KZ148	ZS1 + ZS2 + ZS5 + 0.6*ZS9	Způsob výpočtu : <input checked="" type="radio"/> Analýza podle II. řádu (P-Delta) Možnosti : <input checked="" type="checkbox"/> Zohlednit příznivé tahové účinky : <input checked="" type="checkbox"/> Vztáhnout vnitřní síly na přetvořený systém pro: : <input checked="" type="checkbox"/> Normálové síly N : <input checked="" type="checkbox"/> Smykové síly V_y a V_z : <input checked="" type="checkbox"/> Momenty M_y , M_z a M_T
KZ149	ZS1 + ZS2 + ZS3 + ZS5 + 0.6*ZS6	Způsob výpočtu : <input checked="" type="radio"/> Analýza podle II. řádu (P-Delta) Možnosti : <input checked="" type="checkbox"/> Zohlednit příznivé tahové účinky : <input checked="" type="checkbox"/> Vztáhnout vnitřní síly na přetvořený systém pro: : <input checked="" type="checkbox"/> Normálové síly N : <input checked="" type="checkbox"/> Smykové síly V_y a V_z : <input checked="" type="checkbox"/> Momenty M_y , M_z a M_T
KZ150	ZS1 + ZS2 + ZS3 + ZS5 + 0.6*ZS7	Způsob výpočtu : <input checked="" type="radio"/> Analýza podle II. řádu (P-Delta) Možnosti : <input checked="" type="checkbox"/> Zohlednit příznivé tahové účinky : <input checked="" type="checkbox"/> Vztáhnout vnitřní síly na přetvořený systém pro: : <input checked="" type="checkbox"/> Normálové síly N : <input checked="" type="checkbox"/> Smykové síly V_y a V_z : <input checked="" type="checkbox"/> Momenty M_y , M_z a M_T
KZ151	ZS1 + ZS2 + ZS3 + ZS5 + 0.6*ZS8	Způsob výpočtu : <input checked="" type="radio"/> Analýza podle II. řádu (P-Delta) Možnosti : <input checked="" type="checkbox"/> Zohlednit příznivé tahové účinky : <input checked="" type="checkbox"/> Vztáhnout vnitřní síly na přetvořený systém pro: : <input checked="" type="checkbox"/> Normálové síly N : <input checked="" type="checkbox"/> Smykové síly V_y a V_z : <input checked="" type="checkbox"/> Momenty M_y , M_z a M_T
KZ152	ZS1 + ZS2 + ZS3 + ZS5 + 0.6*ZS9	Způsob výpočtu : <input checked="" type="radio"/> Analýza podle II. řádu (P-Delta) Možnosti : <input checked="" type="checkbox"/> Zohlednit příznivé tahové účinky : <input checked="" type="checkbox"/> Vztáhnout vnitřní síly na přetvořený systém pro: : <input checked="" type="checkbox"/> Normálové síly N : <input checked="" type="checkbox"/> Smykové síly V_y a V_z : <input checked="" type="checkbox"/> Momenty M_y , M_z a M_T
KZ153	ZS1 + ZS3 + ZS5 + 0.6*ZS6	Způsob výpočtu : <input checked="" type="radio"/> Analýza podle II. řádu (P-Delta) Možnosti : <input checked="" type="checkbox"/> Zohlednit příznivé tahové účinky : <input checked="" type="checkbox"/> Vztáhnout vnitřní síly na přetvořený systém pro: : <input checked="" type="checkbox"/> Normálové síly N : <input checked="" type="checkbox"/> Smykové síly V_y a V_z : <input checked="" type="checkbox"/> Momenty M_y , M_z a M_T
KZ154	ZS1 + ZS3 + ZS5 + 0.6*ZS7	Způsob výpočtu : <input checked="" type="radio"/> Analýza podle II. řádu (P-Delta) Možnosti : <input checked="" type="checkbox"/> Zohlednit příznivé tahové účinky : <input checked="" type="checkbox"/> Vztáhnout vnitřní síly na přetvořený systém pro: : <input checked="" type="checkbox"/> Normálové síly N : <input checked="" type="checkbox"/> Smykové síly V_y a V_z : <input checked="" type="checkbox"/> Momenty M_y , M_z a M_T
KZ155	ZS1 + ZS3 + ZS5 + 0.6*ZS8	Způsob výpočtu : <input checked="" type="radio"/> Analýza podle II. řádu (P-Delta) Možnosti : <input checked="" type="checkbox"/> Zohlednit příznivé tahové účinky : <input checked="" type="checkbox"/> Vztáhnout vnitřní síly na přetvořený systém pro: : <input checked="" type="checkbox"/> Normálové síly N : <input checked="" type="checkbox"/> Smykové síly V_y a V_z : <input checked="" type="checkbox"/> Momenty M_y , M_z a M_T
KZ156	ZS1 + ZS3 + ZS5 + 0.6*ZS9	Způsob výpočtu : <input checked="" type="radio"/> Analýza podle II. řádu (P-Delta) Možnosti : <input checked="" type="checkbox"/> Zohlednit příznivé tahové účinky : <input checked="" type="checkbox"/> Vztáhnout vnitřní síly na přetvořený systém pro: : <input checked="" type="checkbox"/> Normálové síly N : <input checked="" type="checkbox"/> Smykové síly V_y a V_z : <input checked="" type="checkbox"/> Momenty M_y , M_z a M_T
KZ157	ZS1 + ZS5 + 0.6*ZS6	Způsob výpočtu : <input checked="" type="radio"/> Analýza podle II. řádu (P-Delta) Možnosti : <input checked="" type="checkbox"/> Zohlednit příznivé tahové účinky : <input checked="" type="checkbox"/> Vztáhnout vnitřní síly na přetvořený systém pro: : <input checked="" type="checkbox"/> Normálové síly N



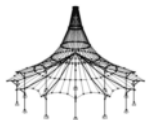
ZATÍŽENÍ

Projekt: 2024 Model: POZARNÍ VEZ
NAVRH KROVU 2024 DYSINA - SUSENI HADIC

Datum: 10.05.2024

2.5.2 KOMBINACE ZATÍŽENÍ - PARAMETRY VÝPOČTU

Kombin. zatížení	Označení	Parametry výpočtu
		<input checked="" type="checkbox"/> Smykové síly V_y a V_z <input checked="" type="checkbox"/> Momenty M_y , M_z a M_T
KZ158	ZS1 + ZS5 + 0.6*ZS7	Způsob výpočtu : <input checked="" type="radio"/> Analýza podle II. řádu (P-Delta) Možnosti : <input checked="" type="checkbox"/> Zohlednit příznivé tahové účinky : <input checked="" type="checkbox"/> Vztáhnout vnitřní síly na přetvořený systém pro: : <input checked="" type="checkbox"/> Normálové síly N : <input checked="" type="checkbox"/> Smykové síly V_y a V_z : <input checked="" type="checkbox"/> Momenty M_y , M_z a M_T
KZ159	ZS1 + ZS5 + 0.6*ZS8	Způsob výpočtu : <input checked="" type="radio"/> Analýza podle II. řádu (P-Delta) Možnosti : <input checked="" type="checkbox"/> Zohlednit příznivé tahové účinky : <input checked="" type="checkbox"/> Vztáhnout vnitřní síly na přetvořený systém pro: : <input checked="" type="checkbox"/> Normálové síly N : <input checked="" type="checkbox"/> Smykové síly V_y a V_z : <input checked="" type="checkbox"/> Momenty M_y , M_z a M_T
KZ160	ZS1 + ZS5 + 0.6*ZS9	Způsob výpočtu : <input checked="" type="radio"/> Analýza podle II. řádu (P-Delta) Možnosti : <input checked="" type="checkbox"/> Zohlednit příznivé tahové účinky : <input checked="" type="checkbox"/> Vztáhnout vnitřní síly na přetvořený systém pro: : <input checked="" type="checkbox"/> Normálové síly N : <input checked="" type="checkbox"/> Smykové síly V_y a V_z : <input checked="" type="checkbox"/> Momenty M_y , M_z a M_T
KZ161	ZS1 + ZS6	Způsob výpočtu : <input checked="" type="radio"/> Analýza podle II. řádu (P-Delta) Možnosti : <input checked="" type="checkbox"/> Zohlednit příznivé tahové účinky : <input checked="" type="checkbox"/> Vztáhnout vnitřní síly na přetvořený systém pro: : <input checked="" type="checkbox"/> Normálové síly N : <input checked="" type="checkbox"/> Smykové síly V_y a V_z : <input checked="" type="checkbox"/> Momenty M_y , M_z a M_T
KZ162	ZS1 + ZS7	Způsob výpočtu : <input checked="" type="radio"/> Analýza podle II. řádu (P-Delta) Možnosti : <input checked="" type="checkbox"/> Zohlednit příznivé tahové účinky : <input checked="" type="checkbox"/> Vztáhnout vnitřní síly na přetvořený systém pro: : <input checked="" type="checkbox"/> Normálové síly N : <input checked="" type="checkbox"/> Smykové síly V_y a V_z : <input checked="" type="checkbox"/> Momenty M_y , M_z a M_T
KZ163	ZS1 + ZS8	Způsob výpočtu : <input checked="" type="radio"/> Analýza podle II. řádu (P-Delta) Možnosti : <input checked="" type="checkbox"/> Zohlednit příznivé tahové účinky : <input checked="" type="checkbox"/> Vztáhnout vnitřní síly na přetvořený systém pro: : <input checked="" type="checkbox"/> Normálové síly N : <input checked="" type="checkbox"/> Smykové síly V_y a V_z : <input checked="" type="checkbox"/> Momenty M_y , M_z a M_T
KZ164	ZS1 + ZS9	Způsob výpočtu : <input checked="" type="radio"/> Analýza podle II. řádu (P-Delta) Možnosti : <input checked="" type="checkbox"/> Zohlednit příznivé tahové účinky : <input checked="" type="checkbox"/> Vztáhnout vnitřní síly na přetvořený systém pro: : <input checked="" type="checkbox"/> Normálové síly N : <input checked="" type="checkbox"/> Smykové síly V_y a V_z : <input checked="" type="checkbox"/> Momenty M_y , M_z a M_T
KZ165	ZS1 + ZS2 + ZS6	Způsob výpočtu : <input checked="" type="radio"/> Analýza podle II. řádu (P-Delta) Možnosti : <input checked="" type="checkbox"/> Zohlednit příznivé tahové účinky : <input checked="" type="checkbox"/> Vztáhnout vnitřní síly na přetvořený systém pro: : <input checked="" type="checkbox"/> Normálové síly N : <input checked="" type="checkbox"/> Smykové síly V_y a V_z : <input checked="" type="checkbox"/> Momenty M_y , M_z a M_T
KZ166	ZS1 + ZS2 + ZS7	Způsob výpočtu : <input checked="" type="radio"/> Analýza podle II. řádu (P-Delta) Možnosti : <input checked="" type="checkbox"/> Zohlednit příznivé tahové účinky : <input checked="" type="checkbox"/> Vztáhnout vnitřní síly na přetvořený systém pro: : <input checked="" type="checkbox"/> Normálové síly N : <input checked="" type="checkbox"/> Smykové síly V_y a V_z : <input checked="" type="checkbox"/> Momenty M_y , M_z a M_T
KZ167	ZS1 + ZS2 + ZS8	Způsob výpočtu : <input checked="" type="radio"/> Analýza podle II. řádu (P-Delta) Možnosti : <input checked="" type="checkbox"/> Zohlednit příznivé tahové účinky : <input checked="" type="checkbox"/> Vztáhnout vnitřní síly na přetvořený systém pro: : <input checked="" type="checkbox"/> Normálové síly N : <input checked="" type="checkbox"/> Smykové síly V_y a V_z : <input checked="" type="checkbox"/> Momenty M_y , M_z a M_T
KZ168	ZS1 + ZS2 + ZS9	Způsob výpočtu : <input checked="" type="radio"/> Analýza podle II. řádu (P-Delta) Možnosti : <input checked="" type="checkbox"/> Zohlednit příznivé tahové účinky : <input checked="" type="checkbox"/> Vztáhnout vnitřní síly na přetvořený systém pro: : <input checked="" type="checkbox"/> Normálové síly N : <input checked="" type="checkbox"/> Smykové síly V_y a V_z : <input checked="" type="checkbox"/> Momenty M_y , M_z a M_T
KZ169	ZS1 + ZS2 + ZS3 + ZS6	Způsob výpočtu : <input checked="" type="radio"/> Analýza podle II. řádu (P-Delta) Možnosti : <input checked="" type="checkbox"/> Zohlednit příznivé tahové účinky : <input checked="" type="checkbox"/> Vztáhnout vnitřní síly na přetvořený systém pro: : <input checked="" type="checkbox"/> Normálové síly N : <input checked="" type="checkbox"/> Smykové síly V_y a V_z : <input checked="" type="checkbox"/> Momenty M_y , M_z a M_T
KZ170	ZS1 + ZS2 + ZS3 + ZS7	Způsob výpočtu : <input checked="" type="radio"/> Analýza podle II. řádu (P-Delta) Možnosti : <input checked="" type="checkbox"/> Zohlednit příznivé tahové účinky



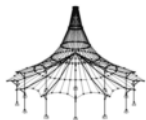
ZATÍŽENÍ

Projekt: 2024 Model: POZARNÍ VEZ
NAVRH KROVU 2024 DYSINA - SUSENÍ HADIC

Datum: 10.05.2024

2.5.2 KOMBINACE ZATÍŽENÍ - PARAMETRY VÝPOČTU

Kombin. zatížení	Označení	Parametry výpočtu
		<input checked="" type="checkbox"/> Vztáhnout vnitřní síly na přetvořený systém pro: <input checked="" type="checkbox"/> Normálové síly N <input checked="" type="checkbox"/> Smykové síly V_y a V_z <input checked="" type="checkbox"/> Momenty M_y , M_z a M_T
KZ171	ZS1 + ZS2 + ZS3 + ZS8	Způsob výpočtu Možnosti <input checked="" type="checkbox"/> Analýza podle II. řádu (P-Delta) <input checked="" type="checkbox"/> Zohlednit příznivé tahové účinky <input checked="" type="checkbox"/> Vztáhnout vnitřní síly na přetvořený systém pro: <input checked="" type="checkbox"/> Normálové síly N <input checked="" type="checkbox"/> Smykové síly V_y a V_z <input checked="" type="checkbox"/> Momenty M_y , M_z a M_T
KZ172	ZS1 + ZS2 + ZS3 + ZS9	Způsob výpočtu Možnosti <input checked="" type="checkbox"/> Analýza podle II. řádu (P-Delta) <input checked="" type="checkbox"/> Zohlednit příznivé tahové účinky <input checked="" type="checkbox"/> Vztáhnout vnitřní síly na přetvořený systém pro: <input checked="" type="checkbox"/> Normálové síly N <input checked="" type="checkbox"/> Smykové síly V_y a V_z <input checked="" type="checkbox"/> Momenty M_y , M_z a M_T
KZ173	ZS1 + ZS3 + ZS6	Způsob výpočtu Možnosti <input checked="" type="checkbox"/> Analýza podle II. řádu (P-Delta) <input checked="" type="checkbox"/> Zohlednit příznivé tahové účinky <input checked="" type="checkbox"/> Vztáhnout vnitřní síly na přetvořený systém pro: <input checked="" type="checkbox"/> Normálové síly N <input checked="" type="checkbox"/> Smykové síly V_y a V_z <input checked="" type="checkbox"/> Momenty M_y , M_z a M_T
KZ174	ZS1 + ZS3 + ZS7	Způsob výpočtu Možnosti <input checked="" type="checkbox"/> Analýza podle II. řádu (P-Delta) <input checked="" type="checkbox"/> Zohlednit příznivé tahové účinky <input checked="" type="checkbox"/> Vztáhnout vnitřní síly na přetvořený systém pro: <input checked="" type="checkbox"/> Normálové síly N <input checked="" type="checkbox"/> Smykové síly V_y a V_z <input checked="" type="checkbox"/> Momenty M_y , M_z a M_T
KZ175	ZS1 + ZS3 + ZS8	Způsob výpočtu Možnosti <input checked="" type="checkbox"/> Analýza podle II. řádu (P-Delta) <input checked="" type="checkbox"/> Zohlednit příznivé tahové účinky <input checked="" type="checkbox"/> Vztáhnout vnitřní síly na přetvořený systém pro: <input checked="" type="checkbox"/> Normálové síly N <input checked="" type="checkbox"/> Smykové síly V_y a V_z <input checked="" type="checkbox"/> Momenty M_y , M_z a M_T
KZ176	ZS1 + ZS3 + ZS9	Způsob výpočtu Možnosti <input checked="" type="checkbox"/> Analýza podle II. řádu (P-Delta) <input checked="" type="checkbox"/> Zohlednit příznivé tahové účinky <input checked="" type="checkbox"/> Vztáhnout vnitřní síly na přetvořený systém pro: <input checked="" type="checkbox"/> Normálové síly N <input checked="" type="checkbox"/> Smykové síly V_y a V_z <input checked="" type="checkbox"/> Momenty M_y , M_z a M_T
KZ177	ZS1 + ZS2 + 0.5*ZS5 + ZS6	Způsob výpočtu Možnosti <input checked="" type="checkbox"/> Analýza podle II. řádu (P-Delta) <input checked="" type="checkbox"/> Zohlednit příznivé tahové účinky <input checked="" type="checkbox"/> Vztáhnout vnitřní síly na přetvořený systém pro: <input checked="" type="checkbox"/> Normálové síly N <input checked="" type="checkbox"/> Smykové síly V_y a V_z <input checked="" type="checkbox"/> Momenty M_y , M_z a M_T
KZ178	ZS1 + ZS2 + 0.5*ZS5 + ZS7	Způsob výpočtu Možnosti <input checked="" type="checkbox"/> Analýza podle II. řádu (P-Delta) <input checked="" type="checkbox"/> Zohlednit příznivé tahové účinky <input checked="" type="checkbox"/> Vztáhnout vnitřní síly na přetvořený systém pro: <input checked="" type="checkbox"/> Normálové síly N <input checked="" type="checkbox"/> Smykové síly V_y a V_z <input checked="" type="checkbox"/> Momenty M_y , M_z a M_T
KZ179	ZS1 + ZS2 + 0.5*ZS5 + ZS8	Způsob výpočtu Možnosti <input checked="" type="checkbox"/> Analýza podle II. řádu (P-Delta) <input checked="" type="checkbox"/> Zohlednit příznivé tahové účinky <input checked="" type="checkbox"/> Vztáhnout vnitřní síly na přetvořený systém pro: <input checked="" type="checkbox"/> Normálové síly N <input checked="" type="checkbox"/> Smykové síly V_y a V_z <input checked="" type="checkbox"/> Momenty M_y , M_z a M_T
KZ180	ZS1 + ZS2 + 0.5*ZS5 + ZS9	Způsob výpočtu Možnosti <input checked="" type="checkbox"/> Analýza podle II. řádu (P-Delta) <input checked="" type="checkbox"/> Zohlednit příznivé tahové účinky <input checked="" type="checkbox"/> Vztáhnout vnitřní síly na přetvořený systém pro: <input checked="" type="checkbox"/> Normálové síly N <input checked="" type="checkbox"/> Smykové síly V_y a V_z <input checked="" type="checkbox"/> Momenty M_y , M_z a M_T
KZ181	ZS1 + ZS2 + ZS3 + 0.5*ZS5 + ZS6	Způsob výpočtu Možnosti <input checked="" type="checkbox"/> Analýza podle II. řádu (P-Delta) <input checked="" type="checkbox"/> Zohlednit příznivé tahové účinky <input checked="" type="checkbox"/> Vztáhnout vnitřní síly na přetvořený systém pro: <input checked="" type="checkbox"/> Normálové síly N <input checked="" type="checkbox"/> Smykové síly V_y a V_z <input checked="" type="checkbox"/> Momenty M_y , M_z a M_T
KZ182	ZS1 + ZS2 + ZS3 + 0.5*ZS5 + ZS7	Způsob výpočtu Možnosti <input checked="" type="checkbox"/> Analýza podle II. řádu (P-Delta) <input checked="" type="checkbox"/> Zohlednit příznivé tahové účinky <input checked="" type="checkbox"/> Vztáhnout vnitřní síly na přetvořený systém pro: <input checked="" type="checkbox"/> Normálové síly N



ZATÍŽENÍ

Projekt: 2024 Model: POZARNÍ VEZ
NAVRH KROVU 2024 DYSINA - SUSENÍ HADIC

Datum: 10.05.2024

2.5.2 KOMBINACE ZATÍŽENÍ - PARAMETRY VÝPOČTU

Kombin. zatížení	Označení	Parametry výpočtu
		<input checked="" type="checkbox"/> Smykové síly V_y a V_z <input checked="" type="checkbox"/> Momenty M_y , M_z a M_T
KZ183	ZS1 + ZS2 + ZS3 + 0.5*ZS5 + ZS8	Způsob výpočtu : <input checked="" type="radio"/> Analýza podle II. řádu (P-Delta) Možnosti : <input checked="" type="checkbox"/> Zohlednit příznivé tahové účinky : <input checked="" type="checkbox"/> Vztáhnout vnitřní síly na přetvořený systém pro: : <input checked="" type="checkbox"/> Normálové síly N : <input checked="" type="checkbox"/> Smykové síly V_y a V_z : <input checked="" type="checkbox"/> Momenty M_y , M_z a M_T
KZ184	ZS1 + ZS2 + ZS3 + 0.5*ZS5 + ZS9	Způsob výpočtu : <input checked="" type="radio"/> Analýza podle II. řádu (P-Delta) Možnosti : <input checked="" type="checkbox"/> Zohlednit příznivé tahové účinky : <input checked="" type="checkbox"/> Vztáhnout vnitřní síly na přetvořený systém pro: : <input checked="" type="checkbox"/> Normálové síly N : <input checked="" type="checkbox"/> Smykové síly V_y a V_z : <input checked="" type="checkbox"/> Momenty M_y , M_z a M_T
KZ185	ZS1 + ZS3 + 0.5*ZS5 + ZS6	Způsob výpočtu : <input checked="" type="radio"/> Analýza podle II. řádu (P-Delta) Možnosti : <input checked="" type="checkbox"/> Zohlednit příznivé tahové účinky : <input checked="" type="checkbox"/> Vztáhnout vnitřní síly na přetvořený systém pro: : <input checked="" type="checkbox"/> Normálové síly N : <input checked="" type="checkbox"/> Smykové síly V_y a V_z : <input checked="" type="checkbox"/> Momenty M_y , M_z a M_T
KZ186	ZS1 + ZS3 + 0.5*ZS5 + ZS7	Způsob výpočtu : <input checked="" type="radio"/> Analýza podle II. řádu (P-Delta) Možnosti : <input checked="" type="checkbox"/> Zohlednit příznivé tahové účinky : <input checked="" type="checkbox"/> Vztáhnout vnitřní síly na přetvořený systém pro: : <input checked="" type="checkbox"/> Normálové síly N : <input checked="" type="checkbox"/> Smykové síly V_y a V_z : <input checked="" type="checkbox"/> Momenty M_y , M_z a M_T
KZ187	ZS1 + ZS3 + 0.5*ZS5 + ZS8	Způsob výpočtu : <input checked="" type="radio"/> Analýza podle II. řádu (P-Delta) Možnosti : <input checked="" type="checkbox"/> Zohlednit příznivé tahové účinky : <input checked="" type="checkbox"/> Vztáhnout vnitřní síly na přetvořený systém pro: : <input checked="" type="checkbox"/> Normálové síly N : <input checked="" type="checkbox"/> Smykové síly V_y a V_z : <input checked="" type="checkbox"/> Momenty M_y , M_z a M_T
KZ188	ZS1 + ZS3 + 0.5*ZS5 + ZS9	Způsob výpočtu : <input checked="" type="radio"/> Analýza podle II. řádu (P-Delta) Možnosti : <input checked="" type="checkbox"/> Zohlednit příznivé tahové účinky : <input checked="" type="checkbox"/> Vztáhnout vnitřní síly na přetvořený systém pro: : <input checked="" type="checkbox"/> Normálové síly N : <input checked="" type="checkbox"/> Smykové síly V_y a V_z : <input checked="" type="checkbox"/> Momenty M_y , M_z a M_T
KZ189	ZS1 + 0.5*ZS5 + ZS6	Způsob výpočtu : <input checked="" type="radio"/> Analýza podle II. řádu (P-Delta) Možnosti : <input checked="" type="checkbox"/> Zohlednit příznivé tahové účinky : <input checked="" type="checkbox"/> Vztáhnout vnitřní síly na přetvořený systém pro: : <input checked="" type="checkbox"/> Normálové síly N : <input checked="" type="checkbox"/> Smykové síly V_y a V_z : <input checked="" type="checkbox"/> Momenty M_y , M_z a M_T
KZ190	ZS1 + 0.5*ZS5 + ZS7	Způsob výpočtu : <input checked="" type="radio"/> Analýza podle II. řádu (P-Delta) Možnosti : <input checked="" type="checkbox"/> Zohlednit příznivé tahové účinky : <input checked="" type="checkbox"/> Vztáhnout vnitřní síly na přetvořený systém pro: : <input checked="" type="checkbox"/> Normálové síly N : <input checked="" type="checkbox"/> Smykové síly V_y a V_z : <input checked="" type="checkbox"/> Momenty M_y , M_z a M_T
KZ191	ZS1 + 0.5*ZS5 + ZS8	Způsob výpočtu : <input checked="" type="radio"/> Analýza podle II. řádu (P-Delta) Možnosti : <input checked="" type="checkbox"/> Zohlednit příznivé tahové účinky : <input checked="" type="checkbox"/> Vztáhnout vnitřní síly na přetvořený systém pro: : <input checked="" type="checkbox"/> Normálové síly N : <input checked="" type="checkbox"/> Smykové síly V_y a V_z : <input checked="" type="checkbox"/> Momenty M_y , M_z a M_T
KZ192	ZS1 + 0.5*ZS5 + ZS9	Způsob výpočtu : <input checked="" type="radio"/> Analýza podle II. řádu (P-Delta) Možnosti : <input checked="" type="checkbox"/> Zohlednit příznivé tahové účinky : <input checked="" type="checkbox"/> Vztáhnout vnitřní síly na přetvořený systém pro: : <input checked="" type="checkbox"/> Normálové síly N : <input checked="" type="checkbox"/> Smykové síly V_y a V_z : <input checked="" type="checkbox"/> Momenty M_y , M_z a M_T
KZ193	ZS1	Způsob výpočtu : <input checked="" type="radio"/> Analýza podle II. řádu (P-Delta) Možnosti : <input checked="" type="checkbox"/> Zohlednit příznivé tahové účinky : <input checked="" type="checkbox"/> Vztáhnout vnitřní síly na přetvořený systém pro: : <input checked="" type="checkbox"/> Normálové síly N : <input checked="" type="checkbox"/> Smykové síly V_y a V_z : <input checked="" type="checkbox"/> Momenty M_y , M_z a M_T
KZ194	ZS1 + ZS2	Způsob výpočtu : <input checked="" type="radio"/> Analýza podle II. řádu (P-Delta) Možnosti : <input checked="" type="checkbox"/> Zohlednit příznivé tahové účinky : <input checked="" type="checkbox"/> Vztáhnout vnitřní síly na přetvořený systém pro: : <input checked="" type="checkbox"/> Normálové síly N : <input checked="" type="checkbox"/> Smykové síly V_y a V_z : <input checked="" type="checkbox"/> Momenty M_y , M_z a M_T



Projekt: 2024 Model: POZARNÍ VEZ
NAVRH KROVU 2024 DYSINA - SUSENÍ HADIC

Datum: 10.05.2024

2.5.2 KOMBINACE ZATÍŽENÍ - PARAMETRY VÝPOČTU

Kombin. zatížení	Označení	Parametry výpočtu	
KZ195	ZS1 + ZS2 + ZS3	Způsob výpočtu Možnosti	<ul style="list-style-type: none">Analýza podle II. řádu (P-Delta)Zohlednit příznivé tahové účinkyVztáhnout vnitřní síly na přetvořený systém pro:<ul style="list-style-type: none">Normálové síly NSmykové síly V_y a V_zMomenty M_y, M_z a M_T
KZ196	ZS1 + ZS3	Způsob výpočtu Možnosti	<ul style="list-style-type: none">Analýza podle II. řádu (P-Delta)Zohlednit příznivé tahové účinkyVztáhnout vnitřní síly na přetvořený systém pro:<ul style="list-style-type: none">Normálové síly NSmykové síly V_y a V_zMomenty M_y, M_z a M_T
KZ197	ZS1 + 0.2*ZS5	Způsob výpočtu Možnosti	<ul style="list-style-type: none">Analýza podle II. řádu (P-Delta)Zohlednit příznivé tahové účinkyVztáhnout vnitřní síly na přetvořený systém pro:<ul style="list-style-type: none">Normálové síly NSmykové síly V_y a V_zMomenty M_y, M_z a M_T
KZ198	ZS1 + ZS2 + 0.2*ZS5	Způsob výpočtu Možnosti	<ul style="list-style-type: none">Analýza podle II. řádu (P-Delta)Zohlednit příznivé tahové účinkyVztáhnout vnitřní síly na přetvořený systém pro:<ul style="list-style-type: none">Normálové síly NSmykové síly V_y a V_zMomenty M_y, M_z a M_T
KZ199	ZS1 + ZS2 + ZS3 + 0.2*ZS5	Způsob výpočtu Možnosti	<ul style="list-style-type: none">Analýza podle II. řádu (P-Delta)Zohlednit příznivé tahové účinkyVztáhnout vnitřní síly na přetvořený systém pro:<ul style="list-style-type: none">Normálové síly NSmykové síly V_y a V_zMomenty M_y, M_z a M_T
KZ200	ZS1 + ZS3 + 0.2*ZS5	Způsob výpočtu Možnosti	<ul style="list-style-type: none">Analýza podle II. řádu (P-Delta)Zohlednit příznivé tahové účinkyVztáhnout vnitřní síly na přetvořený systém pro:<ul style="list-style-type: none">Normálové síly NSmykové síly V_y a V_zMomenty M_y, M_z a M_T
KZ201	ZS1 + 0.2*ZS6	Způsob výpočtu Možnosti	<ul style="list-style-type: none">Analýza podle II. řádu (P-Delta)Zohlednit příznivé tahové účinkyVztáhnout vnitřní síly na přetvořený systém pro:<ul style="list-style-type: none">Normálové síly NSmykové síly V_y a V_zMomenty M_y, M_z a M_T
KZ202	ZS1 + 0.2*ZS7	Způsob výpočtu Možnosti	<ul style="list-style-type: none">Analýza podle II. řádu (P-Delta)Zohlednit příznivé tahové účinkyVztáhnout vnitřní síly na přetvořený systém pro:<ul style="list-style-type: none">Normálové síly NSmykové síly V_y a V_zMomenty M_y, M_z a M_T
KZ203	ZS1 + 0.2*ZS8	Způsob výpočtu Možnosti	<ul style="list-style-type: none">Analýza podle II. řádu (P-Delta)Zohlednit příznivé tahové účinkyVztáhnout vnitřní síly na přetvořený systém pro:<ul style="list-style-type: none">Normálové síly NSmykové síly V_y a V_zMomenty M_y, M_z a M_T
KZ204	ZS1 + 0.2*ZS9	Způsob výpočtu Možnosti	<ul style="list-style-type: none">Analýza podle II. řádu (P-Delta)Zohlednit příznivé tahové účinkyVztáhnout vnitřní síly na přetvořený systém pro:<ul style="list-style-type: none">Normálové síly NSmykové síly V_y a V_zMomenty M_y, M_z a M_T
KZ205	ZS1 + ZS2 + 0.2*ZS6	Způsob výpočtu Možnosti	<ul style="list-style-type: none">Analýza podle II. řádu (P-Delta)Zohlednit příznivé tahové účinkyVztáhnout vnitřní síly na přetvořený systém pro:<ul style="list-style-type: none">Normálové síly NSmykové síly V_y a V_zMomenty M_y, M_z a M_T
KZ206	ZS1 + ZS2 + 0.2*ZS7	Způsob výpočtu Možnosti	<ul style="list-style-type: none">Analýza podle II. řádu (P-Delta)Zohlednit příznivé tahové účinkyVztáhnout vnitřní síly na přetvořený systém pro:<ul style="list-style-type: none">Normálové síly NSmykové síly V_y a V_zMomenty M_y, M_z a M_T
KZ207	ZS1 + ZS2 + 0.2*ZS8	Způsob výpočtu Možnosti	<ul style="list-style-type: none">Analýza podle II. řádu (P-Delta)Zohlednit příznivé tahové účinkyVztáhnout vnitřní síly na přetvořený systém pro:<ul style="list-style-type: none">Normálové síly N



ZATÍŽENÍ

Projekt: 2024 Model: POZARNÍ VEZ
NAVRH KROVU 2024 DYSINA - SUSENI HADIC

Datum: 10.05.2024

2.5.2 KOMBINACE ZATÍŽENÍ - PARAMETRY VÝPOČTU

Kombin. zatížení	Označení	Parametry výpočtu
		<input checked="" type="checkbox"/> Smykové síly V_y a V_z <input checked="" type="checkbox"/> Momenty M_y , M_z a M_T
KZ208	ZS1 + ZS2 + 0.2*ZS9	Způsob výpočtu : <input checked="" type="radio"/> Analýza podle II. řádu (P-Delta) Možnosti : <input checked="" type="checkbox"/> Zohlednit příznivé tahové účinky : <input checked="" type="checkbox"/> Vztáhnout vnitřní síly na přetvořený systém pro: : <input checked="" type="checkbox"/> Normálové síly N : <input checked="" type="checkbox"/> Smykové síly V_y a V_z : <input checked="" type="checkbox"/> Momenty M_y , M_z a M_T
KZ209	ZS1 + ZS2 + ZS3 + 0.2*ZS6	Způsob výpočtu : <input checked="" type="radio"/> Analýza podle II. řádu (P-Delta) Možnosti : <input checked="" type="checkbox"/> Zohlednit příznivé tahové účinky : <input checked="" type="checkbox"/> Vztáhnout vnitřní síly na přetvořený systém pro: : <input checked="" type="checkbox"/> Normálové síly N : <input checked="" type="checkbox"/> Smykové síly V_y a V_z : <input checked="" type="checkbox"/> Momenty M_y , M_z a M_T
KZ210	ZS1 + ZS2 + ZS3 + 0.2*ZS7	Způsob výpočtu : <input checked="" type="radio"/> Analýza podle II. řádu (P-Delta) Možnosti : <input checked="" type="checkbox"/> Zohlednit příznivé tahové účinky : <input checked="" type="checkbox"/> Vztáhnout vnitřní síly na přetvořený systém pro: : <input checked="" type="checkbox"/> Normálové síly N : <input checked="" type="checkbox"/> Smykové síly V_y a V_z : <input checked="" type="checkbox"/> Momenty M_y , M_z a M_T
KZ211	ZS1 + ZS2 + ZS3 + 0.2*ZS8	Způsob výpočtu : <input checked="" type="radio"/> Analýza podle II. řádu (P-Delta) Možnosti : <input checked="" type="checkbox"/> Zohlednit příznivé tahové účinky : <input checked="" type="checkbox"/> Vztáhnout vnitřní síly na přetvořený systém pro: : <input checked="" type="checkbox"/> Normálové síly N : <input checked="" type="checkbox"/> Smykové síly V_y a V_z : <input checked="" type="checkbox"/> Momenty M_y , M_z a M_T
KZ212	ZS1 + ZS2 + ZS3 + 0.2*ZS9	Způsob výpočtu : <input checked="" type="radio"/> Analýza podle II. řádu (P-Delta) Možnosti : <input checked="" type="checkbox"/> Zohlednit příznivé tahové účinky : <input checked="" type="checkbox"/> Vztáhnout vnitřní síly na přetvořený systém pro: : <input checked="" type="checkbox"/> Normálové síly N : <input checked="" type="checkbox"/> Smykové síly V_y a V_z : <input checked="" type="checkbox"/> Momenty M_y , M_z a M_T
KZ213	ZS1 + ZS3 + 0.2*ZS6	Způsob výpočtu : <input checked="" type="radio"/> Analýza podle II. řádu (P-Delta) Možnosti : <input checked="" type="checkbox"/> Zohlednit příznivé tahové účinky : <input checked="" type="checkbox"/> Vztáhnout vnitřní síly na přetvořený systém pro: : <input checked="" type="checkbox"/> Normálové síly N : <input checked="" type="checkbox"/> Smykové síly V_y a V_z : <input checked="" type="checkbox"/> Momenty M_y , M_z a M_T
KZ214	ZS1 + ZS3 + 0.2*ZS7	Způsob výpočtu : <input checked="" type="radio"/> Analýza podle II. řádu (P-Delta) Možnosti : <input checked="" type="checkbox"/> Zohlednit příznivé tahové účinky : <input checked="" type="checkbox"/> Vztáhnout vnitřní síly na přetvořený systém pro: : <input checked="" type="checkbox"/> Normálové síly N : <input checked="" type="checkbox"/> Smykové síly V_y a V_z : <input checked="" type="checkbox"/> Momenty M_y , M_z a M_T
KZ215	ZS1 + ZS3 + 0.2*ZS8	Způsob výpočtu : <input checked="" type="radio"/> Analýza podle II. řádu (P-Delta) Možnosti : <input checked="" type="checkbox"/> Zohlednit příznivé tahové účinky : <input checked="" type="checkbox"/> Vztáhnout vnitřní síly na přetvořený systém pro: : <input checked="" type="checkbox"/> Normálové síly N : <input checked="" type="checkbox"/> Smykové síly V_y a V_z : <input checked="" type="checkbox"/> Momenty M_y , M_z a M_T
KZ216	ZS1 + ZS3 + 0.2*ZS9	Způsob výpočtu : <input checked="" type="radio"/> Analýza podle II. řádu (P-Delta) Možnosti : <input checked="" type="checkbox"/> Zohlednit příznivé tahové účinky : <input checked="" type="checkbox"/> Vztáhnout vnitřní síly na přetvořený systém pro: : <input checked="" type="checkbox"/> Normálové síly N : <input checked="" type="checkbox"/> Smykové síly V_y a V_z : <input checked="" type="checkbox"/> Momenty M_y , M_z a M_T
KZ217	ZS1	Způsob výpočtu : <input checked="" type="radio"/> Analýza podle II. řádu (P-Delta) Možnosti : <input checked="" type="checkbox"/> Zohlednit příznivé tahové účinky : <input checked="" type="checkbox"/> Vztáhnout vnitřní síly na přetvořený systém pro: : <input checked="" type="checkbox"/> Normálové síly N : <input checked="" type="checkbox"/> Smykové síly V_y a V_z : <input checked="" type="checkbox"/> Momenty M_y , M_z a M_T
KZ218	ZS1 + ZS2	Způsob výpočtu : <input checked="" type="radio"/> Analýza podle II. řádu (P-Delta) Možnosti : <input checked="" type="checkbox"/> Zohlednit příznivé tahové účinky : <input checked="" type="checkbox"/> Vztáhnout vnitřní síly na přetvořený systém pro: : <input checked="" type="checkbox"/> Normálové síly N : <input checked="" type="checkbox"/> Smykové síly V_y a V_z : <input checked="" type="checkbox"/> Momenty M_y , M_z a M_T
KZ219	ZS1 + ZS2 + ZS3	Způsob výpočtu : <input checked="" type="radio"/> Analýza podle II. řádu (P-Delta) Možnosti : <input checked="" type="checkbox"/> Zohlednit příznivé tahové účinky : <input checked="" type="checkbox"/> Vztáhnout vnitřní síly na přetvořený systém pro: : <input checked="" type="checkbox"/> Normálové síly N : <input checked="" type="checkbox"/> Smykové síly V_y a V_z : <input checked="" type="checkbox"/> Momenty M_y , M_z a M_T
KZ220	ZS1 + ZS3	Způsob výpočtu : <input checked="" type="radio"/> Analýza podle II. řádu (P-Delta) Možnosti : <input checked="" type="checkbox"/> Zohlednit příznivé tahové účinky



ZATÍŽENÍ

Projekt: 2024 Model: POZARNÍ VEZ
NAVRH KROVU 2024 DYSINA - SUSENÍ HADIC

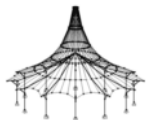
Datum: 10.05.2024

2.5.2 KOMBINACE ZATÍŽENÍ - PARAMETRY VÝPOČTU

Kombin. zatížení	Označení	Parametry výpočtu
		<input checked="" type="checkbox"/> Vztáhnout vnitřní síly na přetvořený systém pro: <input checked="" type="checkbox"/> Normálové síly N <input checked="" type="checkbox"/> Smykové síly V_y a V_z <input checked="" type="checkbox"/> Momenty M_y , M_z a M_T

2.6 KOMBINACE VÝSLEDKŮ

Kombin. výsledků	NS	Kombinace výsledků	č.	Součinitel	Zatěžování	Kritérium	Alternativ. skupina
KV1	ULS	MSÚ (STR/GEO) - stálá / přechodná - rovn. 6.10	1	1.00	KZ1	Stálé	1
			2	1.00	KZ2	Stálé	1
			3	1.00	KZ3	Stálé	1
			4	1.00	KZ4	Stálé	1
			5	1.00	KZ5	Stálé	1
			6	1.00	KZ6	Stálé	1
			7	1.00	KZ7	Stálé	1
			8	1.00	KZ8	Stálé	1
			9	1.00	KZ9	Stálé	1
			10	1.00	KZ10	Stálé	1
			11	1.00	KZ11	Stálé	1
			12	1.00	KZ12	Stálé	1
			13	1.00	KZ13	Stálé	1
			14	1.00	KZ14	Stálé	1
			15	1.00	KZ15	Stálé	1
			16	1.00	KZ16	Stálé	1
			17	1.00	KZ17	Stálé	1
			18	1.00	KZ18	Stálé	1
			19	1.00	KZ19	Stálé	1
			20	1.00	KZ20	Stálé	1
			21	1.00	KZ21	Stálé	1
			22	1.00	KZ22	Stálé	1
			23	1.00	KZ23	Stálé	1
			24	1.00	KZ24	Stálé	1
			25	1.00	KZ25	Stálé	1
			26	1.00	KZ26	Stálé	1
			27	1.00	KZ27	Stálé	1
			28	1.00	KZ28	Stálé	1
			29	1.00	KZ29	Stálé	1
			30	1.00	KZ30	Stálé	1
			31	1.00	KZ31	Stálé	1
			32	1.00	KZ32	Stálé	1
			33	1.00	KZ33	Stálé	1
			34	1.00	KZ34	Stálé	1
			35	1.00	KZ35	Stálé	1
			36	1.00	KZ36	Stálé	1
			37	1.00	KZ37	Stálé	1
			38	1.00	KZ38	Stálé	1
			39	1.00	KZ39	Stálé	1
			40	1.00	KZ40	Stálé	1
			41	1.00	KZ41	Stálé	1
			42	1.00	KZ42	Stálé	1
			43	1.00	KZ43	Stálé	1
			44	1.00	KZ44	Stálé	1
			45	1.00	KZ45	Stálé	1
			46	1.00	KZ46	Stálé	1
			47	1.00	KZ47	Stálé	1
			48	1.00	KZ48	Stálé	1
			49	1.00	KZ49	Stálé	1
			50	1.00	KZ50	Stálé	1
			51	1.00	KZ51	Stálé	1
			52	1.00	KZ52	Stálé	1
			53	1.00	KZ53	Stálé	1
			54	1.00	KZ54	Stálé	1
			55	1.00	KZ55	Stálé	1
			56	1.00	KZ56	Stálé	1
			57	1.00	KZ57	Stálé	1
			58	1.00	KZ58	Stálé	1
			59	1.00	KZ59	Stálé	1
			60	1.00	KZ60	Stálé	1
			61	1.00	KZ61	Stálé	1
			62	1.00	KZ62	Stálé	1
			63	1.00	KZ63	Stálé	1
			64	1.00	KZ64	Stálé	1
			65	1.00	KZ65	Stálé	1
			66	1.00	KZ66	Stálé	1
			67	1.00	KZ67	Stálé	1
			68	1.00	KZ68	Stálé	1
			69	1.00	KZ69	Stálé	1
			70	1.00	KZ70	Stálé	1
			71	1.00	KZ71	Stálé	1
			72	1.00	KZ72	Stálé	1
			73	1.00	KZ73	Stálé	1
			74	1.00	KZ74	Stálé	1
			75	1.00	KZ75	Stálé	1
			76	1.00	KZ76	Stálé	1
			77	1.00	KZ77	Stálé	1
			78	1.00	KZ78	Stálé	1



ZATÍŽENÍ

Projekt: 2024 Model: POZARNÍ VEZ
NAVRH KROVU 2024 DYSINA - SUSENÍ HADIC

Datum: 10.05.2024

2.6 KOMBINACE VÝSLEDKŮ

Kombin. výsledků	NS	Kombinace výsledků		Součinitel	Zatěžování	Kritérium	Alternativ. skupina
		Označení	č.				
KV2	S Ch	MSP - charakteristická	79	1.00	KZ79	Stálé	1
			80	1.00	KZ80	Stálé	1
			81	1.00	KZ81	Stálé	1
			82	1.00	KZ82	Stálé	1
			83	1.00	KZ83	Stálé	1
			84	1.00	KZ84	Stálé	1
			85	1.00	KZ85	Stálé	1
			86	1.00	KZ86	Stálé	1
			87	1.00	KZ87	Stálé	1
			88	1.00	KZ88	Stálé	1
			89	1.00	KZ89	Stálé	1
			90	1.00	KZ90	Stálé	1
			91	1.00	KZ91	Stálé	1
			92	1.00	KZ92	Stálé	1
			93	1.00	KZ93	Stálé	1
			94	1.00	KZ94	Stálé	1
			95	1.00	KZ95	Stálé	1
			96	1.00	KZ96	Stálé	1
			1	1.00	KZ97	Stálé	1
			2	1.00	KZ98	Stálé	1
			3	1.00	KZ99	Stálé	1
			4	1.00	KZ100	Stálé	1
			5	1.00	KZ101	Stálé	1
			6	1.00	KZ102	Stálé	1
			7	1.00	KZ103	Stálé	1
			8	1.00	KZ104	Stálé	1
			9	1.00	KZ105	Stálé	1
			10	1.00	KZ106	Stálé	1
			11	1.00	KZ107	Stálé	1
			12	1.00	KZ108	Stálé	1
			13	1.00	KZ109	Stálé	1
			14	1.00	KZ110	Stálé	1
			15	1.00	KZ111	Stálé	1
			16	1.00	KZ112	Stálé	1
			17	1.00	KZ113	Stálé	1
			18	1.00	KZ114	Stálé	1
			19	1.00	KZ115	Stálé	1
			20	1.00	KZ116	Stálé	1
			21	1.00	KZ117	Stálé	1
			22	1.00	KZ118	Stálé	1
			23	1.00	KZ119	Stálé	1
			24	1.00	KZ120	Stálé	1
			25	1.00	KZ121	Stálé	1
			26	1.00	KZ122	Stálé	1
			27	1.00	KZ123	Stálé	1
			28	1.00	KZ124	Stálé	1
			29	1.00	KZ125	Stálé	1
			30	1.00	KZ126	Stálé	1
			31	1.00	KZ127	Stálé	1
			32	1.00	KZ128	Stálé	1
			33	1.00	KZ129	Stálé	1
			34	1.00	KZ130	Stálé	1
			35	1.00	KZ131	Stálé	1
			36	1.00	KZ132	Stálé	1
			37	1.00	KZ133	Stálé	1
			38	1.00	KZ134	Stálé	1
			39	1.00	KZ135	Stálé	1
			40	1.00	KZ136	Stálé	1
			41	1.00	KZ137	Stálé	1
			42	1.00	KZ138	Stálé	1
			43	1.00	KZ139	Stálé	1
			44	1.00	KZ140	Stálé	1
			45	1.00	KZ141	Stálé	1
			46	1.00	KZ142	Stálé	1
			47	1.00	KZ143	Stálé	1
			48	1.00	KZ144	Stálé	1
			49	1.00	KZ145	Stálé	1
			50	1.00	KZ146	Stálé	1
			51	1.00	KZ147	Stálé	1
			52	1.00	KZ148	Stálé	1
			53	1.00	KZ149	Stálé	1
			54	1.00	KZ150	Stálé	1
			55	1.00	KZ151	Stálé	1
			56	1.00	KZ152	Stálé	1
			57	1.00	KZ153	Stálé	1
			58	1.00	KZ154	Stálé	1
			59	1.00	KZ155	Stálé	1
			60	1.00	KZ156	Stálé	1
			61	1.00	KZ157	Stálé	1
			62	1.00	KZ158	Stálé	1
			63	1.00	KZ159	Stálé	1
			64	1.00	KZ160	Stálé	1
			65	1.00	KZ161	Stálé	1
			66	1.00	KZ162	Stálé	1
			67	1.00	KZ163	Stálé	1
			68	1.00	KZ164	Stálé	1
			69	1.00	KZ165	Stálé	1
			70	1.00	KZ166	Stálé	1
			71	1.00	KZ167	Stálé	1
			72	1.00	KZ168	Stálé	1
			73	1.00	KZ169	Stálé	1



ZATÍŽENÍ

Projekt: 2024 Model: POZARNÍ VEZ
NAVRH KROVU 2024 DYSINA - SUSENÍ HADIC

Datum: 10.05.2024

2.6 KOMBINACE VÝSLEDKŮ

Kombin. výsledků	NS	Kombinace výsledků Označení	č.	Součinitel	Zatěžování	Kritérium	Alternativ. skupina
KV3	S Fr	MSP - častá	74	1.00	KZ170	Stálé	1
			75	1.00	KZ171	Stálé	1
			76	1.00	KZ172	Stálé	1
			77	1.00	KZ173	Stálé	1
			78	1.00	KZ174	Stálé	1
			79	1.00	KZ175	Stálé	1
			80	1.00	KZ176	Stálé	1
			81	1.00	KZ177	Stálé	1
			82	1.00	KZ178	Stálé	1
			83	1.00	KZ179	Stálé	1
			84	1.00	KZ180	Stálé	1
			85	1.00	KZ181	Stálé	1
			86	1.00	KZ182	Stálé	1
			87	1.00	KZ183	Stálé	1
			88	1.00	KZ184	Stálé	1
			89	1.00	KZ185	Stálé	1
			90	1.00	KZ186	Stálé	1
			91	1.00	KZ187	Stálé	1
			92	1.00	KZ188	Stálé	1
			93	1.00	KZ189	Stálé	1
			94	1.00	KZ190	Stálé	1
			95	1.00	KZ191	Stálé	1
			96	1.00	KZ192	Stálé	1
			1	1.00	KZ193	Stálé	1
			2	1.00	KZ194	Stálé	1
			3	1.00	KZ195	Stálé	1
			4	1.00	KZ196	Stálé	1
			5	1.00	KZ197	Stálé	1
			6	1.00	KZ198	Stálé	1
			7	1.00	KZ199	Stálé	1
			8	1.00	KZ200	Stálé	1
			9	1.00	KZ201	Stálé	1
			10	1.00	KZ202	Stálé	1
			11	1.00	KZ203	Stálé	1
			12	1.00	KZ204	Stálé	1
			13	1.00	KZ205	Stálé	1
			14	1.00	KZ206	Stálé	1
			15	1.00	KZ207	Stálé	1
			16	1.00	KZ208	Stálé	1
			17	1.00	KZ209	Stálé	1
			18	1.00	KZ210	Stálé	1
			19	1.00	KZ211	Stálé	1
			20	1.00	KZ212	Stálé	1
			21	1.00	KZ213	Stálé	1
			22	1.00	KZ214	Stálé	1
			23	1.00	KZ215	Stálé	1
KV4	S Qp	MSP - kvazistálá	24	1.00	KZ216	Stálé	1
			1	1.00	KZ217	Stálé	1
			2	1.00	KZ218	Stálé	1
			3	1.00	KZ219	Stálé	1
			4	1.00	KZ220	Stálé	1

ZS2
Střešní plášť

3.2 ZATÍŽENÍ NA PRUT

ZS2: Střešní plášť

č.	Vztaženo na	Na prutech č.	Zatížení typ	Zatížení průběh	Zatížení směr	Vztažná délka	Symbol	Parametry zatížení Hodnota	Jednotka
1	Pruty	31,32	Síla	Konstant.	Z	Skutečná d.	p	10.000	kN/m

3.5 VYGENEROVANÁ ZATÍŽENÍ

ZS2: Střešní plášť

č.	Popis zatížení								
1	Ze zatížení na plochu pomocí roviny								
	Směr zatížení na plochu				Vztaženo globálně na skut. plochu:				: <input checked="" type="checkbox"/> ZL
	Plocha aplikace zatížení				<input checked="" type="checkbox"/> Zavřená rovina				
	Typ průběhu zatížení:				<input checked="" type="checkbox"/> Kombinované				
	Velikost zatížení na plochu				<input checked="" type="checkbox"/> Konstantní				: 0.400 kN/m ²
	Ohraničení roviny plošného zatížení				Rohové uzly				: 7,5,6,8
					Poznámka				: Každý řádek v seznamu popisuje jednu rovinu
	Generování celkových zatížení ve směru				SP Plochy		X	:	0.000 kN
							Y	:	0.000 kN
							Z	:	2.228 kN
					SP Pruty		X	:	0.000 kN
							Y	:	0.000 kN
							Z	:	2.228 kN
	Celkový moment k počátku				SP Plochy		X	:	2.629 kNm
							Y	:	-2.629 kNm
							Z	:	0.000 kNm
					SP Pruty		X	:	2.629 kNm
							Y	:	-2.629 kNm



ZATÍŽENÍ

Projekt: 2024 Model: POZARNÍ VEZ
NAVRH KROVU 2024 DYSINA - SUSENÍ HADIC

Datum: 10.05.2024

3.5 VYGENEROVANÁ ZATÍŽENÍ

ZS2: Střešní plášť

č.	Popis zatížení	
	Z	: 0.000 kNm
Buňky vybrané pro generování	S Počet buněk	: 3
	S Plocha buněk	: 5.570 m ²
Konvertovat zatížení na pruty č.		: 5-8,27-32

ZS3
Stěnový plášť

3.5 VYGENEROVANÁ ZATÍŽENÍ

ZS3: Stěnový plášť

č.	Popis zatížení				
1	<u>Ze zatížení na plochu pomocí roviny</u>				
	Směr zatížení na plochu	Vztaženo globálně na skut. plochu:	:	<input checked="" type="checkbox"/> ZL	
	Plocha aplikace zatížení	<input checked="" type="checkbox"/> Zavřená rovina			
	Typ průběhu zatížení:	<input checked="" type="checkbox"/> Kombinované			
	Velikost zatížení na plochu	<input checked="" type="checkbox"/> Konstantní	:	0.400 kN/m ²	
	Ohraničení roviny plošného zatížení	Rohové uzly	:	7,5,6,8; 3,1,5,7; 1,2,6,5; 2,4,8,6; 4,3,7,8	
		Poznámka	:	Každý řádek v seznamu popisuje jednu rovinu	
	Odstranit vliv z	prutů souběžných s prutem	:	39,42,51,52	
	Generování celkových zatížení ve směru	S P Plochy	X	:	0.000 kN
			Y	:	0.000 kN
			Z	:	47.540 kN
		SP Pruty	X	:	0.000 kN
Y			:	0.000 kN	
Z			:	47.540 kN	
Celkový moment k počátku	S P Plochy	X	:	56.097 kNm	
		Y	:	-56.097 kNm	
		Z	:	0.000 kNm	
	SP Pruty	X	:	56.097 kNm	
		Y	:	-56.097 kNm	
		Z	:	0.000 kNm	
Buňky vybrané pro generování	S Počet buněk	:	19		
	S Plocha buněk	:	118.850 m ²		
Konvertovat zatížení na pruty č.		:	1-38		

ZS4
Střecha - údržba

3.5 VYGENEROVANÁ ZATÍŽENÍ

ZS4: Střecha - údržba

č.	Popis zatížení			
1	Ze zatížení na plochu pomocí roviny			
	Směr zatížení na plochu	Vztaženo globálně na skut. plochu:	: <input checked="" type="checkbox"/> ZL	
	Plocha aplikace zatížení	<input checked="" type="checkbox"/> Zavřená rovina		
	Typ průběhu zatížení:	<input checked="" type="checkbox"/> Kombinované		
	Velikost zatížení na plochu	<input checked="" type="checkbox"/> Konstantní	: 0.750 kN/m ²	
	Ohraničení roviny plošného zatížení	Rohové uzly	: 7,5,6,8; 3,1,5,7; 1,2,6,5; 2,4,8,6; 4,3,7,8; 7,5,6,8	
	Poznámka		: Každý řádek v seznamu popisuje jednu rovinu	
	Odstranit vliv z	prutů souběžných s prutem	: 39,42,51,52	
	Generování celkových zatížení ve směru	S P Plochy	X	: 0.000 kN
			Y	: 0.000 kN
			Z	: 93.314 kN
		SP Pruty	X	: 0.000 kN
Y			: 0.000 kN	
Z			: 93.314 kN	
Celkový moment k počátku	S P Plochy	X	: 110.111 kNm	
		Y	: -110.111 kNm	
		Z	: 0.000 kNm	
	SP Pruty	X	: 110.111 kNm	
		Y	: -110.111 kNm	
		Z	: 0.000 kNm	
Buňky vybrané pro generování	S Počet buněk	: 22		



ZATÍŽENÍ

Projekt: 2024 Model: POZARNÍ VEZ
NAVRH KROVU 2024 DYSINA - SUSENÍ HADIC

Datum: 10.05.2024

3.5 VYGENEROVANÁ ZATÍŽENÍ

ZS4: Střecha - údržba

č.	Popis zatížení	
	S Plocha buněk	: 124.419 m ²
	Konvertovat zatížení na pruty č.	: 1-38

3.5 VYGENEROVANÁ ZATÍŽENÍ

ZS5: Sníh

č.	Popis zatížení	
1	Ze zatížení sněhem (plochá/pultová střecha)	
	Parametry pro zatížení sněhem	Podle normy : EN 1991-1-3 Národní příloha : Česká republika Oblast zatížení sněhem Z : II Zatížení plochy sněhem s _k : 1.000 kN/m ² Typ krajiny : Normální
	Koeficienty	Expozice C _e : 1.00 Teplotní součinitel C _t : 1.00
	Geometrie střechy	Uzel A : 7 B : 5 C : 6 D : 8
	Vygenerovat ZS	<input checked="" type="checkbox"/> ZS s1 : ZS5
	Typ průběhu zatížení	<input checked="" type="radio"/> Kombinované
	Generovat zatížení sněhem na pruty č.	: 5-8,27-32
	Parametry	A _R : 5.570 m ² a : 0.0 S _k : 1.000 kN/m ²
		m ₁ : 0.800 s ₁ : 0.800 kN/m ²
	Vygenerovaná celková zatížení	S P Plochy : 4.456 kN S P : 4.456 kN
	Celkový moment k počátku	S P Plochy : 7.436 kNm S P : 7.436 kNm
	Buňky vybrané pro generování	S Počet buněk : 3 S Plocha buněk : 5.570 m ²

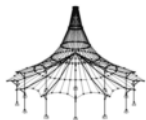
3.5 VYGENEROVANÁ ZATÍŽENÍ

ZS6: Vítr ve směru osy +X

č.	Popis zatížení	
1	Ze zatížení větrem (budova)	
	Dynamický tlak	Podle normy : EN 1991-1-4 Národní příloha : Česká republika Větrová oblast : II Kategorie terénu : Kategorie II Výška konstrukce h : 12.000 m Základní rychlost větru v _{b,0} : 25.0 m/s
	Geometrie základny	Uzel I : 3 J : 1 K : 2 L : 4
	Typ a geometrie střechy	Typ : <input checked="" type="radio"/> Plochá/pultová střecha Uzel A : 7 B : 5 C : 6 D : 8
	Typ okapu	<input checked="" type="radio"/> Oblast okapu s ostrými okraji
	Vygenerovat ZS	<input checked="" type="checkbox"/> ZS w+ : ZS6 <input checked="" type="checkbox"/> ZS w- : ZS7
	Zadat vítr na stranu	<input checked="" type="radio"/> A - B
	Typ průběhu zatížení	<input checked="" type="radio"/> Kombinované
	Odstranit vliv z	prutů souběžných s prutem : 42,43,47
	Generovat zatížení větrem na pruty č.	: 1-38,44,46,52
	Rozměry budovy	h : 12.000 m b : 2.360 m d : 2.360 m

ZS5
Sníh

ZS6
Víteř ve směru osy +X



ZATÍŽENÍ

Projekt: 2024
NAVRH KROVU 2024

Model: POZARNÍ VEZ
DYSINA - SUSENÍ HADIC

Datum: 10.05.2024

3.5 VYGENEROVANÁ ZATÍŽENÍ

ZS6: Vítr ve směru osy +X

č.	Popis zatížení			
	e Stěny	:	2.360	m
	e Střecha	:	2.360	m
	A Stěny	:	113.280	m ²
	A Střecha	:	5.570	m ²
	a	:	0.0	°
	d _A	:	0.472	m
	d _B	:	1.888	m
	d _C	:	0.000	m
	b _F	:	0.590	m
	d _F	:	0.236	m
	d _H	:	0.944	m
	d _I	:	1.180	m
	Oblast	Součinitel vnějšího tlaku c _{pe, 10}	Vnější tlak W _e [kN/m ²]	
	A	-1.200	-1.157	
	B	-0.800	-0.772	
	C	-0.500	-0.482	
	D	0.800	0.772	
	E	-0.700	-0.675	
	F	-1.800	-1.736	
	G	-1.200	-1.157	
	H	-0.700	-0.675	
	I	0.200	0.193	
Vygenerovaná celková zatížení		S P Plochy	:	38.594 kN
		S P	:	38.594 kN
Celkový moment k počátku		S P Plochy	:	243.451 kNm
		S P	:	244.324 kNm
Buňky vybrané pro generování		S Počet buněk	:	54
		S Plocha buněk	:	221.543 m ²

ZS7
Vítř ve směru osy -X

3.5 VYGENEROVANÁ ZATÍŽENÍ

ZS7: Vítr ve směru osy -X

č.	Popis zatížení			
1	Ze zatížení větrem (budova)			
Dynamický tlak	Podle normy	:	EN 1991-1-4	
	Národní příloha	:	Česká republika	
	Větrová oblast	:	II	
	Kategorie terénu	:	Kategorie II	
	Výška konstrukce	h	12.000	m
	Základní rychlost větru	v _{b,0}	25.0	m/s
Geometrie základny	Uzel	I	3	
		J	1	
		K	2	
		L	4	
Typ a geometrie střechy	Typ	:	☉ Plochá/pultová střecha	
	Uzel	A	7	
		B	5	
		C	6	
		D	8	
Typ okapu		☉ Oblast okapu s ostrými okraji		
Vygenerovat ZS	☑ ZS w+	:	ZS6	
	☑ ZS w-	:	ZS7	
Zadat vítr na stranu		☉ A - B		
Typ průběhu zatížení		☉ Kombinované		
Odstranit vliv z		prutů souběžných s prutem	:	42,43,47
Generovat zatížení větrem na pruty č.		1-38,44,46,52		
Rozměry budovy	h	:	12.000	m
	b	:	2.360	m
	d	:	2.360	m
	e Stěny	:	2.360	m
	e Střecha	:	2.360	m
	A Stěny	:	113.280	m ²
	A Střecha	:	5.570	m ²
	a	:	0.0	°
	d _A	:	0.472	m
	d _B	:	1.888	m
	d _C	:	0.000	m
	b _F	:	0.590	m
	d _F	:	0.236	m
	d _H	:	0.944	m
	d _I	:	1.180	m



ZATÍŽENÍ

Projekt: 2024 Model: POZARNÍ VEZ
NAVRH KROVU 2024 DYSINA - SUSENÍ HADIC

Datum: 10.05.2024

3.5 VYGENEROVANÁ ZATÍŽENÍ

ZS7: Vítr ve směru osy -X

č.	Popis zatížení		
	Oblast	Součinitel vnějšího tlaku $c_{pe, 10}$	Vnější tlak W_e [kN/m²]
	A	-1.200	-1.157
	B	-0.800	-0.772
	C	-0.500	-0.482
	D	0.800	0.772
	E	-0.700	-0.675
	F	-1.800	-1.736
	G	-1.200	-1.157
	H	-0.700	-0.675
	I	-0.200	-0.193
Vygenerovaná celková zatížení		S Plochy	: 38.658 kN
		S P	: 38.658 kN
Celkový moment k počátku		S Plochy	: 241.597 kNm
		S P	: 242.447 kNm
Buňky vybrané pro generování		S Počet buněk	: 54
		S Plocha buněk	: 221.543 m²

ZS8
Vítr ve směru osy +Y

3.5 VYGENEROVANÁ ZATÍŽENÍ

ZS8: Vítr ve směru osy +Y

č.	Popis zatížení		
1	Ze zatížení větrem (budova)		
	Dynamický tlak	Podle normy	: EN 1991-1-4
		Národní příloha	: Česká republika
		Větrová oblast	: II
		Kategorie terénu	: Kategorie II
		Výška konstrukce	h : 12.000 m
		Základní rychlost větru	$v_{b,0}$: 25.0 m/s
	Geometrie základny	Uzel	I : 3
			J : 1
			K : 2
			L : 4
	Typ a geometrie střechy	Typ	: Plochá/pultová střecha
		Uzel	A : 7
			B : 5
			C : 6
			D : 8
	Typ okapu	Oblast okapu s ostrými okraji	
	Vygenerovat ZS	<input checked="" type="checkbox"/> ZS w+	: ZS8
		<input checked="" type="checkbox"/> ZS w-	: ZS9
	Zadat vítr na stranu	B - C	
	Typ průběhu zatížení	Kombinované	
	Odstranit vliv z	prutů souběžných s prutem	: 43,48,52
	Generovat zatížení větrem na pruty č.	1-39,41,47,49	
	Rozměry budovy	h	: 12.000 m
		b	: 2.360 m
		d	: 2.360 m
		e Stěny	: 2.360 m
		e Střecha	: 2.360 m
		A Stěny	: 113.280 m²
		A Střecha	: 5.570 m²
		a	: 0.0 °
		d _A	: 0.472 m
		d _B	: 1.888 m
		d _C	: 0.000 m
		b _F	: 0.590 m
		d _F	: 0.236 m
		d _H	: 0.944 m
		d _I	: 1.180 m
	Oblast	Součinitel vnějšího tlaku $c_{pe, 10}$	Vnější tlak W_e [kN/m²]
	A	-1.200	-1.157
	B	-0.800	-0.772
	C	-0.500	-0.482
	D	0.800	0.772
	E	-0.700	-0.675
	F	-1.800	-1.736
	G	-1.200	-1.157
	H	-0.700	-0.675
	I	0.200	0.193
Vygenerovaná celková zatížení		S Plochy	: 38.594 kN



ZATÍŽENÍ

Projekt: 2024 Model: POZARNÍ VEZ
NAVRH KROVU 2024 DYSINA - SUSENÍ HADIC

Datum: 10.05.2024

3.5 VYGENEROVANÁ ZATÍŽENÍ

ZS8: Vítr ve směru osy +Y

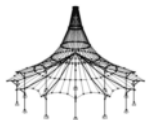
č.	Popis zatížení		
	S P	:	38.594 kN
Celkový moment k počátku	S P Plochy	:	243.451 kNm
	S P	:	244.236 kNm
Buňky vybrané pro generování	S Počet buněk	:	58
	S Plocha buněk	:	221.543 m ²

ZS9
Vítř ve směru osy -Y

3.5 VYGENEROVANÁ ZATÍŽENÍ

ZS9: Vítr ve směru osy -Y

č.	Popis zatížení			
1	Ze zatížení větrem (budova)			
	Dynamický tlak	Podle normy	:	EN 1991-1-4
		Národní příloha	:	Česká republika
		Větrová oblast	:	II
		Kategorie terénu	:	Kategorie II
		Výška konstrukce	h	: 12.000 m
		Základní rychlost větru	v _{b,0}	: 25.0 m/s
	Geometrie základny	Uzel	I	: 3
			J	: 1
			K	: 2
			L	: 4
	Typ a geometrie střechy	Typ	:	☉ Plochá/pultová střecha
		Uzel	A	: 7
			B	: 5
			C	: 6
			D	: 8
	Typ okapu	☉ Oblast okapu s ostrými okraji		
	Vygenerovat ZS	<input checked="" type="checkbox"/> ZS w+	:	ZS8
		<input checked="" type="checkbox"/> ZS w-	:	ZS9
	Zadat vítr na stranu	☉ B - C		
	Typ průběhu zatížení	☉ Kombinované		
	Odstranit vliv z	prutů souběžných s prutem		: 43,48,52
	Generovat zatížení větrem na pruty č.	: 1-39,41,47,49		
	Rozměry budovy	h	:	12.000 m
		b	:	2.360 m
		d	:	2.360 m
		e Stěny	:	2.360 m
		e Střecha	:	2.360 m
		A Stěny	:	113.280 m ²
		A Střecha	:	5.570 m ²
		a	:	0.0 °
		d _A	:	0.472 m
		d _B	:	1.888 m
		d _C	:	0.000 m
		b _F	:	0.590 m
		d _F	:	0.236 m
		d _H	:	0.944 m
		d _I	:	1.180 m
		Oblast	Součinitel vnějšího tlaku c _{pe, 10}	
	A	-1.200		-1.157
	B	-0.800		-0.772
	C	-0.500		-0.482
	D	0.800		0.772
	E	-0.700		-0.675
	F	-1.800		-1.736
	G	-1.200		-1.157
	H	-0.700		-0.675
I	-0.200		-0.193	
Vygenerovaná celková zatížení	S P _{Plochy}	:	38.658 kN	
	S P	:	38.658 kN	
Celkový moment k počátku	S P _{Plochy}	:	241.597 kNm	
	S P	:	242.328 kNm	
Buňky vybrané pro generování	S Počet buněk	:	58	
	S Plocha buněk	:	221.543 m ²	



Projekt: 2024

Model: POZARNÍ VEZ

Datum: 10.05.2024

NAVRH KROVU 2024

DYSINA - SUSENÍ HADIC

4.0 VÝSLEDKY - SOUHRN

Označení	Hodnota	Jednotky	Komentář
Max. pootočení okolo Z Způsob výpočtu Vnitřní síly vztažené na deformovaný systém pro... Redukce tuhosti vynásobením součinitelem Zohlednit příznivé působení tahových sil Zpětné dělení výsledků součinitelem KZ Počet přírůstků zatížení Počet iterací Vypočítat součinitel kritického zatížení	0.0002 II. řád <input checked="" type="checkbox"/> <input type="checkbox"/> <input checked="" type="checkbox"/> <input type="checkbox"/> 1 2 <input type="checkbox"/>	rad	Prut č. 23, x: 1.180 m Teorie II. řádu (nelineární výpočet podle Timoshenka) N, V _y , V _z , M _y , M _z , M _T
KZ9 - 1.35*ZS1 + 1.35*ZS2 + 1.5*ZS4 + 0.75*ZS5 Součet zatížení ve směru X Součet reakcí v X Součet zatížení ve směru Y Součet reakcí v Y Součet zatížení ve směru Z Součet reakcí v Z Max. posun ve směru X Max. posun ve směru Y Max. posun ve směru Z Max. posun vektorový Max. pootočení okolo X Max. pootočení okolo Y Max. pootočení okolo Z Způsob výpočtu Vnitřní síly vztažené na deformovaný systém pro... Redukce tuhosti vynásobením součinitelem Zohlednit příznivé působení tahových sil Zpětné dělení výsledků součinitelem KZ Počet přírůstků zatížení Počet iterací Vypočítat součinitel kritického zatížení	0.000 0.000 0.000 0.000 257.818 257.818 -0.6 -1.1 5.5 5.5 -0.0026 0.0037 0.0002 II. řád <input checked="" type="checkbox"/> <input type="checkbox"/> <input checked="" type="checkbox"/> <input type="checkbox"/> 1 2 <input type="checkbox"/>	kN kN kN kN kN kN mm mm mm mm rad rad rad	Odchylka -0.00% Prut č. 14, x: 1.820 m Prut č. 11, x: 1.820 m Prut č. 31, x: 1.180 m Prut č. 31, x: 1.180 m Prut č. 28, x: 0.393 m Prut č. 32, x: 2.124 m Prut č. 23, x: 1.180 m Teorie II. řádu (nelineární výpočet podle Timoshenka) N, V _y , V _z , M _y , M _z , M _T
KZ10 - 1.35*ZS1 + 1.35*ZS2 + 1.35*ZS3 + 1.5*ZS4 + 0.75*ZS5 Součet zatížení ve směru X Součet reakcí v X Součet zatížení ve směru Y Součet reakcí v Y Součet zatížení ve směru Z Součet reakcí v Z Max. posun ve směru X Max. posun ve směru Y Max. posun ve směru Z Max. posun vektorový Max. pootočení okolo X Max. pootočení okolo Y Max. pootočení okolo Z Způsob výpočtu Vnitřní síly vztažené na deformovaný systém pro... Redukce tuhosti vynásobením součinitelem Zohlednit příznivé působení tahových sil Zpětné dělení výsledků součinitelem KZ Počet přírůstků zatížení Počet iterací Vypočítat součinitel kritického zatížení	0.000 -0.000 0.000 0.000 321.997 321.997 -0.7 -1.2 5.7 5.7 -0.0027 0.0038 0.0002 II. řád <input checked="" type="checkbox"/> <input type="checkbox"/> <input checked="" type="checkbox"/> <input type="checkbox"/> 1 3 <input type="checkbox"/>	kN kN kN kN kN kN mm mm mm mm rad rad rad	Odchylka -0.00% Prut č. 14, x: 1.820 m Prut č. 11, x: 1.820 m Prut č. 31, x: 1.180 m Prut č. 31, x: 1.180 m Prut č. 28, x: 0.393 m Prut č. 32, x: 2.124 m Prut č. 23, x: 1.180 m Teorie II. řádu (nelineární výpočet podle Timoshenka) N, V _y , V _z , M _y , M _z , M _T
KZ11 - 1.35*ZS1 + 1.35*ZS3 + 1.5*ZS4 + 0.75*ZS5 Součet zatížení ve směru X Součet reakcí v X Součet zatížení ve směru Y Součet reakcí v Y Součet zatížení ve směru Z Součet reakcí v Z Max. posun ve směru X Max. posun ve směru Y Max. posun ve směru Z Max. posun vektorový Max. pootočení okolo X Max. pootočení okolo Y Max. pootočení okolo Z Způsob výpočtu Vnitřní síly vztažené na deformovaný systém pro... Redukce tuhosti vynásobením součinitelem Zohlednit příznivé působení tahových sil Zpětné dělení výsledků součinitelem KZ Počet přírůstků zatížení Počet iterací Vypočítat součinitel kritického zatížení	0.000 0.000 0.000 0.000 255.269 255.269 -0.3 -0.5 1.4 1.4 -0.0006 0.0007 0.0002 II. řád <input checked="" type="checkbox"/> <input type="checkbox"/> <input checked="" type="checkbox"/> <input type="checkbox"/> 1 2 <input type="checkbox"/>	kN kN kN kN kN kN mm mm mm mm rad rad rad	Odchylka -0.00% Prut č. 14, x: 2.100 m Prut č. 11, x: 2.100 m Prut č. 31, x: 1.180 m Prut č. 31, x: 1.180 m Prut č. 28, x: 0.393 m Prut č. 32, x: 2.360 m Prut č. 23, x: 1.180 m Teorie II. řádu (nelineární výpočet podle Timoshenka) N, V _y , V _z , M _y , M _z , M _T
KZ12 - 1.35*ZS1 + 1.35*ZS2 + 1.5*ZS4 + 0.75*ZS5 + 0.9*ZS6 Součet zatížení ve směru X Součet reakcí v X Součet zatížení ve směru Y Součet reakcí v Y Součet zatížení ve směru Z Součet reakcí v Z Max. posun ve směru X	34.698 34.698 -0.000 -0.000 256.222 256.222 3.2	kN kN kN kN kN kN mm	Odchylka -0.00% Odchylka -0.00% Prut č. 20, x: 2.100 m



Projekt: 2024
NAVRH KROVU 2024

Model: POZARNÍ VEZ
DYSINA - SUSENÍ HADIC

Datum: 10.05.2024

4.0 VÝSLEDKY - SOUHRN

Označení	Hodnota	Jednotky	Komentář
Vypočítat součinitel kritického zatížení			
KZ20 - 1.35*ZS1 + 1.35*ZS3 + 1.5*ZS4 + 0.75*ZS5 + 0.9*ZS6			
Součet zatížení ve směru X	34.698	kN	Odchylka -0.00%
Součet reakcí v X	34.698	kN	
Součet zatížení ve směru Y	-0.000	kN	
Součet reakcí v Y	0.000	kN	
Součet zatížení ve směru Z	253.673	kN	Odchylka -0.00%
Součet reakcí v Z	253.674	kN	
Max. posun ve směru X	3.0	mm	
Max. posun ve směru Y	-0.7	mm	
Max. posun ve směru Z	1.4	mm	Prut č. 20, x: 2.400 m Prut č. 35, x: 1.416 m Prut č. 31, x: 1.416 m Prut č. 31, x: 1.416 m Prut č. 30, x: 0.393 m Prut č. 32, x: 0.236 m Prut č. 23, x: 2.124 m Teorie II. řádu (nelineární výpočet podle Timoshenka) N, V _y , V _z , M _y , M _z , M _T
Max. posun vektorový	3.2	mm	
Max. pootočení okolo X	-0.0007	rad	
Max. pootočení okolo Y	-0.0008	rad	
Max. pootočení okolo Z	0.0006	rad	
Způsob výpočtu	II. řád		
Vnitřní síly vztažené na deformovaný systém pro...	<input checked="" type="checkbox"/>		
Redukce tuhosti vynásobením součinitelem	<input type="checkbox"/>		
Zohlednit příznivé působení tahových sil	<input checked="" type="checkbox"/>		
Zpětné dělení výsledků součinitelem KZ	<input type="checkbox"/>		
Počet přírůstků zatížení	1		
Počet iterací	3		
Vypočítat součinitel kritického zatížení	<input type="checkbox"/>		
KZ21 - 1.35*ZS1 + 1.35*ZS3 + 1.5*ZS4 + 0.75*ZS5 + 0.9*ZS7			
Součet zatížení ve směru X	34.698	kN	Odchylka -0.00%
Součet reakcí v X	34.698	kN	
Součet zatížení ve směru Y	-0.000	kN	
Součet reakcí v Y	0.000	kN	
Součet zatížení ve směru Z	252.707	kN	Odchylka -0.00%
Součet reakcí v Z	252.707	kN	
Max. posun ve směru X	2.9	mm	
Max. posun ve směru Y	-0.7	mm	
Max. posun ve směru Z	1.4	mm	Prut č. 20, x: 2.400 m Prut č. 35, x: 1.416 m Prut č. 31, x: 1.416 m Prut č. 31, x: 1.416 m Prut č. 30, x: 0.393 m Prut č. 4, x: 0.000 m Prut č. 23, x: 2.124 m Teorie II. řádu (nelineární výpočet podle Timoshenka) N, V _y , V _z , M _y , M _z , M _T
Max. posun vektorový	3.2	mm	
Max. pootočení okolo X	-0.0006	rad	
Max. pootočení okolo Y	-0.0008	rad	
Max. pootočení okolo Z	0.0006	rad	
Způsob výpočtu	II. řád		
Vnitřní síly vztažené na deformovaný systém pro...	<input checked="" type="checkbox"/>		
Redukce tuhosti vynásobením součinitelem	<input type="checkbox"/>		
Zohlednit příznivé působení tahových sil	<input checked="" type="checkbox"/>		
Zpětné dělení výsledků součinitelem KZ	<input type="checkbox"/>		
Počet přírůstků zatížení	1		
Počet iterací	3		
Vypočítat součinitel kritického zatížení	<input type="checkbox"/>		
KZ22 - 1.35*ZS1 + 1.35*ZS3 + 1.5*ZS4 + 0.75*ZS5 + 0.9*ZS8			
Součet zatížení ve směru X	-0.000	kN	Odchylka 0.00%
Součet reakcí v X	0.000	kN	
Součet zatížení ve směru Y	34.698	kN	
Součet reakcí v Y	34.698	kN	
Součet zatížení ve směru Z	253.673	kN	Odchylka -0.00%
Součet reakcí v Z	253.674	kN	
Max. posun ve směru X	-2.3	mm	
Max. posun ve směru Y	9.2	mm	
Max. posun ve směru Z	1.5	mm	Prut č. 11, x: 2.143 m Prut č. 14, x: 1.820 m Prut č. 32, x: 1.180 m Prut č. 14, x: 2.100 m Prut č. 2, x: 0.000 m Prut č. 27, x: 0.787 m Prut č. 33, x: 0.944 m Teorie II. řádu (nelineární výpočet podle Timoshenka) N, V _y , V _z , M _y , M _z , M _T
Max. posun vektorový	9.3	mm	
Max. pootočení okolo X	0.0036	rad	
Max. pootočení okolo Y	-0.0008	rad	
Max. pootočení okolo Z	-0.0036	rad	
Způsob výpočtu	II. řád		
Vnitřní síly vztažené na deformovaný systém pro...	<input checked="" type="checkbox"/>		
Redukce tuhosti vynásobením součinitelem	<input type="checkbox"/>		
Zohlednit příznivé působení tahových sil	<input checked="" type="checkbox"/>		
Zpětné dělení výsledků součinitelem KZ	<input type="checkbox"/>		
Počet přírůstků zatížení	1		
Počet iterací	3		
Vypočítat součinitel kritického zatížení	<input type="checkbox"/>		
KZ23 - 1.35*ZS1 + 1.35*ZS3 + 1.5*ZS4 + 0.75*ZS5 + 0.9*ZS9			
Součet zatížení ve směru X	-0.000	kN	Odchylka 0.00%
Součet reakcí v X	0.000	kN	
Součet zatížení ve směru Y	34.698	kN	
Součet reakcí v Y	34.698	kN	
Součet zatížení ve směru Z	252.706	kN	Odchylka -0.00%
Součet reakcí v Z	252.707	kN	
Max. posun ve směru X	-2.3	mm	
Max. posun ve směru Y	9.2	mm	
Max. posun ve směru Z	1.4	mm	Prut č. 11, x: 2.143 m Prut č. 14, x: 1.820 m Prut č. 32, x: 1.180 m Prut č. 14, x: 2.100 m Prut č. 2, x: 0.000 m Prut č. 32, x: 0.000 m Prut č. 33, x: 0.944 m Teorie II. řádu (nelineární výpočet podle Timoshenka) N, V _y , V _z , M _y , M _z , M _T
Max. posun vektorový	9.3	mm	
Max. pootočení okolo X	0.0036	rad	
Max. pootočení okolo Y	-0.0008	rad	
Max. pootočení okolo Z	-0.0036	rad	
Způsob výpočtu	II. řád		
Vnitřní síly vztažené na deformovaný systém pro...	<input checked="" type="checkbox"/>		
Redukce tuhosti vynásobením součinitelem	<input type="checkbox"/>		
Zohlednit příznivé působení tahových sil	<input checked="" type="checkbox"/>		
Zpětné dělení výsledků součinitelem KZ	<input type="checkbox"/>		
Počet přírůstků zatížení	1		
Počet iterací	3		
Vypočítat součinitel kritického zatížení	<input type="checkbox"/>		



Projekt: 2024
NAVRH KROVU 2024

Model: POZARNÍ VEZ
DYSINA - SUSENÍ HADIC

Datum: 10.05.2024

4.0 VÝSLEDKY - SOUHRN

Označení	Hodnota	Jednotky	Komentář
Vypočítat součinitel kritického zatížení	<input type="checkbox"/>		
KZ39 - 1.35*ZS1 + 1.5*ZS4 + 0.75*ZS5 + 0.9*ZS8			
Součet zatížení ve směru X	-0.000	kN	
Součet reakcí v X	-0.000	kN	
Součet zatížení ve směru Y	34.698	kN	
Součet reakcí v Y	34.698	kN	Odchylka 0.00%
Součet zatížení ve směru Z	189.495	kN	
Součet reakcí v Z	189.495	kN	Odchylka -0.00%
Max. posun ve směru X	-2.3	mm	Prut č. 11, x: 2.143 m
Max. posun ve směru Y	9.2	mm	Prut č. 14, x: 1.820 m
Max. posun ve směru Z	1.2	mm	Prut č. 32, x: 1.180 m
Max. posun vektorový	9.3	mm	Prut č. 14, x: 2.100 m
Max. pootočení okolo X	0.0036	rad	Prut č. 2, x: 0.000 m
Max. pootočení okolo Y	-0.0007	rad	Prut č. 32, x: 0.000 m
Max. pootočení okolo Z	-0.0036	rad	Prut č. 33, x: 0.944 m
Způsob výpočtu	II. řád		Teorie II. řádu (nelineární výpočet podle Timoshenka)
Vnitřní síly vztažené na deformovaný systém pro...	<input checked="" type="checkbox"/>		N, V _y , V _z , M _y , M _z , M _T
Redukce tuhosti vynásobením součinitelem	<input type="checkbox"/>		
Zohlednit příznivé působení tahových sil	<input checked="" type="checkbox"/>		
Zpětné dělení výsledků součinitelem KZ	<input type="checkbox"/>		
Počet přírůstků zatížení	1		
Počet iterací	3		
Vypočítat součinitel kritického zatížení	<input type="checkbox"/>		
KZ40 - 1.35*ZS1 + 1.5*ZS4 + 0.75*ZS5 + 0.9*ZS9			
Součet zatížení ve směru X	-0.000	kN	
Součet reakcí v X	0.000	kN	
Součet zatížení ve směru Y	34.698	kN	
Součet reakcí v Y	34.698	kN	Odchylka 0.00%
Součet zatížení ve směru Z	188.528	kN	
Součet reakcí v Z	188.528	kN	Odchylka 0.00%
Max. posun ve směru X	-2.3	mm	Prut č. 11, x: 2.143 m
Max. posun ve směru Y	9.2	mm	Prut č. 14, x: 1.820 m
Max. posun ve směru Z	1.2	mm	Prut č. 32, x: 1.180 m
Max. posun vektorový	9.3	mm	Prut č. 14, x: 2.100 m
Max. pootočení okolo X	0.0036	rad	Prut č. 2, x: 0.000 m
Max. pootočení okolo Y	-0.0006	rad	Prut č. 32, x: 0.000 m
Max. pootočení okolo Z	-0.0036	rad	Prut č. 33, x: 0.944 m
Způsob výpočtu	II. řád		Teorie II. řádu (nelineární výpočet podle Timoshenka)
Vnitřní síly vztažené na deformovaný systém pro...	<input checked="" type="checkbox"/>		N, V _y , V _z , M _y , M _z , M _T
Redukce tuhosti vynásobením součinitelem	<input type="checkbox"/>		
Zohlednit příznivé působení tahových sil	<input checked="" type="checkbox"/>		
Zpětné dělení výsledků součinitelem KZ	<input type="checkbox"/>		
Počet přírůstků zatížení	1		
Počet iterací	3		
Vypočítat součinitel kritického zatížení	<input type="checkbox"/>		
KZ41 - 1.35*ZS1 + 1.5*ZS4 + 0.9*ZS6			
Součet zatížení ve směru X	34.698	kN	
Součet reakcí v X	34.698	kN	Odchylka -0.00%
Součet zatížení ve směru Y	-0.000	kN	
Součet reakcí v Y	0.000	kN	
Součet zatížení ve směru Z	186.153	kN	
Součet reakcí v Z	186.153	kN	Odchylka 0.00%
Max. posun ve směru X	2.9	mm	Prut č. 20, x: 2.571 m
Max. posun ve směru Y	-0.6	mm	Prut č. 35, x: 1.180 m
Max. posun ve směru Z	1.0	mm	Prut č. 31, x: 1.416 m
Max. posun vektorový	3.1	mm	Prut č. 31, x: 1.416 m
Max. pootočení okolo X	-0.0005	rad	Prut č. 30, x: 0.393 m
Max. pootočení okolo Y	-0.0007	rad	Prut č. 4, x: 0.000 m
Max. pootočení okolo Z	0.0005	rad	Prut č. 23, x: 2.124 m
Způsob výpočtu	II. řád		Teorie II. řádu (nelineární výpočet podle Timoshenka)
Vnitřní síly vztažené na deformovaný systém pro...	<input checked="" type="checkbox"/>		N, V _y , V _z , M _y , M _z , M _T
Redukce tuhosti vynásobením součinitelem	<input type="checkbox"/>		
Zohlednit příznivé působení tahových sil	<input checked="" type="checkbox"/>		
Zpětné dělení výsledků součinitelem KZ	<input type="checkbox"/>		
Počet přírůstků zatížení	1		
Počet iterací	3		
Vypočítat součinitel kritického zatížení	<input type="checkbox"/>		
KZ42 - 1.35*ZS1 + 1.5*ZS4 + 0.9*ZS7			
Součet zatížení ve směru X	34.698	kN	
Součet reakcí v X	34.698	kN	Odchylka -0.00%
Součet zatížení ve směru Y	-0.000	kN	
Součet reakcí v Y	0.000	kN	
Součet zatížení ve směru Z	185.186	kN	
Součet reakcí v Z	185.186	kN	Odchylka 0.00%
Max. posun ve směru X	2.9	mm	Prut č. 20, x: 2.571 m
Max. posun ve směru Y	-0.6	mm	Prut č. 35, x: 1.180 m
Max. posun ve směru Z	1.0	mm	Prut č. 31, x: 1.416 m
Max. posun vektorový	3.0	mm	Prut č. 31, x: 1.416 m
Max. pootočení okolo X	-0.0004	rad	Prut č. 30, x: 0.393 m
Max. pootočení okolo Y	-0.0007	rad	Prut č. 4, x: 0.000 m
Max. pootočení okolo Z	0.0005	rad	Prut č. 23, x: 2.124 m
Způsob výpočtu	II. řád		Teorie II. řádu (nelineární výpočet podle Timoshenka)
Vnitřní síly vztažené na deformovaný systém pro...	<input checked="" type="checkbox"/>		N, V _y , V _z , M _y , M _z , M _T
Redukce tuhosti vynásobením součinitelem	<input type="checkbox"/>		
Zohlednit příznivé působení tahových sil	<input checked="" type="checkbox"/>		



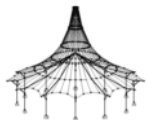
Projekt: 2024
NAVRH KROVU 2024

Model: POZARNÍ VEZ
DYSINA - SUSENÍ HADIC

Datum: 10.05.2024

4.0 VÝSLEDKY - SOUHRN

Označení	Hodnota	Jednotky	Komentář
Způsob výpočtu Vnitřní síly vztažené na deformovaný systém pro... Redukce tuhosti vynásobením součinitelem Zohlednit příznivé působení tahových sil Zpětné dělení výsledků součinitelem KZ Počet přírůstků zatížení Počet iterací Vypočítat součinitel kritického zatížení	II. řád <input checked="" type="checkbox"/> <input type="checkbox"/> <input checked="" type="checkbox"/> <input type="checkbox"/> 1 2 <input type="checkbox"/>		Teorie II. řádu (nelineární výpočet podle Timoshenka) $N, V_y, V_z, M_y, M_z, M_T$
KZ51 - 1.35*ZS1 + 1.35*ZS2 + 1.5*ZS5 + 0.9*ZS8 Součet zatížení ve směru X Součet reakcí v X Součet zatížení ve směru Y Součet reakcí v Y Součet zatížení ve směru Z Součet reakcí v Z Max. posun ve směru X Max. posun ve směru Y Max. posun ve směru Z Max. posun vektorový Max. pootočení okolo X Max. pootočení okolo Y Max. pootočení okolo Z Způsob výpočtu Vnitřní síly vztažené na deformovaný systém pro... Redukce tuhosti vynásobením součinitelem Zohlednit příznivé působení tahových sil Zpětné dělení výsledků součinitelem KZ Počet přírůstků zatížení Počet iterací Vypočítat součinitel kritického zatížení	-0.000 0.000 34.698 34.698 119.593 119.593 -2.5 9.8 4.9 9.9 0.0036 -0.0034 -0.0036 II. řád <input checked="" type="checkbox"/> <input type="checkbox"/> <input checked="" type="checkbox"/> <input type="checkbox"/> 1 3 <input type="checkbox"/>	kN kN kN kN kN kN mm mm mm mm rad rad rad	Odchylka 0.00% Prut č. 11, x: 2.100 m Prut č. 14, x: 1.820 m Prut č. 32, x: 1.180 m Prut č. 14, x: 1.820 m Prut č. 1, x: 0.000 m Prut č. 32, x: 0.236 m Prut č. 33, x: 0.944 m Teorie II. řádu (nelineární výpočet podle Timoshenka) $N, V_y, V_z, M_y, M_z, M_T$
KZ52 - 1.35*ZS1 + 1.35*ZS2 + 1.5*ZS5 + 0.9*ZS9 Součet zatížení ve směru X Součet reakcí v X Součet zatížení ve směru Y Součet reakcí v Y Součet zatížení ve směru Z Součet reakcí v Z Max. posun ve směru X Max. posun ve směru Y Max. posun ve směru Z Max. posun vektorový Max. pootočení okolo X Max. pootočení okolo Y Max. pootočení okolo Z Způsob výpočtu Vnitřní síly vztažené na deformovaný systém pro... Redukce tuhosti vynásobením součinitelem Zohlednit příznivé působení tahových sil Zpětné dělení výsledků součinitelem KZ Počet přírůstků zatížení Počet iterací Vypočítat součinitel kritického zatížení	-0.000 0.000 34.698 34.698 118.626 118.626 -2.5 9.8 4.8 9.9 0.0036 -0.0034 -0.0036 II. řád <input checked="" type="checkbox"/> <input type="checkbox"/> <input checked="" type="checkbox"/> <input type="checkbox"/> 1 3 <input type="checkbox"/>	kN kN kN kN kN kN mm mm mm mm rad rad rad	Odchylka 0.00% Prut č. 11, x: 2.100 m Prut č. 14, x: 1.820 m Prut č. 32, x: 1.180 m Prut č. 14, x: 1.820 m Prut č. 1, x: 0.000 m Prut č. 32, x: 0.236 m Prut č. 33, x: 0.944 m Teorie II. řádu (nelineární výpočet podle Timoshenka) $N, V_y, V_z, M_y, M_z, M_T$
KZ53 - 1.35*ZS1 + 1.35*ZS2 + 1.35*ZS3 + 1.5*ZS5 + 0.9*ZS6 Součet zatížení ve směru X Součet reakcí v X Součet zatížení ve směru Y Součet reakcí v Y Součet zatížení ve směru Z Součet reakcí v Z Max. posun ve směru X Max. posun ve směru Y Max. posun ve směru Z Max. posun vektorový Max. pootočení okolo X Max. pootočení okolo Y Max. pootočení okolo Z Způsob výpočtu Vnitřní síly vztažené na deformovaný systém pro... Redukce tuhosti vynásobením součinitelem Zohlednit příznivé působení tahových sil Zpětné dělení výsledků součinitelem KZ Počet přírůstků zatížení Počet iterací Vypočítat součinitel kritického zatížení	34.698 34.698 -0.000 0.000 183.771 183.771 3.2 -1.1 5.0 5.8 -0.0025 -0.0035 0.0005 II. řád <input checked="" type="checkbox"/> <input type="checkbox"/> <input checked="" type="checkbox"/> <input type="checkbox"/> 1 3 <input type="checkbox"/>	kN kN kN kN kN kN mm mm mm mm rad rad rad	Odchylka -0.00% Odchylka 0.00% Prut č. 20, x: 2.143 m Prut č. 11, x: 1.820 m Prut č. 31, x: 1.180 m Prut č. 31, x: 1.180 m Prut č. 30, x: 0.393 m Prut č. 31, x: 0.236 m Prut č. 23, x: 2.124 m Teorie II. řádu (nelineární výpočet podle Timoshenka) $N, V_y, V_z, M_y, M_z, M_T$
KZ54 - 1.35*ZS1 + 1.35*ZS2 + 1.35*ZS3 + 1.5*ZS5 + 0.9*ZS7 Součet zatížení ve směru X Součet reakcí v X Součet zatížení ve směru Y Součet reakcí v Y Součet zatížení ve směru Z Součet reakcí v Z Max. posun ve směru X Max. posun ve směru Y	34.698 34.698 -0.000 -0.000 182.804 182.804 3.1 -1.1	kN kN kN kN kN kN mm mm	Odchylka -0.00% Odchylka 0.00% Prut č. 20, x: 2.143 m Prut č. 11, x: 1.820 m



Projekt: 2024

Model: POZARNÍ VEZ

Datum: 10.05.2024

NAVRH KROVU 2024

DYSINA - SUSENÍ HADIC

■ 4.0 VÝSLEDKY - SOUHRN

Označení	Hodnota	Jednotky	Komentář
Součet reakcí v Y Součet zatížení ve směru Z Součet reakcí v Z Max. posun ve směru X Max. posun ve směru Y Max. posun ve směru Z Max. posun vektorový Max. pootočení okolo X Max. pootočení okolo Y Max. pootočení okolo Z Způsob výpočtu Vnitřní síly vztažené na deformovaný systém pro... Redukce tuhosti vynásobením součinitelem Zohlednit příznivé působení tahových sil Zpětné dělení výsledků součinitelem KZ Počet přírůstků zatížení Počet iterací Vypočítat součinitel kritického zatížení	-0.000 116.077 116.077 2.9 -0.5 0.7 3.0 -0.0003 -0.0007 0.0005 II. řád <input checked="" type="checkbox"/> <input type="checkbox"/> <input checked="" type="checkbox"/> <input type="checkbox"/> 1 2 <input type="checkbox"/>	kN kN kN mm mm mm mm rad rad rad II. řád	Odchylka 0.00% Prut č. 29, x: 0.472 m Prut č. 35, x: 1.180 m Prut č. 31, x: 1.573 m Prut č. 32, x: 1.573 m Prut č. 30, x: 0.393 m Prut č. 4, x: 0.000 m Prut č. 23, x: 2.124 m Teorie II. řádu (nelineární výpočet podle Timoshenka) N, V _y , V _z , M _y , M _z , M _T
KZ59 - 1.35*ZS1 + 1.35*ZS3 + 1.5*ZS5 + 0.9*ZS8 Součet zatížení ve směru X Součet reakcí v X Součet zatížení ve směru Y Součet reakcí v Y Součet zatížení ve směru Z Součet reakcí v Z Max. posun ve směru X Max. posun ve směru Y Max. posun ve směru Z Max. posun vektorový Max. pootočení okolo X Max. pootočení okolo Y Max. pootočení okolo Z Způsob výpočtu Vnitřní síly vztažené na deformovaný systém pro... Redukce tuhosti vynásobením součinitelem Zohlednit příznivé působení tahových sil Zpětné dělení výsledků součinitelem KZ Počet přírůstků zatížení Počet iterací Vypočítat součinitel kritického zatížení	-0.000 0.000 34.698 34.698 117.044 117.044 -2.2 9.2 0.8 9.4 0.0036 0.0006 -0.0036 II. řád <input checked="" type="checkbox"/> <input type="checkbox"/> <input checked="" type="checkbox"/> <input type="checkbox"/> 1 3 <input type="checkbox"/>	kN kN kN kN kN kN mm mm mm mm rad rad rad II. řád	Odchylka 0.00% Odchylka -0.00% Prut č. 11, x: 2.143 m Prut č. 14, x: 1.820 m Prut č. 32, x: 1.180 m Prut č. 8, x: 0.000 m Prut č. 2, x: 0.000 m Prut č. 1, x: 0.000 m Prut č. 33, x: 0.944 m Teorie II. řádu (nelineární výpočet podle Timoshenka) N, V _y , V _z , M _y , M _z , M _T
KZ60 - 1.35*ZS1 + 1.35*ZS3 + 1.5*ZS5 + 0.9*ZS9 Součet zatížení ve směru X Součet reakcí v X Součet zatížení ve směru Y Součet reakcí v Y Součet zatížení ve směru Z Součet reakcí v Z Max. posun ve směru X Max. posun ve směru Y Max. posun ve směru Z Max. posun vektorový Max. pootočení okolo X Max. pootočení okolo Y Max. pootočení okolo Z Způsob výpočtu Vnitřní síly vztažené na deformovaný systém pro... Redukce tuhosti vynásobením součinitelem Zohlednit příznivé působení tahových sil Zpětné dělení výsledků součinitelem KZ Počet přírůstků zatížení Počet iterací Vypočítat součinitel kritického zatížení	-0.000 0.000 34.698 34.698 116.077 116.077 -2.2 9.2 0.8 9.4 0.0036 0.0006 -0.0036 II. řád <input checked="" type="checkbox"/> <input type="checkbox"/> <input checked="" type="checkbox"/> <input type="checkbox"/> 1 3 <input type="checkbox"/>	kN kN kN kN kN kN mm mm mm mm rad rad rad II. řád	Odchylka 0.00% Odchylka -0.00% Prut č. 11, x: 2.143 m Prut č. 14, x: 1.820 m Prut č. 32, x: 1.180 m Prut č. 8, x: 0.000 m Prut č. 2, x: 0.000 m Prut č. 1, x: 0.000 m Prut č. 33, x: 0.944 m Teorie II. řádu (nelineární výpočet podle Timoshenka) N, V _y , V _z , M _y , M _z , M _T
KZ61 - 1.35*ZS1 + 1.5*ZS5 + 0.9*ZS6 Součet zatížení ve směru X Součet reakcí v X Součet zatížení ve směru Y Součet reakcí v Y Součet zatížení ve směru Z Součet reakcí v Z Max. posun ve směru X Max. posun ve směru Y Max. posun ve směru Z Max. posun vektorový Max. pootočení okolo X Max. pootočení okolo Y Max. pootočení okolo Z Způsob výpočtu Vnitřní síly vztažené na deformovaný systém pro... Redukce tuhosti vynásobením součinitelem Zohlednit příznivé působení tahových sil Zpětné dělení výsledků součinitelem KZ Počet přírůstků zatížení Počet iterací Vypočítat součinitel kritického zatížení	34.698 34.698 -0.000 0.000 52.865 52.865 2.9 -0.5 0.5 2.9 -0.0003 -0.0006 0.0005 II. řád <input checked="" type="checkbox"/> <input type="checkbox"/> <input checked="" type="checkbox"/> <input type="checkbox"/> 1 2 <input type="checkbox"/>	kN kN kN kN kN kN mm mm mm mm rad rad rad II. řád	Odchylka -0.00% Odchylka 0.00% Prut č. 28, x: 0.236 m Prut č. 35, x: 1.180 m Prut č. 31, x: 1.652 m Prut č. 32, x: 1.652 m Prut č. 30, x: 0.393 m Prut č. 4, x: 0.000 m Prut č. 23, x: 2.124 m Teorie II. řádu (nelineární výpočet podle Timoshenka) N, V _y , V _z , M _y , M _z , M _T
KZ62 - 1.35*ZS1 + 1.5*ZS5 + 0.9*ZS7			



Projekt: 2024
NAVRH KROVU 2024

Model: POZARNÍ VEZ
DYSINA - SUSENÍ HADIC

Datum: 10.05.2024

4.0 VÝSLEDKY - SOUHRN

Označení	Hodnota	Jednotky	Komentář
Vypočítat součinitel kritického zatížení	<input type="checkbox"/>		
KZ70 - 1.35*ZS1 + 1.35*ZS2 + 1.5*ZS7			
Součet zatížení ve směru X	57.829	kN	Odchylka -0.00%
Součet reakcí v X	57.829	kN	
Součet zatížení ve směru Y	-0.000	kN	Odchylka 0.00%
Součet reakcí v Y	-0.000	kN	
Součet zatížení ve směru Z	110.234	kN	Odchylka 0.00%
Součet reakcí v Z	110.234	kN	
Max. posun ve směru X	4.9	mm	Prut č. 17, x: 2.400 m
Max. posun ve směru Y	-1.1	mm	Prut č. 20, x: 1.820 m
Max. posun ve směru Z	4.4	mm	Prut č. 31, x: 1.180 m
Max. posun vektorový	6.5	mm	Prut č. 32, x: 1.180 m
Max. pootočení okolo X	-0.0022	rad	Prut č. 30, x: 0.393 m
Max. pootočení okolo Y	-0.0032	rad	Prut č. 32, x: 0.236 m
Max. pootočení okolo Z	0.0008	rad	Prut č. 23, x: 2.124 m
Způsob výpočtu	II. řád		Teorie II. řádu (nelineární výpočet podle Timoshenka)
Vnitřní síly vztažené na deformovaný systém pro...	<input checked="" type="checkbox"/>		N, V _y , V _z , M _y , M _z , M _T
Redukce tuhosti vynásobením součinitelem	<input type="checkbox"/>		
Zohlednit příznivé působení tahových sil	<input checked="" type="checkbox"/>		
Zpětné dělení výsledků součinitelem KZ	<input type="checkbox"/>		
Počet přírůstků zatížení	1		
Počet iterací	2		
Vypočítat součinitel kritického zatížení	<input type="checkbox"/>		
KZ71 - 1.35*ZS1 + 1.35*ZS2 + 1.5*ZS8			
Součet zatížení ve směru X	0.000	kN	Odchylka 0.00%
Součet reakcí v X	0.000	kN	
Součet zatížení ve směru Y	57.829	kN	Odchylka 0.00%
Součet reakcí v Y	57.829	kN	
Součet zatížení ve směru Z	111.845	kN	Odchylka 0.00%
Součet reakcí v Z	111.845	kN	
Max. posun ve směru X	-4.0	mm	Prut č. 11, x: 2.100 m
Max. posun ve směru Y	15.9	mm	Prut č. 14, x: 1.820 m
Max. posun ve směru Z	4.6	mm	Prut č. 32, x: 1.180 m
Max. posun vektorový	16.1	mm	Prut č. 14, x: 1.820 m
Max. pootočení okolo X	0.0060	rad	Prut č. 1, x: 0.000 m
Max. pootočení okolo Y	-0.0033	rad	Prut č. 32, x: 0.236 m
Max. pootočení okolo Z	-0.0060	rad	Prut č. 33, x: 0.944 m
Způsob výpočtu	II. řád		Teorie II. řádu (nelineární výpočet podle Timoshenka)
Vnitřní síly vztažené na deformovaný systém pro...	<input checked="" type="checkbox"/>		N, V _y , V _z , M _y , M _z , M _T
Redukce tuhosti vynásobením součinitelem	<input type="checkbox"/>		
Zohlednit příznivé působení tahových sil	<input checked="" type="checkbox"/>		
Zpětné dělení výsledků součinitelem KZ	<input type="checkbox"/>		
Počet přírůstků zatížení	1		
Počet iterací	3		
Vypočítat součinitel kritického zatížení	<input type="checkbox"/>		
KZ72 - 1.35*ZS1 + 1.35*ZS2 + 1.5*ZS9			
Součet zatížení ve směru X	-0.000	kN	Odchylka 0.00%
Součet reakcí v X	-0.000	kN	
Součet zatížení ve směru Y	57.829	kN	Odchylka 0.00%
Součet reakcí v Y	57.829	kN	
Součet zatížení ve směru Z	110.234	kN	Odchylka 0.00%
Součet reakcí v Z	110.234	kN	
Max. posun ve směru X	-4.0	mm	Prut č. 11, x: 2.100 m
Max. posun ve směru Y	15.9	mm	Prut č. 14, x: 1.820 m
Max. posun ve směru Z	4.5	mm	Prut č. 32, x: 1.180 m
Max. posun vektorový	16.1	mm	Prut č. 14, x: 1.820 m
Max. pootočení okolo X	0.0060	rad	Prut č. 1, x: 0.000 m
Max. pootočení okolo Y	-0.0032	rad	Prut č. 32, x: 0.236 m
Max. pootočení okolo Z	-0.0060	rad	Prut č. 33, x: 0.944 m
Způsob výpočtu	II. řád		Teorie II. řádu (nelineární výpočet podle Timoshenka)
Vnitřní síly vztažené na deformovaný systém pro...	<input checked="" type="checkbox"/>		N, V _y , V _z , M _y , M _z , M _T
Redukce tuhosti vynásobením součinitelem	<input type="checkbox"/>		
Zohlednit příznivé působení tahových sil	<input checked="" type="checkbox"/>		
Zpětné dělení výsledků součinitelem KZ	<input type="checkbox"/>		
Počet přírůstků zatížení	1		
Počet iterací	3		
Vypočítat součinitel kritického zatížení	<input type="checkbox"/>		
KZ73 - 1.35*ZS1 + 1.35*ZS2 + 1.35*ZS3 + 1.5*ZS6			
Součet zatížení ve směru X	57.829	kN	Odchylka -0.00%
Součet reakcí v X	57.829	kN	
Součet zatížení ve směru Y	0.000	kN	Odchylka 0.00%
Součet reakcí v Y	-0.000	kN	
Součet zatížení ve směru Z	176.024	kN	Odchylka 0.00%
Součet reakcí v Z	176.024	kN	
Max. posun ve směru X	4.9	mm	Prut č. 17, x: 2.400 m
Max. posun ve směru Y	-1.2	mm	Prut č. 20, x: 1.820 m
Max. posun ve směru Z	4.7	mm	Prut č. 31, x: 1.180 m
Max. posun vektorový	6.7	mm	Prut č. 32, x: 1.180 m
Max. pootočení okolo X	-0.0024	rad	Prut č. 30, x: 0.393 m
Max. pootočení okolo Y	-0.0034	rad	Prut č. 32, x: 0.236 m
Max. pootočení okolo Z	0.0008	rad	Prut č. 23, x: 2.124 m
Způsob výpočtu	II. řád		Teorie II. řádu (nelineární výpočet podle Timoshenka)
Vnitřní síly vztažené na deformovaný systém pro...	<input checked="" type="checkbox"/>		N, V _y , V _z , M _y , M _z , M _T
Redukce tuhosti vynásobením součinitelem	<input type="checkbox"/>		
Zohlednit příznivé působení tahových sil	<input checked="" type="checkbox"/>		
Zpětné dělení výsledků součinitelem KZ	<input type="checkbox"/>		



Projekt: 2024

Model: POZARNÍ VEZ

Datum: 10.05.2024

NAVRH KROVU 2024

DYSINA - SUSENÍ HADIC

4.0 VÝSLEDKY - SOUHRN

	Označení	Hodnota	Jednotky	Komentář
	pro... Redukce tuhosti vynásobením součinitelem Zohlednit příznivé působení tahových sil Zpětné dělení výsledků součinitelem KZ Počet přírůstků zatížení Počet iterací Vypočítat součinitel kritického zatížení	<div><input type="checkbox"/> <input checked="" type="checkbox"/> <input type="checkbox"/> 1 2 <input type="checkbox"/></div>		
	KZ78 - 1.35*ZS1 + 1.35*ZS3 + 1.5*ZS7 Součet zatížení ve směru X Součet reakcí v X Součet zatížení ve směru Y Součet reakcí v Y Součet zatížení ve směru Z Součet reakcí v Z Max. posun ve směru X Max. posun ve směru Y Max. posun ve směru Z Max. posun vektorový Max. pootočení okolo X Max. pootočení okolo Y Max. pootočení okolo Z Způsob výpočtu Vnitřní síly vztažené na deformovaný systém pro... Redukce tuhosti vynásobením součinitelem Zohlednit příznivé působení tahových sil Zpětné dělení výsledků součinitelem KZ Počet přírůstků zatížení Počet iterací Vypočítat součinitel kritického zatížení	<div>57.829 57.829 -0.000 -0.000 107.685 107.685 4.8 -0.8 0.6 4.8 -0.0003 -0.0010 0.0008 II. řád <input checked="" type="checkbox"/> <input type="checkbox"/> <input checked="" type="checkbox"/> <input type="checkbox"/> 1 2 <input type="checkbox"/></div>	<div>kN kN kN kN kN kN mm mm mm mm rad rad rad rad</div>	<div>Odchylka -0.00% Odchylka -0.00% Prut č. 28, x: 0.197 m Prut č. 35, x: 1.180 m Prut č. 29, x: 0.315 m Prut č. 29, x: 0.629 m Prut č. 4, x: 0.000 m Prut č. 4, x: 0.000 m Prut č. 23, x: 2.124 m Teorie II. řádu (nelineární výpočet podle Timoshenka) N, V_y, V_z, M_y, M_z, M_T</div>
	KZ79 - 1.35*ZS1 + 1.35*ZS3 + 1.5*ZS8 Součet zatížení ve směru X Součet reakcí v X Součet zatížení ve směru Y Součet reakcí v Y Součet zatížení ve směru Z Součet reakcí v Z Max. posun ve směru X Max. posun ve směru Y Max. posun ve směru Z Max. posun vektorový Max. pootočení okolo X Max. pootočení okolo Y Max. pootočení okolo Z Způsob výpočtu Vnitřní síly vztažené na deformovaný systém pro... Redukce tuhosti vynásobením součinitelem Zohlednit příznivé působení tahových sil Zpětné dělení výsledků součinitelem KZ Počet přírůstků zatížení Počet iterací Vypočítat součinitel kritického zatížení	<div>0.000 0.000 57.829 57.829 109.297 109.297 -3.7 15.4 0.7 15.7 0.0060 0.0011 -0.0060 II. řád <input checked="" type="checkbox"/> <input type="checkbox"/> <input checked="" type="checkbox"/> <input type="checkbox"/> 1 3 <input type="checkbox"/></div>	<div>kN kN kN kN kN kN mm mm mm mm rad rad rad rad</div>	<div>Odchylka 0.00% Odchylka -0.00% Prut č. 11, x: 2.400 m Prut č. 14, x: 2.100 m Prut č. 6, x: 1.652 m Prut č. 51, x: 0.000 m Prut č. 2, x: 0.000 m Prut č. 1, x: 0.000 m Prut č. 33, x: 0.944 m Teorie II. řádu (nelineární výpočet podle Timoshenka) N, V_y, V_z, M_y, M_z, M_T</div>
	KZ80 - 1.35*ZS1 + 1.35*ZS3 + 1.5*ZS9 Součet zatížení ve směru X Součet reakcí v X Součet zatížení ve směru Y Součet reakcí v Y Součet zatížení ve směru Z Součet reakcí v Z Max. posun ve směru X Max. posun ve směru Y Max. posun ve směru Z Max. posun vektorový Max. pootočení okolo X Max. pootočení okolo Y Max. pootočení okolo Z Způsob výpočtu Vnitřní síly vztažené na deformovaný systém pro... Redukce tuhosti vynásobením součinitelem Zohlednit příznivé působení tahových sil Zpětné dělení výsledků součinitelem KZ Počet přírůstků zatížení Počet iterací Vypočítat součinitel kritického zatížení	<div>-0.000 -0.000 57.829 57.829 107.685 107.685 -3.7 15.3 0.7 15.7 0.0060 0.0011 -0.0060 II. řád <input checked="" type="checkbox"/> <input type="checkbox"/> <input checked="" type="checkbox"/> <input type="checkbox"/> 1 3 <input type="checkbox"/></div>	<div>kN kN kN kN kN kN mm mm mm mm rad rad rad rad</div>	<div>Odchylka 0.00% Odchylka 0.00% Prut č. 11, x: 2.400 m Prut č. 14, x: 2.100 m Prut č. 6, x: 1.652 m Prut č. 51, x: 0.000 m Prut č. 2, x: 0.000 m Prut č. 1, x: 0.000 m Prut č. 33, x: 0.944 m Teorie II. řádu (nelineární výpočet podle Timoshenka) N, V_y, V_z, M_y, M_z, M_T</div>
	KZ81 - 1.35*ZS1 + 1.35*ZS2 + 0.75*ZS5 + 1.5*ZS6 Součet zatížení ve směru X Součet reakcí v X Součet zatížení ve směru Y Součet reakcí v Y Součet zatížení ve směru Z Součet reakcí v Z Max. posun ve směru X Max. posun ve směru Y Max. posun ve směru Z Max. posun vektorový Max. pootočení okolo X Max. pootočení okolo Y Max. pootočení okolo Z	<div>57.829 57.829 0.000 0.000 115.187 115.187 4.9 -1.2 4.6 6.7 -0.0023 -0.0034 0.0008</div>	<div>kN kN kN kN kN kN mm mm mm mm rad rad rad</div>	<div>Odchylka -0.00% Odchylka 0.00% Prut č. 17, x: 2.400 m Prut č. 20, x: 1.820 m Prut č. 31, x: 1.180 m Prut č. 32, x: 1.180 m Prut č. 30, x: 0.393 m Prut č. 32, x: 0.236 m Prut č. 23, x: 2.124 m</div>



VÝSLEDKY

Projekt: 2024
NAVRH KROVU 2024

Model: POZARNÍ VEZ
DYSINA - SUSENÍ HADIC

Datum: 10.05.2024

4.0 VÝSLEDKY - SOUHRN

Označení	Hodnota	Jednotky	Komentář
Způsob výpočtu Vnitřní síly vztažené na deformovaný systém pro... Redukce tuhosti vynásobením součinitelem Zohlednit příznivé působení tahových sil Zpětné dělení výsledků součinitelem KZ Počet přírůstků zatížení Počet iterací Vypočítat součinitel kritického zatížení	II. řád <input checked="" type="checkbox"/> <input type="checkbox"/> <input checked="" type="checkbox"/> <input type="checkbox"/> 1 3 <input type="checkbox"/>		Teorie II. řádu (nelineární výpočet podle Timoshenka) $N, V_y, V_z, M_y, M_z, M_T$
KZ82 - 1.35*ZS1 + 1.35*ZS2 + 0.75*ZS5 + 1.5*ZS7 Součet zatížení ve směru X Součet reakcí v X Součet zatížení ve směru Y Součet reakcí v Y Součet zatížení ve směru Z Součet reakcí v Z Max. posun ve směru X Max. posun ve směru Y Max. posun ve směru Z Max. posun vektorový Max. pootočení okolo X Max. pootočení okolo Y Max. pootočení okolo Z Způsob výpočtu Vnitřní síly vztažené na deformovaný systém pro... Redukce tuhosti vynásobením součinitelem Zohlednit příznivé působení tahových sil Zpětné dělení výsledků součinitelem KZ Počet přírůstků zatížení Počet iterací Vypočítat součinitel kritického zatížení	57.829 57.829 -0.000 -0.000 113.575 113.575 4.9 -1.1 4.5 6.6 -0.0023 -0.0033 0.0008 II. řád <input checked="" type="checkbox"/> <input type="checkbox"/> <input checked="" type="checkbox"/> <input type="checkbox"/> 1 3 <input type="checkbox"/>	kN kN kN kN kN kN mm mm mm mm rad rad rad	Odchylka -0.00% Odchylka 0.00% Prut č. 17, x: 2.400 m Prut č. 20, x: 1.820 m Prut č. 31, x: 1.180 m Prut č. 32, x: 1.180 m Prut č. 30, x: 0.393 m Prut č. 32, x: 0.236 m Prut č. 23, x: 2.124 m Teorie II. řádu (nelineární výpočet podle Timoshenka) $N, V_y, V_z, M_y, M_z, M_T$
KZ83 - 1.35*ZS1 + 1.35*ZS2 + 0.75*ZS5 + 1.5*ZS8 Součet zatížení ve směru X Součet reakcí v X Součet zatížení ve směru Y Součet reakcí v Y Součet zatížení ve směru Z Součet reakcí v Z Max. posun ve směru X Max. posun ve směru Y Max. posun ve směru Z Max. posun vektorový Max. pootočení okolo X Max. pootočení okolo Y Max. pootočení okolo Z Způsob výpočtu Vnitřní síly vztažené na deformovaný systém pro... Redukce tuhosti vynásobením součinitelem Zohlednit příznivé působení tahových sil Zpětné dělení výsledků součinitelem KZ Počet přírůstků zatížení Počet iterací Vypočítat součinitel kritického zatížení	0.000 0.000 57.829 57.829 115.187 115.187 -4.0 16.0 4.8 16.1 0.0060 -0.0034 -0.0060 II. řád <input checked="" type="checkbox"/> <input type="checkbox"/> <input checked="" type="checkbox"/> <input type="checkbox"/> 1 3 <input type="checkbox"/>	kN kN kN kN kN kN mm mm mm mm rad rad rad	Odchylka 0.00% Odchylka -0.00% Prut č. 11, x: 2.100 m Prut č. 14, x: 1.820 m Prut č. 32, x: 1.180 m Prut č. 14, x: 1.820 m Prut č. 1, x: 0.000 m Prut č. 32, x: 0.236 m Prut č. 33, x: 0.944 m Teorie II. řádu (nelineární výpočet podle Timoshenka) $N, V_y, V_z, M_y, M_z, M_T$
KZ84 - 1.35*ZS1 + 1.35*ZS2 + 0.75*ZS5 + 1.5*ZS9 Součet zatížení ve směru X Součet reakcí v X Součet zatížení ve směru Y Součet reakcí v Y Součet zatížení ve směru Z Součet reakcí v Z Max. posun ve směru X Max. posun ve směru Y Max. posun ve směru Z Max. posun vektorový Max. pootočení okolo X Max. pootočení okolo Y Max. pootočení okolo Z Způsob výpočtu Vnitřní síly vztažené na deformovaný systém pro... Redukce tuhosti vynásobením součinitelem Zohlednit příznivé působení tahových sil Zpětné dělení výsledků součinitelem KZ Počet přírůstků zatížení Počet iterací Vypočítat součinitel kritického zatížení	-0.000 0.000 57.829 57.829 113.575 113.575 -4.0 15.9 4.7 16.1 0.0060 -0.0033 -0.0060 II. řád <input checked="" type="checkbox"/> <input type="checkbox"/> <input checked="" type="checkbox"/> <input type="checkbox"/> 1 3 <input type="checkbox"/>	kN kN kN kN kN kN mm mm mm mm rad rad rad	Odchylka 0.00% Odchylka 0.00% Prut č. 11, x: 2.100 m Prut č. 14, x: 1.820 m Prut č. 32, x: 1.180 m Prut č. 14, x: 1.820 m Prut č. 1, x: 0.000 m Prut č. 32, x: 0.236 m Prut č. 33, x: 0.944 m Teorie II. řádu (nelineární výpočet podle Timoshenka) $N, V_y, V_z, M_y, M_z, M_T$
KZ85 - 1.35*ZS1 + 1.35*ZS2 + 1.35*ZS3 + 0.75*ZS5 + 1.5*ZS6 Součet zatížení ve směru X Součet reakcí v X Součet zatížení ve směru Y Součet reakcí v Y Součet zatížení ve směru Z Součet reakcí v Z Max. posun ve směru X Max. posun ve směru Y	57.829 57.829 0.000 0.000 179.366 179.366 4.9 -1.2	kN kN kN kN kN kN mm mm	Odchylka -0.00% Odchylka 0.00% Prut č. 17, x: 2.400 m Prut č. 20, x: 1.820 m



Projekt: 2024

Model: POZARNÍ VEZ

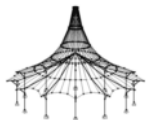
Datum: 10.05.2024

NAVRH KROVU 2024

DYSINA - SUSENÍ HADIC

4.0 VÝSLEDKY - SOUHRN

Označení	Hodnota	Jednotky	Komentář
Max. posun ve směru Z Max. posun vektorový Max. pootočení okolo X Max. pootočení okolo Y Max. pootočení okolo Z Způsob výpočtu Vnitřní síly vztažené na deformovaný systém pro... Redukce tuhosti vynásobením součinitelem Zohlednit příznivé působení tahových sil Zpětné dělení výsledků součinitelem KZ Počet přírůstků zatížení Počet iterací Vypočítat součinitel kritického zatížení	4.9 6.8 -0.0024 -0.0035 0.0008 II. řád <input checked="" type="checkbox"/> <input type="checkbox"/> <input checked="" type="checkbox"/> <input type="checkbox"/> 1 3 <input type="checkbox"/>	mm mm rad rad rad II. řád	Prut č. 31, x: 1.180 m Prut č. 32, x: 1.180 m Prut č. 30, x: 0.393 m Prut č. 32, x: 0.236 m Prut č. 23, x: 2.124 m Teorie II. řádu (nelineární výpočet podle Timoshenka) N, V _y , V _z , M _y , M _z , M _T
KZ86 - 1.35*ZS1 + 1.35*ZS2 + 1.35*ZS3 + 0.75*ZS5 + 1.5*ZS7 Součet zatížení ve směru X Součet reakcí v X Součet zatížení ve směru Y Součet reakcí v Y Součet zatížení ve směru Z Součet reakcí v Z Max. posun ve směru X Max. posun ve směru Y Max. posun ve směru Z Max. posun vektorový Max. pootočení okolo X Max. pootočení okolo Y Max. pootočení okolo Z Způsob výpočtu Vnitřní síly vztažené na deformovaný systém pro... Redukce tuhosti vynásobením součinitelem Zohlednit příznivé působení tahových sil Zpětné dělení výsledků součinitelem KZ Počet přírůstků zatížení Počet iterací Vypočítat součinitel kritického zatížení	57.829 57.829 -0.000 -0.000 177.754 177.754 4.9 -1.2 4.8 6.8 -0.0024 -0.0034 0.0008 II. řád <input checked="" type="checkbox"/> <input type="checkbox"/> <input checked="" type="checkbox"/> <input type="checkbox"/> 1 3 <input type="checkbox"/>	kN kN kN kN kN kN mm mm mm mm rad rad rad II. řád	Odchylka -0.00% Odchylka 0.00% Prut č. 17, x: 2.400 m Prut č. 20, x: 1.820 m Prut č. 31, x: 1.180 m Prut č. 32, x: 1.180 m Prut č. 30, x: 0.393 m Prut č. 32, x: 0.236 m Prut č. 23, x: 2.124 m Teorie II. řádu (nelineární výpočet podle Timoshenka) N, V _y , V _z , M _y , M _z , M _T
KZ87 - 1.35*ZS1 + 1.35*ZS2 + 1.35*ZS3 + 0.75*ZS5 + 1.5*ZS8 Součet zatížení ve směru X Součet reakcí v X Součet zatížení ve směru Y Součet reakcí v Y Součet zatížení ve směru Z Součet reakcí v Z Max. posun ve směru X Max. posun ve směru Y Max. posun ve směru Z Max. posun vektorový Max. pootočení okolo X Max. pootočení okolo Y Max. pootočení okolo Z Způsob výpočtu Vnitřní síly vztažené na deformovaný systém pro... Redukce tuhosti vynásobením součinitelem Zohlednit příznivé působení tahových sil Zpětné dělení výsledků součinitelem KZ Počet přírůstků zatížení Počet iterací Vypočítat součinitel kritického zatížení	0.000 0.000 57.829 57.829 179.366 179.366 -4.0 16.0 5.0 16.1 0.0060 -0.0035 -0.0060 II. řád <input checked="" type="checkbox"/> <input type="checkbox"/> <input checked="" type="checkbox"/> <input type="checkbox"/> 1 3 <input type="checkbox"/>	kN kN kN kN kN kN mm mm mm mm rad rad rad II. řád	Odchylka 0.00% Odchylka 0.00% Prut č. 11, x: 2.100 m Prut č. 14, x: 1.820 m Prut č. 32, x: 1.180 m Prut č. 14, x: 1.820 m Prut č. 1, x: 0.000 m Prut č. 32, x: 0.236 m Prut č. 33, x: 0.944 m Teorie II. řádu (nelineární výpočet podle Timoshenka) N, V _y , V _z , M _y , M _z , M _T
KZ88 - 1.35*ZS1 + 1.35*ZS2 + 1.35*ZS3 + 0.75*ZS5 + 1.5*ZS9 Součet zatížení ve směru X Součet reakcí v X Součet zatížení ve směru Y Součet reakcí v Y Součet zatížení ve směru Z Součet reakcí v Z Max. posun ve směru X Max. posun ve směru Y Max. posun ve směru Z Max. posun vektorový Max. pootočení okolo X Max. pootočení okolo Y Max. pootočení okolo Z Způsob výpočtu Vnitřní síly vztažené na deformovaný systém pro... Redukce tuhosti vynásobením součinitelem Zohlednit příznivé působení tahových sil Zpětné dělení výsledků součinitelem KZ Počet přírůstků zatížení Počet iterací Vypočítat součinitel kritického zatížení	-0.000 0.000 57.829 57.829 177.754 177.754 -4.0 15.9 4.9 16.1 0.0060 -0.0034 -0.0060 II. řád <input checked="" type="checkbox"/> <input type="checkbox"/> <input checked="" type="checkbox"/> <input type="checkbox"/> 1 3 <input type="checkbox"/>	kN kN kN kN kN kN mm mm mm mm rad rad rad II. řád	Odchylka 0.00% Odchylka 0.00% Prut č. 11, x: 2.100 m Prut č. 14, x: 1.820 m Prut č. 32, x: 1.180 m Prut č. 14, x: 1.820 m Prut č. 1, x: 0.000 m Prut č. 32, x: 0.236 m Prut č. 33, x: 0.944 m Teorie II. řádu (nelineární výpočet podle Timoshenka) N, V _y , V _z , M _y , M _z , M _T
KZ89 - 1.35*ZS1 + 1.35*ZS3 + 0.75*ZS5 + 1.5*ZS6 Součet zatížení ve směru X Součet reakcí v X Součet zatížení ve směru Y	57.829 57.829 0.000	kN kN kN	Odchylka -0.00%



Projekt: 2024

Model: POZARNÍ VEZ

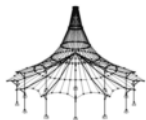
Datum: 10.05.2024

NAVRH KROVU 2024

DYSINA - SUSENÍ HADIC

■ 4.0 VÝSLEDKY - SOUHRN

Označení	Hodnota	Jednotky	Komentář
Vypočítat součinitel kritického zatížení	<input type="checkbox"/>		
KZ97 - ZS1			
Součet zatížení ve směru X	0.000	kN	
Součet reakcí v X	0.000	kN	
Součet zatížení ve směru Y	0.000	kN	
Součet reakcí v Y	0.000	kN	
Součet zatížení ve směru Z	35.390	kN	
Součet reakcí v Z	35.390	kN	
Max. posun ve směru X	0.0	mm	Odchylka 0.00%
Max. posun ve směru Y	-0.1	mm	Prut č. 20, x: 2.100 m
Max. posun ve směru Z	0.2	mm	Prut č. 11, x: 2.100 m
Max. posun vektorový	0.2	mm	Prut č. 31, x: 1.180 m
Max. pootočení okolo X	-0.0001	rad	Prut č. 31, x: 1.180 m
Max. pootočení okolo Y	-0.0001	rad	Prut č. 28, x: 0.393 m
Max. pootočení okolo Z	0.0000	rad	Prut č. 27, x: 0.787 m
Způsob výpočtu	II. řád		Prut č. 26, x: 1.180 m
Vnitřní síly vztažené na deformovaný systém pro...	<input checked="" type="checkbox"/>		Teorie II. řádu (nelineární výpočet podle Timoshenka)
Redukce tuhosti vynásobením součinitelem	<input type="checkbox"/>		N, V _y , V _z , M _y , M _z , M _T
Zohlednit příznivé působení tahových sil	<input checked="" type="checkbox"/>		
Zpětné dělení výsledků součinitelem KZ	<input type="checkbox"/>		
Počet přírůstků zatížení	1		
Počet iterací	2		
Vypočítat součinitel kritického zatížení	<input type="checkbox"/>		
KZ98 - ZS1 + ZS2			
Součet zatížení ve směru X	0.000	kN	
Součet reakcí v X	0.000	kN	
Součet zatížení ve směru Y	0.000	kN	
Součet reakcí v Y	0.000	kN	
Součet zatížení ve směru Z	84.818	kN	
Součet reakcí v Z	84.818	kN	
Max. posun ve směru X	-0.3	mm	Odchylka 0.00%
Max. posun ve směru Y	-0.6	mm	Prut č. 14, x: 1.800 m
Max. posun ve směru Z	3.3	mm	Prut č. 11, x: 1.800 m
Max. posun vektorový	3.3	mm	Prut č. 31, x: 1.180 m
Max. pootočení okolo X	-0.0016	rad	Prut č. 31, x: 1.180 m
Max. pootočení okolo Y	0.0023	rad	Prut č. 28, x: 0.393 m
Max. pootočení okolo Z	0.0001	rad	Prut č. 32, x: 2.124 m
Způsob výpočtu	II. řád		Prut č. 21, x: 1.180 m
Vnitřní síly vztažené na deformovaný systém pro...	<input checked="" type="checkbox"/>		Teorie II. řádu (nelineární výpočet podle Timoshenka)
Redukce tuhosti vynásobením součinitelem	<input type="checkbox"/>		N, V _y , V _z , M _y , M _z , M _T
Zohlednit příznivé působení tahových sil	<input checked="" type="checkbox"/>		
Zpětné dělení výsledků součinitelem KZ	<input type="checkbox"/>		
Počet přírůstků zatížení	1		
Počet iterací	2		
Vypočítat součinitel kritického zatížení	<input type="checkbox"/>		
KZ99 - ZS1 + ZS2 + ZS3			
Součet zatížení ve směru X	0.000	kN	
Součet reakcí v X	0.000	kN	
Součet zatížení ve směru Y	0.000	kN	
Součet reakcí v Y	0.000	kN	
Součet zatížení ve směru Z	132.358	kN	
Součet reakcí v Z	132.358	kN	
Max. posun ve směru X	-0.4	mm	Odchylka 0.00%
Max. posun ve směru Y	-0.6	mm	Prut č. 14, x: 1.820 m
Max. posun ve směru Z	3.5	mm	Prut č. 11, x: 1.820 m
Max. posun vektorový	3.5	mm	Prut č. 31, x: 1.180 m
Max. pootočení okolo X	-0.0017	rad	Prut č. 31, x: 1.180 m
Max. pootočení okolo Y	0.0024	rad	Prut č. 28, x: 0.393 m
Max. pootočení okolo Z	0.0001	rad	Prut č. 32, x: 2.124 m
Způsob výpočtu	II. řád		Prut č. 26, x: 1.180 m
Vnitřní síly vztažené na deformovaný systém pro...	<input checked="" type="checkbox"/>		Teorie II. řádu (nelineární výpočet podle Timoshenka)
Redukce tuhosti vynásobením součinitelem	<input type="checkbox"/>		N, V _y , V _z , M _y , M _z , M _T
Zohlednit příznivé působení tahových sil	<input checked="" type="checkbox"/>		
Zpětné dělení výsledků součinitelem KZ	<input type="checkbox"/>		
Počet přírůstků zatížení	1		
Počet iterací	2		
Vypočítat součinitel kritického zatížení	<input type="checkbox"/>		
KZ100 - ZS1 + ZS3			
Součet zatížení ve směru X	0.000	kN	
Součet reakcí v X	0.000	kN	
Součet zatížení ve směru Y	0.000	kN	
Součet reakcí v Y	0.000	kN	
Součet zatížení ve směru Z	82.930	kN	
Součet reakcí v Z	82.930	kN	
Max. posun ve směru X	0.1	mm	Odchylka 0.00%
Max. posun ve směru Y	-0.1	mm	Prut č. 4, x: 2.100 m
Max. posun ve směru Z	0.3	mm	Prut č. 11, x: 2.100 m
Max. posun vektorový	0.4	mm	Prut č. 31, x: 1.180 m
Max. pootočení okolo X	-0.0001	rad	Prut č. 31, x: 1.180 m
Max. pootočení okolo Y	0.0001	rad	Prut č. 28, x: 0.393 m
Max. pootočení okolo Z	0.0001	rad	Prut č. 32, x: 2.360 m
Způsob výpočtu	II. řád		Prut č. 26, x: 1.180 m
Vnitřní síly vztažené na deformovaný systém pro...	<input checked="" type="checkbox"/>		Teorie II. řádu (nelineární výpočet podle Timoshenka)
Redukce tuhosti vynásobením součinitelem	<input type="checkbox"/>		N, V _y , V _z , M _y , M _z , M _T
Zohlednit příznivé působení tahových sil	<input checked="" type="checkbox"/>		
Zpětné dělení výsledků součinitelem KZ	<input type="checkbox"/>		
Počet přírůstků zatížení	1		



Projekt: 2024

Model: POZARNÍ VEZ

Datum: 10.05.2024

NAVRH KROVU 2024

DYSINA - SUSENÍ HADIC

■ 4.0 VÝSLEDKY - SOUHRN

Označení	Hodnota	Jednotky	Komentář
Počet přírůstků zatížení	1		
Počet iterací	2		
Vypočítat součinitel kritického zatížení	<input type="checkbox"/>		
KZ105 - ZS1 + ZS2 + ZS4 + 0.5*ZS5			
Součet zatížení ve směru X	0.000	kN	
Součet reakcí v X	-0.000	kN	
Součet zatížení ve směru Y	0.000	kN	
Součet reakcí v Y	0.000	kN	
Součet zatížení ve směru Z	180.361	kN	
Součet reakcí v Z	180.360	kN	
Max. posun ve směru X	-0.4	mm	Odchylka 0.00%
Max. posun ve směru Y	-0.8	mm	Prut č. 14, x: 1.820 m
Max. posun ve směru Z	4.0	mm	Prut č. 11, x: 1.820 m
Max. posun vektorový	4.0	mm	Prut č. 31, x: 1.180 m
Max. pootočení okolo X	-0.0019	rad	Prut č. 31, x: 1.180 m
Max. pootočení okolo Y	0.0027	rad	Prut č. 28, x: 0.393 m
Max. pootočení okolo Z	0.0001	rad	Prut č. 32, x: 2.124 m
Způsob výpočtu	II. řád		Prut č. 23, x: 1.180 m
Vnitřní síly vztažené na deformovaný systém	<input checked="" type="checkbox"/>		Teorie II. řádu (nelineární výpočet podle Timoshenka)
pro...			N, V _y , V _z , M _y , M _z , M _T
Redukce tuhosti vynásobením součinitelem	<input type="checkbox"/>		
Zohlednit příznivé působení tahových sil	<input checked="" type="checkbox"/>		
Zpětné dělení výsledků součinitelem KZ	<input type="checkbox"/>		
Počet přírůstků zatížení	1		
Počet iterací	2		
Vypočítat součinitel kritického zatížení	<input type="checkbox"/>		
KZ106 - ZS1 + ZS2 + ZS3 + ZS4 + 0.5*ZS5			
Součet zatížení ve směru X	0.000	kN	
Součet reakcí v X	0.000	kN	
Součet zatížení ve směru Y	0.000	kN	
Součet reakcí v Y	-0.000	kN	
Součet zatížení ve směru Z	227.900	kN	
Součet reakcí v Z	227.900	kN	
Max. posun ve směru X	-0.5	mm	Odchylka 0.00%
Max. posun ve směru Y	-0.8	mm	Prut č. 14, x: 1.820 m
Max. posun ve směru Z	4.2	mm	Prut č. 11, x: 1.820 m
Max. posun vektorový	4.2	mm	Prut č. 31, x: 1.180 m
Max. pootočení okolo X	-0.0020	rad	Prut č. 31, x: 1.180 m
Max. pootočení okolo Y	0.0027	rad	Prut č. 28, x: 0.393 m
Max. pootočení okolo Z	0.0002	rad	Prut č. 32, x: 2.124 m
Způsob výpočtu	II. řád		Prut č. 23, x: 1.180 m
Vnitřní síly vztažené na deformovaný systém	<input checked="" type="checkbox"/>		Teorie II. řádu (nelineární výpočet podle Timoshenka)
pro...			N, V _y , V _z , M _y , M _z , M _T
Redukce tuhosti vynásobením součinitelem	<input type="checkbox"/>		
Zohlednit příznivé působení tahových sil	<input checked="" type="checkbox"/>		
Zpětné dělení výsledků součinitelem KZ	<input type="checkbox"/>		
Počet přírůstků zatížení	1		
Počet iterací	2		
Vypočítat součinitel kritického zatížení	<input type="checkbox"/>		
KZ107 - ZS1 + ZS3 + ZS4 + 0.5*ZS5			
Součet zatížení ve směru X	0.000	kN	
Součet reakcí v X	0.000	kN	
Součet zatížení ve směru Y	0.000	kN	
Součet reakcí v Y	0.000	kN	
Součet zatížení ve směru Z	178.473	kN	
Součet reakcí v Z	178.472	kN	
Max. posun ve směru X	0.2	mm	Odchylka 0.00%
Max. posun ve směru Y	-0.3	mm	Prut č. 4, x: 2.100 m
Max. posun ve směru Z	1.0	mm	Prut č. 11, x: 2.100 m
Max. posun vektorový	1.0	mm	Prut č. 31, x: 1.180 m
Max. pootočení okolo X	-0.0004	rad	Prut č. 31, x: 1.180 m
Max. pootočení okolo Y	0.0005	rad	Prut č. 28, x: 0.393 m
Max. pootočení okolo Z	0.0001	rad	Prut č. 32, x: 2.360 m
Způsob výpočtu	II. řád		Prut č. 23, x: 1.180 m
Vnitřní síly vztažené na deformovaný systém	<input checked="" type="checkbox"/>		Teorie II. řádu (nelineární výpočet podle Timoshenka)
pro...			N, V _y , V _z , M _y , M _z , M _T
Redukce tuhosti vynásobením součinitelem	<input type="checkbox"/>		
Zohlednit příznivé působení tahových sil	<input checked="" type="checkbox"/>		
Zpětné dělení výsledků součinitelem KZ	<input type="checkbox"/>		
Počet přírůstků zatížení	1		
Počet iterací	2		
Vypočítat součinitel kritického zatížení	<input type="checkbox"/>		
KZ108 - ZS1 + ZS2 + ZS4 + 0.5*ZS5 + 0.6*ZS6			
Součet zatížení ve směru X	23.132	kN	
Součet reakcí v X	23.132	kN	Odchylka 0.00%
Součet zatížení ve směru Y	0.000	kN	
Součet reakcí v Y	-0.000	kN	
Součet zatížení ve směru Z	179.297	kN	
Součet reakcí v Z	179.297	kN	
Max. posun ve směru X	2.2	mm	Odchylka -0.00%
Max. posun ve směru Y	-0.9	mm	Prut č. 20, x: 2.100 m
Max. posun ve směru Z	4.0	mm	Prut č. 11, x: 1.820 m
Max. posun vektorový	4.4	mm	Prut č. 31, x: 1.180 m
Max. pootočení okolo X	-0.0019	rad	Prut č. 31, x: 1.180 m
Max. pootočení okolo Y	-0.0027	rad	Prut č. 30, x: 0.393 m
Max. pootočení okolo Z	0.0004	rad	Prut č. 31, x: 0.236 m
Způsob výpočtu	II. řád		Prut č. 23, x: 2.124 m
Vnitřní síly vztažené na deformovaný systém	<input checked="" type="checkbox"/>		Teorie II. řádu (nelineární výpočet podle Timoshenka)
pro...			N, V _y , V _z , M _y , M _z , M _T
Redukce tuhosti vynásobením součinitelem	<input type="checkbox"/>		



Projekt: 2024
NAVRH KROVU 2024

Model: POZARNÍ VEZ
DYSINA - SUSENÍ HADIC

Datum: 10.05.2024

4.0 VÝSLEDKY - SOUHRN

Označení	Hodnota	Jednotky	Komentář
Max. pootočení okolo Z Způsob výpočtu Vnitřní síly vztažené na deformovaný systém pro... Redukce tuhosti vynásobením součinitelem Zohlednit příznivé působení tahových sil Zpětné dělení výsledků součinitelem KZ Počet přírůstků zatížení Počet iterací Vypočítat součinitel kritického zatížení	0.0004 II. řád <input checked="" type="checkbox"/> <input type="checkbox"/> <input checked="" type="checkbox"/> <input type="checkbox"/> 1 3 <input type="checkbox"/>	rad	Prut č. 23, x: 2.124 m Teorie II. řádu (nelineární výpočet podle Timoshenka) $N, V_y, V_z, M_y, M_z, M_T$
KZ113 - ZS1 + ZS2 + ZS3 + ZS4 + 0.5*ZS5 + 0.6*ZS7 Součet zatížení ve směru X Součet reakcí v X Součet zatížení ve směru Y Součet reakcí v Y Součet zatížení ve směru Z Součet reakcí v Z Max. posun ve směru X Max. posun ve směru Y Max. posun ve směru Z Max. posun vektorový Max. pootočení okolo X Max. pootočení okolo Y Max. pootočení okolo Z Způsob výpočtu Vnitřní síly vztažené na deformovaný systém pro... Redukce tuhosti vynásobením součinitelem Zohlednit příznivé působení tahových sil Zpětné dělení výsledků součinitelem KZ Počet přírůstků zatížení Počet iterací Vypočítat součinitel kritického zatížení	23.132 23.132 -0.000 -0.000 226.192 226.192 2.2 -1.0 4.1 4.6 -0.0020 -0.0028 0.0004 II. řád <input checked="" type="checkbox"/> <input type="checkbox"/> <input checked="" type="checkbox"/> <input type="checkbox"/> 1 3 <input type="checkbox"/>	kN kN kN kN kN kN mm mm mm mm rad rad rad II. řád	Odchylka 0.00% Odchylka 0.00% Prut č. 20, x: 2.100 m Prut č. 11, x: 1.820 m Prut č. 31, x: 1.180 m Prut č. 31, x: 1.180 m Prut č. 30, x: 0.393 m Prut č. 31, x: 0.236 m Prut č. 23, x: 2.124 m Teorie II. řádu (nelineární výpočet podle Timoshenka) $N, V_y, V_z, M_y, M_z, M_T$
KZ114 - ZS1 + ZS2 + ZS3 + ZS4 + 0.5*ZS5 + 0.6*ZS8 Součet zatížení ve směru X Součet reakcí v X Součet zatížení ve směru Y Součet reakcí v Y Součet zatížení ve směru Z Součet reakcí v Z Max. posun ve směru X Max. posun ve směru Y Max. posun ve směru Z Max. posun vektorový Max. pootočení okolo X Max. pootočení okolo Y Max. pootočení okolo Z Způsob výpočtu Vnitřní síly vztažené na deformovaný systém pro... Redukce tuhosti vynásobením součinitelem Zohlednit příznivé působení tahových sil Zpětné dělení výsledků součinitelem KZ Počet přírůstků zatížení Počet iterací Vypočítat součinitel kritického zatížení	-0.000 0.000 23.132 23.132 226.837 226.837 -1.7 6.5 4.2 6.5 0.0024 -0.0028 -0.0024 II. řád <input checked="" type="checkbox"/> <input type="checkbox"/> <input checked="" type="checkbox"/> <input type="checkbox"/> 1 3 <input type="checkbox"/>	kN kN kN kN kN kN mm mm mm mm rad rad rad II. řád	Odchylka -0.00% Odchylka 0.00% Prut č. 11, x: 2.100 m Prut č. 14, x: 1.820 m Prut č. 32, x: 1.180 m Prut č. 14, x: 1.820 m Prut č. 2, x: 0.000 m Prut č. 32, x: 0.236 m Prut č. 33, x: 0.944 m Teorie II. řádu (nelineární výpočet podle Timoshenka) $N, V_y, V_z, M_y, M_z, M_T$
KZ115 - ZS1 + ZS2 + ZS3 + ZS4 + 0.5*ZS5 + 0.6*ZS9 Součet zatížení ve směru X Součet reakcí v X Součet zatížení ve směru Y Součet reakcí v Y Součet zatížení ve směru Z Součet reakcí v Z Max. posun ve směru X Max. posun ve směru Y Max. posun ve směru Z Max. posun vektorový Max. pootočení okolo X Max. pootočení okolo Y Max. pootočení okolo Z Způsob výpočtu Vnitřní síly vztažené na deformovaný systém pro... Redukce tuhosti vynásobením součinitelem Zohlednit příznivé působení tahových sil Zpětné dělení výsledků součinitelem KZ Počet přírůstků zatížení Počet iterací Vypočítat součinitel kritického zatížení	-0.000 0.000 23.132 23.132 226.192 226.192 -1.7 6.5 4.2 6.5 0.0024 -0.0028 -0.0024 II. řád <input checked="" type="checkbox"/> <input type="checkbox"/> <input checked="" type="checkbox"/> <input type="checkbox"/> 1 3 <input type="checkbox"/>	kN kN kN kN kN kN mm mm mm mm rad rad rad II. řád	Odchylka 0.00% Odchylka 0.00% Prut č. 11, x: 2.100 m Prut č. 14, x: 1.820 m Prut č. 32, x: 1.180 m Prut č. 14, x: 1.820 m Prut č. 2, x: 0.000 m Prut č. 32, x: 0.236 m Prut č. 33, x: 0.944 m Teorie II. řádu (nelineární výpočet podle Timoshenka) $N, V_y, V_z, M_y, M_z, M_T$
KZ116 - ZS1 + ZS3 + ZS4 + 0.5*ZS5 + 0.6*ZS6 Součet zatížení ve směru X Součet reakcí v X Součet zatížení ve směru Y Součet reakcí v Y Součet zatížení ve směru Z Součet reakcí v Z Max. posun ve směru X	23.132 23.132 0.000 -0.000 177.409 177.409 2.0	kN kN kN kN kN kN mm	Odchylka -0.00% Odchylka 0.00% Prut č. 20, x: 2.400 m



Projekt: 2024

Model: POZARNÍ VEZ

Datum: 10.05.2024

NAVRH KROVU 2024

DYSINA - SUSENÍ HADIC

■ 4.0 VÝSLEDKY - SOUHRN

Označení	Hodnota	Jednotky	Komentář
Vypočítat součinitel kritického zatížení	<input type="checkbox"/>		
KZ140 - ZS1 + ZS4 + 0.6*ZS9			
Součet zatížení ve směru X	-0.000	kN	
Součet reakcí v X	0.000	kN	
Součet zatížení ve směru Y	23.132	kN	
Součet reakcí v Y	23.132	kN	
Součet zatížení ve směru Z	126.996	kN	Odchylka 0.00%
Součet reakcí v Z	126.996	kN	
Max. posun ve směru X	-1.5	mm	Odchylka 0.00%
Max. posun ve směru Y	6.1	mm	Prut č. 11, x: 2.143 m
Max. posun ve směru Z	0.7	mm	Prut č. 14, x: 1.820 m
Max. posun vektorový	6.2	mm	Prut č. 32, x: 1.180 m
Max. pootočení okolo X	0.0024	rad	Prut č. 51, x: 0.000 m
Max. pootočení okolo Y	0.0004	rad	Prut č. 2, x: 0.000 m
Max. pootočení okolo Z	-0.0024	rad	Prut č. 1, x: 0.000 m
Způsob výpočtu	II. řád		Prut č. 33, x: 0.944 m
Vnitřní síly vztažené na deformovaný systém pro...	<input checked="" type="checkbox"/>		Teorie II. řádu (nelineární výpočet podle Timoshenka)
Redukce tuhosti vynásobením součinitelem	<input type="checkbox"/>		N, V _y , V _z , M _y , M _z , M _T
Zohlednit příznivé působení tahových sil	<input checked="" type="checkbox"/>		
Zpětné dělení výsledků součinitelem KZ	<input type="checkbox"/>		
Počet přírůstků zatížení	1		
Počet iterací	3		
Vypočítat součinitel kritického zatížení	<input type="checkbox"/>		
KZ141 - ZS1 + ZS5			
Součet zatížení ve směru X	0.000	kN	
Součet reakcí v X	0.000	kN	
Součet zatížení ve směru Y	0.000	kN	
Součet reakcí v Y	0.000	kN	
Součet zatížení ve směru Z	39.846	kN	Odchylka 0.00%
Součet reakcí v Z	39.846	kN	
Max. posun ve směru X	0.1	mm	Prut č. 20, x: 1.800 m
Max. posun ve směru Y	-0.1	mm	Prut č. 11, x: 1.800 m
Max. posun ve směru Z	0.4	mm	Prut č. 31, x: 1.180 m
Max. posun vektorový	0.4	mm	Prut č. 31, x: 1.180 m
Max. pootočení okolo X	-0.0002	rad	Prut č. 28, x: 0.393 m
Max. pootočení okolo Y	-0.0002	rad	Prut č. 31, x: 0.236 m
Max. pootočení okolo Z	0.0000	rad	Prut č. 26, x: 1.180 m
Způsob výpočtu	II. řád		Teorie II. řádu (nelineární výpočet podle Timoshenka)
Vnitřní síly vztažené na deformovaný systém pro...	<input checked="" type="checkbox"/>		N, V _y , V _z , M _y , M _z , M _T
Redukce tuhosti vynásobením součinitelem	<input type="checkbox"/>		
Zohlednit příznivé působení tahových sil	<input checked="" type="checkbox"/>		
Zpětné dělení výsledků součinitelem KZ	<input type="checkbox"/>		
Počet přírůstků zatížení	1		
Počet iterací	2		
Vypočítat součinitel kritického zatížení	<input type="checkbox"/>		
KZ142 - ZS1 + ZS2 + ZS5			
Součet zatížení ve směru X	0.000	kN	
Součet reakcí v X	0.000	kN	
Součet zatížení ve směru Y	0.000	kN	
Součet reakcí v Y	0.000	kN	
Součet zatížení ve směru Z	89.274	kN	Odchylka -0.00%
Součet reakcí v Z	89.274	kN	
Max. posun ve směru X	-0.3	mm	Prut č. 14, x: 1.800 m
Max. posun ve směru Y	-0.6	mm	Prut č. 11, x: 1.800 m
Max. posun ve směru Z	3.5	mm	Prut č. 31, x: 1.180 m
Max. posun vektorový	3.5	mm	Prut č. 31, x: 1.180 m
Max. pootočení okolo X	-0.0017	rad	Prut č. 28, x: 0.393 m
Max. pootočení okolo Y	0.0025	rad	Prut č. 32, x: 2.124 m
Max. pootočení okolo Z	0.0001	rad	Prut č. 21, x: 1.180 m
Způsob výpočtu	II. řád		Teorie II. řádu (nelineární výpočet podle Timoshenka)
Vnitřní síly vztažené na deformovaný systém pro...	<input checked="" type="checkbox"/>		N, V _y , V _z , M _y , M _z , M _T
Redukce tuhosti vynásobením součinitelem	<input type="checkbox"/>		
Zohlednit příznivé působení tahových sil	<input checked="" type="checkbox"/>		
Zpětné dělení výsledků součinitelem KZ	<input type="checkbox"/>		
Počet přírůstků zatížení	1		
Počet iterací	2		
Vypočítat součinitel kritického zatížení	<input type="checkbox"/>		
KZ143 - ZS1 + ZS2 + ZS3 + ZS5			
Součet zatížení ve směru X	0.000	kN	
Součet reakcí v X	0.000	kN	
Součet zatížení ve směru Y	0.000	kN	
Součet reakcí v Y	-0.000	kN	
Součet zatížení ve směru Z	136.814	kN	Odchylka -0.00%
Součet reakcí v Z	136.814	kN	
Max. posun ve směru X	-0.4	mm	Prut č. 14, x: 1.820 m
Max. posun ve směru Y	-0.7	mm	Prut č. 11, x: 1.820 m
Max. posun ve směru Z	3.7	mm	Prut č. 31, x: 1.180 m
Max. posun vektorový	3.7	mm	Prut č. 31, x: 1.180 m
Max. pootočení okolo X	-0.0018	rad	Prut č. 28, x: 0.393 m
Max. pootočení okolo Y	0.0025	rad	Prut č. 32, x: 2.124 m
Max. pootočení okolo Z	0.0001	rad	Prut č. 26, x: 1.180 m
Způsob výpočtu	II. řád		Teorie II. řádu (nelineární výpočet podle Timoshenka)
Vnitřní síly vztažené na deformovaný systém pro...	<input checked="" type="checkbox"/>		N, V _y , V _z , M _y , M _z , M _T
Redukce tuhosti vynásobením součinitelem	<input type="checkbox"/>		
Zohlednit příznivé působení tahových sil	<input checked="" type="checkbox"/>		
Zpětné dělení výsledků součinitelem KZ	<input type="checkbox"/>		
Počet přírůstků zatížení	1		



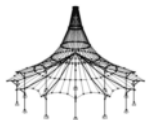
Projekt: 2024
NAVRH KROVU 2024

Model: POZARNÍ VEZ
DYSINA - SUSENÍ HADIC

Datum: 10.05.2024

4.0 VÝSLEDKY - SOUHRN

Označení	Hodnota	Jednotky	Komentář
Počet přírůstků zatížení	1		
Počet iterací	3		
Vypočítat součinitel kritického zatížení	<input type="checkbox"/>		
KZ148 - ZS1 + ZS2 + ZS5 + 0.6*ZS9			
Součet zatížení ve směru X	-0.000	kN	Odchylka 0.00%
Součet reakcí v X	0.000	kN	
Součet zatížení ve směru Y	23.132	kN	
Součet reakcí v Y	23.132	kN	
Součet zatížení ve směru Z	87.566	kN	Odchylka -0.00%
Součet reakcí v Z	87.566	kN	
Max. posun ve směru X	-1.7	mm	
Max. posun ve směru Y	6.6	mm	
Max. posun ve směru Z	3.5	mm	Prut č. 11, x: 2.100 m Prut č. 14, x: 1.820 m Prut č. 32, x: 1.180 m Prut č. 14, x: 1.820 m Prut č. 1, x: 0.000 m Prut č. 32, x: 0.236 m Prut č. 33, x: 0.944 m Teorie II. řádu (nelineární výpočet podle Timoshenka) N, V _y , V _z , M _y , M _z , M _T
Max. posun vektorový	6.6	mm	
Max. pootočení okolo X	0.0024	rad	
Max. pootočení okolo Y	-0.0025	rad	
Max. pootočení okolo Z	-0.0024	rad	
Způsob výpočtu	II. řád		
Vnitřní síly vztažené na deformovaný systém	<input checked="" type="checkbox"/>		
pro...			
Redukce tuhosti vynásobením součinitelem	<input type="checkbox"/>		
Zohlednit příznivé působení tahových sil	<input checked="" type="checkbox"/>		
Zpětné dělení výsledků součinitelem KZ	<input type="checkbox"/>		
Počet přírůstků zatížení	1		
Počet iterací	3		
Vypočítat součinitel kritického zatížení	<input type="checkbox"/>		
KZ149 - ZS1 + ZS2 + ZS3 + ZS5 + 0.6*ZS6			
Součet zatížení ve směru X	23.132	kN	Odchylka -0.00%
Součet reakcí v X	23.132	kN	
Součet zatížení ve směru Y	0.000	kN	
Součet reakcí v Y	-0.000	kN	
Součet zatížení ve směru Z	135.750	kN	Odchylka -0.00%
Součet reakcí v Z	135.750	kN	
Max. posun ve směru X	2.1	mm	
Max. posun ve směru Y	-0.8	mm	
Max. posun ve směru Z	3.7	mm	Prut č. 20, x: 2.100 m Prut č. 11, x: 1.820 m Prut č. 31, x: 1.180 m Prut č. 31, x: 1.180 m Prut č. 30, x: 0.393 m Prut č. 31, x: 0.236 m Prut č. 23, x: 2.124 m Teorie II. řádu (nelineární výpočet podle Timoshenka) N, V _y , V _z , M _y , M _z , M _T
Max. posun vektorový	4.2	mm	
Max. pootočení okolo X	-0.0018	rad	
Max. pootočení okolo Y	-0.0026	rad	
Max. pootočení okolo Z	0.0004	rad	
Způsob výpočtu	II. řád		
Vnitřní síly vztažené na deformovaný systém	<input checked="" type="checkbox"/>		
pro...			
Redukce tuhosti vynásobením součinitelem	<input type="checkbox"/>		
Zohlednit příznivé působení tahových sil	<input checked="" type="checkbox"/>		
Zpětné dělení výsledků součinitelem KZ	<input type="checkbox"/>		
Počet přírůstků zatížení	1		
Počet iterací	2		
Vypočítat součinitel kritického zatížení	<input type="checkbox"/>		
KZ150 - ZS1 + ZS2 + ZS3 + ZS5 + 0.6*ZS7			
Součet zatížení ve směru X	23.132	kN	Odchylka -0.00%
Součet reakcí v X	23.132	kN	
Součet zatížení ve směru Y	-0.000	kN	
Součet reakcí v Y	-0.000	kN	
Součet zatížení ve směru Z	135.105	kN	Odchylka 0.00%
Součet reakcí v Z	135.105	kN	
Max. posun ve směru X	2.1	mm	
Max. posun ve směru Y	-0.8	mm	
Max. posun ve směru Z	3.7	mm	Prut č. 20, x: 2.100 m Prut č. 11, x: 1.820 m Prut č. 31, x: 1.180 m Prut č. 31, x: 1.180 m Prut č. 30, x: 0.393 m Prut č. 31, x: 0.236 m Prut č. 23, x: 2.124 m Teorie II. řádu (nelineární výpočet podle Timoshenka) N, V _y , V _z , M _y , M _z , M _T
Max. posun vektorový	4.2	mm	
Max. pootočení okolo X	-0.0018	rad	
Max. pootočení okolo Y	-0.0026	rad	
Max. pootočení okolo Z	0.0004	rad	
Způsob výpočtu	II. řád		
Vnitřní síly vztažené na deformovaný systém	<input checked="" type="checkbox"/>		
pro...			
Redukce tuhosti vynásobením součinitelem	<input type="checkbox"/>		
Zohlednit příznivé působení tahových sil	<input checked="" type="checkbox"/>		
Zpětné dělení výsledků součinitelem KZ	<input type="checkbox"/>		
Počet přírůstků zatížení	1		
Počet iterací	2		
Vypočítat součinitel kritického zatížení	<input type="checkbox"/>		
KZ151 - ZS1 + ZS2 + ZS3 + ZS5 + 0.6*ZS8			
Součet zatížení ve směru X	-0.000	kN	Odchylka -0.00%
Součet reakcí v X	0.000	kN	
Součet zatížení ve směru Y	23.132	kN	
Součet reakcí v Y	23.132	kN	
Součet zatížení ve směru Z	135.750	kN	Odchylka -0.00%
Součet reakcí v Z	135.750	kN	
Max. posun ve směru X	-1.7	mm	
Max. posun ve směru Y	6.5	mm	
Max. posun ve směru Z	3.8	mm	Prut č. 11, x: 2.100 m Prut č. 14, x: 1.820 m Prut č. 32, x: 1.180 m Prut č. 14, x: 1.820 m Prut č. 2, x: 0.000 m Prut č. 32, x: 0.236 m Prut č. 33, x: 0.944 m Teorie II. řádu (nelineární výpočet podle Timoshenka) N, V _y , V _z , M _y , M _z , M _T
Max. posun vektorový	6.6	mm	
Max. pootočení okolo X	0.0024	rad	
Max. pootočení okolo Y	-0.0026	rad	
Max. pootočení okolo Z	-0.0024	rad	
Způsob výpočtu	II. řád		
Vnitřní síly vztažené na deformovaný systém	<input checked="" type="checkbox"/>		
pro...			
Redukce tuhosti vynásobením součinitelem	<input type="checkbox"/>		
Zohlednit příznivé působení tahových sil	<input checked="" type="checkbox"/>		



Projekt: 2024

Model: POZARNÍ VEZ

Datum: 10.05.2024

NAVRH KROVU 2024

DYSINA - SUSENÍ HADIC

4.0 VÝSLEDKY - SOUHRN

Označení	Hodnota	Jednotky	Komentář
pro... Redukce tuhosti vynásobením součinitelem Zohlednit příznivé působení tahových sil Zpětné dělení výsledků součinitelem KZ Počet přírůstků zatížení Počet iterací Vypočítat součinitel kritického zatížení	<input type="checkbox"/> <input checked="" type="checkbox"/> <input type="checkbox"/> 1 3 <input type="checkbox"/>		
KZ164 - ZS1 + ZS9 Součet zatížení ve směru X Součet reakcí v X Součet zatížení ve směru Y Součet reakcí v Y Součet zatížení ve směru Z Součet reakcí v Z Max. posun ve směru X Max. posun ve směru Y Max. posun ve směru Z Max. posun vektorový Max. pootočení okolo X Max. pootočení okolo Y Max. pootočení okolo Z Způsob výpočtu Vnitřní síly vztažené na deformovaný systém pro... Redukce tuhosti vynásobením součinitelem Zohlednit příznivé působení tahových sil Zpětné dělení výsledků součinitelem KZ Počet přírůstků zatížení Počet iterací Vypočítat součinitel kritického zatížení	-0.000 0.000 38.553 38.553 32.543 32.543 -2.4 10.2 0.4 10.5 0.0040 0.0007 -0.0040 II. řád <input checked="" type="checkbox"/> <input type="checkbox"/> <input checked="" type="checkbox"/> <input type="checkbox"/> 1 3 <input type="checkbox"/>	kN kN kN kN kN kN mm mm mm mm rad rad rad rad	Odchylka 0.00% Odchylka 0.00% Prut č. 11, x: 2.400 m Prut č. 14, x: 2.100 m Prut č. 6, x: 2.124 m Prut č. 51, x: 0.000 m Prut č. 1, x: 0.000 m Prut č. 1, x: 0.000 m Prut č. 33, x: 0.944 m Teorie II. řádu (nelineární výpočet podle Timoshenka) N, V _y , V _z , M _y , M _z , M _T
KZ165 - ZS1 + ZS2 + ZS6 Součet zatížení ve směru X Součet reakcí v X Součet zatížení ve směru Y Součet reakcí v Y Součet zatížení ve směru Z Součet reakcí v Z Max. posun ve směru X Max. posun ve směru Y Max. posun ve směru Z Max. posun vektorový Max. pootočení okolo X Max. pootočení okolo Y Max. pootočení okolo Z Způsob výpočtu Vnitřní síly vztažené na deformovaný systém pro... Redukce tuhosti vynásobením součinitelem Zohlednit příznivé působení tahových sil Zpětné dělení výsledků součinitelem KZ Počet přírůstků zatížení Počet iterací Vypočítat součinitel kritického zatížení	38.553 38.553 0.000 0.000 83.045 83.045 3.3 -0.8 3.3 4.6 -0.0017 -0.0024 0.0005 II. řád <input checked="" type="checkbox"/> <input type="checkbox"/> <input checked="" type="checkbox"/> <input type="checkbox"/> 1 2 <input type="checkbox"/>	kN kN kN kN kN kN mm mm mm mm rad rad rad	Odchylka -0.00% Odchylka 0.00% Prut č. 17, x: 2.400 m Prut č. 20, x: 1.820 m Prut č. 31, x: 1.180 m Prut č. 32, x: 1.180 m Prut č. 30, x: 0.393 m Prut č. 32, x: 0.236 m Prut č. 23, x: 2.124 m Teorie II. řádu (nelineární výpočet podle Timoshenka) N, V _y , V _z , M _y , M _z , M _T
KZ166 - ZS1 + ZS2 + ZS7 Součet zatížení ve směru X Součet reakcí v X Součet zatížení ve směru Y Součet reakcí v Y Součet zatížení ve směru Z Součet reakcí v Z Max. posun ve směru X Max. posun ve směru Y Max. posun ve směru Z Max. posun vektorový Max. pootočení okolo X Max. pootočení okolo Y Max. pootočení okolo Z Způsob výpočtu Vnitřní síly vztažené na deformovaný systém pro... Redukce tuhosti vynásobením součinitelem Zohlednit příznivé působení tahových sil Zpětné dělení výsledků součinitelem KZ Počet přírůstků zatížení Počet iterací Vypočítat součinitel kritického zatížení	38.553 38.553 0.000 -0.000 81.971 81.971 3.3 -0.8 3.3 4.6 -0.0016 -0.0024 0.0005 II. řád <input checked="" type="checkbox"/> <input type="checkbox"/> <input checked="" type="checkbox"/> <input type="checkbox"/> 1 2 <input type="checkbox"/>	kN kN kN kN kN kN mm mm mm mm rad rad rad	Odchylka -0.00% Odchylka 0.00% Prut č. 17, x: 2.400 m Prut č. 20, x: 1.820 m Prut č. 31, x: 1.180 m Prut č. 32, x: 1.180 m Prut č. 30, x: 0.393 m Prut č. 32, x: 0.236 m Prut č. 23, x: 2.124 m Teorie II. řádu (nelineární výpočet podle Timoshenka) N, V _y , V _z , M _y , M _z , M _T
KZ167 - ZS1 + ZS2 + ZS8 Součet zatížení ve směru X Součet reakcí v X Součet zatížení ve směru Y Součet reakcí v Y Součet zatížení ve směru Z Součet reakcí v Z Max. posun ve směru X Max. posun ve směru Y Max. posun ve směru Z Max. posun vektorový Max. pootočení okolo X Max. pootočení okolo Y Max. pootočení okolo Z Způsob výpočtu	0.000 0.000 38.553 38.553 83.045 83.045 -2.7 10.7 3.4 10.8 0.0040 -0.0024 -0.0040 II. řád	kN kN kN kN kN kN mm mm mm mm rad rad rad	Odchylka 0.00% Odchylka 0.00% Prut č. 11, x: 2.100 m Prut č. 14, x: 1.820 m Prut č. 32, x: 1.180 m Prut č. 14, x: 1.820 m Prut č. 1, x: 0.000 m Prut č. 32, x: 0.236 m Prut č. 33, x: 0.944 m Teorie II. řádu (nelineární výpočet podle Timoshenka)



Projekt: 2024

Model: POZARNÍ VEZ

Datum: 10.05.2024

NAVRH KROVU 2024

DYSINA - SUSENÍ HADIC

■ 4.0 VÝSLEDKY - SOUHRN

Označení	Hodnota	Jednotky	Komentář
Způsob výpočtu Vnitřní síly vztažené na deformovaný systém pro... Redukce tuhosti vynásobením součinitelem Zohlednit příznivé působení tahových sil Zpětné dělení výsledků součinitelem KZ Počet přírůstků zatížení Počet iterací Vypočítat součinitel kritického zatížení	II. řád <input checked="" type="checkbox"/> <input type="checkbox"/> <input checked="" type="checkbox"/> <input type="checkbox"/> 1 3 <input type="checkbox"/>		Teorie II. řádu (nelineární výpočet podle Timoshenka) $N, V_y, V_z, M_y, M_z, M_T$
KZ172 - ZS1 + ZS2 + ZS3 + ZS9 Součet zatížení ve směru X Součet reakcí v X Součet zatížení ve směru Y Součet reakcí v Y Součet zatížení ve směru Z Součet reakcí v Z Max. posun ve směru X Max. posun ve směru Y Max. posun ve směru Z Max. posun vektorový Max. pootočení okolo X Max. pootočení okolo Y Max. pootočení okolo Z Způsob výpočtu Vnitřní síly vztažené na deformovaný systém pro... Redukce tuhosti vynásobením součinitelem Zohlednit příznivé působení tahových sil Zpětné dělení výsledků součinitelem KZ Počet přírůstků zatížení Počet iterací Vypočítat součinitel kritického zatížení	-0.000 0.000 38.553 38.553 129.511 129.511 -2.7 10.6 3.5 10.7 0.0040 -0.0024 -0.0040 II. řád <input checked="" type="checkbox"/> <input type="checkbox"/> <input checked="" type="checkbox"/> <input type="checkbox"/> 1 3 <input type="checkbox"/>	kN kN kN kN kN kN mm mm mm mm rad rad rad	Odchylka 0.00% Odchylka 0.00% Prut č. 11, x: 2.100 m Prut č. 14, x: 1.820 m Prut č. 32, x: 1.180 m Prut č. 14, x: 1.820 m Prut č. 1, x: 0.000 m Prut č. 32, x: 0.236 m Prut č. 33, x: 0.944 m Teorie II. řádu (nelineární výpočet podle Timoshenka) $N, V_y, V_z, M_y, M_z, M_T$
KZ173 - ZS1 + ZS3 + ZS6 Součet zatížení ve směru X Součet reakcí v X Součet zatížení ve směru Y Součet reakcí v Y Součet zatížení ve směru Z Součet reakcí v Z Max. posun ve směru X Max. posun ve směru Y Max. posun ve směru Z Max. posun vektorový Max. pootočení okolo X Max. pootočení okolo Y Max. pootočení okolo Z Způsob výpočtu Vnitřní síly vztažené na deformovaný systém pro... Redukce tuhosti vynásobením součinitelem Zohlednit příznivé působení tahových sil Zpětné dělení výsledků součinitelem KZ Počet přírůstků zatížení Počet iterací Vypočítat součinitel kritického zatížení	38.553 38.553 0.000 0.000 81.157 81.157 3.2 -0.6 0.5 3.2 -0.0002 -0.0007 0.0005 II. řád <input checked="" type="checkbox"/> <input type="checkbox"/> <input checked="" type="checkbox"/> <input type="checkbox"/> 1 2 <input type="checkbox"/>	kN kN kN kN kN kN mm mm mm mm rad rad rad	Odchylka -0.00% Odchylka 0.00% Prut č. 28, x: 0.157 m Prut č. 35, x: 1.180 m Prut č. 29, x: 0.393 m Prut č. 29, x: 0.551 m Prut č. 4, x: 0.000 m Prut č. 4, x: 0.000 m Prut č. 23, x: 2.124 m Teorie II. řádu (nelineární výpočet podle Timoshenka) $N, V_y, V_z, M_y, M_z, M_T$
KZ174 - ZS1 + ZS3 + ZS7 Součet zatížení ve směru X Součet reakcí v X Součet zatížení ve směru Y Součet reakcí v Y Součet zatížení ve směru Z Součet reakcí v Z Max. posun ve směru X Max. posun ve směru Y Max. posun ve směru Z Max. posun vektorový Max. pootočení okolo X Max. pootočení okolo Y Max. pootočení okolo Z Způsob výpočtu Vnitřní síly vztažené na deformovaný systém pro... Redukce tuhosti vynásobením součinitelem Zohlednit příznivé působení tahových sil Zpětné dělení výsledků součinitelem KZ Počet přírůstků zatížení Počet iterací Vypočítat součinitel kritického zatížení	38.553 38.553 0.000 0.000 80.083 80.083 3.2 -0.6 0.4 3.2 -0.0002 -0.0007 0.0005 II. řád <input checked="" type="checkbox"/> <input type="checkbox"/> <input checked="" type="checkbox"/> <input type="checkbox"/> 1 2 <input type="checkbox"/>	kN kN kN kN kN kN mm mm mm mm rad rad rad	Odchylka -0.00% Odchylka 0.00% Prut č. 28, x: 0.157 m Prut č. 35, x: 1.180 m Prut č. 29, x: 0.315 m Prut č. 29, x: 0.629 m Prut č. 4, x: 0.000 m Prut č. 4, x: 0.000 m Prut č. 23, x: 2.124 m Teorie II. řádu (nelineární výpočet podle Timoshenka) $N, V_y, V_z, M_y, M_z, M_T$
KZ175 - ZS1 + ZS3 + ZS8 Součet zatížení ve směru X Součet reakcí v X Součet zatížení ve směru Y Součet reakcí v Y Součet zatížení ve směru Z Součet reakcí v Z Max. posun ve směru X Max. posun ve směru Y Max. posun ve směru Z Max. posun vektorový Max. pootočení okolo X Max. pootočení okolo Y Max. pootočení okolo Z Způsob výpočtu Vnitřní síly vztažené na deformovaný systém pro... Redukce tuhosti vynásobením součinitelem Zohlednit příznivé působení tahových sil Zpětné dělení výsledků součinitelem KZ Počet přírůstků zatížení Počet iterací Vypočítat součinitel kritického zatížení	0.000 0.000 38.553 38.553 81.157 81.157 -2.4 10.2 0.5 10.5 0.0040 0.0007 II. řád <input checked="" type="checkbox"/> <input type="checkbox"/> <input checked="" type="checkbox"/> <input type="checkbox"/> 1 2 <input type="checkbox"/>	kN kN kN kN kN kN mm mm mm mm rad rad	Odchylka 0.00% Odchylka 0.00% Prut č. 11, x: 2.400 m Prut č. 14, x: 2.100 m Prut č. 6, x: 1.652 m Prut č. 51, x: 0.000 m Prut č. 2, x: 0.000 m Prut č. 1, x: 0.000 m



Projekt: 2024

Model: POZARNÍ VEZ

Datum: 10.05.2024

NAVRH KROVU 2024

DYSINA - SUSENÍ HADIC

■ 4.0 VÝSLEDKY - SOUHRN

Označení	Hodnota	Jednotky	Komentář
Max. pootočení okolo Z Způsob výpočtu Vnitřní síly vztažené na deformovaný systém pro... Redukce tuhosti vynásobením součinitelem Zohlednit příznivé působení tahových sil Zpětné dělení výsledků součinitelem KZ Počet přírůstků zatížení Počet iterací Vypočítat součinitel kritického zatížení	-0.0040 II. řád <input checked="" type="checkbox"/> <input type="checkbox"/> <input checked="" type="checkbox"/> <input type="checkbox"/> 1 3 <input type="checkbox"/>	rad	Prut č. 33, x: 0.944 m Teorie II. řádu (nelineární výpočet podle Timoshenka) N, V _y , V _z , M _y , M _z , M _T
KZ176 - ZS1 + ZS3 + ZS9 Součet zatížení ve směru X Součet reakcí v X Součet zatížení ve směru Y Součet reakcí v Y Součet zatížení ve směru Z Součet reakcí v Z Max. posun ve směru X Max. posun ve směru Y Max. posun ve směru Z Max. posun vektorový Max. pootočení okolo X Max. pootočení okolo Y Max. pootočení okolo Z Způsob výpočtu Vnitřní síly vztažené na deformovaný systém pro... Redukce tuhosti vynásobením součinitelem Zohlednit příznivé působení tahových sil Zpětné dělení výsledků součinitelem KZ Počet přírůstků zatížení Počet iterací Vypočítat součinitel kritického zatížení	-0.000 0.000 38.553 38.553 80.083 80.083 -2.4 10.2 0.5 10.4 0.0040 0.0007 -0.0040 II. řád <input checked="" type="checkbox"/> <input type="checkbox"/> <input checked="" type="checkbox"/> <input type="checkbox"/> 1 3 <input type="checkbox"/>	kN kN kN kN kN kN mm mm mm mm rad rad rad	Odchylka 0.00% Odchylka 0.00% Prut č. 11, x: 2.400 m Prut č. 14, x: 2.100 m Prut č. 6, x: 1.652 m Prut č. 51, x: 0.000 m Prut č. 2, x: 0.000 m Prut č. 1, x: 0.000 m Prut č. 33, x: 0.944 m Teorie II. řádu (nelineární výpočet podle Timoshenka) N, V _y , V _z , M _y , M _z , M _T
KZ177 - ZS1 + ZS2 + 0.5*ZS5 + ZS6 Součet zatížení ve směru X Součet reakcí v X Součet zatížení ve směru Y Součet reakcí v Y Součet zatížení ve směru Z Součet reakcí v Z Max. posun ve směru X Max. posun ve směru Y Max. posun ve směru Z Max. posun vektorový Max. pootočení okolo X Max. pootočení okolo Y Max. pootočení okolo Z Způsob výpočtu Vnitřní síly vztažené na deformovaný systém pro... Redukce tuhosti vynásobením součinitelem Zohlednit příznivé působení tahových sil Zpětné dělení výsledků součinitelem KZ Počet přírůstků zatížení Počet iterací Vypočítat součinitel kritického zatížení	38.553 38.553 0.000 0.000 85.273 85.273 3.3 -0.8 3.4 4.7 -0.0017 -0.0025 0.0005 II. řád <input checked="" type="checkbox"/> <input type="checkbox"/> <input checked="" type="checkbox"/> <input type="checkbox"/> 1 2 <input type="checkbox"/>	kN kN kN kN kN kN mm mm mm mm rad rad rad	Odchylka -0.00% Odchylka 0.00% Prut č. 17, x: 2.400 m Prut č. 20, x: 1.820 m Prut č. 31, x: 1.180 m Prut č. 32, x: 1.180 m Prut č. 30, x: 0.393 m Prut č. 32, x: 0.236 m Prut č. 23, x: 2.124 m Teorie II. řádu (nelineární výpočet podle Timoshenka) N, V _y , V _z , M _y , M _z , M _T
KZ178 - ZS1 + ZS2 + 0.5*ZS5 + ZS7 Součet zatížení ve směru X Součet reakcí v X Součet zatížení ve směru Y Součet reakcí v Y Součet zatížení ve směru Z Součet reakcí v Z Max. posun ve směru X Max. posun ve směru Y Max. posun ve směru Z Max. posun vektorový Max. pootočení okolo X Max. pootočení okolo Y Max. pootočení okolo Z Způsob výpočtu Vnitřní síly vztažené na deformovaný systém pro... Redukce tuhosti vynásobením součinitelem Zohlednit příznivé působení tahových sil Zpětné dělení výsledků součinitelem KZ Počet přírůstků zatížení Počet iterací Vypočítat součinitel kritického zatížení	38.553 38.553 0.000 -0.000 84.199 84.199 3.3 -0.8 3.4 4.6 -0.0017 -0.0024 0.0005 II. řád <input checked="" type="checkbox"/> <input type="checkbox"/> <input checked="" type="checkbox"/> <input type="checkbox"/> 1 2 <input type="checkbox"/>	kN kN kN kN kN kN mm mm mm mm rad rad rad	Odchylka -0.00% Odchylka 0.00% Prut č. 17, x: 2.400 m Prut č. 20, x: 1.820 m Prut č. 31, x: 1.180 m Prut č. 32, x: 1.180 m Prut č. 30, x: 0.393 m Prut č. 32, x: 0.236 m Prut č. 23, x: 2.124 m Teorie II. řádu (nelineární výpočet podle Timoshenka) N, V _y , V _z , M _y , M _z , M _T
KZ179 - ZS1 + ZS2 + 0.5*ZS5 + ZS8 Součet zatížení ve směru X Součet reakcí v X Součet zatížení ve směru Y Součet reakcí v Y Součet zatížení ve směru Z Součet reakcí v Z Max. posun ve směru X Max. posun ve směru Y Max. posun ve směru Z Max. posun vektorový Max. pootočení okolo X	0.000 0.000 38.553 38.553 85.273 85.273 -2.7 10.7 3.5 10.8 0.0040	kN kN kN kN kN kN mm mm mm mm rad	Odchylka 0.00% Odchylka 0.00% Prut č. 11, x: 2.100 m Prut č. 14, x: 1.820 m Prut č. 32, x: 1.180 m Prut č. 14, x: 1.820 m Prut č. 1, x: 0.000 m



Projekt: 2024

Model: POZARNÍ VEZ

Datum: 10.05.2024

NAVRH KROVU 2024

DYSINA - SUSENÍ HADIC

■ 4.0 VÝSLEDKY - SOUHRN

Označení	Hodnota	Jednotky	Komentář
Max. posun ve směru Z Max. posun vektorový Max. pootočení okolo X Max. pootočení okolo Y Max. pootočení okolo Z Způsob výpočtu Vnitřní síly vztažené na deformovaný systém pro... Redukce tuhosti vynásobením součinitelem Zohlednit příznivé působení tahových sil Zpětné dělení výsledků součinitelem KZ Počet přírůstků zatížení Počet iterací Vypočítat součinitel kritického zatížení	0.4 10.5 0.0040 0.0007 -0.0040 II. řád <input checked="" type="checkbox"/> <input type="checkbox"/> <input checked="" type="checkbox"/> <input type="checkbox"/> 1 3 <input type="checkbox"/>	mm mm rad rad rad II. řád	Prut č. 6, x: 1.652 m Prut č. 8, x: 0.000 m Prut č. 1, x: 0.000 m Prut č. 1, x: 0.000 m Prut č. 33, x: 0.944 m Teorie II. řádu (nelineární výpočet podle Timoshenka) N, V _y , V _z , M _y , M _z , M _T
KZ192 - ZS1 + 0.5*ZS5 + ZS9 Součet zatížení ve směru X Součet reakcí v X Součet zatížení ve směru Y Součet reakcí v Y Součet zatížení ve směru Z Součet reakcí v Z Max. posun ve směru X Max. posun ve směru Y Max. posun ve směru Z Max. posun vektorový Max. pootočení okolo X Max. pootočení okolo Y Max. pootočení okolo Z Způsob výpočtu Vnitřní síly vztažené na deformovaný systém pro... Redukce tuhosti vynásobením součinitelem Zohlednit příznivé působení tahových sil Zpětné dělení výsledků součinitelem KZ Počet přírůstků zatížení Počet iterací Vypočítat součinitel kritického zatížení	-0.000 0.000 38.553 38.553 34.771 34.771 -2.5 10.2 0.4 10.5 0.0040 0.0007 -0.0040 II. řád <input checked="" type="checkbox"/> <input type="checkbox"/> <input checked="" type="checkbox"/> <input type="checkbox"/> 1 3 <input type="checkbox"/>	kN kN kN kN kN kN mm mm mm mm rad rad rad II. řád	Odchylka 0.00% Odchylka 0.00% Prut č. 11, x: 2.400 m Prut č. 14, x: 1.820 m Prut č. 6, x: 1.888 m Prut č. 51, x: 0.000 m Prut č. 1, x: 0.000 m Prut č. 1, x: 0.000 m Prut č. 33, x: 0.944 m Teorie II. řádu (nelineární výpočet podle Timoshenka) N, V _y , V _z , M _y , M _z , M _T
KZ193 - ZS1 Součet zatížení ve směru X Součet reakcí v X Součet zatížení ve směru Y Součet reakcí v Y Součet zatížení ve směru Z Součet reakcí v Z Max. posun ve směru X Max. posun ve směru Y Max. posun ve směru Z Max. posun vektorový Max. pootočení okolo X Max. pootočení okolo Y Max. pootočení okolo Z Způsob výpočtu Vnitřní síly vztažené na deformovaný systém pro... Redukce tuhosti vynásobením součinitelem Zohlednit příznivé působení tahových sil Zpětné dělení výsledků součinitelem KZ Počet přírůstků zatížení Počet iterací Vypočítat součinitel kritického zatížení	0.000 0.000 0.000 0.000 35.390 35.390 0.0 -0.1 0.2 0.2 -0.0001 -0.0001 0.0000 II. řád <input checked="" type="checkbox"/> <input type="checkbox"/> <input checked="" type="checkbox"/> <input type="checkbox"/> 1 2 <input type="checkbox"/>	kN kN kN kN kN kN mm mm mm mm rad rad rad II. řád	Odchylka 0.00% Prut č. 20, x: 2.100 m Prut č. 11, x: 2.100 m Prut č. 31, x: 1.180 m Prut č. 31, x: 1.180 m Prut č. 28, x: 0.393 m Prut č. 27, x: 0.787 m Prut č. 26, x: 1.180 m Teorie II. řádu (nelineární výpočet podle Timoshenka) N, V _y , V _z , M _y , M _z , M _T
KZ194 - ZS1 + ZS2 Součet zatížení ve směru X Součet reakcí v X Součet zatížení ve směru Y Součet reakcí v Y Součet zatížení ve směru Z Součet reakcí v Z Max. posun ve směru X Max. posun ve směru Y Max. posun ve směru Z Max. posun vektorový Max. pootočení okolo X Max. pootočení okolo Y Max. pootočení okolo Z Způsob výpočtu Vnitřní síly vztažené na deformovaný systém pro... Redukce tuhosti vynásobením součinitelem Zohlednit příznivé působení tahových sil Zpětné dělení výsledků součinitelem KZ Počet přírůstků zatížení Počet iterací Vypočítat součinitel kritického zatížení	0.000 0.000 0.000 0.000 84.818 84.818 -0.3 -0.6 3.3 3.3 -0.0016 0.0023 0.0001 II. řád <input checked="" type="checkbox"/> <input type="checkbox"/> <input checked="" type="checkbox"/> <input type="checkbox"/> 1 2 <input type="checkbox"/>	kN kN kN kN kN kN mm mm mm mm rad rad rad II. řád	Odchylka 0.00% Prut č. 14, x: 1.800 m Prut č. 11, x: 1.800 m Prut č. 31, x: 1.180 m Prut č. 31, x: 1.180 m Prut č. 28, x: 0.393 m Prut č. 32, x: 2.124 m Prut č. 21, x: 1.180 m Teorie II. řádu (nelineární výpočet podle Timoshenka) N, V _y , V _z , M _y , M _z , M _T
KZ195 - ZS1 + ZS2 + ZS3 Součet zatížení ve směru X Součet reakcí v X Součet zatížení ve směru Y Součet reakcí v Y Součet zatížení ve směru Z Součet reakcí v Z Max. posun ve směru X	0.000 0.000 0.000 0.000 132.358 132.358 -0.4	kN kN kN kN kN kN mm	Odchylka 0.00% Prut č. 14, x: 1.820 m



Projekt: 2024

Model: POZARNÍ VEZ

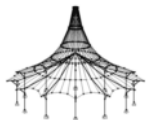
Datum: 10.05.2024

NAVRH KROVU 2024

DYSINA - SUSENÍ HADIC

■ 4.0 VÝSLEDKY - SOUHRN

Označení	Hodnota	Jednotky	Komentář
Součet reakcí v Y Součet zatížení ve směru Z Součet reakcí v Z Max. posun ve směru X Max. posun ve směru Y Max. posun ve směru Z Max. posun vektorový Max. pootočení okolo X Max. pootočení okolo Y Max. pootočení okolo Z Způsob výpočtu Vnitřní síly vztažené na deformovaný systém pro... Redukce tuhosti vynásobením součinitelem Zohlednit příznivé působení tahových sil Zpětné dělení výsledků součinitelem KZ Počet přírůstků zatížení Počet iterací Vypočítat součinitel kritického zatížení	7.711 132.004 132.004 -0.7 2.4 3.5 3.8 0.0017 -0.0024 -0.0008 II. řád <input checked="" type="checkbox"/> <input type="checkbox"/> <input checked="" type="checkbox"/> <input type="checkbox"/> 1 3 <input type="checkbox"/>	kN kN kN mm mm mm mm rad rad rad rad II. řád <input checked="" type="checkbox"/> <input type="checkbox"/> <input checked="" type="checkbox"/> <input type="checkbox"/> 1 3 <input type="checkbox"/>	Odchylka 0.00% Odchylka 0.00% Prut č. 11, x: 2.100 m Prut č. 14, x: 1.820 m Prut č. 32, x: 1.180 m Prut č. 32, x: 1.180 m Prut č. 7, x: 0.393 m Prut č. 32, x: 0.236 m Prut č. 33, x: 0.944 m Teorie II. řádu (nelineární výpočet podle Timoshenka) N, V _y , V _z , M _y , M _z , M _T
KZ212 - ZS1 + ZS2 + ZS3 + 0.2*ZS9 Součet zatížení ve směru X Součet reakcí v X Součet zatížení ve směru Y Součet reakcí v Y Součet zatížení ve směru Z Součet reakcí v Z Max. posun ve směru X Max. posun ve směru Y Max. posun ve směru Z Max. posun vektorový Max. pootočení okolo X Max. pootočení okolo Y Max. pootočení okolo Z Způsob výpočtu Vnitřní síly vztažené na deformovaný systém pro... Redukce tuhosti vynásobením součinitelem Zohlednit příznivé působení tahových sil Zpětné dělení výsledků součinitelem KZ Počet přírůstků zatížení Počet iterací Vypočítat součinitel kritického zatížení	-0.000 0.000 7.711 7.711 131.789 131.789 -0.7 2.4 3.5 3.8 0.0017 -0.0024 -0.0008 II. řád <input checked="" type="checkbox"/> <input type="checkbox"/> <input checked="" type="checkbox"/> <input type="checkbox"/> 1 3 <input type="checkbox"/>	kN kN kN kN kN kN mm mm mm mm rad rad rad rad II. řád <input checked="" type="checkbox"/> <input type="checkbox"/> <input checked="" type="checkbox"/> <input type="checkbox"/> 1 3 <input type="checkbox"/>	Odchylka 0.00% Odchylka 0.00% Prut č. 11, x: 2.100 m Prut č. 14, x: 1.820 m Prut č. 32, x: 1.180 m Prut č. 32, x: 1.180 m Prut č. 7, x: 0.393 m Prut č. 32, x: 0.236 m Prut č. 33, x: 0.944 m Teorie II. řádu (nelineární výpočet podle Timoshenka) N, V _y , V _z , M _y , M _z , M _T
KZ213 - ZS1 + ZS3 + 0.2*ZS6 Součet zatížení ve směru X Součet reakcí v X Součet zatížení ve směru Y Součet reakcí v Y Součet zatížení ve směru Z Součet reakcí v Z Max. posun ve směru X Max. posun ve směru Y Max. posun ve směru Z Max. posun vektorový Max. pootočení okolo X Max. pootočení okolo Y Max. pootočení okolo Z Způsob výpočtu Vnitřní síly vztažené na deformovaný systém pro... Redukce tuhosti vynásobením součinitelem Zohlednit příznivé působení tahových sil Zpětné dělení výsledků součinitelem KZ Počet přírůstků zatížení Počet iterací Vypočítat součinitel kritického zatížení	7.711 7.711 0.000 -0.000 82.576 82.576 0.7 -0.2 0.3 0.7 -0.0002 -0.0002 0.0001 II. řád <input checked="" type="checkbox"/> <input type="checkbox"/> <input checked="" type="checkbox"/> <input type="checkbox"/> 1 2 <input type="checkbox"/>	kN kN kN kN kN kN mm mm mm mm rad rad rad rad II. řád <input checked="" type="checkbox"/> <input type="checkbox"/> <input checked="" type="checkbox"/> <input type="checkbox"/> 1 2 <input type="checkbox"/>	Odchylka -0.00% Odchylka 0.00% Prut č. 20, x: 2.400 m Prut č. 11, x: 2.100 m Prut č. 31, x: 1.416 m Prut č. 31, x: 1.416 m Prut č. 30, x: 0.393 m Prut č. 4, x: 0.000 m Prut č. 23, x: 2.124 m Teorie II. řádu (nelineární výpočet podle Timoshenka) N, V _y , V _z , M _y , M _z , M _T
KZ214 - ZS1 + ZS3 + 0.2*ZS7 Součet zatížení ve směru X Součet reakcí v X Součet zatížení ve směru Y Součet reakcí v Y Součet zatížení ve směru Z Součet reakcí v Z Max. posun ve směru X Max. posun ve směru Y Max. posun ve směru Z Max. posun vektorový Max. pootočení okolo X Max. pootočení okolo Y Max. pootočení okolo Z Způsob výpočtu Vnitřní síly vztažené na deformovaný systém pro... Redukce tuhosti vynásobením součinitelem Zohlednit příznivé působení tahových sil Zpětné dělení výsledků součinitelem KZ Počet přírůstků zatížení Počet iterací Vypočítat součinitel kritického zatížení	7.711 7.711 -0.000 -0.000 82.361 82.361 0.7 -0.2 0.3 0.7 -0.0001 -0.0002 0.0001 II. řád <input checked="" type="checkbox"/> <input type="checkbox"/> <input checked="" type="checkbox"/> <input type="checkbox"/> 1 2 <input type="checkbox"/>	kN kN kN kN kN kN mm mm mm mm rad rad rad rad II. řád <input checked="" type="checkbox"/> <input type="checkbox"/> <input checked="" type="checkbox"/> <input type="checkbox"/> 1 2 <input type="checkbox"/>	Odchylka -0.00% Odchylka 0.00% Prut č. 20, x: 2.571 m Prut č. 11, x: 2.100 m Prut č. 31, x: 1.416 m Prut č. 31, x: 1.416 m Prut č. 30, x: 0.393 m Prut č. 4, x: 0.000 m Prut č. 23, x: 2.124 m Teorie II. řádu (nelineární výpočet podle Timoshenka) N, V _y , V _z , M _y , M _z , M _T
KZ215 - ZS1 + ZS3 + 0.2*ZS8 Součet zatížení ve směru X Součet reakcí v X	-0.000 0.000	kN kN	



Projekt: 2024

Model: POZARNÍ VEZ

Datum: 10.05.2024

NAVRH KROVU 2024

DYSINA - SUSENI HADIC

4.3 PRŮŘEZY - VNITŘNÍ SÍLY

Prut č.	ZS/KZ	Uzel č.	Místo x [m]	Síly [kN]			Momenty [kNm]		
				N	V _y	V _z	M _T	M _y	M _z
17	Průřez č. 2: 2UK UPE 100 Feron - DIN 1026-2								
23	KZ87	MAX N	1.180	9.880	3.667	-3.678	-0.099	0.279	-0.886
25	KZ83	MIN N	2.360	-6.237	4.583	-0.870	-0.103	-0.663	-3.887
26	KZ87	MAX V _y	2.360	8.119	6.053	-1.992	-0.105	-1.564	-5.614
36	KZ87	MIN V _y	0.000	9.538	-5.319	1.344	-0.238	-0.643	-5.635
37	KZ33	MAX V _z	0.000	-1.728	-1.145	2.903	0.003	-1.484	-0.433
23	KZ35	MIN V _z	2.360	6.107	1.323	-4.833	-0.056	-3.773	-2.465
37	KZ80	MAX M _T	0.000	1.916	-3.719	1.251	0.171	-0.650	-3.901
36	KZ68	MIN M _T	2.360	9.201	-2.859	-0.115	-0.247	0.244	3.845
23	KZ68	MAX M _y	0.000	9.458	5.307	-3.394	-0.098	4.239	4.612
23	KZ80	MIN M _y	2.360	9.586	2.017	-4.825	-0.090	-4.879	-3.878
26	KZ87	MAX M _z	0.000	8.126	2.709	0.206	-0.103	0.535	4.794
36	KZ87	MIN M _z	0.000	9.538	-5.319	1.344	-0.238	-0.643	-5.635
Průřez č. 3: 2UK UPE 120 Feron - DIN 1026-2									
29	KZ66	MAX N	0.000	2.121	-0.353	0.128	-0.007	0.202	0.113
30	KZ87	MIN N	0.787	-5.774	1.371	-18.569	-2.455	-7.660	-0.715
7	KZ68	MAX V _y	0.787	-1.597	1.587	0.169	-0.291	0.026	-0.370
7	KZ85	MIN V _y	0.000	-1.220	-1.306	18.727	2.388	-7.652	-0.609
5	KZ10	MAX V _z	0.000	-3.724	-0.087	21.989	-2.667	-9.251	-0.039
30	KZ10	MIN V _z	0.787	-3.719	-0.087	-21.991	-2.667	-9.254	0.039
28	KZ16	MAX M _T	0.000	-2.551	-0.223	-20.041	2.677	7.567	0.068
5	KZ16	MIN M _T	0.000	-2.405	-0.244	21.395	-2.710	-8.910	0.012
29	KZ16	MAX M _y	0.393	-2.488	-0.126	-0.079	-0.002	7.902	0.095
30	KZ10	MIN M _y	0.787	-3.719	-0.087	-21.991	-2.667	-9.254	0.039
6	KZ80	MAX M _z	2.360	0.535	-1.093	-0.865	0.143	0.026	0.746
30	KZ68	MIN M _z	0.787	-2.674	1.432	-0.080	-0.011	0.144	-0.743
Průřez č. 4: RO 76.1x5.0 (tvar. za tepla)									
44	KZ68	MAX N	3.817	44.099	0.000	0.000	0.000	0.000	0.000
43	KZ87	MIN N	3.817	-70.955	0.000	0.000	0.000	0.000	0.000
39	ZS1	MAX V _y	0.000	-0.199	0.000	0.000	0.000	0.000	0.000
39	ZS1	MIN V _y	0.000	-0.199	0.000	0.000	0.000	0.000	0.000
39	ZS1	MAX V _z	0.000	-0.199	0.000	0.000	0.000	0.000	0.000
39	ZS1	MIN V _z	0.000	-0.199	0.000	0.000	0.000	0.000	0.000
39	ZS1	MAX M _T	0.000	-0.199	0.000	0.000	0.000	0.000	0.000
39	ZS1	MIN M _T	0.000	-0.199	0.000	0.000	0.000	0.000	0.000
39	ZS1	MAX M _y	0.000	-0.199	0.000	0.000	0.000	0.000	0.000
39	ZS1	MIN M _y	0.000	-0.199	0.000	0.000	0.000	0.000	0.000
39	ZS1	MAX M _z	0.000	-0.199	0.000	0.000	0.000	0.000	0.000
39	ZS1	MIN M _z	0.000	-0.199	0.000	0.000	0.000	0.000	0.000
Průřez č. 5: 2UK UPE 120 Feron - DIN 1026-2									
31	KZ87	MAX N	2.360	1.291	-0.538	-16.856	0.134	-2.152	0.603
32	KZ85	MIN N	1.180	-0.768	-0.027	0.335	-0.016	7.873	0.031
31	KZ85	MAX V _y	0.000	-0.531	0.228	17.182	0.016	-2.538	0.227
31	KZ88	MIN V _y	2.360	1.290	-0.539	-16.856	0.134	-2.187	0.604
32	KZ18	MAX V _z	0.000	0.167	-0.322	19.513	0.078	-2.634	-0.334
32	KZ18	MIN V _z	2.360	0.166	-0.256	-19.535	0.078	-2.661	0.345
31	KZ76	MAX M _T	0.000	1.285	-0.480	16.403	0.134	-2.139	-0.590
32	KZ85	MIN M _T	2.360	-0.713	0.003	-17.541	-0.016	-2.420	0.045
32	KZ18	MAX M _y	1.180	0.090	-0.287	-0.011	0.058	9.163	0.026
31	KZ16	MIN M _y	0.000	-0.286	0.178	19.117	0.006	-2.708	0.164
32	KZ68	MAX M _z	2.360	0.169	-0.538	-0.194	0.132	0.062	0.650
31	KZ68	MIN M _z	0.000	1.239	-0.535	-0.367	0.132	0.229	-0.627

4.3 PRŮŘEZY - VNITŘNÍ SÍLY

Kombinace výsledků

Prut č.	KV	Uzel č.	Místo x [m]	Síly [kN]			M _T	Momenty [kNm]		Příslušející zat. stavy	
				N	V _y	V _z		M _y	M _z		
Průřez č. 1: HEB 160											
4	KV1		3.000	MAX N	149.562	-2.212	0.991	0.029	0.323	1.558	KZ 68
3	KV1		0.000	MIN N	-128.329	1.078	-0.242	0.012	0.000	0.000	KZ 18
20	KV1		0.000	MAX V _y	-23.169	2.556	2.470	-0.006	-1.488	1.729	KZ 87
11	KV1		0.000	MIN V _y	-21.831	-2.691	2.620	0.006	-2.137	-1.909	KZ 87
11	KV1		0.000	MAX V _z	-18.908	0.393	5.214	-0.006	-3.433	-0.151	KZ 85
1	KV1		0.000	MIN V _z	-11.121	-1.994	-5.714	0.018	0.000	0.000	KZ 83
4	KV1		1.286	MAX M _T	148.576	-0.275	-0.017	0.031	-0.699	-0.943	KZ 68
20	KV1		3.000	MIN M _T	-19.130	-0.639	3.790	-0.013	7.596	-1.164	KZ 87
11	KV1		3.000	MAX M _y	-23.326	-0.432	4.375	0.010	9.278	2.287	KZ 18
2	KV1		3.000	MIN M _y	-16.478	1.660	-3.951	0.023	-13.583	-0.921	KZ 80
11	KV1		3.000	MAX M _z	-21.536	-1.994	3.230	0.002	8.930	2.901	KZ 16
17	KV1		3.000	MIN M _z	-24.731	1.294	-4.097	0.006	-9.268	-2.653	KZ 10
Průřez č. 2: 2UK UPE 100 Feron - DIN 1026-2											
23	KV1		1.180	MAX N	9.880	3.667	-3.678	-0.099	0.279	-0.886	KZ 87
25	KV1		2.360	MIN N	-6.237	4.583	-0.870	-0.103	-0.663	-3.887	KZ 83
26	KV1		2.360	MAX V _y	8.119	6.053	-1.992	-0.105	-1.564	-5.614	KZ 87
36	KV1		0.000	MIN V _y	9.538	-5.319	1.344	-0.238	-0.643	-5.635	KZ 87
37	KV1		0.000	MAX V _z	-1.728	-1.145	2.903	0.003	-1.484	-0.433	KZ 33
23	KV1		2.360	MIN V _z	6.107	1.323	-4.833	-0.056	-3.773	-2.465	KZ 35
37	KV1		0.000	MAX M _T	1.916	-3.719	1.251	0.171	-0.650	-3.901	KZ 80
36	KV1		2.360	MIN M _T	9.201	-2.859	-0.115	-0.247	0.244	3.845	KZ 68
23	KV1		0.000	MAX M _y	9.458	5.307	-3.394	-0.098	4.239	4.612	KZ 68
23	KV1		2.360	MIN M _y	9.586	2.017	-4.825	-0.090	-4.879	-3.878	KZ 80
26	KV1		0.000	MAX M _z	8.126	2.709	0.206	-0.103	0.535	4.794	KZ 87
36	KV1		0.000	MIN M _z	9.538	-5.319	1.344	-0.238	-0.643	-5.635	KZ 87



VÝSLEDKY

Projekt: 2024

Model: POZARNÍ VEZ

Datum: 10.05.2024

NAVRH KROVU 2024

DYSINA - SUSENÍ HADIC

4.3 PRŮŘEZY - VNITŘNÍ SÍLY

Kombinace výsledků

Prut č.	KV	Uzel č.	Místo x [m]		N	Síly [kN] V _y	V _z	M _T	Momenty [kNm] M _y	M _z	Příslušející zat. stavy	
36	Průřez č. 3: 2UK UPE 120 Feron - DIN 1026-2											
29	KV1		0.000	MAX N	▷	2.121	-0.353	0.128	-0.007	0.202	0.113 KZ 66	
30	KV1		0.787	MIN N	▷	-5.774	1.371	-18.569	-2.455	-7.660	-0.715 KZ 87	
7	KV1		0.787	MAX V _y		-1.597	1.587	0.169	-0.291	0.026	-0.370 KZ 68	
7	KV1		0.000	MIN V _y		-1.220	-1.306	18.727	2.388	-7.652	-0.609 KZ 85	
5	KV1		0.000	MAX V _z		-3.724	-0.087	21.989	-2.667	-9.251	-0.039 KZ 10	
30	KV1		0.787	MIN V _z		-3.719	-0.087	-21.991	-2.667	-9.254	0.039 KZ 10	
28	KV1		0.000	MAX M _T		-2.551	-0.223	-20.041	▷	2.677	7.567 0.068 KZ 16	
5	KV1		0.000	MIN M _T		-2.405	-0.244	21.395	▷	-2.710	-8.910 0.012 KZ 16	
29	KV1		0.393	MAX M _y		-2.488	-0.126	-0.079	-0.002	▷	7.902 0.095 KZ 16	
30	KV1		0.787	MIN M _y		-3.719	-0.087	-21.991	-2.667	▷	-9.254 0.039 KZ 10	
6	KV1		2.360	MAX M _z		0.535	-1.093	-0.865	0.143	0.026	▷	0.746 KZ 80
30	KV1		0.787	MIN M _z		-2.674	1.432	-0.080	-0.011	0.144	▷	-0.743 KZ 68
Průřez č. 4: RO 76.1x5.0 (tvar. za tepla)												
44	KV1		3.817	MAX N	▷	44.099	0.000	0.000	0.000	0.000	0.000 KZ 68	
43	KV1		3.817	MIN N	▷	-70.955	0.000	0.000	0.000	0.000	0.000 KZ 87	
39	KV1		0.000	MAX V _y		-0.269	▷	0.000	0.000	0.000	0.000 KZ 1	
39	KV1		0.000	MIN V _y		-0.269	▷	0.000	0.000	0.000	0.000 KZ 1	
39	KV1		0.000	MAX V _z		-0.269	▷	0.000	0.000	0.000	0.000 KZ 1	
39	KV1		0.000	MIN V _z		-0.269	▷	0.000	0.000	0.000	0.000 KZ 1	
39	KV1		0.000	MAX M _T		-0.269	0.000	0.000	▷	0.000	0.000 KZ 1	
39	KV1		0.000	MIN M _T		-0.269	0.000	0.000	▷	0.000	0.000 KZ 1	
39	KV1		0.000	MAX M _y		-0.269	0.000	0.000	0.000	▷	0.000 KZ 1	
39	KV1		0.000	MIN M _y		-0.269	0.000	0.000	0.000	▷	0.000 KZ 1	
39	KV1		0.000	MAX M _z		-0.269	0.000	0.000	0.000	▷	0.000 KZ 1	
39	KV1		0.000	MIN M _z		-0.269	0.000	0.000	0.000	▷	0.000 KZ 1	
Průřez č. 5: 2UK UPE 120 Feron - DIN 1026-2												
31	KV1		2.360	MAX N	▷	1.291	-0.538	-16.856	0.134	-2.152	0.603 KZ 87	
32	KV1		1.180	MIN N	▷	-0.768	-0.027	0.335	-0.016	7.873	0.031 KZ 85	
31	KV1		0.000	MAX V _y		-0.531	▷	0.228	0.016	-2.538	0.227 KZ 85	
31	KV1		2.360	MIN V _y		1.290	▷	-0.539	-16.856	0.134	-2.187 0.604 KZ 88	
32	KV1		0.000	MAX V _z		0.167	-0.322	▷	19.513	0.078	-2.634 -0.334 KZ 18	
32	KV1		2.360	MIN V _z		0.166	-0.256	▷	-19.535	0.078	-2.661 0.345 KZ 18	
31	KV1		0.000	MAX M _T		1.285	-0.480	16.403	▷	0.134	-2.139 -0.590 KZ 76	
32	KV1		2.360	MIN M _T		-0.713	0.003	-17.541	▷	-0.016	-2.420 0.045 KZ 85	
32	KV1		1.180	MAX M _y		0.090	-0.287	-0.011	0.058	▷	9.163 0.026 KZ 18	
31	KV1		0.000	MIN M _y		-0.286	0.178	19.117	0.006	▷	-2.708 0.164 KZ 16	
32	KV1		2.360	MAX M _z		0.169	-0.538	-0.194	0.132	0.062	▷	0.650 KZ 68
31	KV1		0.000	MIN M _z		1.239	-0.535	-0.367	0.132	0.229	▷	-0.627 KZ 68



STEEL EC3

PR1

Posouzení ocelových prutů
podle Eurokódu 3

Projekt: 2024

NAVRH KROVU 2024

Model: POZARNÍ VEZ

DYSINA - SUSENÍ HADIC

Datum: 10.05.2024

1.1 ZÁKLADNÍ ÚDAJE

Pruty k posouzení:

Sady prutů k posouzení:

Posouzení mezního stavu únosnosti

Zatěžovací stavy k posouzení:

Všechny

ZS1 Vlastní tíha
ZS2 Střešní plášť
ZS3 Stěnový plášť
ZS4 Střecha - údržba
ZS5 Sníh
ZS6 Vítr ve směru osy +X
ZS7 Vítr ve směru osy -X
ZS8 Vítr ve směru osy +Y
ZS9 Vítr ve směru osy -Y

Kombinace zatížení k posouzení:

KZ1 1.35*ZS1
KZ2 1.35*ZS1 + 1.35*ZS2
KZ3 1.35*ZS1 + 1.35*ZS2 + 1.35*ZS3
KZ4 1.35*ZS1 + 1.35*ZS3
KZ5 1.35*ZS1 + 1.5*ZS4
KZ6 1.35*ZS1 + 1.35*ZS2 + 1.5*ZS4
KZ7 1.35*ZS1 + 1.35*ZS2 + 1.35*ZS3 + 1.5*ZS4
KZ8 1.35*ZS1 + 1.35*ZS3 + 1.5*ZS4
KZ9 1.35*ZS1 + 1.35*ZS2 + 1.5*ZS4 + 0.75*ZS5
KZ10 1.35*ZS1 + 1.35*ZS2 + 1.35*ZS3 + 1.5*ZS4 + 0.75*ZS5
KZ11 1.35*ZS1 + 1.35*ZS3 + 1.5*ZS4 + 0.75*ZS5
KZ12 1.35*ZS1 + 1.35*ZS2 + 1.5*ZS4 + 0.75*ZS5 + 0.9*ZS6
KZ13 1.35*ZS1 + 1.35*ZS2 + 1.5*ZS4 + 0.75*ZS5 + 0.9*ZS7
KZ14 1.35*ZS1 + 1.35*ZS2 + 1.5*ZS4 + 0.75*ZS5 + 0.9*ZS8
KZ15 1.35*ZS1 + 1.35*ZS2 + 1.5*ZS4 + 0.75*ZS5 + 0.9*ZS9
KZ16 1.35*ZS1 + 1.35*ZS2 + 1.35*ZS3 + 1.5*ZS4 + 0.75*ZS5 +
0.9*ZS6
KZ17 1.35*ZS1 + 1.35*ZS2 + 1.35*ZS3 + 1.5*ZS4 + 0.75*ZS5 +
0.9*ZS7
KZ18 1.35*ZS1 + 1.35*ZS2 + 1.35*ZS3 + 1.5*ZS4 + 0.75*ZS5 +
0.9*ZS8
KZ19 1.35*ZS1 + 1.35*ZS2 + 1.35*ZS3 + 1.5*ZS4 + 0.75*ZS5 +
0.9*ZS9
KZ20 1.35*ZS1 + 1.35*ZS3 + 1.5*ZS4 + 0.75*ZS5 + 0.9*ZS6
KZ21 1.35*ZS1 + 1.35*ZS3 + 1.5*ZS4 + 0.75*ZS5 + 0.9*ZS7
KZ22 1.35*ZS1 + 1.35*ZS3 + 1.5*ZS4 + 0.75*ZS5 + 0.9*ZS8
KZ23 1.35*ZS1 + 1.35*ZS3 + 1.5*ZS4 + 0.75*ZS5 + 0.9*ZS9
KZ24 1.35*ZS1 + 1.35*ZS2 + 1.5*ZS4 + 0.9*ZS6
KZ25 1.35*ZS1 + 1.35*ZS2 + 1.5*ZS4 + 0.9*ZS7
KZ26 1.35*ZS1 + 1.35*ZS2 + 1.5*ZS4 + 0.9*ZS8
KZ27 1.35*ZS1 + 1.35*ZS2 + 1.5*ZS4 + 0.9*ZS9
KZ28 1.35*ZS1 + 1.35*ZS2 + 1.35*ZS3 + 1.5*ZS4 + 0.9*ZS6
KZ29 1.35*ZS1 + 1.35*ZS2 + 1.35*ZS3 + 1.5*ZS4 + 0.9*ZS7
KZ30 1.35*ZS1 + 1.35*ZS2 + 1.35*ZS3 + 1.5*ZS4 + 0.9*ZS8
KZ31 1.35*ZS1 + 1.35*ZS2 + 1.35*ZS3 + 1.5*ZS4 + 0.9*ZS9
KZ32 1.35*ZS1 + 1.35*ZS3 + 1.5*ZS4 + 0.9*ZS6
KZ33 1.35*ZS1 + 1.35*ZS3 + 1.5*ZS4 + 0.9*ZS7
KZ34 1.35*ZS1 + 1.35*ZS3 + 1.5*ZS4 + 0.9*ZS8
KZ35 1.35*ZS1 + 1.35*ZS3 + 1.5*ZS4 + 0.9*ZS9
KZ36 1.35*ZS1 + 1.5*ZS4 + 0.75*ZS5
KZ37 1.35*ZS1 + 1.5*ZS4 + 0.75*ZS5 + 0.9*ZS6
KZ38 1.35*ZS1 + 1.5*ZS4 + 0.75*ZS5 + 0.9*ZS7
KZ39 1.35*ZS1 + 1.5*ZS4 + 0.75*ZS5 + 0.9*ZS8
KZ40 1.35*ZS1 + 1.5*ZS4 + 0.75*ZS5 + 0.9*ZS9
KZ41 1.35*ZS1 + 1.5*ZS4 + 0.9*ZS6
KZ42 1.35*ZS1 + 1.5*ZS4 + 0.9*ZS7
KZ43 1.35*ZS1 + 1.5*ZS4 + 0.9*ZS8
KZ44 1.35*ZS1 + 1.5*ZS4 + 0.9*ZS9
KZ45 1.35*ZS1 + 1.5*ZS5
KZ46 1.35*ZS1 + 1.35*ZS2 + 1.5*ZS5
KZ47 1.35*ZS1 + 1.35*ZS2 + 1.35*ZS3 + 1.5*ZS5
KZ48 1.35*ZS1 + 1.35*ZS3 + 1.5*ZS5
KZ49 1.35*ZS1 + 1.35*ZS2 + 1.5*ZS5 + 0.9*ZS6
KZ50 1.35*ZS1 + 1.35*ZS2 + 1.5*ZS5 + 0.9*ZS7
KZ51 1.35*ZS1 + 1.35*ZS2 + 1.5*ZS5 + 0.9*ZS8
KZ52 1.35*ZS1 + 1.35*ZS2 + 1.5*ZS5 + 0.9*ZS9
KZ53 1.35*ZS1 + 1.35*ZS2 + 1.35*ZS3 + 1.5*ZS5 + 0.9*ZS6
KZ54 1.35*ZS1 + 1.35*ZS2 + 1.35*ZS3 + 1.5*ZS5 + 0.9*ZS7
KZ55 1.35*ZS1 + 1.35*ZS2 + 1.35*ZS3 + 1.5*ZS5 + 0.9*ZS8
KZ56 1.35*ZS1 + 1.35*ZS2 + 1.35*ZS3 + 1.5*ZS5 + 0.9*ZS9
KZ57 1.35*ZS1 + 1.35*ZS3 + 1.5*ZS5 + 0.9*ZS6
KZ58 1.35*ZS1 + 1.35*ZS3 + 1.5*ZS5 + 0.9*ZS7
KZ59 1.35*ZS1 + 1.35*ZS3 + 1.5*ZS5 + 0.9*ZS8
KZ60 1.35*ZS1 + 1.35*ZS3 + 1.5*ZS5 + 0.9*ZS9
KZ61 1.35*ZS1 + 1.5*ZS5 + 0.9*ZS6
KZ62 1.35*ZS1 + 1.5*ZS5 + 0.9*ZS7
KZ63 1.35*ZS1 + 1.5*ZS5 + 0.9*ZS8
KZ64 1.35*ZS1 + 1.5*ZS5 + 0.9*ZS9
KZ65 1.35*ZS1 + 1.5*ZS6
KZ66 1.35*ZS1 + 1.5*ZS7
KZ67 1.35*ZS1 + 1.5*ZS8
KZ68 1.35*ZS1 + 1.5*ZS9
KZ69 1.35*ZS1 + 1.35*ZS2 + 1.5*ZS6
KZ70 1.35*ZS1 + 1.35*ZS2 + 1.5*ZS7
KZ71 1.35*ZS1 + 1.35*ZS2 + 1.5*ZS8
KZ72 1.35*ZS1 + 1.35*ZS2 + 1.5*ZS9
KZ73 1.35*ZS1 + 1.35*ZS2 + 1.35*ZS3 + 1.5*ZS6
KZ74 1.35*ZS1 + 1.35*ZS2 + 1.35*ZS3 + 1.5*ZS7
KZ75 1.35*ZS1 + 1.35*ZS2 + 1.35*ZS3 + 1.5*ZS8
KZ76 1.35*ZS1 + 1.35*ZS2 + 1.35*ZS3 + 1.5*ZS9



Projekt: 2024

NAVRH KROVU 2024

Model: POZARNÍ VEZ

DYSINA - SUSENÍ HADIC

Datum: 10.05.2024

1.1 ZÁKLADNÍ ÚDAJE

KZ77	1.35*ZS1 + 1.35*ZS3 + 1.5*ZS6
KZ78	1.35*ZS1 + 1.35*ZS3 + 1.5*ZS7
KZ79	1.35*ZS1 + 1.35*ZS3 + 1.5*ZS8
KZ80	1.35*ZS1 + 1.35*ZS3 + 1.5*ZS9
KZ81	1.35*ZS1 + 1.35*ZS2 + 0.75*ZS5 + 1.5*ZS6
KZ82	1.35*ZS1 + 1.35*ZS2 + 0.75*ZS5 + 1.5*ZS7
KZ83	1.35*ZS1 + 1.35*ZS2 + 0.75*ZS5 + 1.5*ZS8
KZ84	1.35*ZS1 + 1.35*ZS2 + 0.75*ZS5 + 1.5*ZS9
KZ85	1.35*ZS1 + 1.35*ZS2 + 1.35*ZS3 + 0.75*ZS5 + 1.5*ZS6
KZ86	1.35*ZS1 + 1.35*ZS2 + 1.35*ZS3 + 0.75*ZS5 + 1.5*ZS7
KZ87	1.35*ZS1 + 1.35*ZS2 + 1.35*ZS3 + 0.75*ZS5 + 1.5*ZS8
KZ88	1.35*ZS1 + 1.35*ZS2 + 1.35*ZS3 + 0.75*ZS5 + 1.5*ZS9
KZ89	1.35*ZS1 + 1.35*ZS3 + 0.75*ZS5 + 1.5*ZS6
KZ90	1.35*ZS1 + 1.35*ZS3 + 0.75*ZS5 + 1.5*ZS7
KZ91	1.35*ZS1 + 1.35*ZS3 + 0.75*ZS5 + 1.5*ZS8
KZ92	1.35*ZS1 + 1.35*ZS3 + 0.75*ZS5 + 1.5*ZS9
KZ93	1.35*ZS1 + 0.75*ZS5 + 1.5*ZS6
KZ94	1.35*ZS1 + 0.75*ZS5 + 1.5*ZS7
KZ95	1.35*ZS1 + 0.75*ZS5 + 1.5*ZS8
KZ96	1.35*ZS1 + 0.75*ZS5 + 1.5*ZS9
KZ97	ZS1
KZ98	ZS1 + ZS2
KZ99	ZS1 + ZS2 + ZS3
KZ100	ZS1 + ZS3
KZ101	ZS1 + ZS4
KZ102	ZS1 + ZS2 + ZS4
KZ103	ZS1 + ZS2 + ZS3 + ZS4
KZ104	ZS1 + ZS3 + ZS4
KZ105	ZS1 + ZS2 + ZS4 + 0.5*ZS5
KZ106	ZS1 + ZS2 + ZS3 + ZS4 + 0.5*ZS5
KZ107	ZS1 + ZS3 + ZS4 + 0.5*ZS5
KZ108	ZS1 + ZS2 + ZS4 + 0.5*ZS5 + 0.6*ZS6
KZ109	ZS1 + ZS2 + ZS4 + 0.5*ZS5 + 0.6*ZS7
KZ110	ZS1 + ZS2 + ZS4 + 0.5*ZS5 + 0.6*ZS8
KZ111	ZS1 + ZS2 + ZS4 + 0.5*ZS5 + 0.6*ZS9
KZ112	ZS1 + ZS2 + ZS3 + ZS4 + 0.5*ZS5 + 0.6*ZS6
KZ113	ZS1 + ZS2 + ZS3 + ZS4 + 0.5*ZS5 + 0.6*ZS7
KZ114	ZS1 + ZS2 + ZS3 + ZS4 + 0.5*ZS5 + 0.6*ZS8
KZ115	ZS1 + ZS2 + ZS3 + ZS4 + 0.5*ZS5 + 0.6*ZS9
KZ116	ZS1 + ZS3 + ZS4 + 0.5*ZS5 + 0.6*ZS6
KZ117	ZS1 + ZS3 + ZS4 + 0.5*ZS5 + 0.6*ZS7
KZ118	ZS1 + ZS3 + ZS4 + 0.5*ZS5 + 0.6*ZS8
KZ119	ZS1 + ZS3 + ZS4 + 0.5*ZS5 + 0.6*ZS9
KZ120	ZS1 + ZS2 + ZS4 + 0.6*ZS6
KZ121	ZS1 + ZS2 + ZS4 + 0.6*ZS7
KZ122	ZS1 + ZS2 + ZS4 + 0.6*ZS8
KZ123	ZS1 + ZS2 + ZS4 + 0.6*ZS9
KZ124	ZS1 + ZS2 + ZS3 + ZS4 + 0.6*ZS6
KZ125	ZS1 + ZS2 + ZS3 + ZS4 + 0.6*ZS7
KZ126	ZS1 + ZS2 + ZS3 + ZS4 + 0.6*ZS8
KZ127	ZS1 + ZS2 + ZS3 + ZS4 + 0.6*ZS9
KZ128	ZS1 + ZS3 + ZS4 + 0.6*ZS6
KZ129	ZS1 + ZS3 + ZS4 + 0.6*ZS7
KZ130	ZS1 + ZS3 + ZS4 + 0.6*ZS8
KZ131	ZS1 + ZS3 + ZS4 + 0.6*ZS9
KZ132	ZS1 + ZS4 + 0.5*ZS5
KZ133	ZS1 + ZS4 + 0.5*ZS5 + 0.6*ZS6
KZ134	ZS1 + ZS4 + 0.5*ZS5 + 0.6*ZS7
KZ135	ZS1 + ZS4 + 0.5*ZS5 + 0.6*ZS8
KZ136	ZS1 + ZS4 + 0.5*ZS5 + 0.6*ZS9
KZ137	ZS1 + ZS4 + 0.6*ZS6
KZ138	ZS1 + ZS4 + 0.6*ZS7
KZ139	ZS1 + ZS4 + 0.6*ZS8
KZ140	ZS1 + ZS4 + 0.6*ZS9
KZ141	ZS1 + ZS5
KZ142	ZS1 + ZS2 + ZS5
KZ143	ZS1 + ZS2 + ZS3 + ZS5
KZ144	ZS1 + ZS3 + ZS5
KZ145	ZS1 + ZS2 + ZS5 + 0.6*ZS6
KZ146	ZS1 + ZS2 + ZS5 + 0.6*ZS7
KZ147	ZS1 + ZS2 + ZS5 + 0.6*ZS8
KZ148	ZS1 + ZS2 + ZS5 + 0.6*ZS9
KZ149	ZS1 + ZS2 + ZS3 + ZS5 + 0.6*ZS6
KZ150	ZS1 + ZS2 + ZS3 + ZS5 + 0.6*ZS7
KZ151	ZS1 + ZS2 + ZS3 + ZS5 + 0.6*ZS8
KZ152	ZS1 + ZS2 + ZS3 + ZS5 + 0.6*ZS9
KZ153	ZS1 + ZS3 + ZS5 + 0.6*ZS6
KZ154	ZS1 + ZS3 + ZS5 + 0.6*ZS7
KZ155	ZS1 + ZS3 + ZS5 + 0.6*ZS8
KZ156	ZS1 + ZS3 + ZS5 + 0.6*ZS9
KZ157	ZS1 + ZS5 + 0.6*ZS6
KZ158	ZS1 + ZS5 + 0.6*ZS7
KZ159	ZS1 + ZS5 + 0.6*ZS8
KZ160	ZS1 + ZS5 + 0.6*ZS9
KZ161	ZS1 + ZS6
KZ162	ZS1 + ZS7
KZ163	ZS1 + ZS8
KZ164	ZS1 + ZS9
KZ165	ZS1 + ZS2 + ZS6
KZ166	ZS1 + ZS2 + ZS7
KZ167	ZS1 + ZS2 + ZS8
KZ168	ZS1 + ZS2 + ZS9
KZ169	ZS1 + ZS2 + ZS3 + ZS6



Projekt: 2024

Model: POZARNÍ VEZ

Datum: 10.05.2024

NAVRH KROVU 2024

DYSINA - SUSENI HADIC

1.1 ZÁKLADNÍ ÚDAJE

	KZ170	VS1 + VS2 + VS3 + VS7
	KZ171	VS1 + VS2 + VS3 + VS8
	KZ172	VS1 + VS2 + VS3 + VS9
	KZ173	VS1 + VS3 + VS6
	KZ174	VS1 + VS3 + VS7
	KZ175	VS1 + VS3 + VS8
	KZ176	VS1 + VS3 + VS9
	KZ177	VS1 + VS2 + 0.5*VS5 + VS6
	KZ178	VS1 + VS2 + 0.5*VS5 + VS7
	KZ179	VS1 + VS2 + 0.5*VS5 + VS8
	KZ180	VS1 + VS2 + 0.5*VS5 + VS9
	KZ181	VS1 + VS2 + VS3 + 0.5*VS5 + VS6
	KZ182	VS1 + VS2 + VS3 + 0.5*VS5 + VS7
	KZ183	VS1 + VS2 + VS3 + 0.5*VS5 + VS8
	KZ184	VS1 + VS2 + VS3 + 0.5*VS5 + VS9
	KZ185	VS1 + VS3 + 0.5*VS5 + VS6
	KZ186	VS1 + VS3 + 0.5*VS5 + VS7
	KZ187	VS1 + VS3 + 0.5*VS5 + VS8
	KZ188	VS1 + VS3 + 0.5*VS5 + VS9
	KZ189	VS1 + 0.5*VS5 + VS6
	KZ190	VS1 + 0.5*VS5 + VS7
	KZ191	VS1 + 0.5*VS5 + VS8
	KZ192	VS1 + 0.5*VS5 + VS9
	KZ193	VS1
	KZ194	VS1 + VS2
	KZ195	VS1 + VS2 + VS3
	KZ196	VS1 + VS3
	KZ197	VS1 + 0.2*VS5
	KZ198	VS1 + VS2 + 0.2*VS5
	KZ199	VS1 + VS2 + VS3 + 0.2*VS5
	KZ200	VS1 + VS3 + 0.2*VS5
	KZ201	VS1 + 0.2*VS6
	KZ202	VS1 + 0.2*VS7
	KZ203	VS1 + 0.2*VS8
	KZ204	VS1 + 0.2*VS9
	KZ205	VS1 + VS2 + 0.2*VS6
	KZ206	VS1 + VS2 + 0.2*VS7
	KZ207	VS1 + VS2 + 0.2*VS8
	KZ208	VS1 + VS2 + 0.2*VS9
	KZ209	VS1 + VS2 + VS3 + 0.2*VS6
	KZ210	VS1 + VS2 + VS3 + 0.2*VS7
	KZ211	VS1 + VS2 + VS3 + 0.2*VS8
	KZ212	VS1 + VS2 + VS3 + 0.2*VS9
	KZ213	VS1 + VS3 + 0.2*VS6
	KZ214	VS1 + VS3 + 0.2*VS7
	KZ215	VS1 + VS3 + 0.2*VS8
	KZ216	VS1 + VS3 + 0.2*VS9
	KZ217	VS1
	KZ218	VS1 + VS2
	KZ219	VS1 + VS2 + VS3
	KZ220	VS1 + VS3
Kombinace výsledků k posouzení:	KV1	MSÚ (STR/GEO) - stálá / přechodná - rovn. 6.10
	KV2	MSP - charakteristická
	KV3	MSP - častá
	KV4	MSP - kvazistálá
Posouzení mezního stavu použitelnosti		
Zatěžovací stavy k posouzení:	VS1	Vlastní tíha
	VS2	Střešní plášť
	VS3	Stěnový plášť
	VS4	Střecha - údržba
	VS5	Sníh
	VS6	Vítr ve směru osy +X
	VS7	Vítr ve směru osy -X
	VS8	Vítr ve směru osy +Y
	VS9	Vítr ve směru osy -Y
Kombinace zatížení k posouzení:	KZ1	1.35*VS1
	KZ2	1.35*VS1 + 1.35*VS2
	KZ3	1.35*VS1 + 1.35*VS2 + 1.35*VS3
	KZ4	1.35*VS1 + 1.35*VS3
	KZ5	1.35*VS1 + 1.5*VS4
	KZ6	1.35*VS1 + 1.35*VS2 + 1.5*VS4
	KZ7	1.35*VS1 + 1.35*VS2 + 1.35*VS3 + 1.5*VS4
	KZ8	1.35*VS1 + 1.35*VS3 + 1.5*VS4
	KZ9	1.35*VS1 + 1.35*VS2 + 1.5*VS4 + 0.75*VS5
	KZ10	1.35*VS1 + 1.35*VS2 + 1.35*VS3 + 1.5*VS4 + 0.75*VS5
	KZ11	1.35*VS1 + 1.35*VS3 + 1.5*VS4 + 0.75*VS5
	KZ12	1.35*VS1 + 1.35*VS2 + 1.5*VS4 + 0.75*VS5 + 0.9*VS6
	KZ13	1.35*VS1 + 1.35*VS2 + 1.5*VS4 + 0.75*VS5 + 0.9*VS7
	KZ14	1.35*VS1 + 1.35*VS2 + 1.5*VS4 + 0.75*VS5 + 0.9*VS8
	KZ15	1.35*VS1 + 1.35*VS2 + 1.5*VS4 + 0.75*VS5 + 0.9*VS9
	KZ16	1.35*VS1 + 1.35*VS2 + 1.35*VS3 + 1.5*VS4 + 0.75*VS5 + 0.9*VS6
	KZ17	1.35*VS1 + 1.35*VS2 + 1.35*VS3 + 1.5*VS4 + 0.75*VS5 + 0.9*VS7
	KZ18	1.35*VS1 + 1.35*VS2 + 1.35*VS3 + 1.5*VS4 + 0.75*VS5 + 0.9*VS8
	KZ19	1.35*VS1 + 1.35*VS2 + 1.35*VS3 + 1.5*VS4 + 0.75*VS5 + 0.9*VS9
	KZ20	1.35*VS1 + 1.35*VS3 + 1.5*VS4 + 0.75*VS5 + 0.9*VS6
	KZ21	1.35*VS1 + 1.35*VS3 + 1.5*VS4 + 0.75*VS5 + 0.9*VS7



Projekt: 2024

NAVRH KROVU 2024

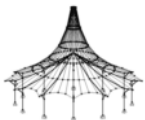
Model: POZARNÍ VEZ

DYSINA - SUSENÍ HADIC

Datum: 10.05.2024

1.1 ZÁKLADNÍ ÚDAJE

KZ22	1.35*ZS1 + 1.35*ZS3 + 1.5*ZS4 + 0.75*ZS5 + 0.9*ZS8
KZ23	1.35*ZS1 + 1.35*ZS3 + 1.5*ZS4 + 0.75*ZS5 + 0.9*ZS9
KZ24	1.35*ZS1 + 1.35*ZS2 + 1.5*ZS4 + 0.9*ZS6
KZ25	1.35*ZS1 + 1.35*ZS2 + 1.5*ZS4 + 0.9*ZS7
KZ26	1.35*ZS1 + 1.35*ZS2 + 1.5*ZS4 + 0.9*ZS8
KZ27	1.35*ZS1 + 1.35*ZS2 + 1.5*ZS4 + 0.9*ZS9
KZ28	1.35*ZS1 + 1.35*ZS2 + 1.35*ZS3 + 1.5*ZS4 + 0.9*ZS6
KZ29	1.35*ZS1 + 1.35*ZS2 + 1.35*ZS3 + 1.5*ZS4 + 0.9*ZS7
KZ30	1.35*ZS1 + 1.35*ZS2 + 1.35*ZS3 + 1.5*ZS4 + 0.9*ZS8
KZ31	1.35*ZS1 + 1.35*ZS2 + 1.35*ZS3 + 1.5*ZS4 + 0.9*ZS9
KZ32	1.35*ZS1 + 1.35*ZS3 + 1.5*ZS4 + 0.9*ZS6
KZ33	1.35*ZS1 + 1.35*ZS3 + 1.5*ZS4 + 0.9*ZS7
KZ34	1.35*ZS1 + 1.35*ZS3 + 1.5*ZS4 + 0.9*ZS8
KZ35	1.35*ZS1 + 1.35*ZS3 + 1.5*ZS4 + 0.9*ZS9
KZ36	1.35*ZS1 + 1.5*ZS4 + 0.75*ZS5
KZ37	1.35*ZS1 + 1.5*ZS4 + 0.75*ZS5 + 0.9*ZS6
KZ38	1.35*ZS1 + 1.5*ZS4 + 0.75*ZS5 + 0.9*ZS7
KZ39	1.35*ZS1 + 1.5*ZS4 + 0.75*ZS5 + 0.9*ZS8
KZ40	1.35*ZS1 + 1.5*ZS4 + 0.75*ZS5 + 0.9*ZS9
KZ41	1.35*ZS1 + 1.5*ZS4 + 0.9*ZS6
KZ42	1.35*ZS1 + 1.5*ZS4 + 0.9*ZS7
KZ43	1.35*ZS1 + 1.5*ZS4 + 0.9*ZS8
KZ44	1.35*ZS1 + 1.5*ZS4 + 0.9*ZS9
KZ45	1.35*ZS1 + 1.5*ZS5
KZ46	1.35*ZS1 + 1.35*ZS2 + 1.5*ZS5
KZ47	1.35*ZS1 + 1.35*ZS2 + 1.35*ZS3 + 1.5*ZS5
KZ48	1.35*ZS1 + 1.35*ZS3 + 1.5*ZS5
KZ49	1.35*ZS1 + 1.35*ZS2 + 1.5*ZS5 + 0.9*ZS6
KZ50	1.35*ZS1 + 1.35*ZS2 + 1.5*ZS5 + 0.9*ZS7
KZ51	1.35*ZS1 + 1.35*ZS2 + 1.5*ZS5 + 0.9*ZS8
KZ52	1.35*ZS1 + 1.35*ZS2 + 1.5*ZS5 + 0.9*ZS9
KZ53	1.35*ZS1 + 1.35*ZS2 + 1.35*ZS3 + 1.5*ZS5 + 0.9*ZS6
KZ54	1.35*ZS1 + 1.35*ZS2 + 1.35*ZS3 + 1.5*ZS5 + 0.9*ZS7
KZ55	1.35*ZS1 + 1.35*ZS2 + 1.35*ZS3 + 1.5*ZS5 + 0.9*ZS8
KZ56	1.35*ZS1 + 1.35*ZS2 + 1.35*ZS3 + 1.5*ZS5 + 0.9*ZS9
KZ57	1.35*ZS1 + 1.35*ZS3 + 1.5*ZS5 + 0.9*ZS6
KZ58	1.35*ZS1 + 1.35*ZS3 + 1.5*ZS5 + 0.9*ZS7
KZ59	1.35*ZS1 + 1.35*ZS3 + 1.5*ZS5 + 0.9*ZS8
KZ60	1.35*ZS1 + 1.35*ZS3 + 1.5*ZS5 + 0.9*ZS9
KZ61	1.35*ZS1 + 1.5*ZS5 + 0.9*ZS6
KZ62	1.35*ZS1 + 1.5*ZS5 + 0.9*ZS7
KZ63	1.35*ZS1 + 1.5*ZS5 + 0.9*ZS8
KZ64	1.35*ZS1 + 1.5*ZS5 + 0.9*ZS9
KZ65	1.35*ZS1 + 1.5*ZS6
KZ66	1.35*ZS1 + 1.5*ZS7
KZ67	1.35*ZS1 + 1.5*ZS8
KZ68	1.35*ZS1 + 1.5*ZS9
KZ69	1.35*ZS1 + 1.35*ZS2 + 1.5*ZS6
KZ70	1.35*ZS1 + 1.35*ZS2 + 1.5*ZS7
KZ71	1.35*ZS1 + 1.35*ZS2 + 1.5*ZS8
KZ72	1.35*ZS1 + 1.35*ZS2 + 1.5*ZS9
KZ73	1.35*ZS1 + 1.35*ZS2 + 1.35*ZS3 + 1.5*ZS6
KZ74	1.35*ZS1 + 1.35*ZS2 + 1.35*ZS3 + 1.5*ZS7
KZ75	1.35*ZS1 + 1.35*ZS2 + 1.35*ZS3 + 1.5*ZS8
KZ76	1.35*ZS1 + 1.35*ZS2 + 1.35*ZS3 + 1.5*ZS9
KZ77	1.35*ZS1 + 1.35*ZS3 + 1.5*ZS6
KZ78	1.35*ZS1 + 1.35*ZS3 + 1.5*ZS7
KZ79	1.35*ZS1 + 1.35*ZS3 + 1.5*ZS8
KZ80	1.35*ZS1 + 1.35*ZS3 + 1.5*ZS9
KZ81	1.35*ZS1 + 1.35*ZS2 + 0.75*ZS5 + 1.5*ZS6
KZ82	1.35*ZS1 + 1.35*ZS2 + 0.75*ZS5 + 1.5*ZS7
KZ83	1.35*ZS1 + 1.35*ZS2 + 0.75*ZS5 + 1.5*ZS8
KZ84	1.35*ZS1 + 1.35*ZS2 + 0.75*ZS5 + 1.5*ZS9
KZ85	1.35*ZS1 + 1.35*ZS2 + 1.35*ZS3 + 0.75*ZS5 + 1.5*ZS6
KZ86	1.35*ZS1 + 1.35*ZS2 + 1.35*ZS3 + 0.75*ZS5 + 1.5*ZS7
KZ87	1.35*ZS1 + 1.35*ZS2 + 1.35*ZS3 + 0.75*ZS5 + 1.5*ZS8
KZ88	1.35*ZS1 + 1.35*ZS2 + 1.35*ZS3 + 0.75*ZS5 + 1.5*ZS9
KZ89	1.35*ZS1 + 1.35*ZS3 + 0.75*ZS5 + 1.5*ZS6
KZ90	1.35*ZS1 + 1.35*ZS3 + 0.75*ZS5 + 1.5*ZS7
KZ91	1.35*ZS1 + 1.35*ZS3 + 0.75*ZS5 + 1.5*ZS8
KZ92	1.35*ZS1 + 1.35*ZS3 + 0.75*ZS5 + 1.5*ZS9
KZ93	1.35*ZS1 + 0.75*ZS5 + 1.5*ZS6
KZ94	1.35*ZS1 + 0.75*ZS5 + 1.5*ZS7
KZ95	1.35*ZS1 + 0.75*ZS5 + 1.5*ZS8
KZ96	1.35*ZS1 + 0.75*ZS5 + 1.5*ZS9
KZ97	ZS1
KZ98	ZS1 + ZS2
KZ99	ZS1 + ZS2 + ZS3
KZ100	ZS1 + ZS3
KZ101	ZS1 + ZS4
KZ102	ZS1 + ZS2 + ZS4
KZ103	ZS1 + ZS2 + ZS3 + ZS4
KZ104	ZS1 + ZS3 + ZS4
KZ105	ZS1 + ZS2 + ZS4 + 0.5*ZS5
KZ106	ZS1 + ZS2 + ZS3 + ZS4 + 0.5*ZS5
KZ107	ZS1 + ZS3 + ZS4 + 0.5*ZS5
KZ108	ZS1 + ZS2 + ZS4 + 0.5*ZS5 + 0.6*ZS6
KZ109	ZS1 + ZS2 + ZS4 + 0.5*ZS5 + 0.6*ZS7
KZ110	ZS1 + ZS2 + ZS4 + 0.5*ZS5 + 0.6*ZS8
KZ111	ZS1 + ZS2 + ZS4 + 0.5*ZS5 + 0.6*ZS9
KZ112	ZS1 + ZS2 + ZS3 + ZS4 + 0.5*ZS5 + 0.6*ZS6
KZ113	ZS1 + ZS2 + ZS3 + ZS4 + 0.5*ZS5 + 0.6*ZS7
KZ114	ZS1 + ZS2 + ZS3 + ZS4 + 0.5*ZS5 + 0.6*ZS8



Projekt: 2024
NAVRH KROVU 2024

Model: POZARNÍ VEZ
DYSINA - SUSENÍ HADIC

Datum: 10.05.2024

1.1 ZÁKLADNÍ ÚDAJE

KZ115	ZS1 + ZS2 + ZS3 + ZS4 + 0.5*ZS5 + 0.6*ZS9
KZ116	ZS1 + ZS3 + ZS4 + 0.5*ZS5 + 0.6*ZS6
KZ117	ZS1 + ZS3 + ZS4 + 0.5*ZS5 + 0.6*ZS7
KZ118	ZS1 + ZS3 + ZS4 + 0.5*ZS5 + 0.6*ZS8
KZ119	ZS1 + ZS3 + ZS4 + 0.5*ZS5 + 0.6*ZS9
KZ120	ZS1 + ZS2 + ZS4 + 0.6*ZS6
KZ121	ZS1 + ZS2 + ZS4 + 0.6*ZS7
KZ122	ZS1 + ZS2 + ZS4 + 0.6*ZS8
KZ123	ZS1 + ZS2 + ZS4 + 0.6*ZS9
KZ124	ZS1 + ZS2 + ZS3 + ZS4 + 0.6*ZS6
KZ125	ZS1 + ZS2 + ZS3 + ZS4 + 0.6*ZS7
KZ126	ZS1 + ZS2 + ZS3 + ZS4 + 0.6*ZS8
KZ127	ZS1 + ZS2 + ZS3 + ZS4 + 0.6*ZS9
KZ128	ZS1 + ZS3 + ZS4 + 0.6*ZS6
KZ129	ZS1 + ZS3 + ZS4 + 0.6*ZS7
KZ130	ZS1 + ZS3 + ZS4 + 0.6*ZS8
KZ131	ZS1 + ZS3 + ZS4 + 0.6*ZS9
KZ132	ZS1 + ZS4 + 0.5*ZS5
KZ133	ZS1 + ZS4 + 0.5*ZS5 + 0.6*ZS6
KZ134	ZS1 + ZS4 + 0.5*ZS5 + 0.6*ZS7
KZ135	ZS1 + ZS4 + 0.5*ZS5 + 0.6*ZS8
KZ136	ZS1 + ZS4 + 0.5*ZS5 + 0.6*ZS9
KZ137	ZS1 + ZS4 + 0.6*ZS6
KZ138	ZS1 + ZS4 + 0.6*ZS7
KZ139	ZS1 + ZS4 + 0.6*ZS8
KZ140	ZS1 + ZS4 + 0.6*ZS9
KZ141	ZS1 + ZS5
KZ142	ZS1 + ZS2 + ZS5
KZ143	ZS1 + ZS2 + ZS3 + ZS5
KZ144	ZS1 + ZS3 + ZS5
KZ145	ZS1 + ZS2 + ZS5 + 0.6*ZS6
KZ146	ZS1 + ZS2 + ZS5 + 0.6*ZS7
KZ147	ZS1 + ZS2 + ZS5 + 0.6*ZS8
KZ148	ZS1 + ZS2 + ZS5 + 0.6*ZS9
KZ149	ZS1 + ZS2 + ZS3 + ZS5 + 0.6*ZS6
KZ150	ZS1 + ZS2 + ZS3 + ZS5 + 0.6*ZS7
KZ151	ZS1 + ZS2 + ZS3 + ZS5 + 0.6*ZS8
KZ152	ZS1 + ZS2 + ZS3 + ZS5 + 0.6*ZS9
KZ153	ZS1 + ZS3 + ZS5 + 0.6*ZS6
KZ154	ZS1 + ZS3 + ZS5 + 0.6*ZS7
KZ155	ZS1 + ZS3 + ZS5 + 0.6*ZS8
KZ156	ZS1 + ZS3 + ZS5 + 0.6*ZS9
KZ157	ZS1 + ZS5 + 0.6*ZS6
KZ158	ZS1 + ZS5 + 0.6*ZS7
KZ159	ZS1 + ZS5 + 0.6*ZS8
KZ160	ZS1 + ZS5 + 0.6*ZS9
KZ161	ZS1 + ZS6
KZ162	ZS1 + ZS7
KZ163	ZS1 + ZS8
KZ164	ZS1 + ZS9
KZ165	ZS1 + ZS2 + ZS6
KZ166	ZS1 + ZS2 + ZS7
KZ167	ZS1 + ZS2 + ZS8
KZ168	ZS1 + ZS2 + ZS9
KZ169	ZS1 + ZS2 + ZS3 + ZS6
KZ170	ZS1 + ZS2 + ZS3 + ZS7
KZ171	ZS1 + ZS2 + ZS3 + ZS8
KZ172	ZS1 + ZS2 + ZS3 + ZS9
KZ173	ZS1 + ZS3 + ZS6
KZ174	ZS1 + ZS3 + ZS7
KZ175	ZS1 + ZS3 + ZS8
KZ176	ZS1 + ZS3 + ZS9
KZ177	ZS1 + ZS2 + 0.5*ZS5 + ZS6
KZ178	ZS1 + ZS2 + 0.5*ZS5 + ZS7
KZ179	ZS1 + ZS2 + 0.5*ZS5 + ZS8
KZ180	ZS1 + ZS2 + 0.5*ZS5 + ZS9
KZ181	ZS1 + ZS2 + ZS3 + 0.5*ZS5 + ZS6
KZ182	ZS1 + ZS2 + ZS3 + 0.5*ZS5 + ZS7
KZ183	ZS1 + ZS2 + ZS3 + 0.5*ZS5 + ZS8
KZ184	ZS1 + ZS2 + ZS3 + 0.5*ZS5 + ZS9
KZ185	ZS1 + ZS3 + 0.5*ZS5 + ZS6
KZ186	ZS1 + ZS3 + 0.5*ZS5 + ZS7
KZ187	ZS1 + ZS3 + 0.5*ZS5 + ZS8
KZ188	ZS1 + ZS3 + 0.5*ZS5 + ZS9
KZ189	ZS1 + 0.5*ZS5 + ZS6
KZ190	ZS1 + 0.5*ZS5 + ZS7
KZ191	ZS1 + 0.5*ZS5 + ZS8
KZ192	ZS1 + 0.5*ZS5 + ZS9
KZ193	ZS1
KZ194	ZS1 + ZS2
KZ195	ZS1 + ZS2 + ZS3
KZ196	ZS1 + ZS3
KZ197	ZS1 + 0.2*ZS5
KZ198	ZS1 + ZS2 + 0.2*ZS5
KZ199	ZS1 + ZS2 + ZS3 + 0.2*ZS5
KZ200	ZS1 + ZS3 + 0.2*ZS5
KZ201	ZS1 + 0.2*ZS6
KZ202	ZS1 + 0.2*ZS7
KZ203	ZS1 + 0.2*ZS8
KZ204	ZS1 + 0.2*ZS9
KZ205	ZS1 + ZS2 + 0.2*ZS6
KZ206	ZS1 + ZS2 + 0.2*ZS7
KZ207	ZS1 + ZS2 + 0.2*ZS8



Projekt: 2024

NAVRH KROVU 2024

Model: POZARNÍ VEZ

DYSINA - SUSENÍ HADIC

Datum: 10.05.2024

1.1 ZÁKLADNÍ ÚDAJE

Kombinace výsledků k posouzení:

KZ208	KS1 + KS2 + 0.2*KS9
KZ209	KS1 + KS2 + KS3 + 0.2*KS6
KZ210	KS1 + KS2 + KS3 + 0.2*KS7
KZ211	KS1 + KS2 + KS3 + 0.2*KS8
KZ212	KS1 + KS2 + KS3 + 0.2*KS9
KZ213	KS1 + KS3 + 0.2*KS6
KZ214	KS1 + KS3 + 0.2*KS7
KZ215	KS1 + KS3 + 0.2*KS8
KZ216	KS1 + KS3 + 0.2*KS9
KZ217	KS1
KZ218	KS1 + KS2
KZ219	KS1 + KS2 + KS3
KZ220	KS1 + KS3
KV1	MSÚ (STR/GEO) - stálá / přechodná - rovn. 6.10
KV2	MSP - charakteristická
KV3	MSP - částá
KV4	MSP - kvazistálá

1.2 MATERIÁLY

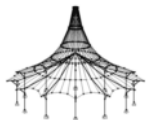
Materiál - č.	Označení materiálu	Modul pruž. E [MPa]	Smykový modul G [MPa]	Poissonův součinitel n [-]	Mez kluzu f_{yk} [MPa]	Max. tloušťka dílce t [mm]
1	Ocel S 235 EN 1993-1-1:2005-05	210000.000	80769.200	0.300	235.000	40.0
					215.000	80.0

1.3 PRŮŘEZY

Průř. č.	Materiál - č.	Označení průřezu	Typ průřezu pro klasifikaci	Max. návrhové využití	Komentář
1	1	HEB 160	I-profil válcov.	0.18	
2	1	2UK UPE 100 Ferona - DIN 1026-2	Obecné	0.46	
3	1	Typ Obecný - možná pouze třída 3 2UK UPE 120 Ferona - DIN 1026-2	Obecné	0.34	
4	1	Typ Obecný - možná pouze třída 3 RO 76.1x5.0 (tvar. za tepla)	Trubka	0.82	
5	1	2UK UPE 120 Ferona - DIN 1026-2	Obecné	0.40	
		Typ Obecný - možná pouze třída 3			

1.5 VZPĚRNÉ DÉLKY - PRUTY

Prut č.	Vzpěr možný	Vzpěr okolo osy y			Vzpěr okolo osy z			možné	Klopení				
	možný	$k_{cr,y}$	$L_{cr,y}$ [m]	možný	$k_{cr,z}$	$L_{cr,z}$ [m]	k_z		k_w	L_w [m]	L_T [m]		
1	<input checked="" type="checkbox"/>	<input checked="" type="checkbox"/>	1.00	3.000	<input checked="" type="checkbox"/>	1.00	3.000	<input type="checkbox"/>	1.0	1.0	3.000	3.000	
2	<input checked="" type="checkbox"/>	<input checked="" type="checkbox"/>	1.00	3.000	<input checked="" type="checkbox"/>	1.00	3.000	<input type="checkbox"/>	1.0	1.0	3.000	3.000	
3	<input checked="" type="checkbox"/>	<input checked="" type="checkbox"/>	1.00	3.000	<input checked="" type="checkbox"/>	1.00	3.000	<input type="checkbox"/>	1.0	1.0	3.000	3.000	
4	<input checked="" type="checkbox"/>	<input checked="" type="checkbox"/>	1.00	3.000	<input checked="" type="checkbox"/>	1.00	3.000	<input type="checkbox"/>	1.0	1.0	3.000	3.000	
5	<input checked="" type="checkbox"/>	<input checked="" type="checkbox"/>	1.00	0.787	<input checked="" type="checkbox"/>	1.00	0.787	<input type="checkbox"/>	1.0	1.0	0.787	0.787	
6	<input checked="" type="checkbox"/>	<input checked="" type="checkbox"/>	1.00	2.360	<input checked="" type="checkbox"/>	1.00	2.360	<input type="checkbox"/>	1.0	1.0	2.360	2.360	
7	<input checked="" type="checkbox"/>	<input checked="" type="checkbox"/>	1.00	0.787	<input checked="" type="checkbox"/>	1.00	0.787	<input type="checkbox"/>	1.0	1.0	0.787	0.787	
8	<input checked="" type="checkbox"/>	<input checked="" type="checkbox"/>	1.00	2.360	<input checked="" type="checkbox"/>	1.00	2.360	<input type="checkbox"/>	1.0	1.0	2.360	2.360	
9	<input checked="" type="checkbox"/>	<input checked="" type="checkbox"/>	1.00	3.000	<input checked="" type="checkbox"/>	1.00	3.000	<input type="checkbox"/>	1.0	1.0	3.000	3.000	
10	<input checked="" type="checkbox"/>	<input checked="" type="checkbox"/>	1.00	3.000	<input checked="" type="checkbox"/>	1.00	3.000	<input type="checkbox"/>	1.0	1.0	3.000	3.000	
11	<input checked="" type="checkbox"/>	<input checked="" type="checkbox"/>	1.00	3.000	<input checked="" type="checkbox"/>	1.00	3.000	<input type="checkbox"/>	1.0	1.0	3.000	3.000	
12	<input checked="" type="checkbox"/>	<input checked="" type="checkbox"/>	1.00	3.000	<input checked="" type="checkbox"/>	1.00	3.000	<input type="checkbox"/>	1.0	1.0	3.000	3.000	
13	<input checked="" type="checkbox"/>	<input checked="" type="checkbox"/>	1.00	3.000	<input checked="" type="checkbox"/>	1.00	3.000	<input type="checkbox"/>	1.0	1.0	3.000	3.000	
14	<input checked="" type="checkbox"/>	<input checked="" type="checkbox"/>	1.00	3.000	<input checked="" type="checkbox"/>	1.00	3.000	<input type="checkbox"/>	1.0	1.0	3.000	3.000	
15	<input checked="" type="checkbox"/>	<input checked="" type="checkbox"/>	1.00	3.000	<input checked="" type="checkbox"/>	1.00	3.000	<input type="checkbox"/>	1.0	1.0	3.000	3.000	
16	<input checked="" type="checkbox"/>	<input checked="" type="checkbox"/>	1.00	3.000	<input checked="" type="checkbox"/>	1.00	3.000	<input type="checkbox"/>	1.0	1.0	3.000	3.000	
17	<input checked="" type="checkbox"/>	<input checked="" type="checkbox"/>	1.00	3.000	<input checked="" type="checkbox"/>	1.00	3.000	<input type="checkbox"/>	1.0	1.0	3.000	3.000	
18	<input checked="" type="checkbox"/>	<input checked="" type="checkbox"/>	1.00	3.000	<input checked="" type="checkbox"/>	1.00	3.000	<input type="checkbox"/>	1.0	1.0	3.000	3.000	
19	<input checked="" type="checkbox"/>	<input checked="" type="checkbox"/>	1.00	3.000	<input checked="" type="checkbox"/>	1.00	3.000	<input type="checkbox"/>	1.0	1.0	3.000	3.000	
20	<input checked="" type="checkbox"/>	<input checked="" type="checkbox"/>	1.00	3.000	<input checked="" type="checkbox"/>	1.00	3.000	<input type="checkbox"/>	1.0	1.0	3.000	3.000	
21	<input checked="" type="checkbox"/>	<input checked="" type="checkbox"/>	1.00	2.360	<input checked="" type="checkbox"/>	1.00	2.360	<input type="checkbox"/>	1.0	1.0	2.360	2.360	
22	<input checked="" type="checkbox"/>	<input checked="" type="checkbox"/>	1.00	2.360	<input checked="" type="checkbox"/>	1.00	2.360	<input type="checkbox"/>	1.0	1.0	2.360	2.360	
23	<input checked="" type="checkbox"/>	<input checked="" type="checkbox"/>	1.00	2.360	<input checked="" type="checkbox"/>	1.00	2.360	<input type="checkbox"/>	1.0	1.0	2.360	2.360	
24	<input checked="" type="checkbox"/>	<input checked="" type="checkbox"/>	1.00	2.360	<input checked="" type="checkbox"/>	1.00	2.360	<input type="checkbox"/>	1.0	1.0	2.360	2.360	
25	<input checked="" type="checkbox"/>	<input checked="" type="checkbox"/>	1.00	2.360	<input checked="" type="checkbox"/>	1.00	2.360	<input type="checkbox"/>	1.0	1.0	2.360	2.360	
26	<input checked="" type="checkbox"/>	<input checked="" type="checkbox"/>	1.00	2.360	<input checked="" type="checkbox"/>	1.00	2.360	<input type="checkbox"/>	1.0	1.0	2.360	2.360	
27	<input checked="" type="checkbox"/>	<input checked="" type="checkbox"/>	1.00	0.787	<input checked="" type="checkbox"/>	1.00	0.787	<input type="checkbox"/>	1.0	1.0	0.787	0.787	
28	<input checked="" type="checkbox"/>	<input checked="" type="checkbox"/>	1.00	0.787	<input checked="" type="checkbox"/>	1.00	0.787	<input type="checkbox"/>	1.0	1.0	0.787	0.787	
29	<input checked="" type="checkbox"/>	<input checked="" type="checkbox"/>	1.00	0.787	<input checked="" type="checkbox"/>	1.00	0.787	<input type="checkbox"/>	1.0	1.0	0.787	0.787	
30	<input checked="" type="checkbox"/>	<input checked="" type="checkbox"/>	1.00	0.787	<input checked="" type="checkbox"/>	1.00	0.787	<input type="checkbox"/>	1.0	1.0	0.787	0.787	
31	<input checked="" type="checkbox"/>	<input checked="" type="checkbox"/>	1.00	2.360	<input checked="" type="checkbox"/>	1.00	2.360	<input type="checkbox"/>	1.0	1.0	2.360	2.360	
32	<input checked="" type="checkbox"/>	<input checked="" type="checkbox"/>	1.00	2.360	<input checked="" type="checkbox"/>	1.00	2.360	<input type="checkbox"/>	1.0	1.0	2.360	2.360	
33	<input checked="" type="checkbox"/>	<input checked="" type="checkbox"/>	1.00	2.360	<input checked="" type="checkbox"/>	1.00	2.360	<input type="checkbox"/>	1.0	1.0	2.360	2.360	
34	<input checked="" type="checkbox"/>	<input checked="" type="checkbox"/>	1.00	2.360	<input checked="" type="checkbox"/>	1.00	2.360	<input type="checkbox"/>	1.0	1.0	2.360	2.360	
35	<input checked="" type="checkbox"/>	<input checked="" type="checkbox"/>	1.00	2.360	<input checked="" type="checkbox"/>	1.00	2.360	<input type="checkbox"/>	1.0	1.0	2.360	2.360	
36	<input checked="" type="checkbox"/>	<input checked="" type="checkbox"/>	1.00	2.360	<input checked="" type="checkbox"/>	1.00	2.360	<input type="checkbox"/>	1.0	1.0	2.360	2.360	
37	<input checked="" type="checkbox"/>	<input checked="" type="checkbox"/>	1.00	2.360	<input checked="" type="checkbox"/>	1.00	2.360	<input type="checkbox"/>	1.0	1.0	2.360	2.360	
38	<input checked="" type="checkbox"/>	<input checked="" type="checkbox"/>	1.00	2.360	<input checked="" type="checkbox"/>	1.00	2.360	<input type="checkbox"/>	1.0	1.0	2.360	2.360	
39	<input checked="" type="checkbox"/>	<input checked="" type="checkbox"/>	1.00	3.817	<input checked="" type="checkbox"/>	1.00	3.817	<input type="checkbox"/>	1.0	1.0	3.817	3.817	
40	<input checked="" type="checkbox"/>	<input checked="" type="checkbox"/>	1.00	3.817	<input checked="" type="checkbox"/>	1.00	3.817	<input type="checkbox"/>	1.0	1.0	3.817	3.817	



Projekt: 2024 Model: POZARNÍ VEZ
NAVRH KROVU 2024 DYSINA - SUSENI HADIC

Datum: 10.05.2024

1.5 VZPĚRNÉ DÉLKY - PRUTY

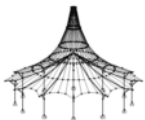
Prut č.	Vzpěr možný	Vzpěr okolo osy y			Vzpěr okolo osy z			možné	Klopení			
		možný	$k_{cr,y}$	$L_{cr,y}$ [m]	možný	$k_{cr,z}$	$L_{cr,z}$ [m]		k_z	k_w	L_w [m]	L_T [m]
41	<input checked="" type="checkbox"/>	<input checked="" type="checkbox"/>	1.00	3.817	<input checked="" type="checkbox"/>	1.00	3.817	<input type="checkbox"/>	1.0	1.0	3.817	3.817
42	<input checked="" type="checkbox"/>	<input checked="" type="checkbox"/>	1.00	3.817	<input checked="" type="checkbox"/>	1.00	3.817	<input type="checkbox"/>	1.0	1.0	3.817	3.817
43	<input checked="" type="checkbox"/>	<input checked="" type="checkbox"/>	1.00	3.817	<input checked="" type="checkbox"/>	1.00	3.817	<input type="checkbox"/>	1.0	1.0	3.817	3.817
44	<input checked="" type="checkbox"/>	<input checked="" type="checkbox"/>	1.00	3.817	<input checked="" type="checkbox"/>	1.00	3.817	<input type="checkbox"/>	1.0	1.0	3.817	3.817
45	<input checked="" type="checkbox"/>	<input checked="" type="checkbox"/>	1.00	3.817	<input checked="" type="checkbox"/>	1.00	3.817	<input type="checkbox"/>	1.0	1.0	3.817	3.817
46	<input checked="" type="checkbox"/>	<input checked="" type="checkbox"/>	1.00	3.817	<input checked="" type="checkbox"/>	1.00	3.817	<input type="checkbox"/>	1.0	1.0	3.817	3.817
47	<input checked="" type="checkbox"/>	<input checked="" type="checkbox"/>	1.00	3.817	<input checked="" type="checkbox"/>	1.00	3.817	<input type="checkbox"/>	1.0	1.0	3.817	3.817
48	<input checked="" type="checkbox"/>	<input checked="" type="checkbox"/>	1.00	3.817	<input checked="" type="checkbox"/>	1.00	3.817	<input type="checkbox"/>	1.0	1.0	3.817	3.817
49	<input checked="" type="checkbox"/>	<input checked="" type="checkbox"/>	1.00	3.817	<input checked="" type="checkbox"/>	1.00	3.817	<input type="checkbox"/>	1.0	1.0	3.817	3.817
50	<input checked="" type="checkbox"/>	<input checked="" type="checkbox"/>	1.00	3.817	<input checked="" type="checkbox"/>	1.00	3.817	<input type="checkbox"/>	1.0	1.0	3.817	3.817
51	<input checked="" type="checkbox"/>	<input checked="" type="checkbox"/>	1.00	3.817	<input checked="" type="checkbox"/>	1.00	3.817	<input type="checkbox"/>	1.0	1.0	3.817	3.817
52	<input checked="" type="checkbox"/>	<input checked="" type="checkbox"/>	1.00	3.817	<input checked="" type="checkbox"/>	1.00	3.817	<input type="checkbox"/>	1.0	1.0	3.817	3.817
53	<input checked="" type="checkbox"/>	<input checked="" type="checkbox"/>	1.00	3.817	<input checked="" type="checkbox"/>	1.00	3.817	<input type="checkbox"/>	1.0	1.0	3.817	3.817

1.9 ÚDAJE PRO POSOUZENÍ POUŽITELNOSTI

č.	Vztaženo na	Pruty/Sady č.	Vztažná délka		Směr	Nadvýšení e_0 [mm]	Typ nosníku
			Ručně	l [m]			
1	Prut	1	<input type="checkbox"/>	3.000	y, z	0.0	Nosník
2	Prut	2	<input type="checkbox"/>	3.000	y, z	0.0	Nosník
3	Prut	3	<input type="checkbox"/>	3.000	y, z	0.0	Nosník
4	Prut	4	<input type="checkbox"/>	3.000	y, z	0.0	Nosník
5	Prut	5	<input type="checkbox"/>	0.787	y, z	0.0	Nosník
6	Prut	6	<input type="checkbox"/>	2.360	y, z	0.0	Nosník
7	Prut	7	<input type="checkbox"/>	0.787	y, z	0.0	Nosník
8	Prut	8	<input type="checkbox"/>	2.360	y, z	0.0	Nosník
9	Prut	9	<input type="checkbox"/>	3.000	y, z	0.0	Nosník
10	Prut	10	<input type="checkbox"/>	3.000	y, z	0.0	Nosník
11	Prut	11	<input type="checkbox"/>	3.000	y, z	0.0	Nosník
12	Prut	12	<input type="checkbox"/>	3.000	y, z	0.0	Nosník
13	Prut	13	<input type="checkbox"/>	3.000	y, z	0.0	Nosník
14	Prut	14	<input type="checkbox"/>	3.000	y, z	0.0	Nosník
15	Prut	15	<input type="checkbox"/>	3.000	y, z	0.0	Nosník
16	Prut	16	<input type="checkbox"/>	3.000	y, z	0.0	Nosník
17	Prut	17	<input type="checkbox"/>	3.000	y, z	0.0	Nosník
18	Prut	18	<input type="checkbox"/>	3.000	y, z	0.0	Nosník
19	Prut	19	<input type="checkbox"/>	3.000	y, z	0.0	Nosník
20	Prut	20	<input type="checkbox"/>	3.000	y, z	0.0	Nosník
21	Prut	21	<input type="checkbox"/>	2.360	y, z	0.0	Nosník
22	Prut	22	<input type="checkbox"/>	2.360	y, z	0.0	Nosník
23	Prut	23	<input type="checkbox"/>	2.360	y, z	0.0	Nosník
24	Prut	24	<input type="checkbox"/>	2.360	y, z	0.0	Nosník
25	Prut	25	<input type="checkbox"/>	2.360	y, z	0.0	Nosník
26	Prut	26	<input type="checkbox"/>	2.360	y, z	0.0	Nosník
27	Prut	27	<input type="checkbox"/>	0.787	y, z	0.0	Nosník
28	Prut	28	<input type="checkbox"/>	0.787	y, z	0.0	Nosník
29	Prut	29	<input type="checkbox"/>	0.787	y, z	0.0	Nosník
30	Prut	30	<input type="checkbox"/>	0.787	y, z	0.0	Nosník
31	Prut	31	<input type="checkbox"/>	2.360	y, z	0.0	Nosník
32	Prut	32	<input type="checkbox"/>	2.360	y, z	0.0	Nosník
33	Prut	33	<input type="checkbox"/>	2.360	y, z	0.0	Nosník
34	Prut	34	<input type="checkbox"/>	2.360	y, z	0.0	Nosník
35	Prut	35	<input type="checkbox"/>	2.360	y, z	0.0	Nosník
36	Prut	36	<input type="checkbox"/>	2.360	y, z	0.0	Nosník
37	Prut	37	<input type="checkbox"/>	2.360	y, z	0.0	Nosník
38	Prut	38	<input type="checkbox"/>	2.360	y, z	0.0	Nosník
39	Prut	39	<input type="checkbox"/>	3.817	y, z	0.0	Nosník
40	Prut	40	<input type="checkbox"/>	3.817	y, z	0.0	Nosník
41	Prut	41	<input type="checkbox"/>	3.817	y, z	0.0	Nosník
42	Prut	42	<input type="checkbox"/>	3.817	y, z	0.0	Nosník
43	Prut	43	<input type="checkbox"/>	3.817	y, z	0.0	Nosník
44	Prut	44	<input type="checkbox"/>	3.817	y, z	0.0	Nosník
45	Prut	45	<input type="checkbox"/>	3.817	y, z	0.0	Nosník
46	Prut	46	<input type="checkbox"/>	3.817	y, z	0.0	Nosník
47	Prut	47	<input type="checkbox"/>	3.817	y, z	0.0	Nosník
48	Prut	48	<input type="checkbox"/>	3.817	y, z	0.0	Nosník
49	Prut	49	<input type="checkbox"/>	3.817	y, z	0.0	Nosník
50	Prut	50	<input type="checkbox"/>	3.817	y, z	0.0	Nosník
51	Prut	51	<input type="checkbox"/>	3.817	y, z	0.0	Nosník
52	Prut	52	<input type="checkbox"/>	3.817	y, z	0.0	Nosník
53	Prut	53	<input type="checkbox"/>	3.817	y, z	0.0	Nosník

1.12 PARAMETRY - PRUTY

Prut č.	Označení	Parametr
1	Průřez	1 - HEB 160
	Smykové pole	<input type="checkbox"/>
	Torzní uložení	<input type="checkbox"/>
	Plocha průřezu pro posouzení napětí	<input type="checkbox"/>
2	Průřez	1 - HEB 160
	Smykové pole	<input type="checkbox"/>
	Torzní uložení	<input type="checkbox"/>
	Plocha průřezu pro posouzení napětí	<input type="checkbox"/>

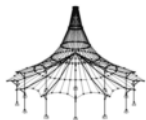


Projekt: 2024 Model: POZARNÍ VEZ
NAVRH KROVU 2024 DYSINA - SUSENÍ HADIC

Datum: 10.05.2024

1.12 PARAMETRY - PRUTY

Prut č.	Označení	Parametr
3	Průřez	1 - HEB 160
	Smykové pole	<input type="checkbox"/>
	Torzní uložení	<input type="checkbox"/>
	Plocha průřezu pro posouzení napětí	<input type="checkbox"/>
4	Průřez	1 - HEB 160
	Smykové pole	<input type="checkbox"/>
	Torzní uložení	<input type="checkbox"/>
	Plocha průřezu pro posouzení napětí	<input type="checkbox"/>
5	Průřez	3 - 2UK UPE 120 Feron - DIN 1026-2
	Smykové pole	<input type="checkbox"/>
	Torzní uložení	<input type="checkbox"/>
	Plocha průřezu pro posouzení napětí	<input type="checkbox"/>
6	Průřez	3 - 2UK UPE 120 Feron - DIN 1026-2
	Smykové pole	<input type="checkbox"/>
	Torzní uložení	<input type="checkbox"/>
	Plocha průřezu pro posouzení napětí	<input type="checkbox"/>
7	Průřez	3 - 2UK UPE 120 Feron - DIN 1026-2
	Smykové pole	<input type="checkbox"/>
	Torzní uložení	<input type="checkbox"/>
	Plocha průřezu pro posouzení napětí	<input type="checkbox"/>
8	Průřez	3 - 2UK UPE 120 Feron - DIN 1026-2
	Smykové pole	<input type="checkbox"/>
	Torzní uložení	<input type="checkbox"/>
	Plocha průřezu pro posouzení napětí	<input type="checkbox"/>
9	Průřez	1 - HEB 160
	Smykové pole	<input type="checkbox"/>
	Torzní uložení	<input type="checkbox"/>
	Plocha průřezu pro posouzení napětí	<input type="checkbox"/>
10	Průřez	1 - HEB 160
	Smykové pole	<input type="checkbox"/>
	Torzní uložení	<input type="checkbox"/>
	Plocha průřezu pro posouzení napětí	<input type="checkbox"/>
11	Průřez	1 - HEB 160
	Smykové pole	<input type="checkbox"/>
	Torzní uložení	<input type="checkbox"/>
	Plocha průřezu pro posouzení napětí	<input type="checkbox"/>
12	Průřez	1 - HEB 160
	Smykové pole	<input type="checkbox"/>
	Torzní uložení	<input type="checkbox"/>
	Plocha průřezu pro posouzení napětí	<input type="checkbox"/>
13	Průřez	1 - HEB 160
	Smykové pole	<input type="checkbox"/>
	Torzní uložení	<input type="checkbox"/>
	Plocha průřezu pro posouzení napětí	<input type="checkbox"/>
14	Průřez	1 - HEB 160
	Smykové pole	<input type="checkbox"/>
	Torzní uložení	<input type="checkbox"/>
	Plocha průřezu pro posouzení napětí	<input type="checkbox"/>
15	Průřez	1 - HEB 160
	Smykové pole	<input type="checkbox"/>
	Torzní uložení	<input type="checkbox"/>
	Plocha průřezu pro posouzení napětí	<input type="checkbox"/>
16	Průřez	1 - HEB 160
	Smykové pole	<input type="checkbox"/>
	Torzní uložení	<input type="checkbox"/>
	Plocha průřezu pro posouzení napětí	<input type="checkbox"/>
17	Průřez	1 - HEB 160
	Smykové pole	<input type="checkbox"/>
	Torzní uložení	<input type="checkbox"/>
	Plocha průřezu pro posouzení napětí	<input type="checkbox"/>
18	Průřez	1 - HEB 160
	Smykové pole	<input type="checkbox"/>
	Torzní uložení	<input type="checkbox"/>
	Plocha průřezu pro posouzení napětí	<input type="checkbox"/>
19	Průřez	1 - HEB 160
	Smykové pole	<input type="checkbox"/>
	Torzní uložení	<input type="checkbox"/>
	Plocha průřezu pro posouzení napětí	<input type="checkbox"/>
20	Průřez	1 - HEB 160
	Smykové pole	<input type="checkbox"/>
	Torzní uložení	<input type="checkbox"/>
	Plocha průřezu pro posouzení napětí	<input type="checkbox"/>
21	Průřez	2 - 2UK UPE 100 Feron - DIN 1026-2



Projekt: 2024
NAVRH KROVU 2024

Model: POZARNÍ VEZ
DYSINA - SUSENÍ HADIC

Datum: 10.05.2024

1.12 PARAMETRY - PRUTY

Prut č.	Označení	Parametr
22	Smykové pole	<input type="checkbox"/>
	Torzní uložení	<input type="checkbox"/>
	Plocha průřezu pro posouzení napětí	<input type="checkbox"/>
	Průřez	2 - 2UK UPE 100 Feron - DIN 1026-2
23	Smykové pole	<input type="checkbox"/>
	Torzní uložení	<input type="checkbox"/>
	Plocha průřezu pro posouzení napětí	<input type="checkbox"/>
	Průřez	2 - 2UK UPE 100 Feron - DIN 1026-2
24	Smykové pole	<input type="checkbox"/>
	Torzní uložení	<input type="checkbox"/>
	Plocha průřezu pro posouzení napětí	<input type="checkbox"/>
	Průřez	2 - 2UK UPE 100 Feron - DIN 1026-2
25	Smykové pole	<input type="checkbox"/>
	Torzní uložení	<input type="checkbox"/>
	Plocha průřezu pro posouzení napětí	<input type="checkbox"/>
	Průřez	2 - 2UK UPE 100 Feron - DIN 1026-2
26	Smykové pole	<input type="checkbox"/>
	Torzní uložení	<input type="checkbox"/>
	Plocha průřezu pro posouzení napětí	<input type="checkbox"/>
	Průřez	2 - 2UK UPE 100 Feron - DIN 1026-2
27	Smykové pole	<input type="checkbox"/>
	Torzní uložení	<input type="checkbox"/>
	Plocha průřezu pro posouzení napětí	<input type="checkbox"/>
	Průřez	3 - 2UK UPE 120 Feron - DIN 1026-2
28	Smykové pole	<input type="checkbox"/>
	Torzní uložení	<input type="checkbox"/>
	Plocha průřezu pro posouzení napětí	<input type="checkbox"/>
	Průřez	3 - 2UK UPE 120 Feron - DIN 1026-2
29	Smykové pole	<input type="checkbox"/>
	Torzní uložení	<input type="checkbox"/>
	Plocha průřezu pro posouzení napětí	<input type="checkbox"/>
	Průřez	3 - 2UK UPE 120 Feron - DIN 1026-2
30	Smykové pole	<input type="checkbox"/>
	Torzní uložení	<input type="checkbox"/>
	Plocha průřezu pro posouzení napětí	<input type="checkbox"/>
	Průřez	3 - 2UK UPE 120 Feron - DIN 1026-2
31	Smykové pole	<input type="checkbox"/>
	Torzní uložení	<input type="checkbox"/>
	Plocha průřezu pro posouzení napětí	<input type="checkbox"/>
	Průřez	5 - 2UK UPE 120 Feron - DIN 1026-2
32	Smykové pole	<input type="checkbox"/>
	Torzní uložení	<input type="checkbox"/>
	Plocha průřezu pro posouzení napětí	<input type="checkbox"/>
	Průřez	5 - 2UK UPE 120 Feron - DIN 1026-2
33	Smykové pole	<input type="checkbox"/>
	Torzní uložení	<input type="checkbox"/>
	Plocha průřezu pro posouzení napětí	<input type="checkbox"/>
	Průřez	2 - 2UK UPE 100 Feron - DIN 1026-2
34	Smykové pole	<input type="checkbox"/>
	Torzní uložení	<input type="checkbox"/>
	Plocha průřezu pro posouzení napětí	<input type="checkbox"/>
	Průřez	2 - 2UK UPE 100 Feron - DIN 1026-2
35	Smykové pole	<input type="checkbox"/>
	Torzní uložení	<input type="checkbox"/>
	Plocha průřezu pro posouzení napětí	<input type="checkbox"/>
	Průřez	2 - 2UK UPE 100 Feron - DIN 1026-2
36	Smykové pole	<input type="checkbox"/>
	Torzní uložení	<input type="checkbox"/>
	Plocha průřezu pro posouzení napětí	<input type="checkbox"/>
	Průřez	2 - 2UK UPE 100 Feron - DIN 1026-2
37	Smykové pole	<input type="checkbox"/>
	Torzní uložení	<input type="checkbox"/>
	Plocha průřezu pro posouzení napětí	<input type="checkbox"/>
	Průřez	2 - 2UK UPE 100 Feron - DIN 1026-2
38	Smykové pole	<input type="checkbox"/>
	Torzní uložení	<input type="checkbox"/>
	Plocha průřezu pro posouzení napětí	<input type="checkbox"/>
	Průřez	2 - 2UK UPE 100 Feron - DIN 1026-2
39	Smykové pole	<input type="checkbox"/>
	Průřez	4 - RO 76.1x5.0 (tvar. za tepla)



Projekt: 2024
NAVRH KROVU 2024

Model: POZARNÍ VEZ
DYSINA - SUSENÍ HADIC

Datum: 10.05.2024

1.12 PARAMETRY - PRUTY

Prut č.	Označení	Parametr
40	Torzní uložení	<input type="checkbox"/>
	Plocha průřezu pro posouzení napětí	<input type="checkbox"/>
	Průřez	4 - RO 76.1x5.0 (tvar. za tepla)
	Smykové pole	<input type="checkbox"/>
	Torzní uložení	<input type="checkbox"/>
41	Plocha průřezu pro posouzení napětí	<input type="checkbox"/>
	Průřez	4 - RO 76.1x5.0 (tvar. za tepla)
	Smykové pole	<input type="checkbox"/>
	Torzní uložení	<input type="checkbox"/>
	Plocha průřezu pro posouzení napětí	<input type="checkbox"/>
42	Průřez	4 - RO 76.1x5.0 (tvar. za tepla)
	Smykové pole	<input type="checkbox"/>
	Torzní uložení	<input type="checkbox"/>
	Plocha průřezu pro posouzení napětí	<input type="checkbox"/>
	Průřez	4 - RO 76.1x5.0 (tvar. za tepla)
43	Smykové pole	<input type="checkbox"/>
	Torzní uložení	<input type="checkbox"/>
	Plocha průřezu pro posouzení napětí	<input type="checkbox"/>
	Průřez	4 - RO 76.1x5.0 (tvar. za tepla)
	Smykové pole	<input type="checkbox"/>
44	Torzní uložení	<input type="checkbox"/>
	Plocha průřezu pro posouzení napětí	<input type="checkbox"/>
	Průřez	4 - RO 76.1x5.0 (tvar. za tepla)
	Smykové pole	<input type="checkbox"/>
	Torzní uložení	<input type="checkbox"/>
45	Plocha průřezu pro posouzení napětí	<input type="checkbox"/>
	Průřez	4 - RO 76.1x5.0 (tvar. za tepla)
	Smykové pole	<input type="checkbox"/>
	Torzní uložení	<input type="checkbox"/>
	Plocha průřezu pro posouzení napětí	<input type="checkbox"/>
46	Průřez	4 - RO 76.1x5.0 (tvar. za tepla)
	Smykové pole	<input type="checkbox"/>
	Torzní uložení	<input type="checkbox"/>
	Plocha průřezu pro posouzení napětí	<input type="checkbox"/>
	Průřez	4 - RO 76.1x5.0 (tvar. za tepla)
47	Smykové pole	<input type="checkbox"/>
	Torzní uložení	<input type="checkbox"/>
	Plocha průřezu pro posouzení napětí	<input type="checkbox"/>
	Průřez	4 - RO 76.1x5.0 (tvar. za tepla)
	Smykové pole	<input type="checkbox"/>
48	Torzní uložení	<input type="checkbox"/>
	Plocha průřezu pro posouzení napětí	<input type="checkbox"/>
	Průřez	4 - RO 76.1x5.0 (tvar. za tepla)
	Smykové pole	<input type="checkbox"/>
	Torzní uložení	<input type="checkbox"/>
49	Plocha průřezu pro posouzení napětí	<input type="checkbox"/>
	Průřez	4 - RO 76.1x5.0 (tvar. za tepla)
	Smykové pole	<input type="checkbox"/>
	Torzní uložení	<input type="checkbox"/>
	Plocha průřezu pro posouzení napětí	<input type="checkbox"/>
50	Průřez	4 - RO 76.1x5.0 (tvar. za tepla)
	Smykové pole	<input type="checkbox"/>
	Torzní uložení	<input type="checkbox"/>
	Plocha průřezu pro posouzení napětí	<input type="checkbox"/>
	Průřez	4 - RO 76.1x5.0 (tvar. za tepla)
51	Smykové pole	<input type="checkbox"/>
	Torzní uložení	<input type="checkbox"/>
	Plocha průřezu pro posouzení napětí	<input type="checkbox"/>
	Průřez	4 - RO 76.1x5.0 (tvar. za tepla)
	Smykové pole	<input type="checkbox"/>
52	Torzní uložení	<input type="checkbox"/>
	Plocha průřezu pro posouzení napětí	<input type="checkbox"/>
	Průřez	4 - RO 76.1x5.0 (tvar. za tepla)
	Smykové pole	<input type="checkbox"/>
	Torzní uložení	<input type="checkbox"/>
53	Plocha průřezu pro posouzení napětí	<input type="checkbox"/>
	Průřez	4 - RO 76.1x5.0 (tvar. za tepla)
	Smykové pole	<input type="checkbox"/>
	Torzní uložení	<input type="checkbox"/>
	Plocha průřezu pro posouzení napětí	<input type="checkbox"/>

2.4 POSOUZENÍ PO PRUTECH

Prut č.	Místo x [m]	ZS/KZ/ KV	Návrh	Podle vzorce	
1	Průřez č. 1 - HEB 160				
	0.857	KZ201	0.00	£ 1	100)
	3.000	KZ66	0.03	£ 1	101)
	0.000	KZ10	0.06	£ 1	102)
	2.528	KZ63	0.08	£ 1	111)
	2.700	KZ58	0.01	£ 1	116)
	0.000	KZ83	0.02	£ 1	121)
	3.000	KZ83	0.00	£ 1	123)
	0.000	ZS6	0.00	£ 1	126)
	2.528	KZ63	0.08	£ 1	141)
	2.700	KZ58	0.01	£ 1	151)
	3.000	KZ63	0.02	£ 1	161)
	Žádné resp. velmi malé vnitřní síly Posouzení průřezu - tah podle 6.2.3 Posouzení průřezu - tlak podle 6.2.4 Posouzení průřezu - ohyb okolo y podle 6.2.5 - třída 1 nebo 2 Posouzení průřezu - ohyb okolo z podle 6.2.5 - třída 1 nebo 2 Posouzení průřezu - smyk ve směru z podle 6.2.6 Posouzení průřezu - smyk ve směru y podle 6.2.6 Posouzení průřezu - smykové boulení podle 6.2.6(6) Posouzení průřezu - ohyb a smyk podle 6.2.5 a 6.2.8 Posouzení průřezu - ohyb okolo z a smyk podle 6.2.5 a 6.2.8 Posouzení průřezu - dvoúsoý ohyb a smyk podle 6.2.6, 6.2.7 a				



Projekt: 2024

Model: POZARNÍ VEZ

Datum: 10.05.2024

NAVRH KROVU 2024

DYSINA - SUSENI HADIC

■ 2.4 POSOUZENÍ PO PRUTECH

Prut č.	Místo x [m]	ZS/KZ/ KV	Návrh		Podle vzorce	
	2.528	KZ87	0.14	£ 1	181)	6.2.9
	3.000	KZ33	0.02	£ 1	201)	Posouzení průřezu - ohyb, smyk a osová síla podle 6.2.9.1
	3.000	KZ83	0.05	£ 1	221)	Posouzení průřezu - ohyb okolo z, smyk a osová síla podle 6.2.9.1
						Posouzení průřezu - dvouosý ohyb, smyk a osová síla podle 6.2.10 a 6.2.9
	0.000	KZ10	0.07	£ 1	301)	Posouzení stability - vzpěr okolo y podle 6.3.1.1 a 6.3.1.2(4)
	0.000	KZ10	0.09	£ 1	311)	Posouzení stability - vzpěr okolo z podle 6.3.1.1 a 6.3.1.2(4)
	0.300	KZ87	0.15	£ 1	364)	Posouzení stability - ohyb a tlak podle 6.3.3, metoda 2
	0.000	ZS1	0.00	£ 1	400)	Použitelnost - malé, resp. velmi malé deformace
	1.714	KZ83	0.16	£ 1	401)	Použitelnost - kombinace zatížení 'charakteristická' - směr z
	1.714	KZ207	0.01	£ 1	402)	Použitelnost - kombinace zatížení 'častá' - směr z
	1.714	KZ220	0.00	£ 1	403)	Použitelnost - kombinace zatížení 'kvazistálá' - směr z
	1.286	KZ80	0.06	£ 1	406)	Použitelnost - kombinace zatížení 'charakteristická' - směr y
	1.500	KZ216	0.01	£ 1	407)	Použitelnost - kombinace zatížení 'častá' - směr y
	1.714	KZ220	0.00	£ 1	408)	Použitelnost - kombinace zatížení 'kvazistálá' - směr y
2	Průřez č. 1 - HEB 160					
	1.800	KZ202	0.00	£ 1	100)	Žádné resp. velmi malé vnitřní síly
	3.000	KZ66	0.05	£ 1	101)	Posouzení průřezu - tah podle 6.2.3
	0.000	KZ10	0.06	£ 1	102)	Posouzení průřezu - tlak podle 6.2.4
	1.714	KZ150	0.00	£ 1	111)	Posouzení průřezu - ohyb okolo y podle 6.2.5 - třída 1 nebo 2
	2.528	KZ149	0.01	£ 1	116)	Posouzení průřezu - ohyb okolo z podle 6.2.5 - třída 1 nebo 2
	0.000	KZ87	0.02	£ 1	121)	Posouzení průřezu - smyk ve směru z podle 6.2.6
	3.000	KZ68	0.00	£ 1	123)	Posouzení průřezu - smyk ve směru y podle 6.2.6
	0.000	ZS6	0.00	£ 1	126)	Posouzení průřezu - smykové boulení podle 6.2.6(6)
	1.714	KZ150	0.00	£ 1	141)	Posouzení průřezu - ohyb a smyk podle 6.2.5 a 6.2.8
	2.528	KZ149	0.01	£ 1	151)	Posouzení průřezu - ohyb okolo z a smyk podle 6.2.5 a 6.2.8
	3.000	KZ149	0.01	£ 1	161)	Posouzení průřezu - dvouosý ohyb a smyk podle 6.2.6, 6.2.7 a 6.2.9
	2.400	KZ92	0.13	£ 1	181)	Posouzení průřezu - ohyb, smyk a osová síla podle 6.2.9.1
	2.571	KZ16	0.01	£ 1	201)	Posouzení průřezu - ohyb okolo z, smyk a osová síla podle 6.2.9.1
	3.000	KZ68	0.05	£ 1	221)	Posouzení průřezu - dvouosý ohyb, smyk a osová síla podle 6.2.10 a 6.2.9
	0.000	KZ10	0.07	£ 1	301)	Posouzení stability - vzpěr okolo y podle 6.3.1.1 a 6.3.1.2(4)
	0.000	KZ10	0.09	£ 1	311)	Posouzení stability - vzpěr okolo z podle 6.3.1.1 a 6.3.1.2(4)
	0.300	KZ87	0.15	£ 1	364)	Posouzení stability - ohyb a tlak podle 6.3.3, metoda 2
	0.000	ZS1	0.00	£ 1	400)	Použitelnost - malé, resp. velmi malé deformace
	1.714	KZ87	0.16	£ 1	401)	Použitelnost - kombinace zatížení 'charakteristická' - směr z
	1.714	KZ216	0.01	£ 1	402)	Použitelnost - kombinace zatížení 'častá' - směr z
	1.714	KZ220	0.00	£ 1	403)	Použitelnost - kombinace zatížení 'kvazistálá' - směr z
3	Průřez č. 1 - HEB 160					
	0.000	ZS5	0.00	£ 1	100)	Žádné resp. velmi malé vnitřní síly
	0.000	KZ18	0.10	£ 1	102)	Posouzení průřezu - tlak podle 6.2.4
	3.000	KZ81	0.01	£ 1	121)	Posouzení průřezu - smyk ve směru z podle 6.2.6
	3.000	KZ83	0.00	£ 1	123)	Posouzení průřezu - smyk ve směru y podle 6.2.6
	0.000	ZS6	0.00	£ 1	126)	Posouzení průřezu - smykové boulení podle 6.2.6(6)
	2.571	KZ85	0.01	£ 1	181)	Posouzení průřezu - ohyb, smyk a osová síla podle 6.2.9.1
	3.000	ZS8	0.02	£ 1	201)	Posouzení průřezu - ohyb okolo z, smyk a osová síla podle 6.2.9.1
	3.000	KZ83	0.03	£ 1	221)	Posouzení průřezu - dvouosý ohyb, smyk a osová síla podle 6.2.10 a 6.2.9
	0.000	KZ18	0.11	£ 1	301)	Posouzení stability - vzpěr okolo y podle 6.3.1.1 a 6.3.1.2(4)
	2.571	KZ114	0.10	£ 1	311)	Posouzení stability - vzpěr okolo z podle 6.3.1.1 a 6.3.1.2(4)
	0.000	KZ18	0.15	£ 1	312)	Posouzení stability - vzpěr okolo z podle 6.3.1.1 a 6.3.1.2
	0.300	KZ87	0.18	£ 1	364)	Posouzení stability - ohyb a tlak podle 6.3.3, metoda 2
	0.000	ZS1	0.00	£ 1	400)	Použitelnost - malé, resp. velmi malé deformace
	1.286	KZ78	0.01	£ 1	401)	Použitelnost - kombinace zatížení 'charakteristická' - směr z
	1.286	KZ214	0.00	£ 1	402)	Použitelnost - kombinace zatížení 'častá' - směr z
	1.714	KZ218	0.00	£ 1	403)	Použitelnost - kombinace zatížení 'kvazistálá' - směr z
	1.500	KZ78	0.04	£ 1	406)	Použitelnost - kombinace zatížení 'charakteristická' - směr y
	1.500	KZ214	0.01	£ 1	407)	Použitelnost - kombinace zatížení 'častá' - směr y
	1.714	KZ220	0.00	£ 1	408)	Použitelnost - kombinace zatížení 'kvazistálá' - směr y
4	Průřez č. 1 - HEB 160					
	0.300	KZ215	0.00	£ 1	100)	Žádné resp. velmi malé vnitřní síly
	3.000	KZ68	0.12	£ 1	101)	Posouzení průřezu - tah podle 6.2.3
	0.000	KZ16	0.10	£ 1	102)	Posouzení průřezu - tlak podle 6.2.4
	1.286	KZ215	0.00	£ 1	116)	Posouzení průřezu - ohyb okolo z podle 6.2.5 - třída 1 nebo 2
	0.000	KZ85	0.01	£ 1	121)	Posouzení průřezu - smyk ve směru z podle 6.2.6
	3.000	KZ68	0.00	£ 1	123)	Posouzení průřezu - smyk ve směru y podle 6.2.6
	0.000	ZS6	0.00	£ 1	126)	Posouzení průřezu - smykové boulení podle 6.2.6(6)
	1.286	KZ215	0.00	£ 1	151)	Posouzení průřezu - ohyb okolo z a smyk podle 6.2.5 a 6.2.8
	2.571	KZ18	0.01	£ 1	181)	Posouzení průřezu - ohyb, smyk a osová síla podle 6.2.9.1
	3.000	ZS9	0.03	£ 1	201)	Posouzení průřezu - ohyb okolo z, smyk a osová síla podle 6.2.9.1
	3.000	KZ68	0.04	£ 1	221)	Posouzení průřezu - dvouosý ohyb, smyk a osová síla podle 6.2.10 a 6.2.9
	0.000	KZ16	0.11	£ 1	301)	Posouzení stability - vzpěr okolo y podle 6.3.1.1 a 6.3.1.2(4)
	0.000	KZ10	0.10	£ 1	311)	Posouzení stability - vzpěr okolo z podle 6.3.1.1 a 6.3.1.2(4)
	0.000	KZ16	0.15	£ 1	312)	Posouzení stability - vzpěr okolo z podle 6.3.1.1 a 6.3.1.2
	0.300	KZ85	0.18	£ 1	364)	Posouzení stability - ohyb a tlak podle 6.3.3, metoda 2
	0.000	ZS1	0.00	£ 1	400)	Použitelnost - malé, resp. velmi malé deformace
	1.500	KZ85	0.02	£ 1	401)	Použitelnost - kombinace zatížení 'charakteristická' - směr z
	1.500	KZ209	0.00	£ 1	402)	Použitelnost - kombinace zatížení 'častá' - směr z
	1.714	KZ219	0.00	£ 1	403)	Použitelnost - kombinace zatížení 'kvazistálá' - směr z



Projekt: 2024

Model: POZARNÍ VEZ

Datum: 10.05.2024

NAVRH KROVU 2024

DYSINA - SUSENI HADIC

■ 2.4 POSOUZENÍ PO PRUTECH

Prut č.	Místo x [m]	ZS/KZ/ KV	Návrh		Podle vzorce	
	1.500	KZ85	0.05	£ 1	406)	Použitelnost - kombinace zatížení 'charakteristická' - směr y
	1.500	KZ209	0.01	£ 1	407)	Použitelnost - kombinace zatížení 'častá' - směr y
	1.714	KZ219	0.00	£ 1	408)	Použitelnost - kombinace zatížení 'kvazistálá' - směr y
5	Průřez č. 3 - 2UK UPE 120 Feron - DIN 1026-2					
	0.079	KZ66	0.00	£ 1	101)	Posouzení průřezu - tah podle 6.2.3
	0.000	KZ10	0.00	£ 1	102)	Posouzení průřezu - tlak podle 6.2.4
	0.000	KZ11	0.07	£ 1	112)	Posouzení průřezu - ohyb okolo y podle 6.2.5 - třída 3
	0.787	KZ96	0.01	£ 1	117)	Posouzení průřezu - ohyb okolo z podle 6.2.5 - třída 3
	0.000	KZ11	0.04	£ 1	122)	Posouzení průřezu - smyk ve směru z podle 6.2.6(4) - třída 3 nebo 4
	0.000	KZ80	0.00	£ 1	124)	Posouzení průřezu - posouvající síla ve směru y podle 6.2.6(4) - třída 3 nebo 4
	0.000	KZ16	0.14	£ 1	131)	Posouzení průřezu - kroucení podle 6.2.7
	0.000	KZ10	0.28	£ 1	133)	Posouzení průřezu - kroucení a smyk podle 6.2.7(5)
	0.236	KZ87	0.08	£ 1	138)	Posouzení průřezu - kroucení a smyk podle 6.2.7(5)
	0.000	KZ11	0.07	£ 1	143)	Posouzení průřezu - ohyb a smyk podle 6.2.9.2 a 6.2.10 - třída 3 - obecný průřez
	0.000	KZ85	0.24	£ 1	148)	Posouzení průřezu - ohyb, smyk a kroucení podle 6.2.9.2 a 6.2.10 - třída 3 - obecný průřez
	0.787	KZ96	0.01	£ 1	153)	Posouzení průřezu - ohyb okolo z a smyk podle 6.2.9.2 a 6.2.10 - třída 3 - obecný průřez
	0.000	KZ22	0.08	£ 1	163)	Posouzení průřezu - dvousý ohyb a smyk podle 6.2.9.2 a 6.2.10 - třída 3 - obecný průřez
	0.787	KZ85	0.22	£ 1	168)	Posouzení průřezu - dvousý ohyb, smyk a kroucení podle 6.2.9.2 a 6.2.10 - třída 3 - obecný průřez
	0.000	KZ10	0.31	£ 1	188)	Posouzení průřezu - ohyb, smyk, kroucení a osová síla podle 6.2.9.2 - třída 3 - obecný průřez
	0.315	KZ90	0.01	£ 1	203)	Posouzení průřezu - ohyb okolo z, smyk a osová síla podle 6.2.9.2 - třída 3 - obecný průřez
	0.787	KZ89	0.03	£ 1	223)	Posouzení průřezu - dvousý ohyb, smyk a osová síla podle 6.2.10 a 6.2.9 - třída 3 - obecný průřez
	0.000	KZ18	0.31	£ 1	228)	Posouzení průřezu - dvousý ohyb, smyk, kroucení a osová síla podle 6.2.10 a 6.2.9 - třída 3 - obecný průřez
	0.000	KZ18	0.34	£ 1	271)	Posouzení průřezu - normálové napětí a kroucení - elastické posouzení
	0.000	ZS1	0.00	£ 1	400)	Použitelnost - malé, resp. velmi malé deformace
	0.236	KZ18	0.03	£ 1	401)	Použitelnost - kombinace zatížení 'charakteristická' - směr z
	0.236	KZ211	0.01	£ 1	402)	Použitelnost - kombinace zatížení 'častá' - směr z
	0.157	KZ219	0.01	£ 1	403)	Použitelnost - kombinace zatížení 'kvazistálá' - směr z
	0.393	KZ66	0.00	£ 1	406)	Použitelnost - kombinace zatížení 'charakteristická' - směr y
	0.393	KZ202	0.00	£ 1	407)	Použitelnost - kombinace zatížení 'častá' - směr y
6	Průřez č. 3 - 2UK UPE 120 Feron - DIN 1026-2					
	2.360	KZ202	0.00	£ 1	100)	Žádné resp. velmi malé vnitřní síly
	1.416	KZ85	0.00	£ 1	102)	Posouzení průřezu - tlak podle 6.2.4
	1.180	KZ10	0.07	£ 1	112)	Posouzení průřezu - ohyb okolo y podle 6.2.5 - třída 3
	2.360	KZ80	0.03	£ 1	117)	Posouzení průřezu - ohyb okolo z podle 6.2.5 - třída 3
	2.360	KZ18	0.02	£ 1	122)	Posouzení průřezu - smyk ve směru z podle 6.2.6(4) - třída 3 nebo 4
	2.360	KZ68	0.00	£ 1	124)	Posouzení průřezu - posouvající síla ve směru y podle 6.2.6(4) - třída 3 nebo 4
	1.180	KZ10	0.07	£ 1	143)	Posouzení průřezu - ohyb a smyk podle 6.2.9.2 a 6.2.10 - třída 3 - obecný průřez
	2.360	KZ80	0.03	£ 1	153)	Posouzení průřezu - ohyb okolo z a smyk podle 6.2.9.2 a 6.2.10 - třída 3 - obecný průřez
	1.180	KZ18	0.09	£ 1	163)	Posouzení průřezu - dvousý ohyb a smyk podle 6.2.9.2 a 6.2.10 - třída 3 - obecný průřez
	1.888	KZ16	0.05	£ 1	183)	Posouzení průřezu - ohyb, smyk a osová síla podle 6.2.9.2 - třída 3 - obecný průřez
	0.000	KZ16	0.01	£ 1	203)	Posouzení průřezu - ohyb okolo z, smyk a osová síla podle 6.2.9.2 - třída 3 - obecný průřez
	1.180	KZ16	0.08	£ 1	223)	Posouzení průřezu - dvousý ohyb, smyk a osová síla podle 6.2.10 a 6.2.9 - třída 3 - obecný průřez
	0.000	ZS1	0.00	£ 1	400)	Použitelnost - malé, resp. velmi malé deformace
	1.180	KZ18	0.11	£ 1	401)	Použitelnost - kombinace zatížení 'charakteristická' - směr z
	1.180	KZ211	0.04	£ 1	402)	Použitelnost - kombinace zatížení 'častá' - směr z
	1.180	KZ219	0.03	£ 1	403)	Použitelnost - kombinace zatížení 'kvazistálá' - směr z
	1.180	KZ66	0.01	£ 1	406)	Použitelnost - kombinace zatížení 'charakteristická' - směr y
	1.180	KZ202	0.00	£ 1	407)	Použitelnost - kombinace zatížení 'častá' - směr y
7	Průřez č. 3 - 2UK UPE 120 Feron - DIN 1026-2					
	0.393	KZ66	0.00	£ 1	101)	Posouzení průřezu - tah podle 6.2.3
	0.000	KZ87	0.01	£ 1	102)	Posouzení průřezu - tlak podle 6.2.4
	0.000	KZ11	0.07	£ 1	112)	Posouzení průřezu - ohyb okolo y podle 6.2.5 - třída 3
	0.000	ZS8	0.02	£ 1	117)	Posouzení průřezu - ohyb okolo z podle 6.2.5 - třída 3
	0.000	KZ11	0.03	£ 1	122)	Posouzení průřezu - smyk ve směru z podle 6.2.6(4) - třída 3 nebo 4
	0.787	KZ68	0.01	£ 1	124)	Posouzení průřezu - posouvající síla ve směru y podle 6.2.6(4) - třída 3 nebo 4
	0.787	KZ10	0.14	£ 1	131)	Posouzení průřezu - kroucení podle 6.2.7
	0.000	KZ10	0.28	£ 1	133)	Posouzení průřezu - kroucení a smyk podle 6.2.7(5)
	0.000	KZ16	0.09	£ 1	138)	Posouzení průřezu - kroucení a smyk podle 6.2.7(5)
	0.000	KZ11	0.07	£ 1	143)	Posouzení průřezu - ohyb a smyk podle 6.2.9.2 a 6.2.10 - třída 3 - obecný průřez
	0.551	KZ181	0.06	£ 1	148)	Posouzení průřezu - ohyb, smyk a kroucení podle 6.2.9.2 a 6.2.10 - třída 3 - obecný průřez
	0.000	ZS8	0.02	£ 1	153)	Posouzení průřezu - ohyb okolo z a smyk podle 6.2.9.2 a 6.2.10 - třída 3 - obecný průřez
	0.000	KZ20	0.08	£ 1	163)	Posouzení průřezu - dvousý ohyb a smyk podle 6.2.9.2 a 6.2.10 - třída 3 - obecný průřez



Projekt: 2024

Model: POZARNÍ VEZ

Datum: 10.05.2024

NAVRH KROVU 2024

DYSINA - SUSENI HADIC

■ 2.4 POSOUZENÍ PO PRUTECH

Prut č.	Místo x [m]	ZS/KZ/ KV	Návrh		Podle vzorce	
	0.000	KZ85	0.27	£ 1	168)	Posouzení průřezu - dvouosý ohyb, smyk a kroucení podle 6.2.9.2 a 6.2.10 - třída 3 - obecný průřez
	0.551	KZ22	0.02	£ 1	183)	Posouzení průřezu - ohyb, smyk a osová síla podle 6.2.9.2 - třída 3 - obecný průřez
	0.000	KZ10	0.30	£ 1	188)	Posouzení průřezu - ohyb, smyk, kroucení a osová síla podle 6.2.9.2 - třída 3 - obecný průřez
	0.000	KZ66	0.03	£ 1	203)	Posouzení průřezu - ohyb okolo z, smyk a osová síla podle 6.2.9.2 - třída 3 - obecný průřez
	0.000	KZ22	0.09	£ 1	223)	Posouzení průřezu - dvouosý ohyb, smyk a osová síla podle 6.2.10 a 6.2.9 - třída 3 - obecný průřez
	0.000	KZ18	0.31	£ 1	228)	Posouzení průřezu - dvouosý ohyb, smyk, kroucení a osová síla podle 6.2.10 a 6.2.9 - třída 3 - obecný průřez
	0.000	KZ18	0.34	£ 1	271)	Posouzení průřezu - normálové napětí a kroucení - elastické posouzení
	0.000	ZS1	0.00	£ 1	400)	Použitelnost - malé, resp. velmi malé deformace
	0.157	KZ18	0.03	£ 1	401)	Použitelnost - kombinace zatížení 'charakteristická' - směr z
	0.157	KZ199	0.01	£ 1	402)	Použitelnost - kombinace zatížení 'častá' - směr z
	0.157	KZ219	0.01	£ 1	403)	Použitelnost - kombinace zatížení 'kvazistálá' - směr z
	0.236	KZ80	0.00	£ 1	406)	Použitelnost - kombinace zatížení 'charakteristická' - směr y
	0.236	KZ204	0.00	£ 1	407)	Použitelnost - kombinace zatížení 'častá' - směr y
8	Průřez č. 3 - ZUK UPE 120 Ferona - DIN 1026-2					
	0.944	KZ201	0.00	£ 1	100)	Žádné resp. velmi malé vnitřní síly
	0.236	KZ66	0.00	£ 1	101)	Posouzení průřezu - tah podle 6.2.3
	1.180	KZ10	0.07	£ 1	112)	Posouzení průřezu - ohyb okolo y podle 6.2.5 - třída 3
	2.360	KZ188	0.02	£ 1	117)	Posouzení průřezu - ohyb okolo z podle 6.2.5 - třída 3
	0.000	KZ10	0.02	£ 1	122)	Posouzení průřezu - smyk ve směru z podle 6.2.6(4) - třída 3 nebo 4
	2.360	KZ85	0.00	£ 1	124)	Posouzení průřezu - posouvající síla ve směru y podle 6.2.6(4) - třída 3 nebo 4
	1.180	KZ10	0.07	£ 1	143)	Posouzení průřezu - ohyb a smyk podle 6.2.9.2 a 6.2.10 - třída 3 - obecný průřez
	2.360	KZ188	0.02	£ 1	153)	Posouzení průřezu - ohyb okolo z a smyk podle 6.2.9.2 a 6.2.10 - třída 3 - obecný průřez
	1.180	KZ18	0.08	£ 1	163)	Posouzení průřezu - dvouosý ohyb a smyk podle 6.2.9.2 a 6.2.10 - třída 3 - obecný průřez
	1.770	KZ89	0.01	£ 1	183)	Posouzení průřezu - ohyb, smyk a osová síla podle 6.2.9.2 - třída 3 - obecný průřez
	2.360	KZ93	0.02	£ 1	203)	Posouzení průřezu - ohyb okolo z, smyk a osová síla podle 6.2.9.2 - třída 3 - obecný průřez
	2.360	KZ66	0.03	£ 1	223)	Posouzení průřezu - dvouosý ohyb, smyk a osová síla podle 6.2.10 a 6.2.9 - třída 3 - obecný průřez
	0.000	ZS1	0.00	£ 1	400)	Použitelnost - malé, resp. velmi malé deformace
	1.180	KZ18	0.11	£ 1	401)	Použitelnost - kombinace zatížení 'charakteristická' - směr z
9	Průřez č. 1 - HEB 160					
	1.500	KZ202	0.00	£ 1	100)	Žádné resp. velmi malé vnitřní síly
	3.000	KZ66	0.03	£ 1	101)	Posouzení průřezu - tah podle 6.2.3
	0.000	KZ10	0.05	£ 1	102)	Posouzení průřezu - tlak podle 6.2.4
	0.771	KZ192	0.05	£ 1	111)	Posouzení průřezu - ohyb okolo y podle 6.2.5 - třída 1 nebo 2
	3.000	KZ41	0.02	£ 1	116)	Posouzení průřezu - ohyb okolo z podle 6.2.5 - třída 1 nebo 2
	3.000	KZ87	0.02	£ 1	121)	Posouzení průřezu - smyk ve směru z podle 6.2.6
	0.000	KZ87	0.00	£ 1	123)	Posouzení průřezu - smyk ve směru y podle 6.2.6
	0.000	ZS6	0.00	£ 1	126)	Posouzení průřezu - smykové boulení podle 6.2.6(6)
	0.771	KZ192	0.05	£ 1	141)	Posouzení průřezu - ohyb a smyk podle 6.2.5 a 6.2.8
	3.000	KZ41	0.02	£ 1	151)	Posouzení průřezu - ohyb okolo z a smyk podle 6.2.5 a 6.2.8
	0.000	KZ191	0.03	£ 1	161)	Posouzení průřezu - dvouosý ohyb a smyk podle 6.2.6, 6.2.7 a 6.2.9
	0.857	KZ96	0.07	£ 1	181)	Posouzení průřezu - ohyb, smyk a osová síla podle 6.2.9.1
	3.000	KZ37	0.02	£ 1	201)	Posouzení průřezu - ohyb okolo z, smyk a osová síla podle 6.2.9.1
	0.000	KZ87	0.05	£ 1	221)	Posouzení průřezu - dvouosý ohyb, smyk a osová síla podle 6.2.10 a 6.2.9
10	Průřez č. 1 - HEB 160					
	1.500	KZ157	0.00	£ 1	100)	Žádné resp. velmi malé vnitřní síly
	0.000	ZS7	0.00	£ 1	101)	Posouzení průřezu - tah podle 6.2.3
	0.000	KZ10	0.04	£ 1	102)	Posouzení průřezu - tlak podle 6.2.4
	1.286	KZ66	0.01	£ 1	111)	Posouzení průřezu - ohyb okolo y podle 6.2.5 - třída 1 nebo 2
	3.000	KZ95	0.02	£ 1	116)	Posouzení průřezu - ohyb okolo z podle 6.2.5 - třída 1 nebo 2
	0.000	KZ83	0.01	£ 1	121)	Posouzení průřezu - smyk ve směru z podle 6.2.6
	0.000	KZ80	0.00	£ 1	123)	Posouzení průřezu - smyk ve směru y podle 6.2.6
	0.000	ZS2	0.00	£ 1	126)	Posouzení průřezu - smykové boulení podle 6.2.6(6)
	1.286	KZ66	0.01	£ 1	141)	Posouzení průřezu - ohyb a smyk podle 6.2.5 a 6.2.8
	3.000	KZ95	0.02	£ 1	151)	Posouzení průřezu - ohyb okolo z a smyk podle 6.2.5 a 6.2.8
	0.000	KZ164	0.02	£ 1	161)	Posouzení průřezu - dvouosý ohyb a smyk podle 6.2.6, 6.2.7 a 6.2.9
	1.500	KZ11	0.04	£ 1	301)	Posouzení stability - vzpěr okolo y podle 6.3.1.1 a 6.3.1.2(4)
	1.500	KZ11	0.05	£ 1	311)	Posouzení stability - vzpěr okolo z podle 6.3.1.1 a 6.3.1.2(4)
	0.000	KZ18	0.10	£ 1	364)	Posouzení stability - ohyb a tlak podle 6.3.3, metoda 2
	0.000	ZS1	0.00	£ 1	400)	Použitelnost - malé, resp. velmi malé deformace
	1.180	KZ80	0.08	£ 1	401)	Použitelnost - kombinace zatížení 'charakteristická' - směr z
	1.180	KZ216	0.01	£ 1	402)	Použitelnost - kombinace zatížení 'častá' - směr z
	2.100	KZ219	0.00	£ 1	403)	Použitelnost - kombinace zatížení 'kvazistálá' - směr z
	1.500	KZ78	0.02	£ 1	406)	Použitelnost - kombinace zatížení 'charakteristická' - směr y
	2.143	KZ211	0.00	£ 1	407)	Použitelnost - kombinace zatížení 'častá' - směr y
	2.400	KZ219	0.00	£ 1	408)	Použitelnost - kombinace zatížení 'kvazistálá' - směr y



Projekt: 2024

Model: POZARNÍ VEZ

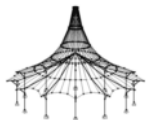
Datum: 10.05.2024

NAVRH KROVU 2024

DYSINA - SUSENI HADIC

■ 2.4 POSOUZENÍ PO PRUTECH

Prut č.	Místo x [m]	ZS/KZ/ KV	Návrh		Podle vzorce	
11	3.000	KZ81	0.03	£ 1	181)	Posouzení průřezu - ohyb, smyk a osová síla podle 6.2.9.1
	3.000	KZ91	0.02	£ 1	201)	Posouzení průřezu - ohyb okolo z, smyk a osová síla podle 6.2.9.1
	3.000	KZ83	0.03	£ 1	221)	Posouzení průřezu - dvousý ohyb, smyk a osová síla podle 6.2.10 a 6.2.9
	0.300	KZ10	0.04	£ 1	301)	Posouzení stability - vzpěr okolo y podle 6.3.1.1 a 6.3.1.2(4)
	0.300	KZ10	0.06	£ 1	311)	Posouzení stability - vzpěr okolo z podle 6.3.1.1 a 6.3.1.2(4)
	0.000	KZ18	0.07	£ 1	364)	Posouzení stability - ohyb a tlak podle 6.3.3, metoda 2
	0.000	ZS1	0.00	£ 1	400)	Použitelnost - malé, resp. velmi malé deformace
	1.800	KZ10	0.02	£ 1	401)	Použitelnost - kombinace zatížení 'charakteristická' - směr z
	1.820	KZ199	0.01	£ 1	402)	Použitelnost - kombinace zatížení 'častá' - směr z
	1.820	KZ219	0.01	£ 1	403)	Použitelnost - kombinace zatížení 'kvazistálá' - směr z
	1.714	KZ80	0.02	£ 1	406)	Použitelnost - kombinace zatížení 'charakteristická' - směr y
	1.800	KZ198	0.00	£ 1	407)	Použitelnost - kombinace zatížení 'častá' - směr y
	1.800	KZ218	0.00	£ 1	408)	Použitelnost - kombinace zatížení 'kvazistálá' - směr y
	Průřez č. 1 - HEB 160					
	0.429	KZ197	0.00	£ 1	100)	Žádné resp. velmi malé vnitřní síly
	3.000	KZ66	0.00	£ 1	101)	Posouzení průřezu - tah podle 6.2.3
	0.000	KZ10	0.03	£ 1	102)	Posouzení průřezu - tlak podle 6.2.4
	2.143	KZ57	0.01	£ 1	111)	Posouzení průřezu - ohyb okolo y podle 6.2.5 - třída 1 nebo 2
	0.000	KZ95	0.03	£ 1	116)	Posouzení průřezu - ohyb okolo z podle 6.2.5 - třída 1 nebo 2
	0.000	KZ85	0.02	£ 1	121)	Posouzení průřezu - smyk ve směru z podle 6.2.6
	0.000	KZ87	0.00	£ 1	123)	Posouzení průřezu - smyk ve směru y podle 6.2.6
	0.000	ZS2	0.00	£ 1	126)	Posouzení průřezu - smykové boulení podle 6.2.6(6)
	2.143	KZ57	0.01	£ 1	141)	Posouzení průřezu - ohyb a smyk podle 6.2.5 a 6.2.8
	0.000	KZ95	0.03	£ 1	151)	Posouzení průřezu - ohyb okolo z a smyk podle 6.2.5 a 6.2.8
	0.000	KZ68	0.03	£ 1	161)	Posouzení průřezu - dvousý ohyb a smyk podle 6.2.6, 6.2.7 a 6.2.9
	1.714	KZ73	0.05	£ 1	181)	Posouzení průřezu - ohyb, smyk a osová síla podle 6.2.9.1
	0.000	KZ92	0.04	£ 1	201)	Posouzení průřezu - ohyb okolo z, smyk a osová síla podle 6.2.9.1
	3.000	KZ16	0.08	£ 1	221)	Posouzení průřezu - dvousý ohyb, smyk a osová síla podle 6.2.10 a 6.2.9
	0.771	KZ55	0.02	£ 1	301)	Posouzení stability - vzpěr okolo y podle 6.3.1.1 a 6.3.1.2(4)
12	0.771	KZ55	0.03	£ 1	311)	Posouzení stability - vzpěr okolo z podle 6.3.1.1 a 6.3.1.2(4)
	0.000	KZ18	0.10	£ 1	364)	Posouzení stability - ohyb a tlak podle 6.3.3, metoda 2
	0.000	ZS1	0.00	£ 1	400)	Použitelnost - malé, resp. velmi malé deformace
	1.820	KZ16	0.08	£ 1	401)	Použitelnost - kombinace zatížení 'charakteristická' - směr z
	1.820	KZ209	0.03	£ 1	402)	Použitelnost - kombinace zatížení 'častá' - směr z
	1.820	KZ219	0.03	£ 1	403)	Použitelnost - kombinace zatížení 'kvazistálá' - směr z
	1.800	KZ87	0.06	£ 1	406)	Použitelnost - kombinace zatížení 'charakteristická' - směr y
	1.820	KZ211	0.02	£ 1	407)	Použitelnost - kombinace zatížení 'častá' - směr y
	1.820	KZ219	0.02	£ 1	408)	Použitelnost - kombinace zatížení 'kvazistálá' - směr y
	Průřez č. 1 - HEB 160					
	2.400	KZ157	0.00	£ 1	100)	Žádné resp. velmi malé vnitřní síly
	3.000	KZ66	0.01	£ 1	101)	Posouzení průřezu - tah podle 6.2.3
	0.000	KZ18	0.05	£ 1	102)	Posouzení průřezu - tlak podle 6.2.4
	0.600	ZS9	0.06	£ 1	111)	Posouzení průřezu - ohyb okolo y podle 6.2.5 - třída 1 nebo 2
	1.200	KZ174	0.01	£ 1	116)	Posouzení průřezu - ohyb okolo z podle 6.2.5 - třída 1 nebo 2
	3.000	KZ68	0.02	£ 1	121)	Posouzení průřezu - smyk ve směru z podle 6.2.6
	0.000	KZ70	0.00	£ 1	123)	Posouzení průřezu - smyk ve směru y podle 6.2.6
	0.000	ZS6	0.00	£ 1	126)	Posouzení průřezu - smykové boulení podle 6.2.6(6)
	0.600	ZS9	0.06	£ 1	141)	Posouzení průřezu - ohyb a smyk podle 6.2.5 a 6.2.8
	1.200	KZ174	0.01	£ 1	151)	Posouzení průřezu - ohyb okolo z a smyk podle 6.2.5 a 6.2.8
	0.000	KZ89	0.02	£ 1	161)	Posouzení průřezu - dvousý ohyb a smyk podle 6.2.6, 6.2.7 a 6.2.9
	0.600	KZ83	0.08	£ 1	181)	Posouzení průřezu - ohyb, smyk a osová síla podle 6.2.9.1
	3.000	KZ20	0.02	£ 1	201)	Posouzení průřezu - ohyb okolo z, smyk a osová síla podle 6.2.9.1
	0.000	KZ80	0.03	£ 1	221)	Posouzení průřezu - dvousý ohyb, smyk a osová síla podle 6.2.10 a 6.2.9
	1.500	KZ10	0.05	£ 1	301)	Posouzení stability - vzpěr okolo y podle 6.3.1.1 a 6.3.1.2(4)
13	1.500	KZ10	0.07	£ 1	311)	Posouzení stability - vzpěr okolo z podle 6.3.1.1 a 6.3.1.2(4)
	0.000	KZ18	0.11	£ 1	364)	Posouzení stability - ohyb a tlak podle 6.3.3, metoda 2
	0.000	ZS1	0.00	£ 1	400)	Použitelnost - malé, resp. velmi malé deformace
	1.200	KZ83	0.09	£ 1	401)	Použitelnost - kombinace zatížení 'charakteristická' - směr z
	1.286	KZ207	0.01	£ 1	402)	Použitelnost - kombinace zatížení 'častá' - směr z
	2.100	KZ218	0.00	£ 1	403)	Použitelnost - kombinace zatížení 'kvazistálá' - směr z
	1.714	KZ78	0.02	£ 1	406)	Použitelnost - kombinace zatížení 'charakteristická' - směr y
	1.200	KZ214	0.00	£ 1	407)	Použitelnost - kombinace zatížení 'častá' - směr y
	0.857	KZ220	0.00	£ 1	408)	Použitelnost - kombinace zatížení 'kvazistálá' - směr y
	Průřez č. 1 - HEB 160					
	1.714	KZ153	0.00	£ 1	100)	Žádné resp. velmi malé vnitřní síly
	3.000	KZ66	0.01	£ 1	101)	Posouzení průřezu - tah podle 6.2.3
	0.000	KZ18	0.04	£ 1	102)	Posouzení průřezu - tlak podle 6.2.4
	2.700	KZ81	0.02	£ 1	111)	Posouzení průřezu - ohyb okolo y podle 6.2.5 - třída 1 nebo 2
	3.000	ZS8	0.02	£ 1	116)	Posouzení průřezu - ohyb okolo z podle 6.2.5 - třída 1 nebo 2
	3.000	KZ81	0.01	£ 1	121)	Posouzení průřezu - smyk ve směru z podle 6.2.6
	3.000	KZ83	0.00	£ 1	123)	Posouzení průřezu - smyk ve směru y podle 6.2.6
	0.000	ZS6	0.00	£ 1	126)	Posouzení průřezu - smykové boulení podle 6.2.6(6)
	2.700	KZ81	0.02	£ 1	141)	Posouzení průřezu - ohyb a smyk podle 6.2.5 a 6.2.8
	3.000	ZS8	0.02	£ 1	151)	Posouzení průřezu - ohyb okolo z a smyk podle 6.2.5 a 6.2.8
	0.000	KZ69	0.01	£ 1	161)	Posouzení průřezu - dvousý ohyb a smyk podle 6.2.6, 6.2.7 a 6.2.9
	3.000	KZ49	0.03	£ 1	181)	Posouzení průřezu - ohyb, smyk a osová síla podle 6.2.9.1
	3.000	KZ95	0.02	£ 1	201)	Posouzení průřezu - ohyb okolo z, smyk a osová síla podle 6.2.9.1
	3.000	KZ83	0.03	£ 1	221)	Posouzení průřezu - dvousý ohyb, smyk a osová síla podle 6.2.9.1



Projekt: 2024

Model: POZARNÍ VEZ

Datum: 10.05.2024

NAVRH KROVU 2024

DYSINA - SUSENÍ HADIC

2.4 POSOUZENÍ PO PRUTECH

Prut č.	Místo x [m]	ZS/KZ/KV	Návrh		Podle vzorce	
14	0.000	KZ47	0.03	£ 1	301)	6.2.10 a 6.2.9
	0.000	KZ47	0.04	£ 1	311)	Posouzení stability - vzpěr okolo y podle 6.3.1.1 a 6.3.1.2(4)
	0.000	KZ18	0.08	£ 1	364)	Posouzení stability - vzpěr okolo z podle 6.3.1.1 a 6.3.1.2(4)
	0.000	ZS1	0.00	£ 1	400)	Posouzení stability - ohyb a tlak podle 6.3.3, metoda 2
	1.500	KZ87	0.03	£ 1	401)	Použitelnost - malé, resp. velmi malé deformace
	1.714	KZ211	0.01	£ 1	402)	Použitelnost - kombinace zatížení 'charakteristická' - směr z
	1.714	KZ219	0.01	£ 1	403)	Použitelnost - kombinace zatížení 'častá' - směr z
	0.900	KZ10	0.01	£ 1	406)	Použitelnost - kombinace zatížení 'kvazistálá' - směr z
	1.286	KZ199	0.00	£ 1	407)	Použitelnost - kombinace zatížení 'charakteristická' - směr y
	1.286	KZ219	0.00	£ 1	408)	Použitelnost - kombinace zatížení 'častá' - směr y
	Průřez č. 1 - HEB 160					
	2.400	KZ97	0.00	£ 1	100)	Žádné resp. velmi malé vnitřní síly
	0.000	KZ18	0.03	£ 1	102)	Posouzení průřezu - tlak podle 6.2.4
15	2.400	KZ77	0.01	£ 1	111)	Posouzení průřezu - ohyb okolo y podle 6.2.5 - třída 1 nebo 2
	3.000	KZ78	0.02	£ 1	116)	Posouzení průřezu - ohyb okolo z podle 6.2.5 - třída 1 nebo 2
	0.000	KZ85	0.02	£ 1	121)	Posouzení průřezu - smyk ve směru z podle 6.2.6
	0.000	KZ87	0.00	£ 1	123)	Posouzení průřezu - smyk ve směru y podle 6.2.6
	0.000	ZS2	0.00	£ 1	126)	Posouzení průřezu - smykové boulení podle 6.2.6(6)
	2.400	KZ77	0.01	£ 1	141)	Posouzení průřezu - ohyb a smyk podle 6.2.5 a 6.2.8
	3.000	KZ78	0.02	£ 1	151)	Posouzení průřezu - ohyb okolo z a smyk podle 6.2.5 a 6.2.8
	0.000	KZ68	0.02	£ 1	161)	Posouzení průřezu - dvousý ohyb a smyk podle 6.2.6, 6.2.7 a 6.2.9
	1.800	KZ70	0.05	£ 1	181)	Posouzení průřezu - ohyb, smyk a osová síla podle 6.2.9.1
	0.300	KZ91	0.02	£ 1	201)	Posouzení průřezu - ohyb okolo z, smyk a osová síla podle 6.2.9.1
	3.000	KZ16	0.08	£ 1	221)	Posouzení průřezu - dvousý ohyb, smyk a osová síla podle 6.2.10 a 6.2.9
	0.600	KZ46	0.02	£ 1	301)	Posouzení stability - vzpěr okolo y podle 6.3.1.1 a 6.3.1.2(4)
	0.600	KZ46	0.02	£ 1	311)	Posouzení stability - vzpěr okolo z podle 6.3.1.1 a 6.3.1.2(4)
	0.000	KZ18	0.11	£ 1	364)	Posouzení stability - ohyb a tlak podle 6.3.3, metoda 2
16	0.000	ZS1	0.00	£ 1	400)	Použitelnost - malé, resp. velmi malé deformace
	1.820	KZ18	0.08	£ 1	401)	Použitelnost - kombinace zatížení 'charakteristická' - směr z
	1.820	KZ211	0.03	£ 1	402)	Použitelnost - kombinace zatížení 'častá' - směr z
	1.820	KZ219	0.03	£ 1	403)	Použitelnost - kombinace zatížení 'kvazistálá' - směr z
	1.820	KZ18	0.06	£ 1	406)	Použitelnost - kombinace zatížení 'charakteristická' - směr y
	1.820	KZ211	0.02	£ 1	407)	Použitelnost - kombinace zatížení 'častá' - směr y
	1.820	KZ219	0.02	£ 1	408)	Použitelnost - kombinace zatížení 'kvazistálá' - směr y
	Průřez č. 1 - HEB 160					
	0.000	ZS5	0.00	£ 1	100)	Žádné resp. velmi malé vnitřní síly
	0.000	KZ87	0.09	£ 1	102)	Posouzení průřezu - tlak podle 6.2.4
	0.000	KZ85	0.01	£ 1	121)	Posouzení průřezu - smyk ve směru z podle 6.2.6
	0.000	KZ87	0.00	£ 1	123)	Posouzení průřezu - smyk ve směru y podle 6.2.6
	0.000	ZS6	0.00	£ 1	126)	Posouzení průřezu - smykové boulení podle 6.2.6(6)
	3.000	KZ87	0.01	£ 1	181)	Posouzení průřezu - ohyb, smyk a osová síla podle 6.2.9.1
	0.771	KZ83	0.01	£ 1	201)	Posouzení průřezu - ohyb okolo z, smyk a osová síla podle 6.2.9.1
17	0.000	KZ87	0.04	£ 1	221)	Posouzení průřezu - dvousý ohyb, smyk a osová síla podle 6.2.10 a 6.2.9
	1.200	KZ18	0.09	£ 1	301)	Posouzení stability - vzpěr okolo y podle 6.3.1.1 a 6.3.1.2(4)
	1.180	KZ39	0.10	£ 1	311)	Posouzení stability - vzpěr okolo z podle 6.3.1.1 a 6.3.1.2(4)
	1.200	KZ18	0.13	£ 1	312)	Posouzení stability - vzpěr okolo z podle 6.3.1.1 a 6.3.1.2
	0.000	KZ87	0.17	£ 1	364)	Posouzení stability - ohyb a tlak podle 6.3.3, metoda 2
	0.000	ZS1	0.00	£ 1	400)	Použitelnost - malé, resp. velmi malé deformace
	1.820	KZ87	0.01	£ 1	401)	Použitelnost - kombinace zatížení 'charakteristická' - směr z
	2.100	KZ211	0.00	£ 1	402)	Použitelnost - kombinace zatížení 'častá' - směr z
	2.143	KZ219	0.00	£ 1	403)	Použitelnost - kombinace zatížení 'kvazistálá' - směr z
	0.771	KZ33	0.01	£ 1	406)	Použitelnost - kombinace zatížení 'charakteristická' - směr y
	2.143	KZ211	0.00	£ 1	407)	Použitelnost - kombinace zatížení 'častá' - směr y
	2.400	KZ219	0.00	£ 1	408)	Použitelnost - kombinace zatížení 'kvazistálá' - směr y
	Průřez č. 1 - HEB 160					
18	3.000	ZS5	0.00	£ 1	100)	Žádné resp. velmi malé vnitřní síly
	0.000	KZ18	0.04	£ 1	102)	Posouzení průřezu - tlak podle 6.2.4
	3.000	KZ81	0.01	£ 1	121)	Posouzení průřezu - smyk ve směru z podle 6.2.6
	3.000	KZ83	0.00	£ 1	123)	Posouzení průřezu - smyk ve směru y podle 6.2.6
	0.000	ZS2	0.00	£ 1	126)	Posouzení průřezu - smykové boulení podle 6.2.6(6)
	2.700	KZ29	0.02	£ 1	181)	Posouzení průřezu - ohyb, smyk a osová síla podle 6.2.9.1
	3.000	KZ95	0.02	£ 1	201)	Posouzení průřezu - ohyb okolo z, smyk a osová síla podle 6.2.9.1
	3.000	KZ83	0.03	£ 1	221)	Posouzení průřezu - dvousý ohyb, smyk a osová síla podle 6.2.10 a 6.2.9
	0.857	KZ16	0.04	£ 1	301)	Posouzení stability - vzpěr okolo y podle 6.3.1.1 a 6.3.1.2(4)
	0.857	KZ16	0.06	£ 1	311)	Posouzení stability - vzpěr okolo z podle 6.3.1.1 a 6.3.1.2(4)
	0.000	KZ18	0.07	£ 1	364)	Posouzení stability - ohyb a tlak podle 6.3.3, metoda 2
	0.000	ZS1	0.00	£ 1	400)	Použitelnost - malé, resp. velmi malé deformace
	1.820	KZ9	0.02	£ 1	401)	Použitelnost - kombinace zatížení 'charakteristická' - směr z
	1.800	KZ198	0.01	£ 1	402)	Použitelnost - kombinace zatížení 'častá' - směr z
19	1.800	KZ218	0.01	£ 1	403)	Použitelnost - kombinace zatížení 'kvazistálá' - směr z
	1.714	KZ78	0.02	£ 1	406)	Použitelnost - kombinace zatížení 'charakteristická' - směr y
	1.800	KZ198	0.00	£ 1	407)	Použitelnost - kombinace zatížení 'častá' - směr y
	1.800	KZ218	0.00	£ 1	408)	Použitelnost - kombinace zatížení 'kvazistálá' - směr y
	Průřez č. 1 - HEB 160					
20	1.714	KZ202	0.00	£ 1	100)	Žádné resp. velmi malé vnitřní síly
	0.000	KZ18	0.03	£ 1	102)	Posouzení průřezu - tlak podle 6.2.4
	2.571	KZ201	0.00	£ 1	111)	Posouzení průřezu - ohyb okolo y podle 6.2.5 - třída 1 nebo 2
	0.000	KZ16	0.02	£ 1	121)	Posouzení průřezu - smyk ve směru z podle 6.2.6
	0.000	KZ87	0.00	£ 1	123)	Posouzení průřezu - smyk ve směru y podle 6.2.6

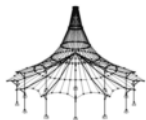


Projekt: 2024 Model: POZARNÍ VEZ
NAVRH KROVU 2024 DYSINA - SUSENI HADIC

Datum: 10.05.2024

2.4 POSOUZENÍ PO PRUTECH

Prut č.	Místo x [m]	ZS/KZ/ KV	Návrh		Podle vzorce	
18	0.000	ZS2	0.00	£ 1	126)	Posouzení průřezu - smykové boulení podle 6.2.6(6)
	2.571	KZ201	0.00	£ 1	141)	Posouzení průřezu - ohyb a smyk podle 6.2.5 a 6.2.8
	3.000	KZ200	0.01	£ 1	161)	Posouzení průřezu - dvouosý ohyb a smyk podle 6.2.6, 6.2.7 a 6.2.9
	0.900	KZ85	0.01	£ 1	181)	Posouzení průřezu - ohyb, smyk a osová síla podle 6.2.9.1
	0.300	KZ68	0.01	£ 1	201)	Posouzení průřezu - ohyb okolo z, smyk a osová síla podle 6.2.9.1
	3.000	KZ10	0.08	£ 1	221)	Posouzení průřezu - dvouosý ohyb, smyk a osová síla podle 6.2.10 a 6.2.9
	0.857	KZ39	0.01	£ 1	301)	Posouzení stability - vzpěr okolo y podle 6.3.1.1 a 6.3.1.2(4)
	0.857	KZ39	0.02	£ 1	311)	Posouzení stability - vzpěr okolo z podle 6.3.1.1 a 6.3.1.2(4)
	0.000	KZ87	0.11	£ 1	364)	Posouzení stability - ohyb a tlak podle 6.3.3, metoda 2
	0.000	ZS1	0.00	£ 1	400)	Použitelnost - malé, resp. velmi malé deformace
	1.820	KZ18	0.08	£ 1	401)	Použitelnost - kombinace zatížení 'charakteristická' - směr z
	1.820	KZ211	0.03	£ 1	402)	Použitelnost - kombinace zatížení 'častá' - směr z
	1.820	KZ219	0.03	£ 1	403)	Použitelnost - kombinace zatížení 'kvazistálá' - směr z
	1.820	KZ87	0.06	£ 1	406)	Použitelnost - kombinace zatížení 'charakteristická' - směr y
	1.820	KZ211	0.02	£ 1	407)	Použitelnost - kombinace zatížení 'častá' - směr y
	1.820	KZ219	0.02	£ 1	408)	Použitelnost - kombinace zatížení 'kvazistálá' - směr y
	Průřez č. 1 - HEB 160					
	2.528	KZ172	0.00	£ 1	100)	Žádné resp. velmi malé vnitřní síly
	3.000	KZ68	0.02	£ 1	101)	Posouzení průřezu - tah podle 6.2.3
	0.000	KZ16	0.06	£ 1	102)	Posouzení průřezu - tlak podle 6.2.4
	0.857	KZ87	0.00	£ 1	111)	Posouzení průřezu - ohyb okolo y podle 6.2.5 - třída 1 nebo 2
	1.714	KZ87	0.01	£ 1	116)	Posouzení průřezu - ohyb okolo z podle 6.2.5 - třída 1 nebo 2
	0.000	KZ85	0.01	£ 1	121)	Posouzení průřezu - smyk ve směru z podle 6.2.6
	0.000	KZ91	0.00	£ 1	123)	Posouzení průřezu - smyk ve směru y podle 6.2.6
	0.000	ZS6	0.00	£ 1	126)	Posouzení průřezu - smykové boulení podle 6.2.6(6)
	0.857	KZ87	0.00	£ 1	141)	Posouzení průřezu - ohyb a smyk podle 6.2.5 a 6.2.8
	1.714	KZ87	0.01	£ 1	151)	Posouzení průřezu - ohyb okolo z a smyk podle 6.2.5 a 6.2.8
	0.000	KZ76	0.03	£ 1	161)	Posouzení průřezu - dvouosý ohyb a smyk podle 6.2.6, 6.2.7 a 6.2.9
	3.000	KZ78	0.01	£ 1	181)	Posouzení průřezu - ohyb, smyk a osová síla podle 6.2.9.1
	0.000	KZ35	0.03	£ 1	201)	Posouzení průřezu - ohyb okolo z, smyk a osová síla podle 6.2.9.1
	0.000	KZ80	0.03	£ 1	221)	Posouzení průřezu - dvouosý ohyb, smyk a osová síla podle 6.2.10 a 6.2.9
	1.500	KZ12	0.05	£ 1	301)	Posouzení stability - vzpěr okolo y podle 6.3.1.1 a 6.3.1.2(4)
	1.500	KZ12	0.07	£ 1	311)	Posouzení stability - vzpěr okolo z podle 6.3.1.1 a 6.3.1.2(4)
	0.000	KZ16	0.10	£ 1	364)	Posouzení stability - ohyb a tlak podle 6.3.3, metoda 2
	0.000	ZS1	0.00	£ 1	400)	Použitelnost - malé, resp. velmi malé deformace
	1.500	KZ81	0.01	£ 1	401)	Použitelnost - kombinace zatížení 'charakteristická' - směr z
	1.714	KZ205	0.00	£ 1	402)	Použitelnost - kombinace zatížení 'častá' - směr z
	1.820	KZ219	0.00	£ 1	403)	Použitelnost - kombinace zatížení 'kvazistálá' - směr z
	1.500	KZ83	0.01	£ 1	406)	Použitelnost - kombinace zatížení 'charakteristická' - směr y
	0.857	KZ214	0.00	£ 1	407)	Použitelnost - kombinace zatížení 'častá' - směr y
	0.857	KZ220	0.00	£ 1	408)	Použitelnost - kombinace zatížení 'kvazistálá' - směr y
19	Průřez č. 1 - HEB 160					
	1.500	KZ204	0.00	£ 1	100)	Žádné resp. velmi malé vnitřní síly
	3.000	KZ68	0.02	£ 1	101)	Posouzení průřezu - tah podle 6.2.3
	0.000	KZ16	0.05	£ 1	102)	Posouzení průřezu - tlak podle 6.2.4
	2.100	KZ183	0.01	£ 1	111)	Posouzení průřezu - ohyb okolo y podle 6.2.5 - třída 1 nebo 2
	0.000	KZ140	0.01	£ 1	116)	Posouzení průřezu - ohyb okolo z podle 6.2.5 - třída 1 nebo 2
	0.000	KZ83	0.01	£ 1	121)	Posouzení průřezu - smyk ve směru z podle 6.2.6
	3.000	KZ83	0.00	£ 1	123)	Posouzení průřezu - smyk ve směru y podle 6.2.6
	0.000	ZS6	0.00	£ 1	126)	Posouzení průřezu - smykové boulení podle 6.2.6(6)
	2.100	KZ183	0.01	£ 1	141)	Posouzení průřezu - ohyb a smyk podle 6.2.5 a 6.2.8
	0.000	KZ140	0.01	£ 1	151)	Posouzení průřezu - ohyb okolo z a smyk podle 6.2.5 a 6.2.8
	3.000	KZ51	0.02	£ 1	161)	Posouzení průřezu - dvouosý ohyb a smyk podle 6.2.6, 6.2.7 a 6.2.9
	3.000	KZ16	0.02	£ 1	181)	Posouzení průřezu - ohyb, smyk a osová síla podle 6.2.9.1
	0.000	KZ31	0.03	£ 1	201)	Posouzení průřezu - ohyb okolo z, smyk a osová síla podle 6.2.9.1
	3.000	KZ83	0.04	£ 1	221)	Posouzení průřezu - dvouosý ohyb, smyk a osová síla podle 6.2.10 a 6.2.9
	0.000	KZ47	0.03	£ 1	301)	Posouzení stability - vzpěr okolo y podle 6.3.1.1 a 6.3.1.2(4)
	0.000	KZ47	0.04	£ 1	311)	Posouzení stability - vzpěr okolo z podle 6.3.1.1 a 6.3.1.2(4)
	0.000	KZ16	0.09	£ 1	364)	Posouzení stability - ohyb a tlak podle 6.3.3, metoda 2
	0.000	ZS1	0.00	£ 1	400)	Použitelnost - malé, resp. velmi malé deformace
	1.714	KZ87	0.03	£ 1	401)	Použitelnost - kombinace zatížení 'charakteristická' - směr z
	1.714	KZ211	0.01	£ 1	402)	Použitelnost - kombinace zatížení 'častá' - směr z
20	Průřez č. 1 - HEB 160					
	2.400	KZ97	0.00	£ 1	100)	Žádné resp. velmi malé vnitřní síly
	0.000	KZ10	0.03	£ 1	102)	Posouzení průřezu - tlak podle 6.2.4
	1.200	KZ66	0.01	£ 1	111)	Posouzení průřezu - ohyb okolo y podle 6.2.5 - třída 1 nebo 2
	3.000	KZ68	0.02	£ 1	116)	Posouzení průřezu - ohyb okolo z podle 6.2.5 - třída 1 nebo 2
	0.000	KZ85	0.02	£ 1	121)	Posouzení průřezu - smyk ve směru z podle 6.2.6
	0.000	KZ87	0.00	£ 1	123)	Posouzení průřezu - smyk ve směru y podle 6.2.6
	0.000	ZS2	0.00	£ 1	126)	Posouzení průřezu - smykové boulení podle 6.2.6(6)
	1.200	KZ66	0.01	£ 1	141)	Posouzení průřezu - ohyb a smyk podle 6.2.5 a 6.2.8
	3.000	KZ68	0.02	£ 1	151)	Posouzení průřezu - ohyb okolo z a smyk podle 6.2.5 a 6.2.8
	0.000	KZ67	0.03	£ 1	161)	Posouzení průřezu - dvouosý ohyb a smyk podle 6.2.6, 6.2.7 a 6.2.9
	0.900	KZ85	0.01	£ 1	181)	Posouzení průřezu - ohyb, smyk a osová síla podle 6.2.9.1



Projekt: 2024 Model: POZARNÍ VEZ
NAVRH KROVU 2024 DYSINA - SUSENI HADIC

Datum: 10.05.2024

2.4 POSOUZENÍ PO PRUTECH

Prut č.	Místo x [m]	ZS/KZ/ KV	Návrh		Podle vzorce	
21	0.000	KZ59	0.02	£ 1	201)	Posouzení průřezu - ohyb okolo z, smyk a osová síla podle 6.2.9.1
	3.000	KZ10	0.07	£ 1	221)	Posouzení průřezu - dvousý ohyb, smyk a osová síla podle 6.2.10 a 6.2.9
	0.600	KZ46	0.02	£ 1	301)	Posouzení stability - vzpěr okolo y podle 6.3.1.1 a 6.3.1.2(4)
	0.600	KZ46	0.02	£ 1	311)	Posouzení stability - vzpěr okolo z podle 6.3.1.1 a 6.3.1.2(4)
	0.000	KZ16	0.10	£ 1	364)	Posouzení stability - ohyb a tlak podle 6.3.3, metoda 2
	0.000	ZS1	0.00	£ 1	400)	Použitelnost - malé, resp. velmi malé deformace
	1.820	KZ16	0.08	£ 1	401)	Použitelnost - kombinace zatížení 'charakteristická' - směr z
	1.820	KZ209	0.03	£ 1	402)	Použitelnost - kombinace zatížení 'častá' - směr z
	1.820	KZ219	0.03	£ 1	403)	Použitelnost - kombinace zatížení 'kvazistálá' - směr z
	1.820	KZ18	0.06	£ 1	406)	Použitelnost - kombinace zatížení 'charakteristická' - směr y
	1.820	KZ211	0.02	£ 1	407)	Použitelnost - kombinace zatížení 'častá' - směr y
	1.820	KZ219	0.02	£ 1	408)	Použitelnost - kombinace zatížení 'kvazistálá' - směr y
	Průřez č. 2 - 2UK UPE 100 Feron - DIN 1026-2					
	0.472	KZ203	0.00	£ 1	100)	Žádné resp. velmi malé vnitřní síly
	2.124	KZ85	0.01	£ 1	101)	Posouzení průřezu - tah podle 6.2.3
	2.360	KZ36	0.04	£ 1	112)	Posouzení průřezu - ohyb okolo y podle 6.2.5 - třída 3
	1.573	KZ91	0.06	£ 1	117)	Posouzení průřezu - ohyb okolo z podle 6.2.5 - třída 3
	2.360	KZ18	0.02	£ 1	122)	Posouzení průřezu - smyk ve směru z podle 6.2.6(4) - třída 3 nebo 4
	0.000	KZ87	0.01	£ 1	124)	Posouzení průřezu - posouvající síla ve směru y podle 6.2.6(4) - třída 3 nebo 4
	2.360	KZ36	0.04	£ 1	143)	Posouzení průřezu - ohyb a smyk podle 6.2.9.2 a 6.2.10 - třída 3 - obecný průřez
	1.573	KZ91	0.06	£ 1	153)	Posouzení průřezu - ohyb okolo z a smyk podle 6.2.9.2 a 6.2.10 - třída 3 - obecný průřez
	0.000	KZ22	0.10	£ 1	163)	Posouzení průřezu - dvousý ohyb a smyk podle 6.2.9.2 a 6.2.10 - třída 3 - obecný průřez
	0.000	KZ20	0.07	£ 1	183)	Posouzení průřezu - ohyb, smyk a osová síla podle 6.2.9.2 - třída 3 - obecný průřez
	0.944	KZ85	0.06	£ 1	203)	Posouzení průřezu - ohyb okolo z, smyk a osová síla podle 6.2.9.2 - třída 3 - obecný průřez
	0.000	KZ18	0.12	£ 1	223)	Posouzení průřezu - dvousý ohyb, smyk a osová síla podle 6.2.10 a 6.2.9 - třída 3 - obecný průřez
22	0.000	ZS1	0.00	£ 1	400)	Použitelnost - malé, resp. velmi malé deformace
	1.180	KZ8	0.04	£ 1	401)	Použitelnost - kombinace zatížení 'charakteristická' - směr z
	1.180	KZ207	0.01	£ 1	402)	Použitelnost - kombinace zatížení 'častá' - směr z
	1.180	KZ218	0.01	£ 1	403)	Použitelnost - kombinace zatížení 'kvazistálá' - směr z
	1.180	KZ65	0.07	£ 1	406)	Použitelnost - kombinace zatížení 'charakteristická' - směr y
	1.180	KZ201	0.01	£ 1	407)	Použitelnost - kombinace zatížení 'častá' - směr y
	0.472	KZ219	0.00	£ 1	408)	Použitelnost - kombinace zatížení 'kvazistálá' - směr y
	Průřez č. 2 - 2UK UPE 100 Feron - DIN 1026-2					
	1.888	KZ2	0.00	£ 1	100)	Žádné resp. velmi malé vnitřní síly
	2.124	KZ80	0.01	£ 1	101)	Posouzení průřezu - tah podle 6.2.3
	1.180	KZ10	0.04	£ 1	112)	Posouzení průřezu - ohyb okolo y podle 6.2.5 - třída 3
	2.360	KZ204	0.02	£ 1	117)	Posouzení průřezu - ohyb okolo z podle 6.2.5 - třída 3
	0.000	KZ34	0.02	£ 1	122)	Posouzení průřezu - smyk ve směru z podle 6.2.6(4) - třída 3 nebo 4
	0.000	KZ68	0.02	£ 1	124)	Posouzení průřezu - posouvající síla ve směru y podle 6.2.6(4) - třída 3 nebo 4
	1.180	KZ10	0.04	£ 1	143)	Posouzení průřezu - ohyb a smyk podle 6.2.9.2 a 6.2.10 - třída 3 - obecný průřez
	2.360	KZ204	0.02	£ 1	153)	Posouzení průřezu - ohyb okolo z a smyk podle 6.2.9.2 a 6.2.10 - třída 3 - obecný průřez
	0.000	KZ11	0.06	£ 1	163)	Posouzení průřezu - dvousý ohyb a smyk podle 6.2.9.2 a 6.2.10 - třída 3 - obecný průřez
	2.360	KZ33	0.06	£ 1	183)	Posouzení průřezu - ohyb, smyk a osová síla podle 6.2.9.2 - třída 3 - obecný průřez
	2.360	KZ80	0.13	£ 1	203)	Posouzení průřezu - ohyb okolo z, smyk a osová síla podle 6.2.9.2 - třída 3 - obecný průřez
	0.000	KZ80	0.21	£ 1	223)	Posouzení průřezu - dvousý ohyb, smyk a osová síla podle 6.2.10 a 6.2.9 - třída 3 - obecný průřez
	0.000	ZS1	0.00	£ 1	400)	Použitelnost - malé, resp. velmi malé deformace
23	1.180	KZ18	0.05	£ 1	401)	Použitelnost - kombinace zatížení 'charakteristická' - směr z
	1.180	KZ211	0.01	£ 1	402)	Použitelnost - kombinace zatížení 'častá' - směr z
	1.180	KZ219	0.01	£ 1	403)	Použitelnost - kombinace zatížení 'kvazistálá' - směr z
	1.573	KZ68	0.08	£ 1	406)	Použitelnost - kombinace zatížení 'charakteristická' - směr y
	1.573	KZ204	0.01	£ 1	407)	Použitelnost - kombinace zatížení 'častá' - směr y
	1.888	KZ219	0.00	£ 1	408)	Použitelnost - kombinace zatížení 'kvazistálá' - směr y
	Průřez č. 2 - 2UK UPE 100 Feron - DIN 1026-2					
	1.573	KZ142	0.00	£ 1	100)	Žádné resp. velmi malé vnitřní síly
	1.180	KZ87	0.02	£ 1	101)	Posouzení průřezu - tah podle 6.2.3
	1.180	KZ8	0.04	£ 1	112)	Posouzení průřezu - ohyb okolo y podle 6.2.5 - třída 3
	0.944	KZ205	0.01	£ 1	117)	Posouzení průřezu - ohyb okolo z podle 6.2.5 - třída 3
	2.360	KZ35	0.04	£ 1	122)	Posouzení průřezu - smyk ve směru z podle 6.2.6(4) - třída 3 nebo 4
	0.000	KZ87	0.03	£ 1	124)	Posouzení průřezu - posouvající síla ve směru y podle 6.2.6(4) - třída 3 nebo 4
	1.180	KZ8	0.04	£ 1	143)	Posouzení průřezu - ohyb a smyk podle 6.2.9.2 a 6.2.10 - třída 3 - obecný průřez
	0.944	KZ205	0.01	£ 1	153)	Posouzení průřezu - ohyb okolo z a smyk podle 6.2.9.2 a 6.2.10 - třída 3 - obecný průřez
	0.000	KZ10	0.08	£ 1	163)	Posouzení průřezu - dvousý ohyb a smyk podle 6.2.9.2 a 6.2.10 - třída 3 - obecný průřez
	0.944	KZ80	0.07	£ 1	183)	Posouzení průřezu - ohyb, smyk a osová síla podle 6.2.9.2 - třída 3 - obecný průřez
	1.416	KZ14	0.06	£ 1	203)	Posouzení průřezu - ohyb okolo z, smyk a osová síla podle



Projekt: 2024

Model: POZARNÍ VEZ

Datum: 10.05.2024

NAVRH KROVU 2024

DYSINA - SUSENI HADIC

2.4 POSOUZENÍ PO PRUTECH

Prut č.	Místo x [m]	ZS/KZ/KV	Návrh		Podle vzorce	
24	0.000	KZ83	0.46	£ 1	223)	6.2.9.2 - třída 3 - obecný průřez Posouzení průřezu - dvouosý ohyb, smyk a osová síla podle 6.2.10 a 6.2.9 - třída 3 - obecný průřez Použitelnost - malé, resp. velmi malé deformace Použitelnost - kombinace zatížení 'charakteristická' - směr z Použitelnost - kombinace zatížení 'častá' - směr z Použitelnost - kombinace zatížení 'kvazistálá' - směr z Použitelnost - kombinace zatížení 'charakteristická' - směr y Použitelnost - kombinace zatížení 'častá' - směr y Použitelnost - kombinace zatížení 'kvazistálá' - směr y
	0.000	ZS1	0.00	£ 1	400)	
	0.472	KZ80	0.06	£ 1	401)	
	0.787	KZ216	0.01	£ 1	402)	
	1.180	KZ220	0.01	£ 1	403)	
	1.652	KZ87	0.10	£ 1	406)	
	1.652	KZ211	0.01	£ 1	407)	
	0.472	KZ219	0.00	£ 1	408)	
	Průřez č. 2 - 2UK UPE 100 Feron - DIN 1026-2					
	1.180	ZS1	0.00	£ 1	100)	Žádné resp. velmi malé vnitřní síly
	1.652	KZ85	0.01	£ 1	101)	Posouzení průřezu - tah podle 6.2.3
	0.000	KZ36	0.04	£ 1	112)	Posouzení průřezu - ohyb okolo y podle 6.2.5 - třída 3
	0.236	KZ203	0.01	£ 1	117)	Posouzení průřezu - ohyb okolo z podle 6.2.5 - třída 3
	2.360	KZ34	0.02	£ 1	122)	Posouzení průřezu - smyk ve směru z podle 6.2.6(4) - třída 3 nebo 4
	2.360	KZ87	0.02	£ 1	124)	Posouzení průřezu - posouvající síla ve směru y podle 6.2.6(4) - třída 3 nebo 4
	0.000	KZ36	0.04	£ 1	143)	Posouzení průřezu - ohyb a smyk podle 6.2.9.2 a 6.2.10 - třída 3 - obecný průřez
	0.236	KZ203	0.01	£ 1	153)	Posouzení průřezu - ohyb okolo z a smyk podle 6.2.9.2 a 6.2.10 - třída 3 - obecný průřez
	0.000	KZ11	0.06	£ 1	163)	Posouzení průřezu - dvouosý ohyb a smyk podle 6.2.9.2 a 6.2.10 - třída 3 - obecný průřez
	1.180	KZ33	0.04	£ 1	183)	Posouzení průřezu - ohyb, smyk a osová síla podle 6.2.9.2 - třída 3 - obecný průřez
	0.236	KZ79	0.09	£ 1	203)	Posouzení průřezu - ohyb okolo z, smyk a osová síla podle 6.2.9.2 - třída 3 - obecný průřez
	2.360	KZ87	0.19	£ 1	223)	Posouzení průřezu - dvouosý ohyb, smyk a osová síla podle 6.2.10 a 6.2.9 - třída 3 - obecný průřez
	0.000	ZS1	0.00	£ 1	400)	Použitelnost - malé, resp. velmi malé deformace
	1.180	KZ8	0.04	£ 1	401)	Použitelnost - kombinace zatížení 'charakteristická' - směr z
	1.180	KZ207	0.01	£ 1	402)	Použitelnost - kombinace zatížení 'častá' - směr z
	1.180	KZ218	0.01	£ 1	403)	Použitelnost - kombinace zatížení 'kvazistálá' - směr z
	0.787	KZ87	0.07	£ 1	406)	Použitelnost - kombinace zatížení 'charakteristická' - směr y
	0.787	KZ211	0.01	£ 1	407)	Použitelnost - kombinace zatížení 'častá' - směr y
	0.472	KZ219	0.00	£ 1	408)	Použitelnost - kombinace zatížení 'kvazistálá' - směr y
25	Průřez č. 2 - 2UK UPE 100 Feron - DIN 1026-2					
	2.124	KZ205	0.00	£ 1	100)	Žádné resp. velmi malé vnitřní síly
	1.652	KZ78	0.01	£ 1	101)	Posouzení průřezu - tah podle 6.2.3
	2.360	KZ83	0.01	£ 1	102)	Posouzení průřezu - tlak podle 6.2.4
	1.180	KZ10	0.04	£ 1	112)	Posouzení průřezu - ohyb okolo y podle 6.2.5 - třída 3
	0.000	KZ204	0.02	£ 1	117)	Posouzení průřezu - ohyb okolo z podle 6.2.5 - třída 3
	2.360	KZ19	0.03	£ 1	122)	Posouzení průřezu - smyk ve směru z podle 6.2.6(4) - třída 3 nebo 4
	2.360	KZ68	0.02	£ 1	124)	Posouzení průřezu - posouvající síla ve směru y podle 6.2.6(4) - třída 3 nebo 4
	1.180	KZ10	0.04	£ 1	143)	Posouzení průřezu - ohyb a smyk podle 6.2.9.2 a 6.2.10 - třída 3 - obecný průřez
	0.000	KZ204	0.02	£ 1	153)	Posouzení průřezu - ohyb okolo z a smyk podle 6.2.9.2 a 6.2.10 - třída 3 - obecný průřez
	2.360	KZ11	0.06	£ 1	163)	Posouzení průřezu - dvouosý ohyb a smyk podle 6.2.9.2 a 6.2.10 - třída 3 - obecný průřez
	1.180	KZ16	0.04	£ 1	183)	Posouzení průřezu - ohyb, smyk a osová síla podle 6.2.9.2 - třída 3 - obecný průřez
	0.000	KZ56	0.10	£ 1	203)	Posouzení průřezu - ohyb okolo z, smyk a osová síla podle 6.2.9.2 - třída 3 - obecný průřez
	2.360	KZ80	0.27	£ 1	223)	Posouzení průřezu - dvouosý ohyb, smyk a osová síla podle 6.2.10 a 6.2.9 - třída 3 - obecný průřez
	0.000	ZS1	0.00	£ 1	400)	Použitelnost - malé, resp. velmi malé deformace
	1.180	KZ18	0.05	£ 1	401)	Použitelnost - kombinace zatížení 'charakteristická' - směr z
	1.180	KZ211	0.01	£ 1	402)	Použitelnost - kombinace zatížení 'častá' - směr z
	1.180	KZ219	0.01	£ 1	403)	Použitelnost - kombinace zatížení 'kvazistálá' - směr z
	0.708	KZ68	0.09	£ 1	406)	Použitelnost - kombinace zatížení 'charakteristická' - směr y
	0.708	KZ204	0.01	£ 1	407)	Použitelnost - kombinace zatížení 'častá' - směr y
	1.888	KZ219	0.00	£ 1	408)	Použitelnost - kombinace zatížení 'kvazistálá' - směr y
26	Průřez č. 2 - 2UK UPE 100 Feron - DIN 1026-2					
	1.416	KZ97	0.00	£ 1	100)	Žádné resp. velmi malé vnitřní síly
	1.416	KZ87	0.01	£ 1	101)	Posouzení průřezu - tah podle 6.2.3
	1.180	KZ8	0.04	£ 1	112)	Posouzení průřezu - ohyb okolo y podle 6.2.5 - třída 3
	0.000	KZ203	0.03	£ 1	117)	Posouzení průřezu - ohyb okolo z podle 6.2.5 - třída 3
	2.360	KZ18	0.03	£ 1	122)	Posouzení průřezu - smyk ve směru z podle 6.2.6(4) - třída 3 nebo 4
	2.360	KZ87	0.03	£ 1	124)	Posouzení průřezu - posouvající síla ve směru y podle 6.2.6(4) - třída 3 nebo 4
	1.180	KZ8	0.04	£ 1	143)	Posouzení průřezu - ohyb a smyk podle 6.2.9.2 a 6.2.10 - třída 3 - obecný průřez
	0.000	KZ203	0.03	£ 1	153)	Posouzení průřezu - ohyb okolo z a smyk podle 6.2.9.2 a 6.2.10 - třída 3 - obecný průřez
	2.360	KZ10	0.07	£ 1	163)	Posouzení průřezu - dvouosý ohyb a smyk podle 6.2.9.2 a 6.2.10 - třída 3 - obecný průřez
	1.180	KZ20	0.05	£ 1	183)	Posouzení průřezu - ohyb, smyk a osová síla podle 6.2.9.2 - třída 3 - obecný průřez
	0.000	KZ151	0.11	£ 1	203)	Posouzení průřezu - ohyb okolo z, smyk a osová síla podle 6.2.9.2 - třída 3 - obecný průřez
	2.360	KZ87	0.39	£ 1	223)	Posouzení průřezu - dvouosý ohyb, smyk a osová síla podle 6.2.10 a 6.2.9 - třída 3 - obecný průřez



Projekt: 2024

Model: POZARNÍ VEZ

Datum: 10.05.2024

NAVRH KROVU 2024

DYSINA - SUSENI HADIC

■ 2.4 POSOUZENÍ PO PRUTECH

Prut č.	Místo x [m]	ZS/KZ/ KV	Návrh		Podle vzorce	
	0.000	ZS1	0.00	£ 1	400)	Použitelnost - malé, resp. velmi malé deformace
	1.180	KZ33	0.05	£ 1	401)	Použitelnost - kombinace zatížení 'charakteristická' - směr z
	1.180	KZ214	0.01	£ 1	402)	Použitelnost - kombinace zatížení 'častá' - směr z
	1.180	KZ220	0.01	£ 1	403)	Použitelnost - kombinace zatížení 'kvazistálá' - směr z
	0.708	KZ87	0.10	£ 1	406)	Použitelnost - kombinace zatížení 'charakteristická' - směr y
	0.708	KZ211	0.01	£ 1	407)	Použitelnost - kombinace zatížení 'častá' - směr y
	0.472	KZ219	0.00	£ 1	408)	Použitelnost - kombinace zatížení 'kvazistálá' - směr y
	27 Průřez č. 3 - 2UK UPE 120 Feron - DIN 1026-2					
	0.000	ZS7	0.00	£ 1	100)	Žádné resp. velmi malé vnitřní síly
	0.000	KZ66	0.00	£ 1	101)	Posouzení průřezu - tah podle 6.2.3
	0.393	KZ10	0.00	£ 1	102)	Posouzení průřezu - tlak podle 6.2.4
	0.079	KZ85	0.22	£ 1	112)	Posouzení průřezu - ohyb okolo y podle 6.2.5 - třída 3
	0.000	KZ68	0.02	£ 1	117)	Posouzení průřezu - ohyb okolo z podle 6.2.5 - třída 3
	0.000	KZ18	0.01	£ 1	122)	Posouzení průřezu - smyk ve směru z podle 6.2.6(4) - třída 3 nebo 4
	0.000	KZ68	0.01	£ 1	124)	Posouzení průřezu - posouvající síla ve směru y podle 6.2.6(4) - třída 3 nebo 4
	0.079	KZ85	0.22	£ 1	143)	Posouzení průřezu - ohyb a smyk podle 6.2.9.2 a 6.2.10 - třída 3 - obecný průřez
	0.000	KZ68	0.02	£ 1	153)	Posouzení průřezu - ohyb okolo z a smyk podle 6.2.9.2 a 6.2.10 - třída 3 - obecný průřez
	0.472	KZ85	0.22	£ 1	163)	Posouzení průřezu - dvousý ohyb a smyk podle 6.2.9.2 a 6.2.10 - třída 3 - obecný průřez
	0.393	KZ10	0.26	£ 1	183)	Posouzení průřezu - ohyb, smyk a osová síla podle 6.2.9.2 - třída 3 - obecný průřez
	0.629	KZ18	0.26	£ 1	223)	Posouzení průřezu - dvousý ohyb, smyk a osová síla podle 6.2.10 a 6.2.9 - třída 3 - obecný průřez
	0.000	ZS1	0.00	£ 1	400)	Použitelnost - malé, resp. velmi malé deformace
	0.393	KZ10	0.14	£ 1	401)	Použitelnost - kombinace zatížení 'charakteristická' - směr z
	0.393	KZ199	0.06	£ 1	402)	Použitelnost - kombinace zatížení 'častá' - směr z
	0.393	KZ219	0.06	£ 1	403)	Použitelnost - kombinace zatížení 'kvazistálá' - směr z
	0.393	KZ66	0.00	£ 1	406)	Použitelnost - kombinace zatížení 'charakteristická' - směr y
	0.393	KZ202	0.00	£ 1	407)	Použitelnost - kombinace zatížení 'častá' - směr y
	28 Průřez č. 3 - 2UK UPE 120 Feron - DIN 1026-2					
	0.000	KZ66	0.00	£ 1	101)	Posouzení průřezu - tah podle 6.2.3
	0.787	KZ10	0.00	£ 1	102)	Posouzení průřezu - tlak podle 6.2.4
	0.787	KZ11	0.07	£ 1	112)	Posouzení průřezu - ohyb okolo y podle 6.2.5 - třída 3
	0.787	KZ67	0.01	£ 1	117)	Posouzení průřezu - ohyb okolo z podle 6.2.5 - třída 3
	0.787	KZ11	0.03	£ 1	122)	Posouzení průřezu - smyk ve směru z podle 6.2.6(4) - třída 3 nebo 4
	0.000	KZ68	0.00	£ 1	124)	Posouzení průřezu - posouvající síla ve směru y podle 6.2.6(4) - třída 3 nebo 4
	0.000	KZ16	0.14	£ 1	131)	Posouzení průřezu - kroucení podle 6.2.7
	0.787	KZ10	0.28	£ 1	133)	Posouzení průřezu - kroucení a smyk podle 6.2.7(5)
	0.000	KZ18	0.08	£ 1	138)	Posouzení průřezu - kroucení a smyk podle 6.2.7(5)
	0.787	KZ11	0.07	£ 1	143)	Posouzení průřezu - ohyb a smyk podle 6.2.9.2 a 6.2.10 - třída 3 - obecný průřez
	0.000	KZ145	0.16	£ 1	148)	Posouzení průřezu - ohyb, smyk a kroucení podle 6.2.9.2 a 6.2.10 - třída 3 - obecný průřez
	0.787	KZ67	0.01	£ 1	153)	Posouzení průřezu - ohyb okolo z a smyk podle 6.2.9.2 a 6.2.10 - třída 3 - obecný průřez
	0.787	KZ22	0.07	£ 1	163)	Posouzení průřezu - dvousý ohyb a smyk podle 6.2.9.2 a 6.2.10 - třída 3 - obecný průřez
	0.787	KZ85	0.25	£ 1	168)	Posouzení průřezu - dvousý ohyb, smyk a kroucení podle 6.2.9.2 a 6.2.10 - třída 3 - obecný průřez
	0.787	KZ10	0.30	£ 1	188)	Posouzení průřezu - ohyb, smyk, kroucení a osová síla podle 6.2.9.2 - třída 3 - obecný průřez
	0.787	KZ94	0.01	£ 1	203)	Posouzení průřezu - ohyb okolo z, smyk a osová síla podle 6.2.9.2 - třída 3 - obecný průřez
	0.000	KZ89	0.03	£ 1	223)	Posouzení průřezu - dvousý ohyb, smyk a osová síla podle 6.2.10 a 6.2.9 - třída 3 - obecný průřez
	0.787	KZ18	0.30	£ 1	228)	Posouzení průřezu - dvousý ohyb, smyk, kroucení a osová síla podle 6.2.10 a 6.2.9 - třída 3 - obecný průřez
	0.787	KZ10	0.34	£ 1	271)	Posouzení průřezu - normálové napětí a kroucení - elastické posouzení
	0.000	ZS1	0.00	£ 1	400)	Použitelnost - malé, resp. velmi malé deformace
	0.629	KZ10	0.03	£ 1	401)	Použitelnost - kombinace zatížení 'charakteristická' - směr z
	0.629	KZ199	0.01	£ 1	402)	Použitelnost - kombinace zatížení 'častá' - směr z
	0.629	KZ219	0.01	£ 1	403)	Použitelnost - kombinace zatížení 'kvazistálá' - směr z
	0.393	KZ85	0.00	£ 1	406)	Použitelnost - kombinace zatížení 'charakteristická' - směr y
	0.472	KZ209	0.00	£ 1	407)	Použitelnost - kombinace zatížení 'častá' - směr y
	29 Průřez č. 3 - 2UK UPE 120 Feron - DIN 1026-2					
	0.000	KZ66	0.00	£ 1	101)	Posouzení průřezu - tah podle 6.2.3
	0.787	KZ87	0.01	£ 1	102)	Posouzení průřezu - tlak podle 6.2.4
	0.315	KZ150	0.17	£ 1	112)	Posouzení průřezu - ohyb okolo y podle 6.2.5 - třída 3
	0.787	ZS9	0.01	£ 1	117)	Posouzení průřezu - ohyb okolo z podle 6.2.5 - třída 3
	0.000	KZ18	0.01	£ 1	122)	Posouzení průřezu - smyk ve směru z podle 6.2.6(4) - třída 3 nebo 4
	0.787	KZ68	0.01	£ 1	124)	Posouzení průřezu - posouvající síla ve směru y podle 6.2.6(4) - třída 3 nebo 4
	0.315	KZ150	0.17	£ 1	143)	Posouzení průřezu - ohyb a smyk podle 6.2.9.2 a 6.2.10 - třída 3 - obecný průřez
	0.787	ZS9	0.01	£ 1	153)	Posouzení průřezu - ohyb okolo z a smyk podle 6.2.9.2 a 6.2.10 - třída 3 - obecný průřez
	0.472	KZ85	0.23	£ 1	163)	Posouzení průřezu - dvousý ohyb a smyk podle 6.2.9.2 a 6.2.10 - třída 3 - obecný průřez
	0.472	KZ18	0.26	£ 1	183)	Posouzení průřezu - ohyb, smyk a osová síla podle 6.2.9.2 - třída 3 - obecný průřez



Projekt: 2024

Model: POZARNÍ VEZ

Datum: 10.05.2024

NAVRH KROVU 2024

DYSINA - SUSENI HADIC

2.4 POSOUZENÍ PO PRUTECH

Prut č.	Místo x [m]	ZS/KZ/ KV	Návrh		Podle vzorce	
30	0.000	KZ67	0.01	£ 1	203)	Posouzení průřezu - ohyb okolo z, smyk a osová síla podle 6.2.9.2 - třída 3 - obecný průřez
	0.393	KZ16	0.26	£ 1	223)	Posouzení průřezu - dvouosý ohyb, smyk a osová síla podle 6.2.10 a 6.2.9 - třída 3 - obecný průřez
	0.000	ZS1	0.00	£ 1	400)	Použitelnost - malé, resp. velmi malé deformace
	0.393	KZ16	0.14	£ 1	401)	Použitelnost - kombinace zatížení 'charakteristická' - směr z
	0.393	KZ199	0.06	£ 1	402)	Použitelnost - kombinace zatížení 'častá' - směr z
	0.393	KZ219	0.06	£ 1	403)	Použitelnost - kombinace zatížení 'kvazistálá' - směr z
	0.393	KZ85	0.00	£ 1	406)	Použitelnost - kombinace zatížení 'charakteristická' - směr y
	0.472	KZ209	0.00	£ 1	407)	Použitelnost - kombinace zatížení 'častá' - směr y
	Průřez č. 3 - 2UK UPE 120 Feron - DIN 1026-2					
	0.393	KZ66	0.00	£ 1	101)	Posouzení průřezu - tah podle 6.2.3
	0.787	KZ87	0.01	£ 1	102)	Posouzení průřezu - tlak podle 6.2.4
	0.787	KZ11	0.07	£ 1	112)	Posouzení průřezu - ohyb okolo y podle 6.2.5 - třída 3
	0.787	KZ162	0.01	£ 1	117)	Posouzení průřezu - ohyb okolo z podle 6.2.5 - třída 3
	0.787	KZ11	0.04	£ 1	122)	Posouzení průřezu - smyk ve směru z podle 6.2.6(4) - třída 3 nebo 4
	0.787	KZ80	0.01	£ 1	124)	Posouzení průřezu - posouvající síla ve směru y podle 6.2.6(4) - třída 3 nebo 4
	0.000	KZ18	0.14	£ 1	131)	Posouzení průřezu - kroucení podle 6.2.7
	0.787	KZ10	0.28	£ 1	133)	Posouzení průřezu - kroucení a smyk podle 6.2.7(5)
	0.472	KZ18	0.09	£ 1	138)	Posouzení průřezu - kroucení a smyk podle 6.2.7(5)
	0.787	KZ11	0.07	£ 1	143)	Posouzení průřezu - ohyb a smyk podle 6.2.9.2 a 6.2.10 - třída 3 - obecný průřez
	0.157	KZ149	0.10	£ 1	148)	Posouzení průřezu - ohyb, smyk a kroucení podle 6.2.9.2 a 6.2.10 - třída 3 - obecný průřez
	0.787	KZ162	0.01	£ 1	153)	Posouzení průřezu - ohyb okolo z a smyk podle 6.2.9.2 a 6.2.10 - třída 3 - obecný průřez
	0.787	KZ20	0.08	£ 1	163)	Posouzení průřezu - dvouosý ohyb a smyk podle 6.2.9.2 a 6.2.10 - třída 3 - obecný průřez
	0.787	KZ85	0.27	£ 1	168)	Posouzení průřezu - dvouosý ohyb, smyk a kroucení podle 6.2.9.2 a 6.2.10 - třída 3 - obecný průřez
	0.236	KZ22	0.02	£ 1	183)	Posouzení průřezu - ohyb, smyk a osová síla podle 6.2.9.2 - třída 3 - obecný průřez
	0.787	KZ10	0.31	£ 1	188)	Posouzení průřezu - ohyb, smyk, kroucení a osová síla podle 6.2.9.2 - třída 3 - obecný průřez
	0.787	KZ67	0.03	£ 1	203)	Posouzení průřezu - ohyb okolo z, smyk a osová síla podle 6.2.9.2 - třída 3 - obecný průřez
	0.787	KZ22	0.09	£ 1	223)	Posouzení průřezu - dvouosý ohyb, smyk a osová síla podle 6.2.10 a 6.2.9 - třída 3 - obecný průřez
	0.787	KZ18	0.32	£ 1	228)	Posouzení průřezu - dvouosý ohyb, smyk, kroucení a osová síla podle 6.2.10 a 6.2.9 - třída 3 - obecný průřez
	0.787	KZ10	0.34	£ 1	271)	Posouzení průřezu - normálové napětí a kroucení - elastické posouzení
	0.000	ZS1	0.00	£ 1	400)	Použitelnost - malé, resp. velmi malé deformace
	0.629	KZ10	0.03	£ 1	401)	Použitelnost - kombinace zatížení 'charakteristická' - směr z
	0.629	KZ199	0.01	£ 1	402)	Použitelnost - kombinace zatížení 'častá' - směr z
	0.629	KZ219	0.01	£ 1	403)	Použitelnost - kombinace zatížení 'kvazistálá' - směr z
	0.551	KZ68	0.00	£ 1	406)	Použitelnost - kombinace zatížení 'charakteristická' - směr y
	0.551	KZ204	0.00	£ 1	407)	Použitelnost - kombinace zatížení 'častá' - směr y
31	Průřez č. 5 - 2UK UPE 120 Feron - DIN 1026-2					
	0.393	KZ97	0.00	£ 1	100)	Žádné resp. velmi malé vnitřní síly
	1.180	KZ10	0.30	£ 1	112)	Posouzení průřezu - ohyb okolo y podle 6.2.5 - třída 3
	1.967	KZ68	0.02	£ 1	117)	Posouzení průřezu - ohyb okolo z podle 6.2.5 - třída 3
	0.000	KZ10	0.13	£ 1	122)	Posouzení průřezu - smyk ve směru z podle 6.2.6(4) - třída 3 nebo 4
	2.360	KZ88	0.00	£ 1	124)	Posouzení průřezu - posouvající síla ve směru y podle 6.2.6(4) - třída 3 nebo 4
	1.180	KZ10	0.30	£ 1	143)	Posouzení průřezu - ohyb a smyk podle 6.2.9.2 a 6.2.10 - třída 3 - obecný průřez
	1.967	KZ68	0.02	£ 1	153)	Posouzení průřezu - ohyb okolo z a smyk podle 6.2.9.2 a 6.2.10 - třída 3 - obecný průřez
	0.944	KZ18	0.28	£ 1	163)	Posouzení průřezu - dvouosý ohyb a smyk podle 6.2.9.2 a 6.2.10 - třída 3 - obecný průřez
	0.000	ZS1	0.00	£ 1	400)	Použitelnost - malé, resp. velmi malé deformace
	1.180	KZ10	0.40	£ 1	401)	Použitelnost - kombinace zatížení 'charakteristická' - směr z
	1.180	KZ199	0.17	£ 1	402)	Použitelnost - kombinace zatížení 'častá' - směr z
	1.180	KZ219	0.17	£ 1	403)	Použitelnost - kombinace zatížení 'kvazistálá' - směr z
	1.888	KZ68	0.01	£ 1	406)	Použitelnost - kombinace zatížení 'charakteristická' - směr y
	1.888	KZ204	0.00	£ 1	407)	Použitelnost - kombinace zatížení 'častá' - směr y
32	Průřez č. 5 - 2UK UPE 120 Feron - DIN 1026-2					
	1.967	KZ97	0.00	£ 1	100)	Žádné resp. velmi malé vnitřní síly
	1.180	KZ18	0.30	£ 1	112)	Posouzení průřezu - ohyb okolo y podle 6.2.5 - třída 3
	2.360	KZ68	0.03	£ 1	117)	Posouzení průřezu - ohyb okolo z podle 6.2.5 - třída 3
	2.360	KZ18	0.13	£ 1	122)	Posouzení průřezu - smyk ve směru z podle 6.2.6(4) - třída 3 nebo 4
	2.360	KZ68	0.00	£ 1	124)	Posouzení průřezu - posouvající síla ve směru y podle 6.2.6(4) - třída 3 nebo 4
	1.180	KZ18	0.30	£ 1	143)	Posouzení průřezu - ohyb a smyk podle 6.2.9.2 a 6.2.10 - třída 3 - obecný průřez
	2.360	KZ68	0.03	£ 1	153)	Posouzení průřezu - ohyb okolo z a smyk podle 6.2.9.2 a 6.2.10 - třída 3 - obecný průřez
	1.416	KZ18	0.29	£ 1	163)	Posouzení průřezu - dvouosý ohyb a smyk podle 6.2.9.2 a 6.2.10 - třída 3 - obecný průřez
	0.000	ZS1	0.00	£ 1	400)	Použitelnost - malé, resp. velmi malé deformace
	1.180	KZ18	0.40	£ 1	401)	Použitelnost - kombinace zatížení 'charakteristická' - směr z
	1.180	KZ199	0.17	£ 1	402)	Použitelnost - kombinace zatížení 'častá' - směr z
	1.180	KZ219	0.17	£ 1	403)	Použitelnost - kombinace zatížení 'kvazistálá' - směr z



Projekt: 2024

Model: POZARNÍ VEZ

Datum: 10.05.2024

NAVRH KROVU 2024

DYSINA - SUSENI HADIC

■ 2.4 POSOUZENÍ PO PRUTECH

Prut č.	Místo x [m]	ZS/KZ/ KV	Návrh		Podle vzorce	
33	1.888	KZ80	0.01	£ 1	406)	Použitelnost - kombinace zatížení 'charakteristická' - směr y
	1.888	KZ204	0.00	£ 1	407)	Použitelnost - kombinace zatížení 'častá' - směr y
	Průřez č. 2 - 2UK UPE 100 Feron - DIN 1026-2					
	0.472	KZ46	0.00	£ 1	100)	Žádné resp. velmi malé vnitřní síly
	0.708	KZ87	0.01	£ 1	101)	Posouzení průřezu - tah podle 6.2.3
	1.180	KZ66	0.01	£ 1	102)	Posouzení průřezu - tlak podle 6.2.4
	1.180	KZ8	0.04	£ 1	112)	Posouzení průřezu - ohyb okolo y podle 6.2.5 - třída 3
	0.000	KZ203	0.03	£ 1	117)	Posouzení průřezu - ohyb okolo z podle 6.2.5 - třída 3
	0.000	KZ33	0.02	£ 1	122)	Posouzení průřezu - smyk ve směru z podle 6.2.6(4) - třída 3 nebo 4
	0.000	KZ87	0.03	£ 1	124)	Posouzení průřezu - posouvající síla ve směru y podle 6.2.6(4) - třída 3 nebo 4
	1.180	KZ8	0.04	£ 1	143)	Posouzení průřezu - ohyb a smyk podle 6.2.9.2 a 6.2.10 - třída 3 - obecný průřez
	0.000	KZ203	0.03	£ 1	153)	Posouzení průřezu - ohyb okolo z a smyk podle 6.2.9.2 a 6.2.10 - třída 3 - obecný průřez
	2.360	KZ10	0.06	£ 1	163)	Posouzení průřezu - dvousý ohyb a smyk podle 6.2.9.2 a 6.2.10 - třída 3 - obecný průřez
	0.236	KZ29	0.03	£ 1	183)	Posouzení průřezu - ohyb, smyk a osová síla podle 6.2.9.2 - třída 3 - obecný průřez
	1.888	KZ87	0.20	£ 1	203)	Posouzení průřezu - ohyb okolo z, smyk a osová síla podle 6.2.9.2 - třída 3 - obecný průřez
	2.360	KZ87	0.30	£ 1	223)	Posouzení průřezu - dvousý ohyb, smyk a osová síla podle 6.2.10 a 6.2.9 - třída 3 - obecný průřez
	0.000	ZS1	0.00	£ 1	400)	Použitelnost - malé, resp. velmi malé deformace
	1.180	KZ35	0.06	£ 1	401)	Použitelnost - kombinace zatížení 'charakteristická' - směr z
	1.180	KZ216	0.01	£ 1	402)	Použitelnost - kombinace zatížení 'častá' - směr z
	1.180	KZ220	0.01	£ 1	403)	Použitelnost - kombinace zatížení 'kvazistálá' - směr z
	1.720	KZ87	0.11	£ 1	406)	Použitelnost - kombinace zatížení 'charakteristická' - směr y
	1.720	KZ211	0.01	£ 1	407)	Použitelnost - kombinace zatížení 'častá' - směr y
	0.472	KZ219	0.00	£ 1	408)	Použitelnost - kombinace zatížení 'kvazistálá' - směr y
34	Průřez č. 2 - 2UK UPE 100 Feron - DIN 1026-2					
	1.652	KZ1	0.00	£ 1	100)	Žádné resp. velmi malé vnitřní síly
	2.360	KZ78	0.00	£ 1	101)	Posouzení průřezu - tah podle 6.2.3
	1.180	KZ10	0.04	£ 1	112)	Posouzení průřezu - ohyb okolo y podle 6.2.5 - třída 3
	0.000	KZ164	0.11	£ 1	117)	Posouzení průřezu - ohyb okolo z podle 6.2.5 - třída 3
	0.000	KZ17	0.02	£ 1	122)	Posouzení průřezu - smyk ve směru z podle 6.2.6(4) - třída 3 nebo 4
	0.000	KZ68	0.02	£ 1	124)	Posouzení průřezu - posouvající síla ve směru y podle 6.2.6(4) - třída 3 nebo 4
	1.180	KZ10	0.04	£ 1	143)	Posouzení průřezu - ohyb a smyk podle 6.2.9.2 a 6.2.10 - třída 3 - obecný průřez
	0.000	KZ164	0.11	£ 1	153)	Posouzení průřezu - ohyb okolo z a smyk podle 6.2.9.2 a 6.2.10 - třída 3 - obecný průřez
	2.360	KZ35	0.15	£ 1	163)	Posouzení průřezu - dvousý ohyb a smyk podle 6.2.9.2 a 6.2.10 - třída 3 - obecný průřez
	0.393	KZ66	0.02	£ 1	183)	Posouzení průřezu - ohyb, smyk a osová síla podle 6.2.9.2 - třída 3 - obecný průřez
	0.000	KZ68	0.17	£ 1	203)	Posouzení průřezu - ohyb okolo z, smyk a osová síla podle 6.2.9.2 - třída 3 - obecný průřez
	2.360	KZ80	0.19	£ 1	223)	Posouzení průřezu - dvousý ohyb, smyk a osová síla podle 6.2.10 a 6.2.9 - třída 3 - obecný průřez
	0.000	ZS1	0.00	£ 1	400)	Použitelnost - malé, resp. velmi malé deformace
	1.180	KZ10	0.05	£ 1	401)	Použitelnost - kombinace zatížení 'charakteristická' - směr z
	1.180	KZ199	0.01	£ 1	402)	Použitelnost - kombinace zatížení 'častá' - směr z
	1.180	KZ219	0.01	£ 1	403)	Použitelnost - kombinace zatížení 'kvazistálá' - směr z
	1.573	KZ68	0.09	£ 1	406)	Použitelnost - kombinace zatížení 'charakteristická' - směr y
	1.573	KZ204	0.01	£ 1	407)	Použitelnost - kombinace zatížení 'častá' - směr y
	0.472	KZ219	0.00	£ 1	408)	Použitelnost - kombinace zatížení 'kvazistálá' - směr y
35	Průřez č. 2 - 2UK UPE 100 Feron - DIN 1026-2					
	0.944	ZS1	0.00	£ 1	100)	Žádné resp. velmi malé vnitřní síly
	0.393	KZ87	0.01	£ 1	101)	Posouzení průřezu - tah podle 6.2.3
	1.180	KZ66	0.01	£ 1	102)	Posouzení průřezu - tlak podle 6.2.4
	0.000	KZ36	0.04	£ 1	112)	Posouzení průřezu - ohyb okolo y podle 6.2.5 - třída 3
	1.180	KZ50	0.03	£ 1	117)	Posouzení průřezu - ohyb okolo z podle 6.2.5 - třída 3
	0.000	KZ16	0.02	£ 1	122)	Posouzení průřezu - smyk ve směru z podle 6.2.6(4) - třída 3 nebo 4
	0.000	KZ87	0.01	£ 1	124)	Posouzení průřezu - posouvající síla ve směru y podle 6.2.6(4) - třída 3 nebo 4
	0.000	KZ36	0.04	£ 1	143)	Posouzení průřezu - ohyb a smyk podle 6.2.9.2 a 6.2.10 - třída 3 - obecný průřez
	1.180	KZ50	0.03	£ 1	153)	Posouzení průřezu - ohyb okolo z a smyk podle 6.2.9.2 a 6.2.10 - třída 3 - obecný průřez
	0.000	KZ16	0.09	£ 1	163)	Posouzení průřezu - dvousý ohyb a smyk podle 6.2.9.2 a 6.2.10 - třída 3 - obecný průřez
	2.360	KZ20	0.05	£ 1	183)	Posouzení průřezu - ohyb, smyk a osová síla podle 6.2.9.2 - třída 3 - obecný průřez
	1.652	KZ87	0.09	£ 1	203)	Posouzení průřezu - ohyb okolo z, smyk a osová síla podle 6.2.9.2 - třída 3 - obecný průřez
	2.360	KZ87	0.13	£ 1	223)	Posouzení průřezu - dvousý ohyb, smyk a osová síla podle 6.2.10 a 6.2.9 - třída 3 - obecný průřez
	0.000	ZS1	0.00	£ 1	400)	Použitelnost - malé, resp. velmi malé deformace
	1.180	KZ33	0.05	£ 1	401)	Použitelnost - kombinace zatížení 'charakteristická' - směr z
	1.180	KZ214	0.01	£ 1	402)	Použitelnost - kombinace zatížení 'častá' - směr z
	1.180	KZ220	0.01	£ 1	403)	Použitelnost - kombinace zatížení 'kvazistálá' - směr z
	1.416	KZ87	0.08	£ 1	406)	Použitelnost - kombinace zatížení 'charakteristická' - směr y
	1.573	KZ211	0.01	£ 1	407)	Použitelnost - kombinace zatížení 'častá' - směr y
	1.888	KZ219	0.00	£ 1	408)	Použitelnost - kombinace zatížení 'kvazistálá' - směr y



Projekt: 2024

Model: POZARNÍ VEZ

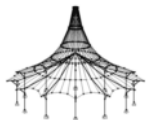
Datum: 10.05.2024

NAVRH KROVU 2024

DYSINA - SUSENÍ HADIC

■ 2.4 POSOUZENÍ PO PRUTECH

Prut č.	Místo x [m]	ZS/KZ/KV	Návrh	Podle vzorce	
36	Průřez č. 2 - 2UK UPE 100 Feron - DIN 1026-2				
	1.888	KZ46	0.00	£ 1	100)
	0.771	KZ87	0.01	£ 1	101)
	1.180	KZ8	0.04	£ 1	112)
	2.360	KZ203	0.03	£ 1	117)
	0.000	KZ16	0.02	£ 1	122)
					Žádné resp. velmi malé vnitřní síly
					Posouzení průřezu - tah podle 6.2.3
					Posouzení průřezu - ohyb okolo y podle 6.2.5 - třída 3
					Posouzení průřezu - ohyb okolo z podle 6.2.5 - třída 3
					Posouzení průřezu - smyk ve směru z podle 6.2.6(4) - třída 3 nebo 4
	0.000	KZ87	0.03	£ 1	124)
					Posouzení průřezu - posouvající síla ve směru y podle 6.2.6(4) - třída 3 nebo 4
	1.180	KZ8	0.04	£ 1	143)
					Posouzení průřezu - ohyb a smyk podle 6.2.9.2 a 6.2.10 - třída 3 - obecný průřez
	2.360	KZ203	0.03	£ 1	153)
					Posouzení průřezu - ohyb okolo z a smyk podle 6.2.9.2 a 6.2.10 - třída 3 - obecný průřez
	0.000	KZ10	0.06	£ 1	163)
					Posouzení průřezu - dvousý ohyb a smyk podle 6.2.9.2 a 6.2.10 - třída 3 - obecný průřez
	1.180	KZ44	0.04	£ 1	183)
					Posouzení průřezu - ohyb, smyk a osová síla podle 6.2.9.2 - třída 3 - obecný průřez
37	Průřez č. 2 - 2UK UPE 100 Feron - DIN 1026-2				
	0.708	KZ1	0.00	£ 1	100)
	0.708	KZ80	0.00	£ 1	101)
	1.416	KZ81	0.00	£ 1	102)
	1.180	KZ10	0.04	£ 1	112)
	2.360	KZ164	0.08	£ 1	117)
	0.000	KZ33	0.03	£ 1	122)
					Žádné resp. velmi malé vnitřní síly
					Posouzení průřezu - tah podle 6.2.3
					Posouzení průřezu - tlak podle 6.2.4
					Posouzení průřezu - ohyb okolo y podle 6.2.5 - třída 3
					Posouzení průřezu - ohyb okolo z podle 6.2.5 - třída 3
					Posouzení průřezu - smyk ve směru z podle 6.2.6(4) - třída 3 nebo 4
	0.000	KZ68	0.02	£ 1	124)
					Posouzení průřezu - posouvající síla ve směru y podle 6.2.6(4) - třída 3 nebo 4
	1.180	KZ10	0.04	£ 1	143)
					Posouzení průřezu - ohyb a smyk podle 6.2.9.2 a 6.2.10 - třída 3 - obecný průřez
	2.360	KZ164	0.08	£ 1	153)
					Posouzení průřezu - ohyb okolo z a smyk podle 6.2.9.2 a 6.2.10 - třída 3 - obecný průřez
38	Průřez č. 2 - 2UK UPE 100 Feron - DIN 1026-2				
	1.416	ZS1	0.00	£ 1	100)
	0.472	KZ87	0.01	£ 1	101)
	2.360	KZ36	0.04	£ 1	112)
	0.236	KZ203	0.01	£ 1	117)
	0.000	KZ32	0.02	£ 1	122)
					Žádné resp. velmi malé vnitřní síly
					Posouzení průřezu - tah podle 6.2.3
					Posouzení průřezu - ohyb okolo y podle 6.2.5 - třída 3
					Posouzení průřezu - ohyb okolo z podle 6.2.5 - třída 3
					Posouzení průřezu - smyk ve směru z podle 6.2.6(4) - třída 3 nebo 4
	0.000	KZ87	0.01	£ 1	124)
					Posouzení průřezu - posouvající síla ve směru y podle 6.2.6(4) - třída 3 nebo 4
	2.360	KZ36	0.04	£ 1	143)
					Posouzení průřezu - ohyb a smyk podle 6.2.9.2 a 6.2.10 - třída 3 - obecný průřez
	0.236	KZ203	0.01	£ 1	153)
					Posouzení průřezu - ohyb okolo z a smyk podle 6.2.9.2 a 6.2.10 - třída 3 - obecný průřez
	2.360	KZ7	0.07	£ 1	163)
					Posouzení průřezu - dvousý ohyb a smyk podle 6.2.9.2 a 6.2.10 - třída 3 - obecný průřez
39	Průřez č. 4 - RO 76.1x5.0 (tvar. za tepla)				
	1.589	KZ106	0.00	£ 1	100)
					Žádné resp. velmi malé vnitřní síly

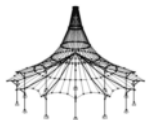


Projekt: 2024 Model: POZARNÍ VEZ
NAVRH KROVU 2024 DYSINA - SUSENI HADIC

Datum: 10.05.2024

2.4 POSOUZENÍ PO PRUTECH

Prut č.	Místo x [m]	ZS/KZ/ KV	Návrh		Podle vzorce	
	3.817	KZ68	0.06	£ 1	101)	Posouzení průřezu - tah podle 6.2.3
	0.000	KZ85	0.11	£ 1	102)	Posouzení průřezu - tlak podle 6.2.4
	3.817	KZ209	0.05	£ 1	301)	Posouzení stability - vzpěr okolo y podle 6.3.1.1 a 6.3.1.2(4)
	0.000	KZ85	0.34	£ 1	302)	Posouzení stability - vzpěr okolo y podle 6.3.1.1 a 6.3.1.2
	3.817	KZ209	0.05	£ 1	311)	Posouzení stability - vzpěr okolo z podle 6.3.1.1 a 6.3.1.2(4)
	0.000	KZ85	0.34	£ 1	312)	Posouzení stability - vzpěr okolo z podle 6.3.1.1 a 6.3.1.2
	0.000	ZS1	0.00	£ 1	400)	Použitelnost - malé, resp. velmi malé deformace
40	Průřez č. 4 - RO 76.1x5.0 (tvar. za tepla)					
	0.000	KZ9	0.00	£ 1	100)	Žádné resp. velmi malé vnitřní síly
	3.817	KZ66	0.07	£ 1	101)	Posouzení průřezu - tah podle 6.2.3
	0.000	KZ87	0.03	£ 1	102)	Posouzení průřezu - tlak podle 6.2.4
	0.000	KZ114	0.04	£ 1	301)	Posouzení stability - vzpěr okolo y podle 6.3.1.1 a 6.3.1.2(4)
	0.000	KZ87	0.09	£ 1	302)	Posouzení stability - vzpěr okolo y podle 6.3.1.1 a 6.3.1.2
	0.000	KZ114	0.04	£ 1	311)	Posouzení stability - vzpěr okolo z podle 6.3.1.1 a 6.3.1.2(4)
41	Průřez č. 4 - RO 76.1x5.0 (tvar. za tepla)					
	1.145	KZ10	0.00	£ 1	100)	Žádné resp. velmi malé vnitřní síly
	3.817	KZ68	0.01	£ 1	101)	Posouzení průřezu - tah podle 6.2.3
	0.000	KZ86	0.02	£ 1	102)	Posouzení průřezu - tlak podle 6.2.4
	0.000	KZ182	0.05	£ 1	301)	Posouzení stability - vzpěr okolo y podle 6.3.1.1 a 6.3.1.2(4)
	0.000	KZ86	0.07	£ 1	302)	Posouzení stability - vzpěr okolo y podle 6.3.1.1 a 6.3.1.2
	0.000	KZ182	0.05	£ 1	311)	Posouzení stability - vzpěr okolo z podle 6.3.1.1 a 6.3.1.2(4)
42	Průřez č. 4 - RO 76.1x5.0 (tvar. za tepla)					
	0.000	KZ86	0.07	£ 1	312)	Posouzení stability - vzpěr okolo z podle 6.3.1.1 a 6.3.1.2
	0.000	ZS1	0.00	£ 1	400)	Použitelnost - malé, resp. velmi malé deformace
43	Průřez č. 4 - RO 76.1x5.0 (tvar. za tepla)					
	3.817	KZ10	0.00	£ 1	100)	Žádné resp. velmi malé vnitřní síly
	0.000	KZ66	0.16	£ 1	101)	Posouzení průřezu - tah podle 6.2.3
	3.817	KZ87	0.11	£ 1	102)	Posouzení průřezu - tlak podle 6.2.4
	3.054	KZ211	0.05	£ 1	301)	Posouzení stability - vzpěr okolo y podle 6.3.1.1 a 6.3.1.2(4)
	3.817	KZ87	0.33	£ 1	302)	Posouzení stability - vzpěr okolo y podle 6.3.1.1 a 6.3.1.2
	3.054	KZ211	0.05	£ 1	311)	Posouzení stability - vzpěr okolo z podle 6.3.1.1 a 6.3.1.2(4)
44	Průřez č. 4 - RO 76.1x5.0 (tvar. za tepla)					
	3.817	KZ87	0.33	£ 1	312)	Posouzení stability - vzpěr okolo z podle 6.3.1.1 a 6.3.1.2
	0.000	ZS1	0.00	£ 1	400)	Použitelnost - malé, resp. velmi malé deformace
45	Průřez č. 4 - RO 76.1x5.0 (tvar. za tepla)					
	1.527	KZ112	0.00	£ 1	100)	Žádné resp. velmi malé vnitřní síly
	3.817	KZ87	0.27	£ 1	102)	Posouzení průřezu - tlak podle 6.2.4
	3.817	KZ87	0.82	£ 1	302)	Posouzení stability - vzpěr okolo y podle 6.3.1.1 a 6.3.1.2
	3.817	KZ87	0.82	£ 1	312)	Posouzení stability - vzpěr okolo z podle 6.3.1.1 a 6.3.1.2
	0.000	ZS1	0.00	£ 1	400)	Použitelnost - malé, resp. velmi malé deformace
46	Průřez č. 4 - RO 76.1x5.0 (tvar. za tepla)					
	3.435	KZ173	0.00	£ 1	100)	Žádné resp. velmi malé vnitřní síly
	3.817	KZ68	0.17	£ 1	101)	Posouzení průřezu - tah podle 6.2.3
	0.000	KZ16	0.01	£ 1	102)	Posouzení průřezu - tlak podle 6.2.4
	0.000	ZS1	0.00	£ 1	400)	Použitelnost - malé, resp. velmi malé deformace
47	Průřez č. 4 - RO 76.1x5.0 (tvar. za tepla)					
	0.763	KZ5	0.00	£ 1	100)	Žádné resp. velmi malé vnitřní síly
	0.000	KZ87	0.09	£ 1	102)	Posouzení průřezu - tlak podle 6.2.4
	0.000	KZ211	0.04	£ 1	301)	Posouzení stability - vzpěr okolo y podle 6.3.1.1 a 6.3.1.2(4)
	0.000	KZ87	0.29	£ 1	302)	Posouzení stability - vzpěr okolo y podle 6.3.1.1 a 6.3.1.2
	0.000	KZ211	0.04	£ 1	311)	Posouzení stability - vzpěr okolo z podle 6.3.1.1 a 6.3.1.2(4)
	0.000	KZ87	0.29	£ 1	312)	Posouzení stability - vzpěr okolo z podle 6.3.1.1 a 6.3.1.2
48	Průřez č. 4 - RO 76.1x5.0 (tvar. za tepla)					
	0.000	ZS1	0.00	£ 1	400)	Použitelnost - malé, resp. velmi malé deformace
49	Průřez č. 4 - RO 76.1x5.0 (tvar. za tepla)					
	0.000	KZ10	0.00	£ 1	100)	Žádné resp. velmi malé vnitřní síly
	0.000	KZ85	0.16	£ 1	102)	Posouzení průřezu - tlak podle 6.2.4
	1.145	KZ211	0.05	£ 1	301)	Posouzení stability - vzpěr okolo y podle 6.3.1.1 a 6.3.1.2(4)
	0.000	KZ85	0.50	£ 1	302)	Posouzení stability - vzpěr okolo y podle 6.3.1.1 a 6.3.1.2
	1.145	KZ211	0.05	£ 1	311)	Posouzení stability - vzpěr okolo z podle 6.3.1.1 a 6.3.1.2(4)
	0.000	KZ85	0.50	£ 1	312)	Posouzení stability - vzpěr okolo z podle 6.3.1.1 a 6.3.1.2
50	Průřez č. 4 - RO 76.1x5.0 (tvar. za tepla)					
	0.000	ZS1	0.00	£ 1	400)	Použitelnost - malé, resp. velmi malé deformace
	Průřez č. 4 - RO 76.1x5.0 (tvar. za tepla)					
	0.000	KZ9	0.00	£ 1	100)	Žádné resp. velmi malé vnitřní síly
	0.000	KZ85	0.07	£ 1	102)	Posouzení průřezu - tlak podle 6.2.4
	0.000	KZ114	0.04	£ 1	301)	Posouzení stability - vzpěr okolo y podle 6.3.1.1 a 6.3.1.2(4)
	0.000	KZ85	0.22	£ 1	302)	Posouzení stability - vzpěr okolo y podle 6.3.1.1 a 6.3.1.2
	0.000	KZ114	0.04	£ 1	311)	Posouzení stability - vzpěr okolo z podle 6.3.1.1 a 6.3.1.2(4)
	0.000	KZ85	0.22	£ 1	312)	Posouzení stability - vzpěr okolo z podle 6.3.1.1 a 6.3.1.2
	Průřez č. 4 - RO 76.1x5.0 (tvar. za tepla)					
	0.000	ZS1	0.00	£ 1	400)	Použitelnost - malé, resp. velmi malé deformace



Projekt: 2024 Model: POZARNÍ VEZ
NAVRH KROVU 2024 DYSINA - SUSENÍ HADIC

Datum: 10.05.2024

2.4 POSOUZENÍ PO PRUTECH

Prut č.	Místo x [m]	ZS/KZ/ KV	Návrh		Podle vzorce	
51	0.000	KZ206	0.00	£ 1	100)	Žádné resp. velmi malé vnitřní síly
	3.817	KZ66	0.03	£ 1	101)	Posouzení průřezu - tah podle 6.2.3
	0.000	KZ10	0.00	£ 1	102)	Posouzení průřezu - tlak podle 6.2.4
	0.000	ZS1	0.00	£ 1	400)	Použitelnost - malé, resp. velmi malé deformace
	Průřez č. 4 - RO 76.1x5.0 (tvar. za tepla)					
	0.763	KZ204	0.00	£ 1	100)	Žádné resp. velmi malé vnitřní síly
	3.817	KZ88	0.02	£ 1	102)	Posouzení průřezu - tlak podle 6.2.4
	3.817	KZ19	0.04	£ 1	301)	Posouzení stability - vzpěr okolo y podle 6.3.1.1 a 6.3.1.2(4)
	3.817	KZ88	0.06	£ 1	302)	Posouzení stability - vzpěr okolo y podle 6.3.1.1 a 6.3.1.2
	3.817	KZ19	0.04	£ 1	311)	Posouzení stability - vzpěr okolo z podle 6.3.1.1 a 6.3.1.2(4)
52	3.817	KZ88	0.06	£ 1	312)	Posouzení stability - vzpěr okolo z podle 6.3.1.1 a 6.3.1.2
	0.000	ZS1	0.00	£ 1	400)	Použitelnost - malé, resp. velmi malé deformace
	Průřez č. 4 - RO 76.1x5.0 (tvar. za tepla)					
	1.909	KZ103	0.00	£ 1	100)	Žádné resp. velmi malé vnitřní síly
	0.000	KZ68	0.04	£ 1	101)	Posouzení průřezu - tah podle 6.2.3
53	3.817	KZ10	0.00	£ 1	102)	Posouzení průřezu - tlak podle 6.2.4
	0.000	ZS1	0.00	£ 1	400)	Použitelnost - malé, resp. velmi malé deformace
	Průřez č. 4 - RO 76.1x5.0 (tvar. za tepla)					
	2.290	KZ106	0.00	£ 1	100)	Žádné resp. velmi malé vnitřní síly
	3.817	KZ87	0.11	£ 1	102)	Posouzení průřezu - tlak podle 6.2.4
	1.527	KZ212	0.05	£ 1	301)	Posouzení stability - vzpěr okolo y podle 6.3.1.1 a 6.3.1.2(4)
	3.817	KZ87	0.33	£ 1	302)	Posouzení stability - vzpěr okolo y podle 6.3.1.1 a 6.3.1.2
	1.527	KZ212	0.05	£ 1	311)	Posouzení stability - vzpěr okolo z podle 6.3.1.1 a 6.3.1.2(4)
	3.817	KZ87	0.33	£ 1	312)	Posouzení stability - vzpěr okolo z podle 6.3.1.1 a 6.3.1.2
	0.000	ZS1	0.00	£ 1	400)	Použitelnost - malé, resp. velmi malé deformace